

ZEITSCHRIFT
FÜR
PHYSIKALISCHE CHEMIE

BEGRÜNDET VON
WILH. OSTWALD UND J. H. VAN 'T HOFF

HERAUSGEGEBEN VON
M. BODENSTEIN · K. F. BONHOEFFER · G. JOOS · K. L. WOLF

ABTEILUNG B
CHEMIE DER ELEMENTARPROZESSE
AUFBAU DER MATERIE

BAND 34
MIT 104 FIGUREN IM TEXT



LEIPZIG 1936 · AKADEMISCHE VERLAGSGESELLSCHAFT M. B. H.

PRINTED IN GERMANY

THE UNIVERSITY OF CHICAGO
IN THE CITY OF CHICAGO

OFFICE OF THE CHANCELLOR
CHICAGO, ILLINOIS

CHICAGO, ILLINOIS
OFFICE OF THE CHANCELLOR

CHICAGO, ILLINOIS
OFFICE OF THE CHANCELLOR

CHICAGO, ILLINOIS
OFFICE OF THE CHANCELLOR

CHICAGO, ILLINOIS
OFFICE OF THE CHANCELLOR



A.
A.
A.
A.
A.
A.
K.
F.
J.
K.
A.
Er
W.
G.
W.
E.
E.
G.

Inhalt von Band 34.

Heft 1 und 2.

Ausgegeben im Oktober 1936.

Seite

A. Kruis, Über die Konzentrationsabhängigkeit des scheinbaren Molvolumens einiger starker Elektrolyte. (Mit 2 Figuren im Text)	1
A. Kruis, Die Äquivalentdispersion von starken Elektrolyten in Lösung. I. Die Messung der Konzentrationsabhängigkeit der Äquivalentrefraktion im Sichtbaren. (Mit 7 Figuren im Text)	13
A. Kruis und W. Geffcken, Die Äquivalentdispersion von starken Elektrolyten in Lösung. II. Die physikalische Deutung der beobachteten Effekte. (Mit 1 Figur im Text)	51
A. Kruis und W. Geffcken, Die Äquivalentdispersion von starken Elektrolyten in Lösung. III. Die Konzentrationsabhängigkeit der Äquivalentdispersion starker Elektrolyte im Ultraviolett. (Mit 2 Figuren im Text)	70
A. Kruis, Zur Deutung der Konzentrationsgänge der Äquivalentrefraktion starker Elektrolyte. (Mit 2 Figuren im Text)	82
A. A. Balandin und J. J. Brussow, Molekulare Orientierung und Katalyse. Dehydrierungskatalyse von Cyclohexan bei Gegenwart von Chromoxyd. (Mit 10 Figuren im Text)	96
Karl Wirtz, Über die Abschätzung des Gleichgewichtes von Austauschreaktionen mit Deuterium bei Beteiligung vielatomiger Moleküle	121
F. Halla und H. Novotny, Röntgenographische Untersuchungen im System Mn—Sb	141
J. M. Scherschewer und A. E. Brodsky, Die Refraktion in Lösungen. V. Die vollständige Refraktionskurve von Harnstoff. (Mit 2 Figuren im Text)	145
K. Heß und J. Gundermann, Zur Frage der Struktur der Wasserhülle bei Micellen organischer Kolloide. (Mit 1 Figur im Text)	151
A. Sieverts und W. Danz, Die Löslichkeit von Deuterium und von Wasserstoff in festem Palladium. II. (Mit 1 Figur im Text)	158

Heft 3 und 4.

Ausgegeben im November 1936.

Erich Schröer, Die Zähigkeiten von Gasgemischen und ihre Darstellung durch die gaskinetische Mischungsformel. (Mit 1 Figur im Text)	161
W. Franke und H.-J. Schumacher, Die Bromierung von Acetylen im Licht	181
G. V. Schulz und E. Husemann, Über die Kinetik der Kettenpolymerisationen. I. Die Polymerisation von reinem Styrol durch Wärme. 146. Mitteilung über hochpolymere Verbindungen. (Mit 11 Figuren im Text)	187
Wolfgang Engler und K. W. F. Kohlrusch, Die RAMAN-Spektren von Stickstoffwasserstoffsäure N_3H und Kohlensuboxyd C_3O_2 . (Mit 2 Figuren im Text)	214
E. Zintl und O. Treusch, Röntgenanalyse der Galliumbronzen. (20. Mitteilung über Metalle und Legierungen. (Mit 4 Figuren im Text)	225
E. Zintl und A. Harder, Zur Stöchiometrie binärer Natriumverbindungen. (21. Mitteilung über Metalle und Legierungen.) (Mit 6 Figuren im Text)	238
G. Kortüm, Das optische Verhalten gelöster Ionen und seine Bedeutung für die Struktur elektrolytischer Lösungen. V. Lichtabsorption und Dispersität organischer Farbstoffionen in wässriger Lösung. (Mit 7 Figuren im Text)	255

<i>A. Eucken und H. Veith</i> , Die Molwärme des Methans in festen CH_4 - Kr -Mischungen. (Mit 5 Figuren im Text)	275
<i>H.-J. Schumacher und D. Sundhoff</i> , Die durch Chlor sensibilisierte photochemische Phosgenbildung aus Chloroform, Chlor und Sauerstoff und ihre Hemmung durch Alkohole und Ammoniak	300
<i>Carl Wagner</i> , Über den Mechanismus der Bildung von Ionenverbindungen höherer Ordnung (Doppelsalze, Spinelle, Silikate)	309
<i>Ernst Koch und Carl Wagner</i> , Über die Bildung von Ag_2HgJ_4 aus AgJ und HgJ_2 durch Reaktion im festen Zustand	317
<i>K. Wirtz</i> , Nach der Drucklegung eingegangene Berichtigung	321
<i>P. Frisch und H.-J. Schumacher</i> , Der thermische Zerfall des Fluoroxys F_2O_2 . (Vorläufige Mitteilung)	322

Heft 5.

Ausgegeben im Dezember 1936.

<i>Fritz Bandow</i> , Über die Spektren von adsorbiertem Porphyrin. (Mit 4 Figuren im Text)	323
<i>Erich Hückel</i> , Über die C—C-Bindung im Hexaphänyläthan. Kritische Bemerkungen zu Arbeiten von H. E. BENT und Mitarbeitern	335
<i>Erich Hückel</i> , Zur Theorie des Magnetismus sogenannter Biradikale. (Mit 1 Figur im Text)	339
<i>W. Jost und G. Nehlep</i> , Die Abhängigkeit der Ionenleitfähigkeit fester Körper vom Druck	348
<i>A. Braun und P. Hölemann</i> , Über die Temperaturabhängigkeit der Refraktion des Jods und über die Refraktion des atomaren Jods. 10. Mitteilung über Refraktion und Dispersion von Gasen und Dämpfen. (Mit 7 Figuren im Text)	357
<i>P. Hölemann und A. Braun</i> , Über die Adsorption von molekularem und atomarem Jod an Quarzglas. (Mit 6 Figuren im Text)	381
<i>Hans Kopper</i> , Das RAMAN-Spektrum des Ketens. (Mit 3 Figuren im Text)	396
<i>A. Ievinš und M. Straumanis</i> , Nachtrag zur Arbeit „Die Gitterkonstante des reinsten Aluminiums“	402

Heft 6.

Ausgegeben im Dezember 1936.

<i>Klaus Clusius und Albert Frank</i> , Molwärme, Entropie und chemische Konstante des Phosphorwasserstoffs. (Mit 4 Figuren im Text)	405
<i>K. Clusius und A. Frank</i> , Molwärme, Entropie und chemische Konstante des Schwefelwasserstoffs. (Mit 2 Figuren im Text)	420
<i>Josef Goubeau</i> , Über die Elektronenaffinität der Hydroxylgruppe. XXXIII. Mitteilung in der von L. BIRCKENBACH und Mitarbeitern begonnenen Untersuchungsreihe „Über Pseudohalogene“	432
<i>Paul Günther und Hans Leichter</i> , Der Zerfall von Jodwasserstoff und die Bildung von Bromwasserstoff unter dem Einfluss von Röntgenstrahlen. (Mit 1 Figur im Text)	443
<i>R. Schoppe</i> , Streuung von Röntgenstrahlen an Halogenbenzolen. (Mit 12 Figuren im Text)	461
Autorenregister von Band 34	471

Über die Konzentrationsabhängigkeit des scheinbaren Molvolumens einiger starker Elektrolyte¹⁾.

Von
A. Kruis.

(Mit 2 Figuren im Text.)

(Eingegangen am 29. 6. 36.)

Es werden die mit der in Mittlg. XXIII angegebenen Schwebemethode an wäss. Lösungen von NaCl und SrCl_2 im Bereiche von 1 bis 0'01 norm. bei 25° gemessenen Dichten mitgeteilt. Die daraus berechneten und die mit Hilfe eines von W. GEFFCKEN konstruierten Dilatometers bestimmten scheinbaren Molvolumina von KCl , SrCl_2 und NH_4NO_3 werden tabellarisch zusammengestellt. Die Abhängigkeit des scheinbaren Molvolumens dieser Elektrolyte von der Wurzel aus der Volumkonzentration C_v wird durch schwach S-förmig gekrümmte Kurven wiedergegeben. Die von O. REDLICH und P. ROSENFELD theoretisch geforderte, nur ladungsbedingte Grenzneigung wird bei NaCl schon bei der relativ hohen Konzentration $C_v=0\cdot4$ erreicht, bei SrCl_2 läßt sich unterhalb von $C_v=0\cdot1$ eine Annäherung an die theoretische Gerade feststellen.

Die Kenntnis genauer Werte des scheinbaren Molvolumens gelöster Elektrolyte ist nicht nur für die Ermittlung der Konzentrationsgänge ihrer Refraktion unerläßlich, sondern ist auch deshalb von Interesse, weil der Verlauf des Molvolumens sowohl unmittelbar Schlüsse auf den Zustand starker Elektrolyte zulassen dürfte²⁾, als

¹⁾ XLVII. Mitteilung der „Refraktometrischen Untersuchungen“. Von früheren Arbeiten aus dem hiesigen Institut werden abgekürzt zitiert werden: IX. KOHNER, H., Z. physik. Chem. (B) **1** (1928) 427. XI. GEFFCKEN, W., Z. physik. Chem. (B) **5** (1929) 81. XX. SHIBATA, Z. und HÖLEMANN, P., Z. physik. Chem. (B) **13** (1931) 347. XXII. PESCE, G., Z. physik. Chem. (A) **160** (1932) 295. XXIII. GEFFCKEN, W., BECKMANN, CH. und KRUIS, A., Z. physik. Chem. (B) **20** (1933) 398. XXVI. KRUIS, A. und GEFFCKEN, W., Z. physik. Chem. (A) **166** (1933) 16. XXIX. GEFFCKEN, W. und KRUIS, A., Z. physik. Chem. (B) **23** (1933) 175. XXXIX. GEFFCKEN, W. und PRICE, D., Z. physik. Chem. (B) **26** (1934) 81. XLII. LÜHDEMANN, R., Z. physik. Chem. (B) **29** (1935) 133.

²⁾ Bei konzentrierten Lösungen stößt die Deutung der Effekte wie auch des Verhaltens anderer Elektrolyteigenschaften auf große Schwierigkeiten, so daß man sich hier vorläufig auf die Sammlung empirischen Materials beschränken muß. Dagegen konnten W. GEFFCKEN und D. PRICE (XXXIX) im verdünnten Gebiet, für das ein theoretisch begründetes Grenzgesetz existiert, den Einfluß der Dissoziation bei H_2SO_4 und der Hydrolyse bei Na_2CO_3 auf den Verlauf des Molvolumens nachweisen.

auch mit der Konzentrationsabhängigkeit der Kompressibilität, einer in letzter Zeit aktuell gewordenen Frage¹⁾, verknüpft ist. In der vorliegenden Arbeit sei das experimentelle Material wiedergegeben, das zur Feststellung der Refraktionsgänge von NaCl , KCl , SrCl_2 und NH_4NO_3 (vgl. nachfolgende Mitteilung²⁾) benötigt wurde.

Die Dichtemessungen an NaCl und SrCl_2 wurden mit Hilfe einer nach dem Vorgange von A. LAMB und F. LEE entwickelten, schon ausführlich beschriebenen Schwebemethode³⁾ ausgeführt. SrCl_2 schien zum Studium des Verhaltens 1-2-wertiger Elektrolyte besonders geeignet zu sein, da, die Gültigkeit der Theorie von O. REDLICH und P. ROSENFELD⁴⁾ vorausgesetzt, für dieses Salz bei hohen Verdünnungen eine beträchtliche Neigungsänderung in dem von G. PESCE (XXII) bei Konzentrationen über 1 norm. ermittelten Verlauf des scheinbaren Molvolumens zu erwarten war.

Da sich die Messung von Dichte und Brechungsindex nach der ausgearbeiteten Methode⁵⁾ an der genau gleichen Konzentration aus technischen Gründen nicht durchführen ließ, war einerseits eine möglichst zuverlässige Interpolation des die Molrefraktion mitbestimmenden scheinbaren Molvolumens der interferometrisch untersuchten Salze wünschenswert. Andererseits sollte ein direkter Anschluß der im verdünnten Gebiet mit der Schwebemethode ermittelten Molvolumina an die im hiesigen Institut unter Verwendung von Pyknometern bestimmten Werte hergestellt werden. Besonders in dem in der Nähe des Maximums im Refraktionsgang liegenden Konzentrationsbereich um 1 norm. fehlten bisher genaue Molvolumenwerte, so daß z. B. die Lage des Maximums bei KCl in XXIX noch nicht sicher angegeben werden konnte. Es wurde deshalb mit einem neuen, von W. GEFFCKEN entworfenen Dilatometer⁶⁾ die Änderung des Molvolumens von KCl , SrCl_2 und NH_4NO_3 in Abhängigkeit von der Konzentration von hohen Konzentrationen bis etwa 0.2 norm. hinab messend verfolgt.

1) GUCKER, F. T., Chem. Rev. **13** (1933) 111. J. Amer. chem. Soc. **55** (1933) 2709. GEFFCKEN, W., Z. physik. Chem. (A) **167** (1933) 240. SCOTT, A. F. und BRIDGER, G. L., J. physic. Chem. **39** (1935) 1031. FALKENHAGEN, H. und BACHEM, CH., Z. Elektrochem. **41** (1935) 570. 2) KRUIS, A. und GEFFCKEN, W., Z. physik. Chem. (B) **34** (1936) 13. 3) GEFFCKEN, W., BECKMANN, CH. und KRUIS, A., XXIII. 4) REDLICH, O. und ROSENFELD, P., Z. physik. Chem. (A) **155** (1931) 65. Z. Elektrochem. **37** (1931) 705. 5) Vgl. Anm. 3 und KRUIS, A. und GEFFCKEN, W., XXVI. GEFFCKEN, W. und KRUIS, A., XXIX. 6) Die Beschreibung wird demnächst erfolgen.

1. Die verwendeten Salze.

Die Salze NaCl , KCl und SrCl_2 wurden als Präparate mit Garantieschein (Höchstgrenze der Verunreinigungen 0.04%) von de Haën bezogen, und da sich mit den üblichen analytischen Hilfsmitteln keine Verunreinigungen nachweisen ließen, wurden sie ohne weitere Reinigung verwendet. Zur Herstellung der Urlösungen wurden die Salze in doppelt destilliertem, entlüftetem Wasser gelöst, worauf von geringen Verunreinigungen abfiltriert wurde. Bezüglich der Aufbewahrung der Urlösungen vergleiche man frühere Arbeiten aus dem hiesigen Institut, z. B. H. KOHNER (IX). Zur Untersuchung von NH_4NO_3 diente eine von R. LÜHDEMANN (XLII), W. GEFFCKEN und D. PRICE (XXXIX) zu refraktometrischen Messungen verwendete Stammlösung, deren Gehalt durch eine refraktometrische Brechungsindexmessung nachgeprüft wurde. Die Gehaltsbestimmung der übrigen Urlösungen erfolgte durch Eindampfen einiger Proben und Trocknen des jeweiligen Salzrückstandes bei etwa 300° im Vakuum bis zur Gewichtskonstanz, wie von W. GEFFCKEN und H. KOHNER (X) beschrieben. Bei SrCl_2 wurden die von G. PESCE (XXII) angewandten Vorsichtsmaßregeln beachtet, ferner wurde, wie dort, eine Kontrollbestimmung mit Na_2CO_3 -Zusatz durchgeführt. Ihr Ergebnis zeigte vorzügliche Übereinstimmung mit den durch bloßes Eindampfen erhaltenen Werten.

Die durch Analysenfehler bzw. Salzverunreinigungen bedingten Fehler an den Absolutwerten von Φ als auch von H und R sind in Tabelle 1 gesondert angegeben. Sie wurden nach den Beziehungen berechnet:

$$\Gamma\Phi = (A/d_0 - \Phi)\Gamma C_e/C_e \text{ und } \Gamma H = -H\Gamma C_e/C_e$$

also

$$\Gamma R = (q_0 A/d_0 - R)\Gamma C_e/C_e = A(r_s - r_0)\Gamma C_e/C_e$$

(vgl. KOHNER, H., IX). Danach kompensieren sich in R die Absolut- und Relativfehler an Φ und H teilweise, wenn n und d an derselben Lösung gemessen werden.

Bei der Herstellung der Lösungen wurde die Stammlösung einer Wägebürette entnommen. Zum Verdünnen wurde doppelt destilliertes, im Vakuum entlüftetes Wasser verwendet¹⁾. Ein bei der Schwebemethode nachträglich mögliches Auflösen

Tabelle 1. Einfluß der Analysenfehler und Verunreinigungen auf die Absolutwerte von Φ , H und R in cm^3 .

	$\frac{\Gamma C_e}{C_e} \cdot 10^4$	$+\Gamma\Phi \cdot 10^3$		$-\Gamma H \cdot 10^3$		$\Gamma R \cdot 10^3$	
		Analyse	Verunreinigung	Analyse	Verunreinigung	Analyse	Verunreinigung
NaCl	0.1	0.4	< 15	0.3	< 11	0.1	< 1
KCl	0.2	0.9	< 17	0.6	< 12	0.1	< 1
$\frac{1}{2}\text{SrCl}_2$	1	7	< 28	4	< 16	0.6	< 3
$\frac{1}{2}\text{Na}_2\text{SO}_4$ ²⁾	1.5	9	< 24	5	< 12	0.8	< 3.5
NH_4NO_3 ³⁾	5	15	< 12	13	< 11	0.5	< 1

¹⁾ Wegen des differentiellen Charakters der Meßmethode ist eine während des Destillierens eventuell mögliche Verschiebung des Isotopenverhältnisses des Wassers (EMELEUS, H. und Mitarbeiter, J. chem. Soc. London 1934, 1207) belanglos.

²⁾ Dieses Salz wurde nur zu optischen Messungen verwendet. Vgl. anschließende Mitteilung. ³⁾ Nach Angaben von R. LÜHDEMANN (XLII).

C_z	V/C_z	g'	z'	$g' + z'$	$\Delta d/d_0$	d	ϕ in cm^3	$\pm \Gamma\phi$	$\phi_{25.0}^{\circ}$	$\phi - 3.5V/C_z$
0.3426 ₅	0.585 ₅	1.5400 ₈	— 0.0074 ₇	1.5326 ₁	0.023630 ₃	1.020733 ₄	10.53 ₂	0.006	10.55 ₈	8.50 ₇
0.3328 ₉	0.5770	1.4885 ₈	+ 0.0006 ₁	1.4891 ₉	0.022961 ₆	1.020066 ₆	10.52 ₄	0.006	10.55 ₀	8.53 ₀
0.31453 ₆	0.5608	1.4087 ₀	— 0.0007 ₀	1.4080 ₀	0.021711 ₃	1.018819 ₆	10.48 ₂	0.007	10.50 ₄	8.54 ₃
0.26715 ₄	0.5169	1.1967 ₀	+ 0.0003 ₇	1.1970 ₇	0.018462 ₀	1.015579 ₈	10.39 ₄	0.007	10.41 ₈	8.60 ₉

II. Meßreihe: Schwimmengewicht = 61.3785 g										
1.26388 ₄	1.1242	5.5723 ₅	+ 0.0024 ₈	5.5748 ₃	0.085665 ₇	1.082593 ₃	11.72 ₈	0.001	11.74 ₈	7.81 ₃
0.27858 ₆	0.5278	1.2477 ₄	+ 0.0003 ₅	1.2481 ₀	0.019247 ₆	1.016363 ₁	10.41 ₀	0.006	10.43 ₄	8.58 ₇
0.09856 ₅	0.3140	0.4458 ₄	— 0.0014 ₃	0.4444 ₁	0.006860 ₃	1.004010 ₉	9.89 ₉	0.011	9.92 ₄	8.82 ₄
0.05121 ₅	0.2263	0.2334 ₉	— 0.0017 ₂	0.2317 ₇	0.003577 ₃	1.000737 ₂	9.65 ₁	0.017	9.67 ₆	8.88 ₂
0.05104 ₇	0.2259	0.2294 ₇	— 0.0014 ₀	0.2308 ₇	0.003563 ₄	1.000723 ₈	9.69 ₄	—	9.71 ₉	8.92 ₈
0.01128 ₁	0.1062	0.05136 ₆	— 0.0000 ₅	0.05136 ₃	0.000792 ₉	0.997960 ₀	9.21 ₄	0.10	9.24 ₀	8.86 ₈
0	0	—	— 0.00002 ₀	0.05134 ₆	0.000792 ₉	0.997960 ₀	9.24 ₀	—	9.26 ₆	8.89 ₄
3.62801 ₅	1.9050	—	—	—	0.2388 ₄ ⁷⁾ 0.2388 ₂	0.997170 ₆	8.95	—	8.97	—
						1.2342 ₀	—	—	13.69 ₅	7.02 ₇

Zeichenerklärung: A = Äquivalentgewicht des Salzes, g' = Nennwert des auf den Schwimmer zur annähernden Austarierung in der Lösung aufgelegten Platingoldgewichtes, z' = die zur vollständigen Austarierung des Schwimmers benötigte elektromagnetische Zusatzkraft ausgedrückt in Platingoldgewichten (vgl. XXIII). Negatives Vorzeichen bedeutet, daß der Schwimmer durch g' überbelastet war. $\Gamma\phi$ = die nach XXIII, S. 413 f. infolge der zulässigen Meßfehler höchstmögliche Unsicherheit an ϕ .

¹⁾ Für die Mithilfe bei diesen Messungen bin ich Herrn O. CHALTIKJAN zu Dank verpflichtet. ²⁾ Unter Berücksichtigung eines mit V/C_z proportionalen Gewichtes wurde nach der Methode der kleinsten Quadrate gefunden: $\phi = 16.605 + 1.893 V/C_z$. Die Beziehung verliert für $V/C_z > 0.7$ ihre Gültigkeit. ³⁾ Für drei Wasserwerte, bei denen sich die Schwimmerbelastung um maximal 0.03 mg unterschied. ⁴⁾ Tabellen von LANDOLT-BÖRNSTEIN I (1923) 73. ⁵⁾ Durch ein Versehen wurde die Temperatur nicht auf 25.000° eingestellt. ⁶⁾ Nach einer freundlichen Mitteilung von W. GEFFKEN gilt für den Temperaturkoeffizienten: $(\Delta\phi/\Delta t)_{25} = 0.067 - 0.013 V/C_z$. ⁷⁾ Messung mit Pyknometern bei 25.00°.

von Luft kann nach W. MARCK¹⁾ bei einer Meßtemperatur von 25° eine Dichtefälschung von höchstens einigen Einheiten der 7. Dezimale, d. h. von der Größenordnung der übrigen experimentellen Fehler verursachen. Die Temperaturschwankungen während der Messungen waren geringer als 0.002°.

2. Die Ergebnisse der Messungen.

Die mit der in XXIII geschilderten Schwebemethode an Lösungen von NaCl und SrCl_2 bestimmten Dichten sind in Tabelle 2 zusammengestellt. Die Genauigkeit der daraus abgeleiteten Molvolumina beträgt selbst bei 0.01 norm. Lösungen noch einige Hundertstel cm^3 . (Wegen näherer Angaben vgl. XXIII.)

Die mit dem von W. GEFFCKEN konstruierten Dilatometer schrittweise ermittelte Abnahme des Molvolumens mit steigender Verdünnung ist aus Tabelle 3 zu ersehen. Zum Verständnis der Zuverlässigkeit der Resultate sei hier nur kurz das Arbeitsprinzip des Apparates angegeben²⁾. Die Änderung des scheinbaren Molvolumens $\Delta\Phi$ mit der Konzentration wird direkt aus der Volumenkontraktion Δv erhalten, welche sich beim Verdünnen der eingewogenen Lösung mit einer Wassermenge ergibt, die ihrerseits durch ein sie verdrängendes, bekanntes Quecksilbervolumen genau definiert ist. Der Absolutwert von Φ wird für eine Konzentration einem Wert angeglichen, der entweder mit Hilfe der Schwebemethode, einer pyknometrischen Messung oder durch Interpolation der Werte einer früheren Meßreihe ermittelt wurde. Der Meßfehler an Δv war etwa 0.032 cm^3 , so daß die im ganzen Konzentrationsbereich gleiche Unsicherheit an Φ höchstens einige Tausendstel cm^3 beträgt, entsprechend einem Dichtefehler von einigen Einheiten der 6. Dezimale.

Zur Veranschaulichung der erreichten Meßgenauigkeit sind in den Fig. 1 und 2 die Werte des scheinbaren Molvolumens als Funktion von der Volumkonzentration graphisch dargestellt. Die mit verschiedenen Methoden gewonnenen Resultate stimmen ausgezeichnet überein. Die bei SrCl_2 zum Vergleich eingetragenen älteren

¹⁾ W. MARCK (Wied. Ann. 44 (1891) 171) gibt für den Dichteunterschied von luftgesättigtem und luftfreiem Wasser an:

Temperatur	18°	19°	20—30°
—107 · ($d_{\text{luftges.}} - d_{\text{rein}}$)	12	8	4 unmerklich.

²⁾ Wegen Einzelheiten der apparativen Anordnung und der Auswertung der Messungen sei auf die demnächst erscheinende ausführliche Beschreibung der Meßmethodik verwiesen.

Präzisionsmessungen von E. WADE¹⁾ zeigen, soweit sich dies bei den verschiedenen Meßtemperaturen beurteilen läßt, einen analogen Verlauf wie die eigenen. Allerdings weisen letztere gegenüber den pyknometrischen Messungen an $SrCl_2$ von G. PESCE (XXII) einen Unterschied im Absolutwert von etwa 0.03 cm^3 auf, der gerade außerhalb der beiderseitigen Fehlergrenze liegt. Bei $SrCl_2$ ist der vielen Elektrolyten eigene S-förmige Verlauf des scheinbaren Molvolumens als Funktion von $\sqrt{C_v}$ besonders stark ausgeprägt.

Als Grenzneigungen im verdünnten Gebiet ergeben sich für die hier untersuchten Elektrolyte nach GEFFCKEN und PRICE (loc. cit.) die Werte 1.9 für 1-1-wertige bzw. $3.5 \text{ cm}^3/\sqrt{C_v}$ für 1-2-wertige Elektrolyte, in guter Übereinstimmung mit der REDLICH-ROSENFELD'schen Theorie²⁾. Auffallend ist die geringe Abweichung von der Grenzneigung bei $NaCl$ ³⁾ selbst bis zu Konzentrationen von 0.5 norm.

Bei KCl wurde zur Darstellung des Molvolumenverlaufes die Abweichung von der Grenzgeraden in Abhängigkeit von C_v gewählt. $NaCl$ und KCl weisen den gleichen Kurventyp auf. Bei $SrCl_2$ und NH_4NO_3 liefert die Auftragung der Abweichung von der Grenzgeraden ziemlich stark gekrümmte Kurven, so daß diese für Interpolationen keinen wesentlichen Vorteil gegenüber der MASSON'schen Darstellung bieten.

Die im hiesigen Institut ausgeführten Präzisionsmessungen zeigen, daß der Verlauf des Molvolumens der Elektrolyte wesentlich komplizierter ist, als ihn die empirisch gefundene MASSON-GEFFCKEN'sche Wurzelbeziehung⁴⁾ zu beschreiben vermag. Die im Anschluß an letztere von W. C. ROOT⁵⁾ vorgeschlagene Dichteformel $d = d_0 + a \cdot c + b \cdot c^{3/2}$, worin a und b individuelle Konstanten sind, kann deshalb keine allgemeine Gültigkeit beanspruchen.

Herrn Prof. Dr. K. FAJANS bin ich für die Anregung zu dieser Arbeit und Herrn Dr. phil. hab. W. GEFFCKEN für freundliche Hilfe zu Dank verpflichtet. Der Justus v. Liebig-Gesellschaft sei hier für die Gewährung eines Stipendiums, das mir die Ausführung der dilatometrischen Messungen ermöglichte, ergebenst gedankt.

¹⁾ WADE, E., J. chem. Soc. London **75** (1899) 254. ²⁾ REDLICH, O. und ROSENFELD, P., Z. physik. Chem. (A) **155** (1931) 65. Z. Elektrochem. **37** (1931) 705. ³⁾ In XXIII findet sich eine graphische Darstellung der hier mitgeteilten Werte des scheinbaren Molvolumens von $NaCl$ in Abhängigkeit von $\sqrt{C_v}$.

⁴⁾ MASSON, O., Philos. Mag. (7) **8** (1929) 218. GEFFCKEN, W., Z. physik. Chem. (A) **155** (1931) 1. ⁵⁾ ROOT, W. C., J. Amer. chem. Soc. **55** (1933) 850.

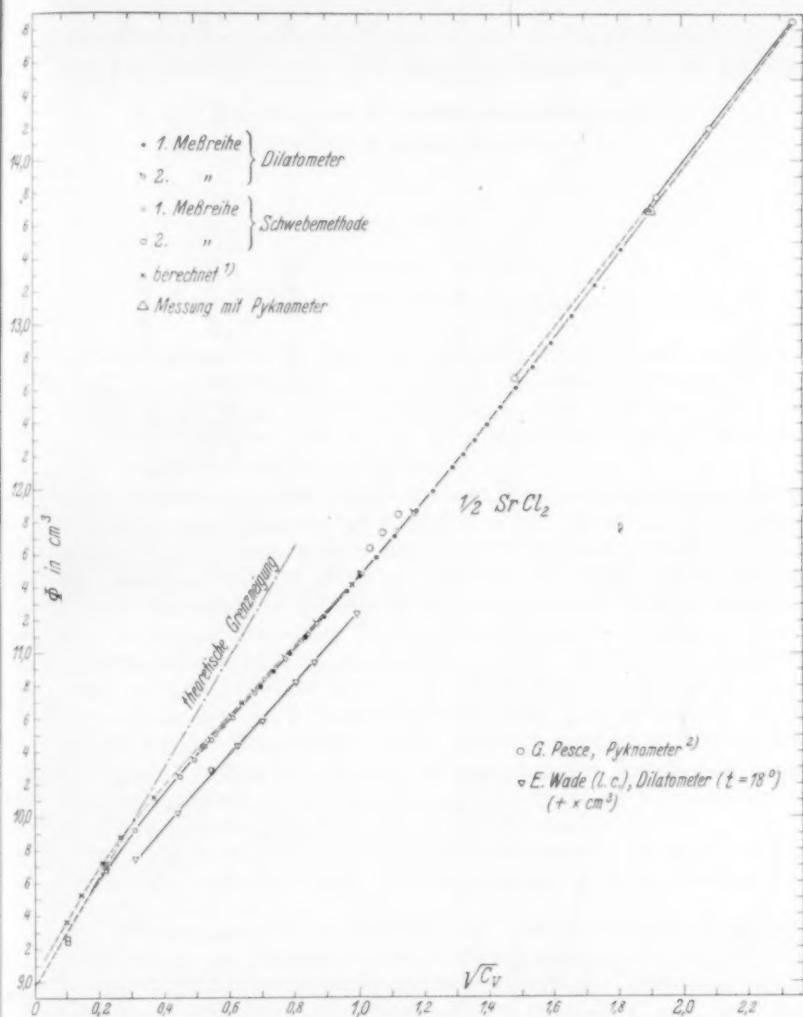


Fig. 1. Abhängigkeit des scheinbaren Molvolumens von SrCl_2 von der Konzentration bei 25.00° .

¹⁾ Berechnet aus gemessenen $\phi_0 H$ -Werten unter der Annahme, daß der oberhalb 2 norm. beobachtete, lineare Konzentrationsgang der Äquivalentrefraktion (vgl. nachfolgende Mitteilung) bis zu den höchsten Verdünnungen erhalten bleibt. Wie aus der Figur und Tabelle 2 ersichtlich, liegt die berechnete Kurve außerhalb der Fehlergrenze des beobachteten Verlaufes.

²⁾ PESCE, G., XXII. Die bei $\sqrt{C_v} \approx 1.1$ liegenden Meßpunkte verdanke ich einer freundlichen Mitteilung von Herrn PESCE.

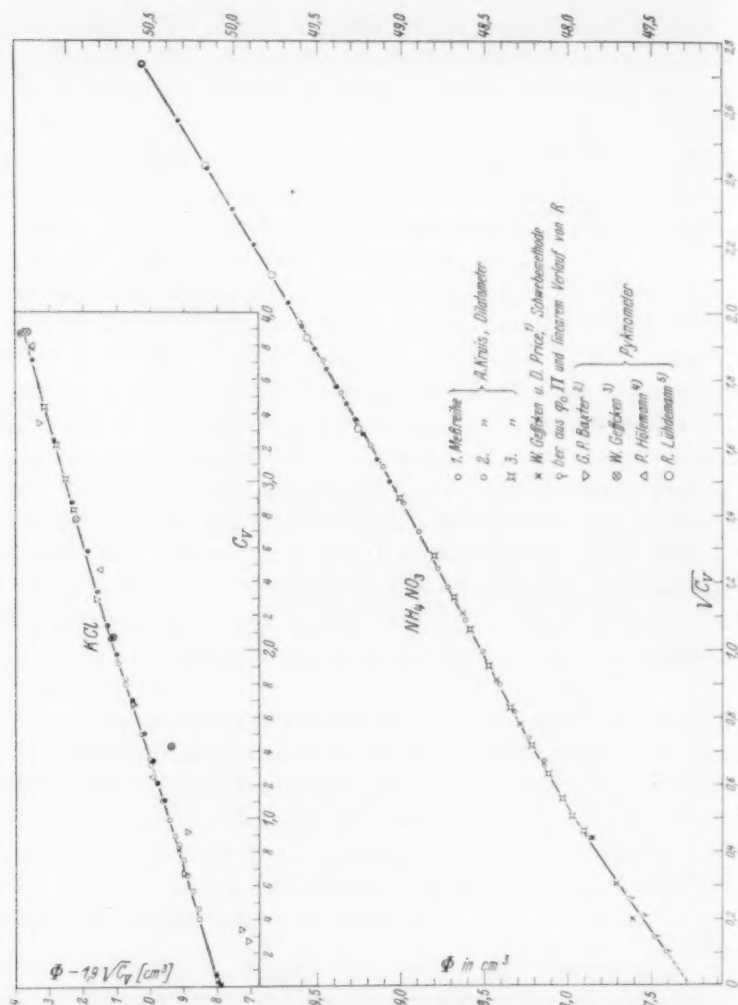


Fig. 2. Abhängigkeit des scheinbaren Molvolumens von KCl und NH_4NO_3 von der Konzentration bei 25.00° .

1) GEFFCKEN, W. und PRICE, D., XXXIX.

2) BAXTER, G. P., J. Amer. chem. Soc. 38 (1916) 70.

3) GEFFCKEN, W., XI.

4) SHIBATA, Z. und HÖLEMAN, P., XX.

5) LÜHDEMANN, R., XLII.

Die Werte für ϕ wurden der Zusammenstellung von GEFFCKEN, W. [Z. physik. Chem. (A) 153 (1931) 1] entnommen.

Physikalisch-chemisches Institut an der Universität München.

Die Äquivalentdispersion von starken Elektrolyten in Lösung.

I. Die Messung der Konzentrationsabhängigkeit der Äquivalentrefraktion im Sichtbaren¹⁾.

Von

A. Kruis²⁾.

(Mit 7 Figuren im Text.)

(Eingegangen am 29. 6. 36.)

1. Die Diskussion des Einflusses der Meßfehler auf die Äquivalentdispersion ergibt, daß sich mit der hier angewandten, interferometrischen Meßmethodik Konzentrationsgänge der Dispersion bis zu $0.03 \text{ cm}^3/C_v$ hinab feststellen lassen. Die Kenntnis dieser Gänge gestattet die für verschiedene Wellenlängen gefundenen Ordnungen der Interferenzen zu kontrollieren.

2. a) Es werden die bei 25.00° mit der 1-cm-Drehkammer gegen Luft gemessenen und auf Vakuum umgerechneten Brechungsindices des Wassers bei verschiedenen Wellenlängen des sichtbaren Gebietes mitgeteilt (Genauigkeit ± 0.03). b) Die an wässrigen Lösungen von NaCl , KCl , SrCl_2 , NH_4NO_3 und Na_2SO_4 bei verschiedenen Wellenlängen des sichtbaren Gebietes bestimmten und auf Vakuum korrigierten n_D -Werte, die daraus berechneten Äquivalentrefraktionen und Äquivalentdispersionen werden tabellarisch zusammengestellt. c) Der Konzentrationsgang der Refraktion von NaCl , KCl und SrCl_2 weist bei ungefähr 1.2 , 0.9 und 0.3 norm. ein Maximum auf. Der von R. LÜHDEMANN gefundene, positive Gang bei Na_2SO_4 ist unterhalb 1 norm. etwas steiler. d) Die für $C=0$ extrapolierten Refraktionswerte liegen um etwa 0.03 cm^3 tiefer als die früher aus dem Verlauf über 2 norm. geradlinig extrapolierten. e) Im Refraktionsgang von NH_4NO_3 konnte im verdünnten Gebiet keine Neigungsänderung festgestellt werden.

3. Die Äquivalentdispersion ändert sich annähernd proportional der Konzentration, und zwar nimmt sie mit steigender Konzentration bei NaCl ,

¹⁾ 4. Mitteilung über die Molrefraktion in verdünnten Lösungen. Zugleich XLVIII. Mitteilung der „Refraktometrischen Untersuchungen“. Von früheren, aus dem hiesigen Institut hervorgegangenen Mitteilungen der „Refraktometrischen Untersuchungen“ werden hier außer den in der XXX. (FAJANS, K., Z. physik. Chem. (B) **24** (1934) 103) und in der XLII. (LÜHDEMANN, R., Z. physik. Chem. (B) **29** (1935) 133) zusammengestellten Arbeiten noch abgekürzt zitiert werden: XIXa. GEFFCKEN, W., Z. Elektrochem. **37** (1931) 233. XXVI. KRUIS, A. und GEFFCKEN, W., Z. physik. Chem. (A) **166** (1933) 16. XLIII. FAJANS, K. und LÜHDEMANN, R., Z. physik. Chem. (B) **29** (1935) 150. XLVII. KRUIS, A., Z. physik. Chem. (B) **34** (1936) 1. Ferner die nachfolgenden Arbeiten II. KRUIS, A. und GEFFCKEN, W.; L. KRUIS, A. und GEFFCKEN, W. und LI. KRUIS, A., Z. physik. Chem. (B) **34** (1936) 51, 70 und 82. ²⁾ Die vorliegende Arbeit wurde zusammen mit den beiden nachfolgenden im April 1934 als Dissertation an der philosophischen Fakultät II. Sektion der Universität München eingereicht.

KCl , $SrCl_2$ und NH_4NO_3 ab, bei Na_2SO_4 zu. Der negative Konzentrationsgang der Dispersion von NH_4NO_3 wird oberhalb 3 norm. merklich schwächer. Das bei $NaCl$ und KCl gefundene Maximum im Konzentrationsgang der Refraktion ist im Gang der Dispersion nicht angedeutet. Sieht man von dem bei $NaCl$, KCl und $SrCl_2$ festgestellten Maximum im Refraktionsverlauf ab, so ist hinsichtlich der Richtung und Stärke der Gänge über 1·5 norm. ein Parallelismus zwischen Dispersion und Refraktion unverkennbar. Bei den bisher untersuchten Salzen ist der Konzentrationsgang der Dispersion bei gleichem Anion um so ausgeprägter, je größer die Feldwirkung des Kations ist. Auch im Falle der extremen Assoziation der Ionen, nämlich beim Übergang von der Lösung zum Kristall, behält die Veränderung der Dispersion ihr Vorzeichen bei.

Zeichenerklärung.

Außer den in der IX., XI., XXIX. und XLII. Mitteilung benutzten Zeichen werden in der vorliegenden Arbeit noch folgende verwendet:

Q = Zahl der gemessenen Interferenzstreifen.

\varnothing = Äquivalentdispersion = $R_{\lambda_1} - R_{\lambda_2}$. Wenn nichts anderes angegeben ist, wird als λ_2 die He-Linie 667·8 m μ gewählt.

ν = Frequenz in sec⁻¹.

I. Einleitung.

In Erweiterung des von K. FAJANS und Mitarbeitern gewonnenen, experimentellen Materials über die Konzentrationsabhängigkeit der Äquivalentrefraktion starker Elektrolyte werden hier interferometrische Messungen an wässrigen Lösungen von $NaCl$, KCl , $SrCl_2$, NH_4NO_3 und Na_2SO_4 in einem Konzentrationsbereich von 0·01 bis etwa 2 norm. mitgeteilt. Die benutzte, schon ausführlich beschriebene Methodik zur Messung von Brechungsindex und Dichte¹⁾ erlaubt selbst bei Konzentrationen von 0·01 norm. die Äquivalentrefraktion mit einer Genauigkeit von einigen Tausendstel Kubikzentimetern zu bestimmen. Außerdem ermöglicht die erreichte, hohe Genauigkeit der interferometrischen Messungen eine nähere Untersuchung der scheinbaren Äquivalentdispersion²⁾. Der Äquivalentdispersion kommt nämlich als wertvolle Ergänzung zu den bisher meist nur für die

¹⁾ GEFFCKEN, W., BECKMANN, CH. und KRUIS, A., XXIII. KRUIS, A. und GEFFCKEN, W., XXVI. GEFFCKEN, W. und KRUIS, A., XXIX. Ein Teil der Ergebnisse der vorliegenden Arbeit wurde schon in XXIX vorweggenommen.

²⁾ Bei der Berechnung der Äquivalentdispersion eines gelösten Stoffes nach der Mischungsregel wird die Dispersion des Lösungsmittels als konstant angenommen. In den Konzentrationsgängen der Dispersion ebenso wie in denen der Refraktion wirkt sich demnach die Veränderung sowohl des gelösten Stoffes als auch des Lösungsmittels aus.

D_3 -Linie genügend genau meßbaren Refraktionswerten aus folgenden Gründen besonderes Interesse zu.

1. Für die Dispersionswerte bei unendlicher Verdünnung muß analog wie für die Refraktionswerte das Prinzip der Additivität erfüllt sein, denn die hydratisierten Ionen verhalten sich bei unendlicher Verdünnung wie ein ideales Gas. Die für $C=0$ extrapolierten Beträge der Äquivalentdispersion der gelösten Salze können demnach in die Einzelwerte der Ionen zerlegt werden. K. FAJANS und G. JOOS (I, S. 42) wiesen darauf hin, daß sich aus dem Vergleich der Dispersion der Ionen in verschiedenen Zuständen ähnliche Gesetzmäßigkeiten ableiten lassen dürften, wie sie für die Ionenrefraktionen gelten. Die Werte der Eigenfrequenzen und Übergangswahrscheinlichkeiten in den Dispersionsformeln¹⁾, welche sich durch Verknüpfung²⁾ der refraktometrischen Messungen mit dem schon umfangreichen Material über die Lichtabsorption starker Elektrolyte³⁾ aufstellen lassen, haben eine unmittelbare Bedeutung als die Refraktionswerte selbst.

2. Mit Hilfe der beobachteten Konzentrationsgänge der Dispersion und der Refraktion für die D_3 -Linie kann mit genügender Sicherheit auf die Konzentrationsgänge der Refraktion für λ_∞ geschlossen werden⁴⁾. Diese sollten nach der von K. FAJANS und Mitarbeitern vertretenen Anschauung über den Zustand starker Elektrolyte⁵⁾ dieselben Abstufungen zeigen, wie die für die D_3 -Linie festgestellten Refraktionsgänge.

3. Während der Konzentrationsgang der Refraktion die Einzeleffekte summarisch zusammenfaßt, läßt sich aus dem Dispersionsverlauf die Veränderung der einzelnen Lösungspartner herauschälen. Besitzt man nämlich genaue, bis in genügende Nähe einer Absorptionsbande reichende Dispersionswerte bei verschiedenen Konzentrationen,

¹⁾ Es ist dabei von Interesse, festzustellen, ob sich die gemessenen Dispersionswerte bei Ionen mit komplizierteren Absorptionsspektren (z. B. Br^- , J^- und NO_3^-) durch ebenso einfache Dispersionsformeln, wie die für $NaCl$ und KCl gefundenen (vgl. S. 60 f.) darstellen lassen. Beim Cl_{aq}^- stellt nämlich die Absorptionsbande mit einem Maximum bei 1810 Å die Zusammenfassung zweier Energiestufen dar, die bei Br_{aq}^- und J_{aq}^- in zwei Banden aufgelöst erscheinen (SCHEIBE, G., Z. physik. Chem. (B) 5 (1929) 355). ²⁾ Vgl. z. B. WULFF, P., XXIV, XXV und XXXVIII.

³⁾ Vgl. KRUIS, A. und GEFFCKEN, W., IL. S. 55, Fußnote 2. ⁴⁾ Da sich der Einfluß der ultraroten Banden nach Punkt 3 rechnerisch eliminieren läßt, erhält man die wahre Konzentrationsabhängigkeit der Polarisierbarkeit der Elektronenhüllen des gelösten Elektrolyten für unendlich lange Wellen. ⁵⁾ Vgl. die nachfolgende Mitt. LI von A. KRUIS.

so läßt sich nach der Dispersionstheorie die Konzentrationsabhängigkeit der die Refraktionsbeträge bestimmenden n_i^2 - und F_i -Werte solcher einzelnen Ionen bzw. Molekülen zugeordneten Banden¹⁾ ermitteln²⁾. So konnte P. WULFF (XXXVIII) unter Anwendung seines reziproken Darstellungsverfahrens³⁾ qualitativ zeigen, daß die von Z. SHIBATA und P. HÖLEMANN beobachtete Abnahme der Dispersion von KJ mit steigender Konzentration durch eine Verschiebung der Eigenfrequenz nach U.V. verursacht wird⁴⁾. Im Gegensatz dazu ist aber die Lage des Absorptionsmaximums des Jodions nach Messungen von FROMHERZ und Mitarbeitern⁵⁾ praktisch unabhängig von der Konzentration. WULFF schloß deshalb, daß in der Lage des Extinktionsmaximums die U.V.-Verlagerung der Eigenfrequenz durch einen Rotverschiebungseffekt weitgehend kompensiert wird. Dieser Effekt kann auf eine der Konzentration symbyate Zunahme der LORENTZ-LORENZschen Kraft zurückgeführt werden. Damit gelang es WULFF, das als Widerspruch empfundene verschiedene Verhalten von Refraktion und Absorption verständlich zu machen.

Die vorliegende Arbeit liefert einige experimentelle Beiträge zu den aufgezeigten Problemen, insbesondere zur Frage nach der Abhängigkeit der Äquivalentdispersion von der Konzentration. Bisher konnte nur in seltenen Fällen eine Abhängigkeit der Dispersion von der Konzentration des Elektrolyten beobachtet werden, obwohl die Äquivalentdispersion gegen Fehler an der Konzentration und Dichte einer Lösung relativ wenig empfindlich ist⁶⁾. So ließ sich im hiesigen Institut mit Hilfe des PULFRICHschen Refraktometers⁷⁾ nur bei HNO_3 ⁸⁾, $NaBr$ und, wie schon erwähnt, bei KJ ⁹⁾ eine Abnahme der Dispersion mit steigender Konzentration nachweisen. Bei allen übrigen Dispersionsmessungen im sichtbaren Gebiet überschritten die Meßfehler bei weitem die nach dieser und der folgenden Arbeit zu erwartenden Effekte. Auch die älteren Messungen von A. H. BOR-

¹⁾ Siehe die folgende Arbeit von A. KRUIS und W. GEFFCKEN, Fußnote 2, S. 55. ²⁾ Besonders interessant dürfte eine Untersuchung mittelstarker Elektrolyte sein, deren Dissoziationsgrad auf Grund anderer Befunde bekannt ist, z. B. H_2SO_4 (vgl. z. B. GEFFCKEN, W. und PRICE, D., XXXIX) und der Blei- bzw. Thallohalogenide (FROMHERZ, H. und KUN-HOU-LIH, Z. physik. Chem. (A) 153 (1931) 321). Diesbezügliche Messungen sind im hiesigen Institut im Gange. ³⁾ WULFF, P., XXV. ⁴⁾ Über die Änderung des F_i -Wertes konnte noch nichts Bestimmtes ausgesagt werden. ⁵⁾ Vgl. S. 55, Anm. 2. ⁶⁾ Vgl. S. 20. ⁷⁾ GEFFCKEN, W. und KOHNER, H., X. ⁸⁾ LÜHDEMANN, R., XLII. ⁹⁾ SHIBATA, Z. und HÖLEMANN, P., XX.

GESIUS, D. DIJKEN und W. HALLWACHS¹⁾ ermöglichten eine Feststellung von Konzentrationsgängen der Dispersion nicht. Dagegen konnten wir aus den von HEYDWEILLERS Mitarbeitern O. GRUBE und C. LÜBBEN mit Hilfe eines Differentialverfahrens im U.V. gemessenen Brechungsindices Konzentrationsgänge der Dispersion ableiten, welche die eigenen Ergebnisse bestätigen und erweitern. Die Auswertung dieser Messungen geschieht in einer gesonderten Arbeit²⁾.

II. Zur Bestimmung der Brechungsindices.

Auf Grund der Fehlerdiskussion sowohl für die Refraktion (XXIX, S. 182) als auch für die Dispersion (vgl. S. 19 f.) ist innerhalb eines großen Konzentrationsbereiches eine Meßgenauigkeit der Brechungsindices von mindestens 0.05% erwünscht. Bei der hier angewandten und in XXIX schon ausführlich beschriebenen Meßmethode wird die erstrebte Genauigkeit dadurch erzielt, daß durch Verwendung von Interferometerkammern geeigneter Länge (50, 10 und 1 cm) Interferenzen von mindestens 100. Ordnung zur Beobachtung gelangen. Die Streifenbruchteile sind jeweils auf etwa 0.02 genau meßbar. Die ganzen Streifenzahlen werden für mehrere Wellenlängen³⁾ bei der 1-cm-Kammer aus den Drehstreifen⁴⁾, bei den längeren Kammern meist aus der anschließenden Messung derselben Lösung in der kürzeren Kammer bestimmt. Da nämlich die Streifenzahl in der einzelnen Kammer proportional ihrer Länge ist, läßt sich aus der Messung der Ordnung mit einer Kammer die Ordnung für die nächst längere mit genügender Sicherheit ermitteln. Die Kenntnis des genauen Wertes des Kammerlängenverhältnisses ist besonders bei Messungen an relativ konzentrierten Lösungen äußerst wichtig, denn an Hand seiner Konstanz bei verschiedenen Wellenlängen läßt sich nicht nur die Richtigkeit der Dispersion, sondern damit auch der Absolutwert der Refraktion für eine Wellenlänge prüfen. Das Kammerlängenverhältnis⁵⁾ wurde deshalb bei allen Lösungen mit einer Interferenzenzahl größer als 1500 nach dem in XXIX erläuterten Verfahren ermittelt.

Bei der Auswertung der Meßreihen wird zweckmäßig so vorgegangen, daß zuerst die Ergebnisse für die mit der 1-cm-Drehkammer an verdünnten Lösungen ausgeführten Messungen berechnet werden. Hierauf werden diese auf Grund der mit der 10-cm-Kammer beobachteten Streifenbruchteile präzisiert. Bei den hier auftretenden Ordnungen von einigen hundert Streifen ist nämlich einerseits ein

¹⁾ BORGESIU, A. H., Ann. Physik **54** (1895) 221. DIJKEN, D., Z. physik. Chem. **24** (1897) 81. HALLWACHS, W., Wied. Ann. **47** (1892) 380. ²⁾ KRUIS, A. und GEFFCKEN, W., L. ³⁾ Vgl. Anm. 2, S. 26. ⁴⁾ Als Drehstreifen werden die während der Drehung der 1-cm-Kammer durch das Gesichtsfeld wandernden Streifen bezeichnet. Die Größe der vier verschiedenen Drehwinkel ist durch Anschläge genau definiert. Durch Multiplikation der beobachteten Drehstreifen mit den entsprechenden Kammerfaktoren lassen sich die ganzen Streifenzahlen in Nullstellung der Kammer eindeutig berechnen (Näheres bei KRUIS, A. und GEFFCKEN, W., XXVI). ⁵⁾ Die mit mehreren Salzlösungen zu verschiedenen Zeiten für die Kammerlängenverhältnisse gefundenen Werte stimmten bis auf 0.005% überein.

Irrtum in den Streifenzahlen für die verschiedenen Wellenlängen ausgeschlossen, andererseits läßt sich der Refraktions- und Dispersionsgang schon mit hinreichender Sicherheit feststellen. Mit Hilfe der übrigen Messungen werden dann diese Gänge schrittweise nach höheren und kleineren Konzentrationen hin erweitert.

Bei der Untersuchung von konzentrierten Lösungen ($C > 3$ norm.) mit der 1-cm-Kammer treten Ordnungen über 500 auf. Hier lassen sich die ganzen Streifenzahlen in Nullstellung der Kammer aus den beobachteten Drehstreifen nur dann eindeutig ermitteln, wenn die Kammerfaktoren auf mindestens 0.1% genau bekannt sind. Es sei deshalb noch kurz auf die Ermittlung dieser wichtigen Faktoren eingegangen. Die mit steigender Zahl der Drehstreifen anwachsenden Werte der Faktoren lassen sich nach Gleichung (1) in XXVI aus den geometrischen Verhältnissen der Kammer berechnen. Die Abweichung der auf optischem Weg bestimmten Kammerfaktoren von den berechneten ist, zumindest bei kleinen Zahlen an Drehstreifen, gering, wenn beim Aufkitten der Verschlußplatten eine möglichst keilfreie, mit Hilfe eines Autokollimationsfernrohres kontrollierbare Ausrichtung derselben erzielt wurde. Bei hohen Streifenzahlen, z. B. bei mehr als 60 Drehstreifen bis zum ersten Anschlag, machen sich infolge des nicht zu vermeidenden Keilfehlers der Kammern Unterschiede geltend, die bei der erwähnten Berechnung der Ordnung der Interferenzen in Nullstellung der Kammer einen Fehler von einem oder mehreren Streifen bewirken können. Hier müssen dann die aus dem Verlauf bei kleinen Gangunterschieden graphisch extrapolierten Werte auf optischem Wege präzisiert werden. Dies kann durch Berücksichtigung des bei mehreren Salzen schon festgestellten Verlaufs der Refraktion und Dispersion geschehen oder auch dadurch, daß dieselbe Lösung sowohl mit dem Interferometer als auch mit einem PULFRICH'schen Refraktometer untersucht wird. Die Genauigkeit der mit dem abgeänderten Instrument¹⁾ gemessenen Brechungsindices ist so groß, daß die fraglichen ganzen Streifenzahlen aus letzteren mit ausreichender Sicherheit berechnet werden können. Die Kammerfaktoren und damit die ganzen Streifenzahlen lassen sich auch noch auf folgendem Wege erhalten bzw. prüfen. Der von einigen konzentrierten Lösungen gegen Wasser erzeugte Gangunterschied wird in zwei oder eventuell mehreren Stufen dadurch ermittelt, daß die konzentrierten Lösungen zunächst gegen verdünntere mit genau bekannten Streifenzahlen und dann erst gegen Wasser gemessen werden²⁾.

Als Lichtquellen dienten GEISSLER-Röhren, deren Linienspektren³⁾ mittels eines primitiven Monochromators auf den Spalt des Kollimators abgebildet wurden, wobei mit Hilfe eines Getriebes vom Beobachtungsplatze aus auf maximale Helligkeit eingestellt werden konnte. Die Cd- und Hg-Röhren enthielten als Füllgas einige Millimeter reines Helium. Bei genügend hohem Cd-Dampfdruck tritt das Edelgaspektrum zugunsten der kräftigen Metalllinien vollständig zurück. Je nach der Belastung kann daher die Cd-Lampe als Helium- oder Cd-Lichtquelle benutzt werden. Die mit Transformatoren betriebenen Spektralröhren sind so lichtstark, daß die Drehstreifen für die violette Helium- und Hg-Linie noch bequem gezählt werden können. Bei der Messung konzentrierter Lösungen wird das Auszählen

1) KOHNER, H. und GEFFCKEN, W., X. 2) Vgl. eine demnächst erscheinende Arbeit von A. KRUIS. 3) Wegen der Brauchbarkeit der verschiedenen Linien vgl. man XXIX.

der wandernden Streifen dadurch erleichtert, daß die Kammer durch Verwendung eines auswechselbaren Friktionsantriebes großer Übersetzung langsam und gleichmäßig gedreht werden kann.

Zur Erhöhung der Genauigkeit der Dispersionsmessungen wurde der Wasserwert der jeweiligen Kammer bei der dem „achromatischen“ Streifen entsprechenden Stellung der Kompensatortrommel abgelesen. Da hier die für die verschiedenen Wellenlängen beobachteten Trommelteile keinen Gang zeigten, sondern nur geringfügige Streuungen aufwiesen, konnte über alle Ablesungen gemittelt werden. Der Fehler am Wasserwert für die einzelne Wellenlänge betrug deshalb höchstens 0·01 Streifen. Bei der Ausmessung der Lösungen wurde der Kompensator um höchstens 30 Trommelteile gegen die Stellung verdreht, bei der bei Wasserfüllung der achromatische Streifen auftrat. Die Temperaturschwankungen während der Messungen waren geringer als 0·01°.

Da sich bei den Brechungsindexmessungen mit der 50-cm-Kammer ein Auflösen von Luft störend auswirkte¹⁾, wurde für diese Messungen ein bei 25° mit Luft annähernd gesättigtes Wasser verwendet. Um bei der Ausführung der Messungen an Lösung zu sparen, ist es von Vorteil, die Kammern nach jeder Messung gründlich zu säubern und dann unter Durchblasen von staubfreier Luft zu trocknen. Von Zeit zu Zeit ist eine Reinigung der Planplatten mit Dichromatschwefelsäure notwendig, damit sich beim Einfüllen der Flüssigkeit keine Luftblasen ansetzen, die das Interferenzbild stören. Gegebenenfalls können diese mit einem Platindraht entfernt werden.

III. Die Messgenauigkeit der Äquivalentdispersion gelöster Stoffe²⁾.

(Mitbearbeitet von W. GEFFCKEN.)

A. Eigene Messungen.

Die Äquivalentdispersion ist als Differenz der Refraktionswerte für die beiden Wellenlängen λ_1 und λ_2 ($\lambda_2 > \lambda_1$) definiert durch die Beziehung:

$$\mathfrak{D} = R_1 - R_2 = (\tau_{01} - \tau_{02}) \phi + \frac{1000}{C_e} [\tau_1 - \tau_2 - (\tau_{01} - \tau_{02})], \quad (1)^3$$

wobei die Indices 1 und 2 die Wellenlänge andeuten, während der Index 0 darauf hinweist, daß es sich um eine Eigenschaft des reinen Wassers handelt. Setzt man $n_1 = n_2 + \delta n$ und $n_{01} = n_{02} + \delta n_0$ und entwickelt (1) nach δ , so ist

$$\mathfrak{D} = q'_{02}(\delta n_0) \left[\phi - \frac{1000}{C_e} \right] + \frac{1000}{C_e} q'_2(\delta n), \quad (2)$$

da bei der Abschätzung der Genauigkeit von \mathfrak{D} die Glieder mit $(\delta n)^2$ vernachlässigt werden können.

¹⁾ GIFFORD, J. W. (Proc. Roy. Soc. London (A) 78 (1906) 406) fand bei 15° für luftgesättigtes Wasser gegenüber reinem Wasser eine Abnahme des Brechungsindex um etwa 0·045 (vgl. dazu XXIX, S. 180, Anm. 2).

²⁾ Wegen der Genauigkeit der in dieser Arbeit mitgeteilten Refraktionswerte sei auf die Diskussion von W. GEFFCKEN und A. KRUIS in der XXIX. Mitteilung verwiesen.

³⁾ $q = \frac{n^2 - 1}{n^2 + 2}$. Im folgenden wird die erste und zweite Ableitung von q mit q' und q'' bezeichnet.

Zunächst seien die Fehler diskutiert, die den Konzentrationsgang beeinflussen können. Durch Differentiation von (2) nach den verschiedenen Parametern gewinnt man folgende Beziehungen:

$$\frac{\partial \mathfrak{D}}{\partial (\delta n_0)} = q'_{02} \left(\phi - \frac{1000}{C_e} \right). \quad (3)$$

$$\frac{\partial \mathfrak{D}}{\partial (\delta n)/\delta n} = \frac{1000}{C_e} q'_2 (\delta n) \approx 1000 q'_2 k, \quad \text{da } (\delta n) \approx k C_e \text{ ist.} \quad (4)$$

$$\frac{\partial \mathfrak{D}}{\partial \phi} = q'_{02} (\delta n_0). \quad (5)$$

$$\frac{\partial \mathfrak{D}}{\partial C_e/C_e} = q'_{02} (\delta n_0) \left[\phi + \frac{\partial \phi}{\partial C_e} C_e \right] - \mathfrak{D} + 1000 \left[q'_2 k + (\delta n) \frac{\partial q'_2}{\partial C_e} \right]. \quad (6)$$

Der durch (3) angezeigte Fehler $\mathcal{F}\mathfrak{D}$ erreicht höchstens $0.5 \cdot 10^5 \cdot 4 \cdot 10^{-8} = 0.02 \text{ cm}^3$, da sich δn_0 bei Anwendung der 50-cm-Kammer noch auf etwa $4 \cdot 10^{-8}$ genau messen läßt (vgl. Wasserwert S. 19). Bei Messung einer 0.1 norm. Lösung sinkt $\mathcal{F}\mathfrak{D}$ schon auf 0.03 ab. Dieser Fehler fällt also mit steigender Konzentration und wird bei Wahl der geeigneten Kammer nur wenige Einheiten der 4. Dezimale betragen.

Da die Meßgenauigkeit von δn selbst bei einer 0.01 norm. Lösung beim Arbeiten mit der 50-cm-Kammer noch größer als 0.05% ist, beträgt die dadurch mögliche Unsicherheit an \mathfrak{D} nach (4) ungefähr 0.1%. Für k findet man nämlich den Wert 0.002. Der Wert von q'_2 verringert sich mit steigender Konzentration, und zwar beträgt die für $\mathcal{F}\mathfrak{D}$ belanglose Abnahme z. B. bei NH_4NO_3 zwischen $C_g = 0.01$ und 12.0 etwa 0.02.

Der Einfluß des am Molvolumen möglichen Fehlers auf die Dispersion ist nach (5) $\mathcal{F}\mathfrak{D} \approx 0.005 \mathcal{F}\phi$, aber nur im verdünnten Gebiet merklich. Bei einer 0.01 norm. Lösung, bei der $\mathcal{F}\phi$ höchstens 0.1 cm^3 ist (vgl. Tabelle 1 in XXIII), ergibt sich für $\mathcal{F}\mathfrak{D}$ ein Betrag von 0.034 cm^3 . Schon bei einer Lösung $C_e = 0.1$ ist indes $\mathcal{F}\mathfrak{D} < 0.031$.

Der durch die Unsicherheit der Konzentrationsbestimmung¹⁾ bedingte Fehler nimmt nach (6) mit Annäherung der Meßfrequenz an die Absorptionsstelle zu, erreicht indes selbst bei NaJ für $\lambda = 275 \text{ m}\mu$ ²⁾ höchstens 0.032 cm^3 , während er für die meisten Fälle, z. B. im sichtbaren Gebiet kleiner als 0.031 cm^3 und deshalb belanglos ist. Insgesamt ist also die Dispersion im Vergleich zur Refraktion gegen Fehler in der Konzentration praktisch unempfindlich.

Die aus der Summe der eben diskutierten Fehler sich ergebende Fehlerfläche ist in Fig. 4 eingezeichnet. Man erkennt daraus, daß Konzentrationsgänge der Äquivalentdispersion zwischen $C = 0.1$ und 3 norm. von mehr als 0.033 cm^3/C mit Sicherheit festzustellen sind.

Von besonderer praktischer Bedeutung ist die Tatsache, daß sich bei gegebenen Streifenbruchteilen die ermittelte³⁾ Ordnung der Interferenzen an Hand der Äquivalentdispersion kontrollieren läßt. Trägt man nämlich die mit verschiedenen langen Kammern bei mehreren Konzentrationen für \mathfrak{D} und R erhaltenen Meßpunkte gegen C auf, so müssen sich innerhalb der Fehlergrenzen kontinuierliche Kurven ergeben. Berücksichtigt man diese Forderung, so läßt sich bei gegebener Fehlerfläche für \mathfrak{D}

¹⁾ Bei sorgfältigem Arbeiten läßt sich $\mathcal{F}C_e/C_e$ leicht auf 1/50000 beschränken.

²⁾ Siehe KRUIS, A. und GEFFCKEN, W., Mitt. L. ³⁾ Vgl. S. 17 f.

1. aus der für eine Wellenlänge gemessenen Ordnung diejenige für die übrigen eindeutig bestimmen.

2. Es lassen sich die ganzen Streifenzahlen für sämtliche Wellenlängen ermitteln, wenn die Messung mit einer Kammer geeigneter Länge ausgeführt wurde.

Zu diesem Zweck schreiben wir (1) unter Vernachlässigung der Glieder mit $(\Delta n)^2$ in der Form:

$$\mathfrak{D} = (q_{01} - q_{02}) \phi + \frac{1000}{C_e} [q'_{01} \Delta n_1 - q'_{02} \Delta n_2]. \quad (7)$$

Durch Differentiation nach Δn_1 und Δn_2 erhält man:

$$\begin{aligned} \Gamma \mathfrak{D} &= \frac{1000}{C_e} \left\{ q'_{02} \Gamma(\Delta n_1 - \Delta n_2) + \frac{q''_{02}}{2} (\delta n_0) \Gamma(\Delta n_1) \right\} \\ &= \frac{1000}{a C_e} \left\{ q'_{02} (\lambda_1 q_1 - \lambda_2 q_2) + \frac{q''_{02}}{2} (\delta n_0) \lambda_1 q_1 \right\}, \end{aligned} \quad (8)$$

wobei a die Kammerlänge und q_1 bzw. q_2 die Fehler an den ganzen Streifen bedeuten.

Ad. 1. Irrte man sich z. B. in der Ordnung für $\lambda_{He_{gr}}$ um 1, während die für λ_{D_3} bestimmte ganze Streifenzahl fehlerfrei ist, so ist $q_1=1$, $q_2=0$, und es ergeben sich für verschiedene Konzentrationen folgende Werte für $\Gamma \mathfrak{D}$

	1-cm-Kammer	10-cm-Kammer	50-cm-Kammer
$C_e = 0.01$	2.8 cm ³	0.28 cm ³	0.05 ₆ cm ³
$C_e = 1.0$	0.028 „	0.0028 „	0.0005 ₆ „

Die Dispersion läßt sich aber auf etwa 0.035 cm³ genau ermitteln, so daß also selbst bei den konzentriertesten Lösungen aus der z. B. für die D_3 -Linie gemessenen Ordnung die ganzen Streifenzahlen für die übrigen Wellenlängen richtig erhalten werden können.

Ad. 2. Ist die Ordnung für die Bezugswellenlänge λ_2 falsch bestimmt, so kann der Fall eintreten¹⁾, daß diejenige für die übrigen Wellenlängen um die gleiche Zahl ganzer Streifen (höchstens 3) falsch ist. Gleichung (8) lautet dann:

$$\Gamma \mathfrak{D} = \frac{1000 q}{C_e a} \left\{ q'_{02} (\lambda_1 - \lambda_2) + \frac{q''_{02}}{2} (\delta n_0) \lambda_1 \right\}. \quad (8a)$$

In der folgenden Tabelle sind die nach dieser Formel ermittelten Höchstkonzentrationen angegeben, für die bei gegebenem $\Gamma \mathfrak{D}$ und verschiedener Kammerlänge q gerade=1 wird, d. h. von diesen Konzentrationen aufwärts lassen sich die Streifenzahlen für die verschiedenen Wellenlängen aus dem Verlauf der Dispersion allein

Tabelle 1. Maximal zulässige Konzentrationen C_e für verschiedene Kammerlängen.

$\lambda_2 = 667 \text{ m}\mu$	Kammerlänge	1 cm		10 cm		50 cm
λ_1	$\Gamma \mathfrak{D} =$	0.021	0.035	0.021	0.035	0.021
587	$C_e <$	5	10	0.5	1.0	0.1
447	$C_e <$	12	24	1.2	2.4	0.2

¹⁾ Z. B. bei der Eichung einer neuen Kammer mit Hilfe einer schon untersuchten Lösung.

nicht mehr festlegen¹⁾. Aus der Tabelle ersieht man auch, daß eine kleinere Wellenlänge für die Beurteilung der Richtigkeit der ganzen Streifenzahlen günstiger ist.

Die im folgenden untersuchten Fehler können nur den Absolutwert der Äquivalentdispersion beeinflussen. Zur Beurteilung des Einflusses von Verunreinigungen auf die Dispersion greifen wir auf Gleichung (5) in IX zurück. Bedeutet R die Äquivalentrefraktion der untersuchten Substanz, R' die ihrer Verunreinigung und p den Gewichtsprozentgehalt an Verunreinigung, so beträgt die Veränderung des Absolutwertes der Refraktion:

$$\Gamma R = p (AR'/A' - R) \cdot 10^{-2}.$$

Demnach ergibt sich für den relativen Fehler an der Dispersion

$$\Gamma \mathfrak{D} / \mathfrak{D} = p (A \mathfrak{D}' / A' \mathfrak{D} - 1) \cdot 10^{-2}. \quad (9)$$

Infolge der geringen Unterschiede in den Dispersionen der Kationen äußert sich hier nur ein Einfluß der Anionen. Für die hier untersuchten Salze ist auch dieser Fehler unmerklich klein, da ihre maximale Verunreinigung etwa 0.01% beträgt (vgl. XLVII).

Ebenso geht ein Fehler in der Kammerlänge a nur in den Absolutwert der Dispersion ein. Man findet nämlich nach (4)

$$\Gamma \mathfrak{D} = (1000/C_e) q'_2 (\delta n) \Gamma a / a \sim 1000 \cdot 0.5 \cdot 0.002 \Gamma a / a = \Gamma a / a. \quad (10)$$

$\Gamma a / a$ dürfte für die verwendeten Kammern höchstens 10^{-3} sein²⁾.

Ein systematischer Fehler an der Dispersion des reinen Wassers verursacht ebenfalls einen konzentrationsunabhängigen Fehler an der Dispersion. Da n_{01} als fehlerfrei angenommen werden darf, erhält man durch Differenzieren von (7) nach n_{02} :

$$\Gamma \mathfrak{D} = \left[q'_{02} \phi + \frac{1000}{C_e} q''_{02} \Delta n_2 \right] \Gamma (\Delta n_{02}). \quad (11)$$

Nimmt man einen relativen Fehler von Δn_{02} zu 0.943 an, was der Größe der Schwankungen früherer Wasserdispersionsmessungen (vgl. Tabellen von LANDOLT-BÖRNSTEIN) entspricht, so ergibt sich ein absoluter Fehler $\Gamma \mathfrak{D} = (0.56 \phi + 1.8) \cdot 3 \cdot 10^{-5}$, der besonders bei Elektrolyten mit großem ϕ merklich ist. Da nun die Größe der Schwankungen der Wasserdispersion noch keine Sicherheit für den tatsächlichen Fehler bietet, war es notwendig, die Daten des Wassers nachzuprüfen.

B. Messungen früherer Autoren im Sichtbaren³⁾.

Im hiesigen Institut wurde eine große Anzahl von Refraktionsmessungen für verschiedene Wellenlängen mit dem PULFRICHschen Refraktometer ausgeführt. Der Fehler an den nur im Sichtbaren gemessenen δn -Werten, z. B. für He_r und He_e ,

¹⁾ Die Zuverlässigkeit der für Lösungen unterhalb dieser Höchstkonzentrationen mit der 1-cm-Drehkammer ermittelten Streifenzahlen läßt sich auch dadurch prüfen, daß die Auftragung der Kammerfaktoren gegen die Zahl der beobachteten Drehstreifen (vgl. S. 18) kontinuierliche Kurven liefern muß. ²⁾ In einer späteren Arbeit wird gezeigt werden, daß der Keilfehler der benutzten Kammern keine Konzentrationsgänge der Dispersion vortäuschen kann, was sich auch experimentell durch Verwendung mehrerer Kammern nachweisen läßt. Der Keilfehler der verwendeten Kammern war etwa $2 \cdot 10^{-4}$, die Abweichung von der Parallelität betrug also 0.01 mm bei einer Breite der Kammer von 45 mm. ³⁾ Wegen der bis jetzt vorliegenden Messungen im U.V. vgl. Mittlg. L.

erreicht aber häufig mehrere Einheiten der 5. Dezimale, so daß deren Genauigkeit im allgemeinen nur einige Prozente beträgt. Die Äquivalentdispersionen sind deshalb höchstens auf 0.01 cm^3 zuverlässig¹⁾. Es dürften daher nur die bei einigen wenigen, leichtlöslichen Substanzen mit einer im nahen U.V. gelegenen starken Absorption, z. B. die von Z. SHIBATA und P. HÖLEMANN (XX) an NaBr und KJ und die von R. LÜHDEMANN (XLIII) an HNO_3 beobachteten Dispersionsgänge (mit negativem $\Delta\varnothing/\Delta C$) außerhalb der Fehlergrenze liegen. Alle übrigen mit dem üblichen PULFRICHschen Refraktometer ausgeführten Dispersionsmessungen sind für die Diskussion der Konzentrationsabhängigkeit der Dispersion im Gegensatz zu der der Refraktion ungeeignet. Ebenso unbrauchbar sind die Dispersionsmessungen von A. H. BORGESIU, D. DIJEN und W. HALLWACHS²⁾.

IV. Die Ergebnisse der Brechungsindexmessungen.

1. An Wasser³⁾.

Um zuverlässige Zahlenwerte der Äquivalentdispersion der untersuchten Elektrolyte zu erlangen, war eine Nachprüfung der Dispersion des Wassers wünschenswert. Die zu diesem Zwecke mit Hilfe der 1-cm-Drehkammer vorgenommene Messung der Brechungsindices von Wasser bei 25.00° und verschiedenen Wellenlängen des sichtbaren Gebietes führte zu den der Tabelle 2 zu entnehmenden Werten. Die beiden ersten Spalten verzeichnen die den LANDOLT-BÖRNSTEIN-Tabellen entnommenen Wellenlängen bei 15° , deren in den späteren Tabellen benutzte, abgekürzte Bezeichnungen, sowie die zugehörigen Werte für ν^2 . In der nächsten Vertikalreihe sind die als Mittelwerte aus sieben Meßreihen gefundenen absoluten Brechungsindices angegeben⁴⁾. Die maximale Abweichung der Einzelwerte vom Mittelwert

¹⁾ Nach (4) ist $\Delta\varnothing = 5 \cdot 10^2 / C_v \cdot \Delta(\delta n)$. Vgl. auch KOHNER, H., IX, S. 440.

²⁾ Wegen der Zuverlässigkeit der Konzentrationsabhängigkeit der Molrefraktion nach den Messungen dieser Autoren sei auf KOHNER, H., IX und GEFFCKEN, W. und KRUIS, A., XXIX verwiesen. ³⁾ Eine ausführliche Beschreibung der angewandten Meßmethodik erfolgt in einer gesonderten Arbeit gemeinsam mit W. GEFFCKEN.

⁴⁾ Für die Differenzen der Brechungsindices für die Wellenlängen Hg_{g1} , Hg_{gII} , Hg_{gr} einerseits und Hg_e andererseits bei 24.87° erhielt unlängst O. JASSE (C. R. Acad. Sci. Paris 198 (1934) 163) die Werte 0.00689_3 , 0.00682_3 und 0.00574_1 , während sich aus den eigenen Messungen die Zahlen 0.00691_7 , 0.00685_5 und 0.00576_1 ergeben. Der Unterschied überschreitet unsere eigenen Meßfehler. Um sicher entscheiden zu können, ob die zur Berechnung der Ordnung unserer Interferenzen benutzten Literaturwerte, insbesondere die mit einem verbesserten PULFRICHschen Refraktometer im hiesigen Institut erzielten Werte von G. PESCE (unveröffentlicht, vgl. HÖLEMANN, P., Z. physik. Chem. (B) 32 (1936) 364) nicht einen systematischen Fehler aufweisen, werden zur Zeit Brechungsindexmessungen mit einer 1-mm-Kammer ausgeführt.

betrug $0,053^1$). Die mit diesen $n_{0\text{Vak}}$ -Werten berechneten Koeffizienten der ersten zwei Glieder der in eine TAYLORSche Reihe entwickelten Funktion $2) \frac{n^2 - 1}{n^2 + 2} - \frac{n_0^2 - 1}{n_0^2 + 2}$ (XI, (11)) sind in den folgenden Spalten zusammengestellt.

Tabelle 2. Die Konstanten der Refraktionsformel.

λ_{Luft} in μ	$\nu^2 \cdot 10^{-28}$	$n_{0\ 25,00^\circ}$ f. Vak.	$q_0 = \frac{n_0^2 - 1}{n_0^2 + 2}$	$q'_0 = \frac{6 n_0}{(n_0^2 + 2)^2}$
He_r 667'814 ₉	20'169 ₃	1'33074 ₄	0'204429 ₇	0'561513 ₃
H_α 656'27 ₉ ³⁾	20'884 ₃	1'33102 ₃	0'204586 ₃	0'561410 ₄
Cd_r 643'8469 ₆	21'698 ₀	1'33133 ₂	0'204759 ₈	0'561295 ₈
D_β 587'56 ₂	26'055 ₂	1'33291 ₃	0'205646 ₇	0'560709 ₆
Hg_{gI} 579'06 ₃	26'825 ₄	1'33319 ₇	0'205805 ₀	0'560604 ₂
Hg_{gII} 576'96 ₀	27'021 ₅	1'33325 ₀	0'205840 ₄	0'560581 ₄
Hg_{gr} 546'07 ₃	30'164 ₇	1'33435 ₃	0'206453 ₇	0'560175 ₃
Cd_{gr} 508'582 ₂	34'775 ₉	1'33591 ₇	0'207329 ₄	0'559594 ₈
He_{gr} 501'567 ₅	35'755 ₄	1'33624 ₅	0'207512 ₀	0'559473 ₁
H_β 486'132 ₇	38'061 ₉	1'33701 ₉	0'207945 ₈	0'559185 ₇
Cd_{blI} 479'99 ₁	39'042 ₁	1'33734 ₆	0'208128 ₁	0'559064 ₃
He_{bl} 471'314 ₃	40'492 ₆	1'33782 ₇	0'208397 ₅	0'558885 ₇
Cd_{blII} 467'81 ₅	41'100 ₉	1'33803 ₃	0'208512 ₄	0'558809 ₃
He_v 447'147 ₉	44'987 ₉	1'33932 ₁	0'209232 ₁	0'558330 ₀
Hg_v 435'83 ₄	47'353 ₉	1'34011 ₄	0'209674 ₇	0'558036 ₀

2. An Lösungen von $NaCl$, KCl , $SrCl_2$, NH_4NO_3 und Na_2SO_4 bei $25,00^\circ$ ⁴⁾.

Die Ergebnisse der gemeinsam mit W. GEFFCKEN an Lösungen von KCl mit der 10-cm-Kammer durchgeführten ersten Meßreihen stimmten in ihren Absolutwerten nicht ganz mit den nach einer verbesserten Justierung ⁵⁾ der Kammer gefundenen Werten überein ⁶⁾. Da aber die relative Genauigkeit dieser Messungen die der später erzielten Resultate erreicht, seien auch jene in Tabelle 3a wiedergegeben. Durch eine entsprechende, rechnerische Korrektur der Kammerlänge wurden die Absolutwerte an die genaueren Messungen der Tabelle 3b angeglichen. In letzterer sind die Messungen an Lösungen von $NaCl$, KCl , $SrCl_2$, NH_4NO_3 und Na_2SO_4 für ver-

¹⁾ Der Absolutwert von n_0 ist nur mit einer Genauigkeit von $0,043$ anzugeben, da er aus Messungen mit dem PULFRICHschen Refraktometer abgeleitet ist. ²⁾ Zur Berechnung der Äquivalentrefraktion bis 1 norm. ausreichend. Vgl. XXIX, S. 183.

³⁾ Mittelwert der gleich intensiven Linien bei $656,28_\mu$ und $656,27_\mu$ m μ . ⁴⁾ Die an Lösungen von Na_2CO_3 , $Ca(NO_3)_2$, $Pb(NO_3)_2$, HJO_3 und Rohrzucker gewonnenen Ergebnisse werden in einer späteren Arbeit mitgeteilt werden. ⁵⁾ Näheres über den Einfluß der Justierung auf die wirksame Kammerlänge in einer späteren Mitteilung. ⁶⁾ Vgl. XXIX, S. 183 bzw. S. 188, Anm. 4.

Tabelle 3 (Fortsetzung).

	λ	Q	$\mathcal{J}n \cdot 10^3$	R [cm ³]	\mathcal{Q} [cm ³]
$C_g = 0.09627_0$ $C_v = 0.09583_0$ $\sqrt{C_v} = 0.309_7$ $\phi = 17.19_1$ 10-cm-Kammer	He_r D_3 He_{gr} He_e	143.42 ₅ 164.8 ₅ 196.9 ₅ 225.29 ₅	0.963 ₅ 0.974 ₃ 0.993 ₆ 1.013 ₄	9.158 ₀ 9.234 ₃ 9.366 ₄ 9.499 ₁	0.0000 0.076 ₃ 0.208 ₁ 0.341 ₁
$C_g = 0.11804_0$ $C_v = 0.11746_2$ $\sqrt{C_v} = 0.342_7$ $\phi = 17.25_4$ 10-cm-Kammer	He_r H_α D_3 He_{gr} H_β He_e	175.43 ₇ 178.74 ₆ 201.6 ₃ 240.8 ₅ 249.7 ₅ 275.5 ₈	1.178 ₅ 1.180 ₀ 1.191 ₇ 1.215 ₃ 1.221 ₃ 1.239 ₆	9.158 ₀ 9.167 ₀ 9.234 ₇ 9.366 ₄ 9.399 ₈ 9.499 ₆	0.0000 0.008 ₇ 0.075 ₃ 0.207 ₅ 0.240 ₇ 0.340 ₇
$C_g = 0.15639_0$ $C_v = 0.15551_1$ $\sqrt{C_v} = 0.394_4$ $\phi = 17.35_2$ 10-cm-Kammer	D_3	266.1 ₂	1.572 ₀	9.236 ₆	—
$C_g = 0.19349_0$ $C_v = 0.19228_4$ $\sqrt{C_v} = 0.438_5$ $\phi = 17.43_5$ 10-cm-Kammer	He_r H_α D_3 He_{gr} H_β He_e	285.4 ₃ 290.8 ₀ 328.1 ₁ 392.0 ₅ 406.4 ₄ 448.5 ₂	1.917 ₅ 1.920 ₃ 1.939 ₂ 1.977 ₀ 1.987 ₅ 2.017 ₄	9.161 ₂ 9.170 ₃ 9.236 ₀ 9.369 ₂ 9.401 ₉ 9.502 ₀	0.0000 0.009 ₁ 0.075 ₇ 0.208 ₀ 0.240 ₇ 0.340 ₅
$C_g = 0.28390_5$ $C_v = 0.28166_9$ $\sqrt{C_v} = 0.530_7$ $\phi = 17.61_0$ 10-cm-Kammer	D_3	478.0 ₅	2.825 ₅	9.240 ₇	—
$C_g = 0.35092_3$ $C_v = 0.34773_8$ $\sqrt{C_v} = 0.589_7$ $\phi = 17.72_1$ 10-cm-Kammer	$He_r \oplus$ H_α $D_3 \oplus$ $He_{gr} \oplus$ H_β He_{bl} $He_e \oplus$	511.6 ₀ 521.2 ₅ 587.9 ₇ 702.5 ₃ 728.3 ₃ 755.1 ₂ 803.8 ₃	3.436 ₇ 3.441 ₁ 3.475 ₂ 3.544 ₅ 3.561 ₅ 3.580 ₁ 3.615 ₆	9.165 ₉ 9.174 ₇ 9.241 ₃ 9.373 ₄ 9.405 ₉ 9.440 ₂ 9.506 ₀	0.0000 0.008 ₈ 0.075 ₄ 0.207 ₅ 0.240 ₀ 0.274 ₃ 0.340 ₁
$C_g = 0.64759_2$ $C_v = 0.63822_2$ $\sqrt{C_v} = 0.798_9$ $\phi = 18.12_0$ 1-cm-Kammer Δ	He_r D_3 He_{gr} He_v	93.03 ₃ 106.9 ₁ 127.7 ₈ 146.2 ₃	6.223 ₃ 6.294 ₃ 6.420 ₃ 6.550 ₂	9.168 ₇ 9.244 ₇ 9.376 ₂ 9.509 ₀	0.0000 0.076 ₀ 0.207 ₅ 0.340 ₃

Tabelle 3 (Fortsetzung).

	λ	Q	$\Delta n \cdot 10^3$	$R [\text{cm}^2]$	$\varnothing [\text{cm}^3]$
$C_g = 0.06669_8$ $C_v = 0.06629_1$ $\sqrt{C_v} = 0.2574_7$ $\phi = 47.63_1$ 50-cm-Kammer ²⁾	D_3 Hg_{gr}	— 602.4 ₁	— 0.6596 ₀	(15.316 ₂) 15.406 ₂	(0.090 ₀) ¹⁾ —
$C_g = 0.13002_5$ $C_v = 0.12884_8$ $\sqrt{C_v} = 0.3589_8$ $\phi = 47.78_5$	$He_r \oplus$ H_α Cd_r $D_3 \oplus$ Hg_{gr} Hg_{grII} $Hg_{gr} \oplus$ Cd_{gr} $He_{gr} \oplus$ Cd_{blI} He_{bl} Cd_{blII} $He_c \oplus$ $Hg_c \oplus$	185.18 ₅ 188.7 ₆ 192.7 ₉ 213.4 ₈ 216.9 ₈ 217.9 ₈ 232.1 ₀ 252.2 ₅ 256.4 ₀ 270.3 ₄ 276.4 ₂ 279.0 ₀ 295.0 ₇ 304.8 ₃	1.244 ₀ 1.246 ₁ 1.248 ₈ 1.261 ₇ 1.263 ₉ 1.265 ₁ 1.274 ₉ 1.290 ₅ 1.293 ₈ 1.305 ₃ 1.310 ₅ 1.312 ₀ 1.327 ₂ 1.336 ₄	15.187 ₉ 15.203 ₅ 15.221 ₆ 15.315 ₄ 15.331 ₃ 15.337 ₉ 15.406 ₀ 15.509 ₀ 15.530 ₃ 15.606 ₈ 15.640 ₃ 15.655 ₅ 15.746 ₉ 15.804 ₈	0.0000 0.015 ₈ 0.033 ₇ 0.127 ₅ 0.143 ₄ 0.150 ₀ 0.218 ₁ 0.321 ₇ 0.342 ₉ 0.418 ₇ 0.452 ₄ 0.467 ₆ 0.559 ₀ 0.616 ₉
10-cm-Kammer	$He_r \oplus$ H_α Cd_r $D_3 \oplus$ $Hg_{gr} \oplus$ Cd_{gr} $He_{gr} \oplus$ H_β Cd_{blI} He_{bl} Cd_{blII} $He_c \oplus$ $Hg_c \oplus$	512.8 ₇ 522.7 ₇ 533.9 ₀ 591.2 ₅ 642.8 ₁ 698.6 ₁ 710.1 ₉ 737.3 ₇ 748.8 ₃ 765.7 ₂ 772.7 ₄ 817.4 ₃ 844.4 ₆	3.445 ₃ 3.451 ₁ 3.457 ₈ 3.494 ₅ 3.531 ₀ 3.574 ₀ 3.583 ₂ 3.605 ₈ 3.615 ₈ 3.630 ₃ 3.636 ₅ 3.676 ₈ 3.702 ₂	15.185 ₀ 15.200 ₄ 15.218 ₂ 15.312 ₁ 15.402 ₂ 15.505 ₃ 15.527 ₀ 15.580 ₈ 15.602 ₇ 15.636 ₈ 15.650 ₉ 15.742 ₃ 15.800 ₄	0.0000 0.015 ₈ 0.033 ₂ 0.127 ₁ 0.217 ₂ 0.320 ₃ 0.342 ₀ 0.395 ₀ 0.417 ₇ 0.451 ₆ 0.465 ₈ 0.557 ₈ 0.615 ₄
10-cm-Kammer	$He_r \oplus$ H_α Cd_r $D_3 \oplus$ Hg_{grI} Hg_{grII} $Hg_{gr} \oplus$ Cd_{gr}	1026.1 ₀ 1045.9 ₀ 1068.1 ₇ 1183.0 ₅ 1202.7 ₃ 1206.7 ₃ 1286.3 ₁ 1398.0 ₈	6.893 ₀ 6.904 ₈ 6.918 ₁ 6.992 ₂ 7.005 ₀ 7.009 ₄ 7.065 ₈ 7.152 ₅	15.179 ₆ 15.195 ₁ 15.212 ₂ 15.306 ₇ 15.323 ₈ 15.328 ₀ 15.396 ₂ 15.499 ₇	0.0000 0.015 ₄ 0.033 ₁ 0.127 ₁ 0.144 ₂ 0.148 ₄ 0.217 ₂ 0.320 ₁

¹⁾ $\varnothing = R_{Hg_{gr}} - R_{D_3}$ interpoliert nach der $\varnothing-C_v$ -Kurve (Fig. 5). ²⁾ Die Dispersion konnte nicht gemessen werden, da einer der beiden Rührer in der Kammer gebrochen ist.

schiedene Konzentrationen und Wellenlängen zusammengestellt¹⁾²⁾. Die erste Spalte enthält die Angabe der Konzentration der Lösungen, das aus den in Mitt. XLVII angegebenen Messungen graphisch interpolierte Molvolumen, ferner die Bezeichnung der Kammer, mit der die endgültige Feinmessung geschah. In der dritten Spalte sind die für die in der zweiten Rubrik verzeichneten Wellenlängen (vgl. Tabelle 2) gefundenen³⁾ Streifenzahlen Q angegeben. Die zugehörigen auf Vakuum bezogenen Δn -Werte zeigt die vierte Vertikalreihe. In der nächsten Spalte sind die damit berechneten R -Werte zu finden. Die auf R_{He} bezogenen Äquivalentdispersionen \mathfrak{D} können der letzten Spalte entnommen werden. Die Richtigkeit der Dispersionsmessungen an Lösungen mit mehr als 2000 Streifen wurde jeweils durch die Konstanz des Kammerlängenverhältnisses bewiesen.

In den Fig. 1 und 2 ist der Konzentrationsverlauf der Äquivalentrefraktion in Abhängigkeit von C_g dargestellt. Zum Vergleich sind auch die mit der ersten, primitiven Drehkammer von W. GEFFCKEN und D. PRICE (XXXIX) erzielten Meßpunkte eingezeichnet⁴⁾. Um einen Überblick über den gesamten Konzentrationsgang zu geben sind in diese Figuren auch die im hiesigen Institut mit anderen Hilfsmitteln ausgeführten Messungen⁵⁾ eingetragen. Die Umrechnung der älteren Resultate auf Vakuum geschah folgendermaßen:

$$R_{\text{Vak.}} = \varphi_{0\text{Vak.}} \Phi + \frac{1000}{C_g} \{ \varphi'_{0\text{Vak.}} \Delta n_{\text{Vak.}} + \varphi''_{0\text{Vak.}} (\Delta n_{\text{Vak.}})^2 \}.$$

Nun ist $n_{0\text{Vak.}} = n_0 n_L = n_0 (1 + V_L) = n_0 + n_0 V_L$ ⁶⁾.

Da ferner $\varphi_{\epsilon\text{Vak.}} = \varphi_0 + \varphi'_0 n_0 V_L$ usw. ist, ergibt sich für

$$R_{\text{Vak.}} = R_L + \left(n_0 \Phi + \frac{1000}{C_g} \Delta n \right) \varphi'_0 V_L, \quad (12)$$

¹⁾ Wegen der Reinheit der untersuchten Salze vgl. die vorhergehende Mitteilung. Betr. Fehlerdiskussion vgl. XXIX. S. 182 ff. Die Lichtwege in den Kammern wurden auf optischem Wege aus dem Verhältnis der Streifenzahlen gewonnen. Die auf diese Weise abgeleitete wirksame Länge der 1-cm-Kammer stimmt einerseits vorzüglich mit der mechanisch gemessenen überein, andererseits decken sich die mit ihr erhaltenen Absolutwerte für Δn mit den Werten, die mit einem PULFRICH'schen Refraktometer erzielt wurden. ²⁾ Eine zeichnerische Darstellung einiger Kurven findet sich in XXIX, S. 187 und 188. ³⁾ Die Streifenbruchteile sind Mittelwerte aus mindestens drei Ablesungen. Die maximale Abweichung von diesen Mittelwerten beträgt höchstens einige Hundertstel Streifen. Wegen der Bestimmung der ganzen Streifenzahlen vgl. S. 17. ⁴⁾ Die Kammerlänge wurde von den Autoren durch Anpassung des Absolutwertes ihrer Messungen an den in Tabelle 3b für NH_4NO_3 mitgeteilten Wert berechnet. ⁵⁾ Eine ausführliche Kritik der Ergebnisse anderer Autoren ist bei K. FAJANS und H. KOHNER (XIV) zu finden. ⁶⁾ Der Index L bezieht sich auf Luft.

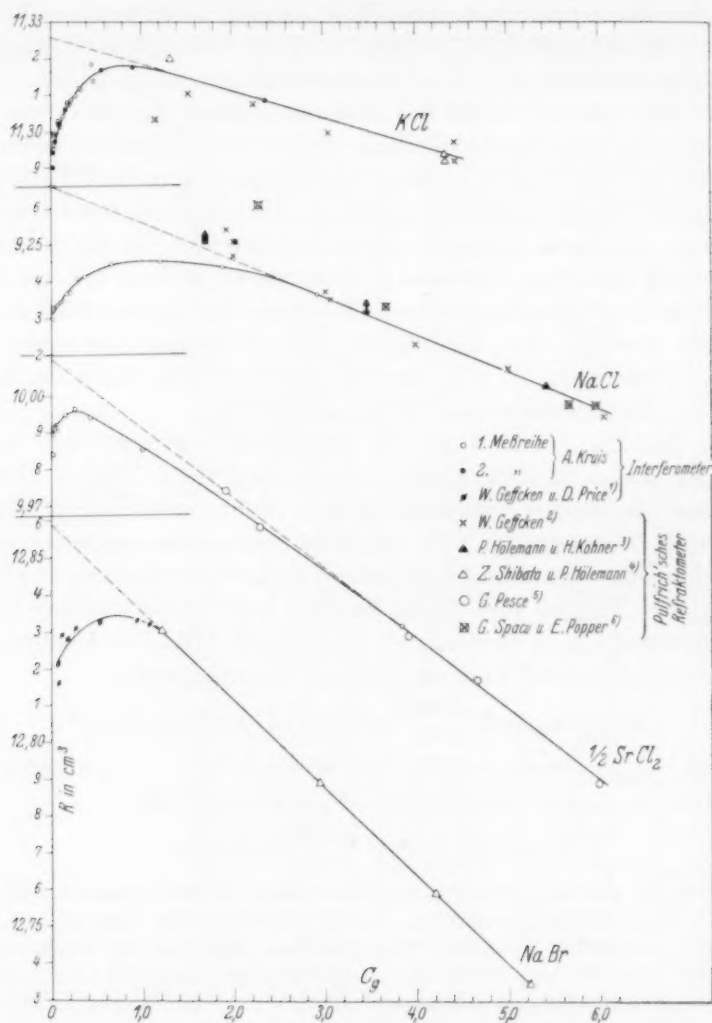


Fig. 1. Die Abhängigkeit der scheinbaren Äquivalentrefraktion von der Konzentration bei 25.00° 7).

- 1) GEFFCKEN, W. und PRICE, D., XXXIX. 2) GEFFCKEN, W., XI.
 3) HÖLEMAN, P. und KOHNER, H., XIX. 4) SHIBATA, Z. und HÖLEMAN, P., XX.
 5) PESCE, G., XXII. 6) SPACU, G. und POPPER, E., Z. physik. Chem. (B) 25 (1934) 460. 7) Die Meßpunkte bei NaBr wurden nicht auf Vakuum umgerechnet.

da alle Glieder höherer Ordnung vernachlässigbar klein sind³⁾).

Fig. 3 diene zum Vergleich der eigenen mit der unlängst von BRODSKY und Mitarbeitern⁴⁾ aufgestellten Refraktionskurve von KCl . Die Autoren bestimmten die Brechungsindizes der Lösungen von 0.01 bis 1.1 norm. mit einem Zeisschen Flüssigkeitsinterferometer, von 0.8 bis 1.5 norm. mit dem üb-

1) GEFFCKEN, W.

und PRICE, D., XXXIX.

2) LÜHDEMANN, R., XLII.

3) Die Vakuumkorrektur bewirkt innerhalb der Meßgenauigkeit des PULF-
RICHSCHEN Refraktometers nur eine Parallelverschiebung, die bei KCl 0.007 cm³, bei $NaCl$ 0.005 cm³, bei $1/2 SrCl_2$ 0.004 cm³, bei NH_4NO_3 0.011 cm³ und bei $1/2 Na_2SO_4$ 0.003 cm³ beträgt. Auf die Ionenrefractionen hat dies keinen die Fehlergrenze derselben überschreitenden Einfluß. 4) BRODSKY, A. E. und FILIPPOVA, N. S., Z. physik. Chem. (B) 31 (1936) 227; 26 (1933) 399. BRODSKY, A. E. und SCHERSCHERWER, J. M., Z. physik. Chem. (B) 26 (1933) 412 und Acta phys. chim. URSS 3 (1935) 685.

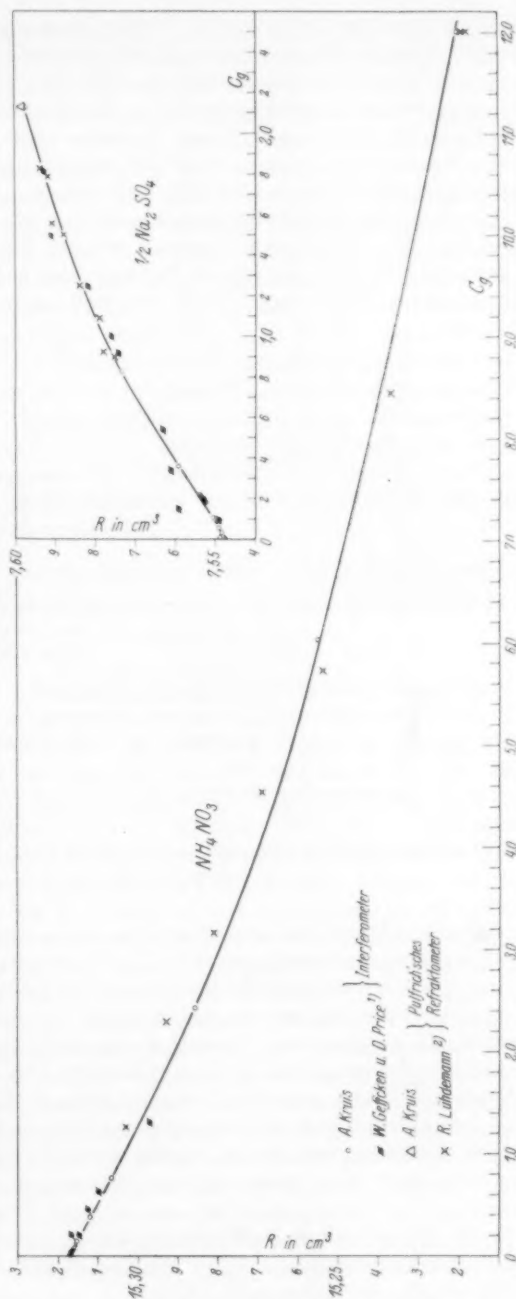


Fig. 2. Die Abhängigkeit der scheinbaren Äquivalentrefraktion von der Konzentration bei 25.00°.

lichen PULFRICHschen Refraktometer. Infolge des geringen Kompensationsbereiches (etwa 180 Streifen) des verwendeten Interferometers ermittelten sie den von Lösungen mit Konzentrationen größer als 0,15 norm. erzeugten Gangunterschied stufenweise, indem die betreffenden Lösungen gegen eine jeweils verdünntere und die verdünnteste direkt gegen Wasser gemessen wurde. Die Werte für das Molvolumen wurden neben einigen eigenen Messungen hauptsächlich der Arbeit von W. GEFFCKEN und D. PRICE (XXXIX) entnommen.

Die angegebene Refraktionskurve stimmt aber mit unserer nur in dem kleinen Bereich von 0,05 bis 0,3 norm. überein¹⁾, nämlich dort, wo die von den Autoren mit der 4-cm-Kammer beobachteten Streifenahlen nicht zu klein waren und die Gangunterschiede direkt gegen Wasser ermittelt wurden. Sowohl nach kleineren

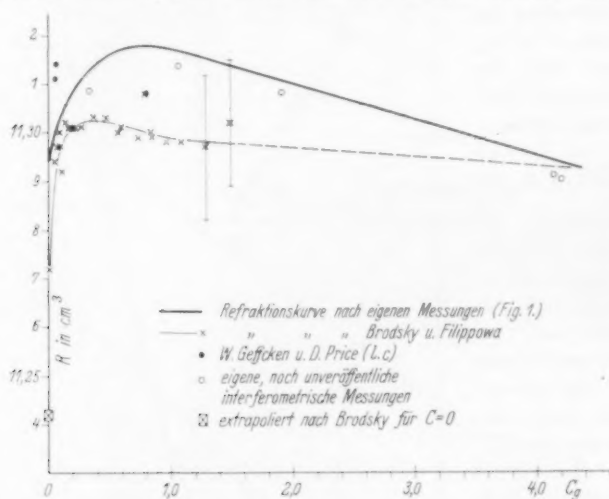


Fig. 3. Vergleich der von BRODSKY und FILIPPOWA aufgestellten Refraktionskurve von KCl mit der eigenen.

als auch nach größeren Konzentrationen hin treten erhebliche Abweichungen von dem von uns festgestellten Kurvenverlauf auf. Der Abfall der Refraktion zwischen 0,1 norm. und $C=0$ ist ungefähr fünfmal so groß, wie der aus unseren Messungen sich ergebende, was auf dem starken Abbiegen der BRODSKYschen n -Kurve bei höheren Verdünnungen beruht, während die von uns beobachtete n -Kurve zwischen $\sqrt{C_g}=0,5$ und 0,1 einen linearen Verlauf besitzt²⁾. Da unsere Messungen in dem erwähnten Gebiet aber mindestens zehnmal genauer sind (50-cm-Kammer gegenüber 4-cm-Kammer), und da ferner das von den russischen Autoren gefundene Abbiegen an einen hyperbolischen Verlauf erinnert³⁾, wie er in diesem Fall durch Fehler bedingt sein kann, halten wir den erwähnten starken Abfall für nicht reell.

¹⁾ Ein Unterschied in den Absolutwerten bis zu 0,005 cm³ (vgl. XXIX) liegt innerhalb der Fehlergrenzen. ²⁾ Siehe auch XXIX, S. 187, Fig. 2. ³⁾ Vgl. z. B. FAJANS, K. und KOHNER, H., XIV.

Die Abweichungen der Kurven oberhalb 0·3 norm. liegen außerhalb der beiderseitigen Meßgenauigkeit. Die hervorgehobene, gute Übereinstimmung ihrer Werte mit den drei, in Fig. 3 ebenfalls eingetragenen Punkten von W. GEFFCKEN und D. PRICE (XXXIX) darf nicht als Stütze für die Richtigkeit ihrer Ergebnisse angesehen werden, denn jene sind besonders unsicher, was die Autoren durch den kleinen Druck der 3. Dezimale von R für KCl andeuteten. Die mit den möglichen Fehlergrenzen eingezeichneten, mit dem PULFRICHschen Refraktometer gewonnenen Punkte bei 1·3 und 1·5 norm. verbürgen ebenfalls die Richtigkeit der interferometrischen Messungen nicht. Die von den Autoren aufgestellte Refraktionskurve kann den Tatsachen nicht entsprechen, denn selbst wenn wir die von uns für die D_g -Linie bei den Meßpunkten um 1 norm. mit der 1-cm-Kammer bestimmten Streifenahlen um Eins erniedrigen würden, lägen die BRODSKYschen Werte weit außerhalb der Fehlergrenze zu hoch. Gegen eine Erniedrigung sprechen aber alle S. 17f. hervorgehobenen Kriterien¹⁾. Endlich sei noch erwähnt, daß die BRODSKYsche Refraktionskurve dem in früheren Arbeiten oberhalb 2 norm. sichergestellten Refraktionsgang (vgl. Fig. 1) widerspricht. Wegen der auch bei $NaCl$ vorliegenden Unstimmigkeit²⁾ und der von BRODSKY und Mitarbeitern vorgeschlagenen Deutung der Refraktionsgänge sei auf die Diskussion von K. FAJANS und W. GEFFCKEN³⁾ sowie auf eine spätere Arbeit⁴⁾ verwiesen.

In bezug auf die im verdünnten Gebiet beobachteten refraktometrischen Effekte⁵⁾ lassen sich die untersuchten Elektrolyte in drei Gruppen einteilen.

¹⁾ Die mit einer neu gebauten Metallkammer ermittelten und in Fig. 3 aufgenommenen Meßpunkte stimmen mit den mit der Glaskammer (KRUIS, A. und GEFFCKEN, W., XXVI) bestimmten bis auf einen Fehler im Absolutwert von 0·003 cm³ überein. ²⁾ Vgl. dazu GEFFCKEN, W. und KRUIS, A., Sow. Phys. 5 (1934) 155. ³⁾ FAJANS, K. und GEFFCKEN, W., Z. physik. Chem. (B) 23 (1933) 428 und Sow. Phys. 5 (1934) 160. ⁴⁾ KrUIS, A., Mitt. LI. ⁵⁾ Hinsichtlich der Beurteilung von Messungen früherer Autoren im verdünnten Gebiet (DIJKEN, HALLWACHS und KOHLRAUSCH) kann auf XXIX verwiesen werden. Es wurden dort und von K. FAJANS und W. GEFFCKEN (Z. physik. Chem. (B) 23 (1933) 428) auch die Resultate von BRODSKY und Mitarbeitern ausführlich diskutiert.

R. CRAIG und C. L. A. SCHMIDT (Austral. J. exper. Biol. a. med. Sci. 9 (1932) 33) beschäftigten sich mit der interferometrischen Untersuchung (Zeiss'sches Flüssigkeitsinterferometer) von Elektrolyten, Aminosäuren und Proteinen bei 25° meist unterhalb 0·1 norm. Die Autoren geben ihre Messungen, mit Ausnahme von HCl , Oxalsäure und Dichloressigsäure, in Form von graphischen Darstellungen kleinen Maßstabes wieder. Die von ihnen erreichte Genauigkeit ist kleiner als die von uns erzielte.

Auf Grund von interferometrischen Messungen mit einer 1-cm-Kammer an $NaCl$ -Lösungen im Bereiche von 0·0₂2—0·0₄1 norm. (WALKE, H. J., Philos. Mag. (7) 20 (1935) 32) glaubt F. H. NEWMAN (Philos. Mag. (7) 17 (1934) 1072) eine deutliche Änderung der Äquivalentrefraktion bei etwa 0·0₃5 norm. und damit ein Anzeichen vollständiger Dissoziation gefunden zu haben. Nach der in XXIX, S. 182 mitgeteilten Fehlerdiskussion erscheint es indes ganz unmöglich, bei diesen geringen Konzentrationen noch Feinheiten der Refraktionskurve feststellen zu können.

1. Die Alkalihalogenide NaCl , KCl und NaBr^1) (vgl. XXIX und XXXIX) weisen bei etwa 1 norm. ein Maximum auf. Bei allen drei Salzen besitzt der Unterschied in den Refraktionswerten für $C=0$, die sich einerseits durch lineare Extrapolation des annähernd geradlinigen Verlaufes bei Konzentrationen über 2 norm. und andererseits durch Extrapolation des im verdünnten Gebiet festgestellten Ganges ergeben, einen innerhalb der Fehlergrenze gleichen Betrag von etwa 0.03 bis 0.04 cm^3 . Bei SrCl_2 scheint das Maximum bei einer kleineren Konzentration zu liegen, etwa bei 0.3 norm. Die Lage dieses Maximums und der Abfall der Refraktion nach größeren Verdünnungen hin kann jedoch infolge der Unsicherheit im Verlauf des Molvolumens noch nicht genau angegeben werden. Auch bei $1/2 \text{ SrCl}_2$ dürfte der bisher angenommene Refraktionswert für unendliche Verdünnung, der durch geradlinige Extrapolation der Messungen über 2 norm. erhalten wurde, um höchstens 0.03 cm^3 zu hoch sein²⁾.

2. Der Verlauf der Refraktion bei NH_4NO_3 ist im Bereiche von 0.01 bis etwa 3 norm. annähernd linear. Zwischen 3 und 6 norm. findet, wie schon R. LÜHDEMANN festgestellt hat, eine allmähliche Abschwächung des negativen Ganges statt, so daß die Neigung des zwischen 6 und 12 norm. wieder annähernd linearen Ganges nur etwa die Hälfte der zwischen 0.1 und 3 norm. gefundenen ($-0.013 \text{ cm}^3/C_9$) beträgt.

3. Die von R. LÜHDEMANN (XLII) bei Na_2SO_4 beobachtete Zunahme der Refraktion mit steigender Konzentration konnte bestätigt werden. Mit zunehmender Verdünnung wird der Gang etwas steiler. Die Kurve zeigt eine in ihrem gesamten Verlauf merkbliche Durchkrümmung.

Durch Extrapolation der Kurven in Fig. 1 und 2 ergeben sich für unendliche Verdünnung folgende Refraktionswerte für die D_3 -Linie, deren Absolutwerte auf etwa 0.005 cm^3 sicher sein dürften.

¹⁾ Die optischen Messungen an NaBr von W. GEFFCKEN und D. PRICE (XXXIX) waren sicher genauer als die an KCl , können aber nicht mit den hier mitgeteilten an Zuverlässigkeit verglichen werden und müssen deshalb als vorläufig gelten. ²⁾ Die mit der angewandten, verfeinerten Meßmethodik oberhalb 1 norm. feststellbaren Neigungen der Refraktionsgänge erlauben eine noch

sichere Entscheidung zugunsten der Nichtadditivität der Refraktionswerte bei verschiedenen Konzentrationen als sie bereits mit früheren, weniger genauen Messungen möglich war. So ist z. B. $\Delta R/\Delta C$ bei $\text{SrCl}_2 > \Delta R/\Delta C$ bei NaCl . Vgl. dazu FAJANS, K. und LÜHDEMANN, R., XLIII.

Tabelle 4. Refraktionswerte für die D_3 -Linie bei 25.00° und $C=0$.

	<i>NaCl</i>	<i>KCl</i>	<i>NaBr</i>	$\frac{1}{2}$ <i>SrCl</i> ₂	<i>NH</i> ₄ <i>NO</i> ₃	<i>Na</i> ₂ <i>SO</i> ₄
Extrapolation d. Verlaufes im verdünnten Gebiet	9.23 ₂	11.29 ₆	12.82 ₅	9.99 ₀	15.31 ₇	7.54 ₁
Lineare Extrapolation des Verlaufes über 2 norm.	9.26 ₃	11.32 ₅	12.86 ₀	10.01 ₀	15.31 ¹⁾	7.56 ²⁾

Äquivalentrefraktionen für gelöste Ionen bezogen auf $R_{Na^+} = 0.200$.

$Na^+ = 0.200$	$Cl^- = 9.03_2$
$K^+ = 2.26_4$	$Br^- = 12.62_5$
$\frac{1}{2} Sr^{2+} = 0.95_8$	$\frac{1}{2} SO_4^{2-} = 7.34_7$

Wegen der eventuell notwendigen Korrekturen an den Einzelwerten der Ionenrefraktionen, welche die refraktometrischen Effekte im verdünnten Gebiet bedingen, kann auf die Diskussion von K. FAJANS und R. LÜHDEMANN (XLIII) verwiesen werden. Eine Deutung der Refraktionsgänge im verdünnten Gebiet erfolgt in der anschließenden LI. Mitteilung.

V. Die Abhängigkeit der Äquivalentdispersion von der Konzentration.

In den Fig. 4, 5 und 6 sind die in Tabelle 3b berechneten Werte der Äquivalentdispersion für die Salze *NaCl*, *NH*₄*NO*₃ und *Na*₂*SO*₄ in Abhängigkeit von der Konzentration dargestellt. Sowohl bei *NaCl* und *Na*₂*SO*₄ als auch bei *KCl* und *SrCl*₂ läßt sich der Verlauf der Dispersion mit der Konzentration in dem bis jetzt untersuchten Konzentrationsbereich gut durch gerade Linien wiedergeben. Bei *NH*₄*NO*₃ wird der Dispersionsgang³⁾ mit steigender Konzentration merklich schwächer⁴⁾.

¹⁾ Nach LÜHDEMANN, R., XLII. ²⁾ Durch lineare Extrapolation des Ganges zwischen 1 und 2 norm. gewonnen. ³⁾ Im folgenden wird unter Dispersions- bzw. Refraktionsgang immer der Gang der Dispersion bzw. Refraktion in Abhängigkeit von der Konzentration verstanden. ⁴⁾ Der Dispersionsgang läßt sich bis zu Konzentrationen von etwa 0.05 norm. hinab mit erheblicher Sicherheit beurteilen, wenn man folgendes beachtet. Zeigen bei einer Konzentration die Meßpunkte für alle Wellenlängen annähernd die gleiche Abweichung von der vermutlich richtigen Kurve, so ist offenbar nur der Bezugswert der Refraktion für He_r falsch und darf deshalb entsprechend korrigiert werden. Bei *NH*₄*NO*₃ wurde die Refraktion für He_r um folgende Beträge erhöht:

$C_e = 0.009842_5$	um 0.022 cm ³	entspricht Q_{He_r} 0.03	Streifen oder 1.2 T. T.
$C_e = 0.02087_4$	„ 0.017 „	„ Q_{He_r} 0.05	„ „ 2.0 T. T.
$C_e = 0.042887_5$	„ 0.036 „	„ Q_{He_r} 0.03	„ „ 1.2 T. T.

Je größer der Unterschied in den Wellenlängen ist, für welche die Diffe-

Die einzelnen Meßpunkte weichen von den gezogenen Kurven höchstens um einige Einheiten der 4. Dezimale ab und liegen durchwegs innerhalb der nach

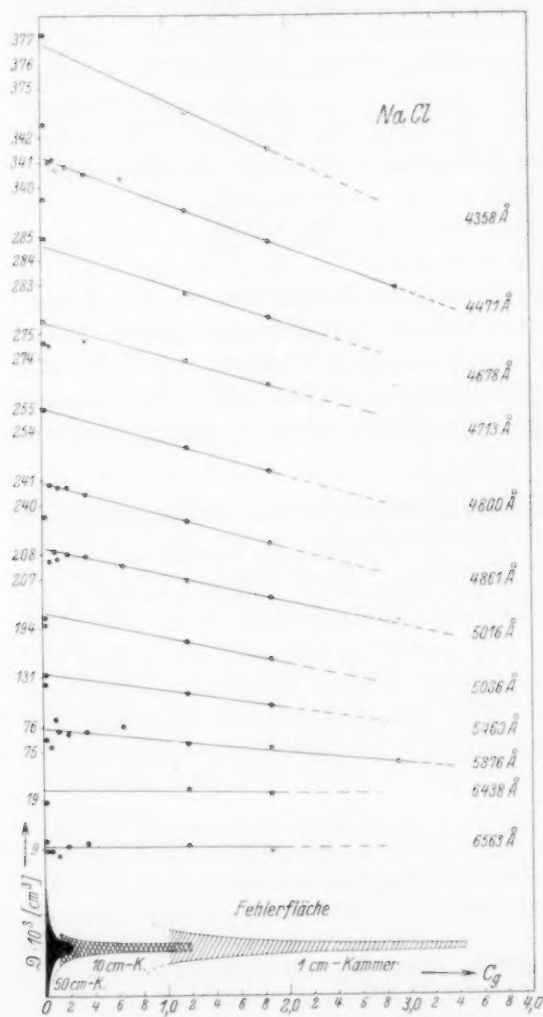


Fig. 4. Die scheinbare Äquivalentdispersion von NaCl ($\Delta = R_\lambda - R_{6678}$) in Abhängigkeit von der Konzentration.

der Dispersionsgänge und desto leichter können z. B. Abweichungen von der Linearität festgestellt werden (vgl. die Kurven von NH_4NO_3).

tions Das finde we und
innerhalb der nach S. 20 für die drei benutzten Kammerlängen berechneten und in Fig. 4 wiedergegebenen Fehlerfläche. Die Meßgenauigkeit von Δn für die angegebenen Wellenlängen beträgt demnach bei der 50-cm-Kammer 0,02, bei der 10-cm-Kammer 0,01. Die mit der hier angewandten Meßmethode festgestellten

Konzentrationsgänge der Äquivalentdispersionen sind also mit keinem größeren relativen Fehler behaftet als die der Molrefraktion.

Bei den Salzen NaCl , KCl , SrCl_2 und NH_4NO_3 nimmt die Dispersion mit steigender Konzentration ab ($\Delta\Delta/\Delta C < 0$, „negativer Dispersionsgang“), während sie bei Na_2SO_4 ansteigt („positiver Dispersionsgang“). Ein Vergleich der Konzentra-

renz der Refraktionswerte bei den verschiedenen Elektrolyten gebildet wurde, desto stärker ist die Neigung

tionsgänge der Dispersion mit denen der Refraktion ergibt folgendes: Das bei den Halogeniden im Refraktionsgang auftretende Maximum findet sich im Dispersionsgang nicht angedeutet¹⁾. Dagegen ist eine weitgehende Analogie zwischen dem Charakter der Dispersionsgänge und dem der über 1 norm. beobachteten Refraktionsgänge festzustellen,

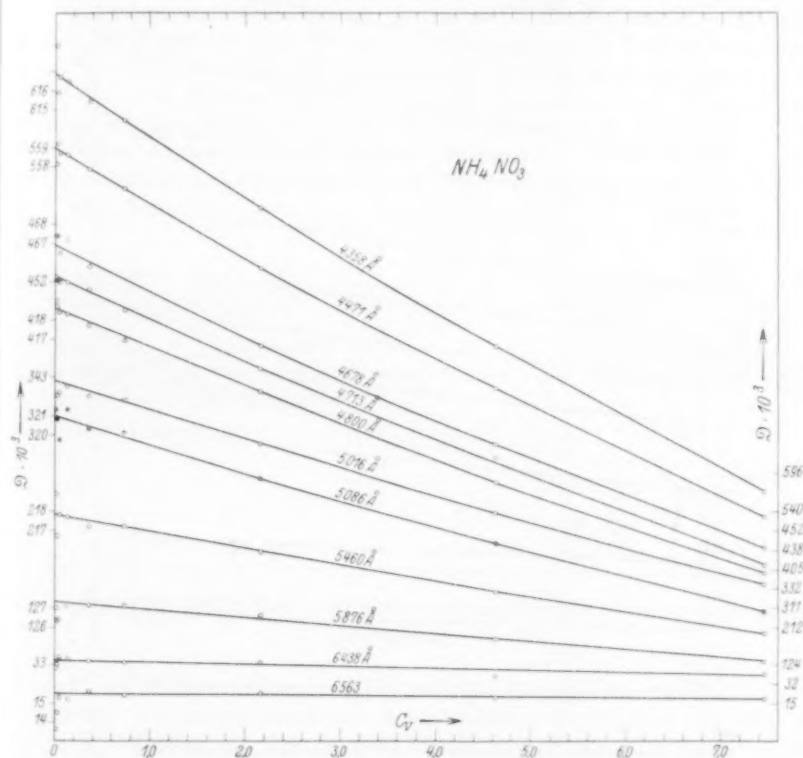


Fig. 5. Die Abhängigkeit der scheinbaren Äquivalentdispersion von NH_4NO_3 ($\mathfrak{D} = R_\lambda - R_{6678}$) von der Konzentration bei 25.00° .

nicht nur hinsichtlich des Vorzeichens, sondern auch in bezug auf die Abstufung der Stärke dieser Gänge bei verschiedenen Elektrolyten. Zur Veranschaulichung der Steilheit der Dispersionsgänge der unter-

¹⁾ Daraus folgt nach der Dispersionstheorie rein qualitativ, daß die Dispersions- und Refraktionsgänge der obigen Salze nicht aus Veränderungen einer Bande erklärt werden können. Die quantitative Betrachtung in der folgenden Arbeit wird diese Folgerung bestätigen.

suchten Elektrolyte diene Fig. 7. Die in ihr gegen ν^2 aufgetragenen Neigungen der Dispersionsgänge $\Delta\varnothing/\Delta C_g$ dürften bis auf etwa $0,033 \text{ cm}^3/C_g$ sicher sein. Die negativen Dispersionsgänge lassen

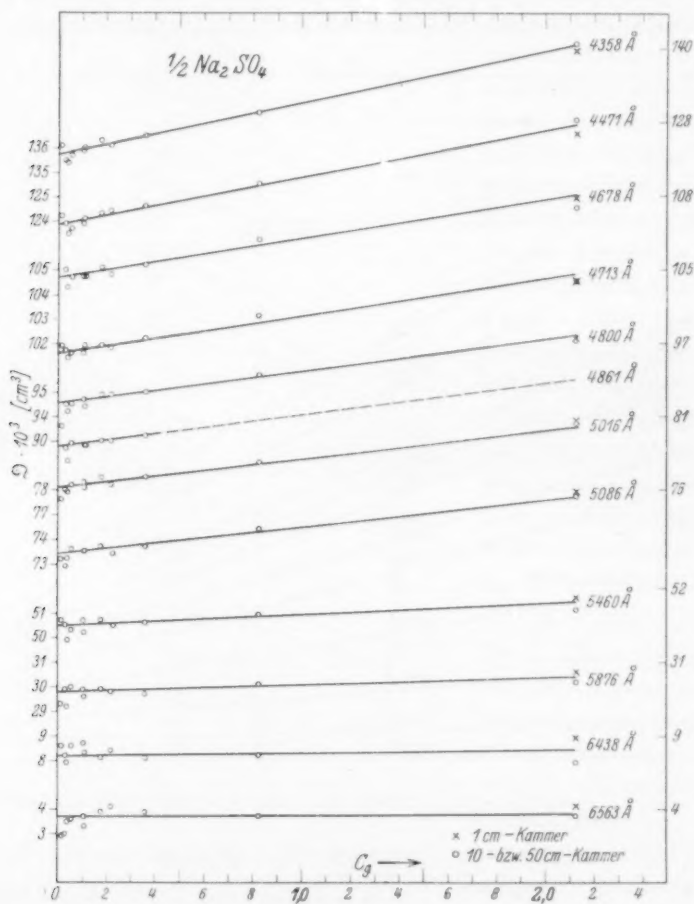


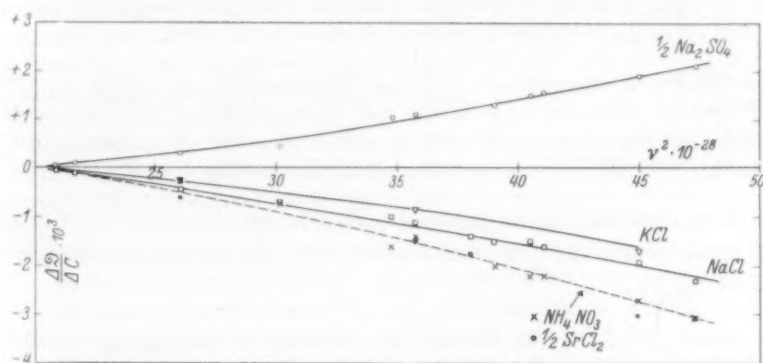
Fig. 6. Die Konzentrationsabhängigkeit der scheinbaren Äquivalentdispersion von Na_2SO_4 bei $25,00^\circ$ ($\varnothing = R_\lambda - R_{6678}$).

deutlich folgende Staffelung ihrer Kurven erkennen: $\frac{1}{2} \text{SrCl}_2$, $\text{NH}_4\text{NO}_3 > \text{NaCl} > \text{KCl}$. Die erwähnte Analogie zwischen den Refraktions- und Dispersionsgängen wird durch Tabelle 5 erläutert, in der die Neigungen dieser bis jetzt untersuchten Gänge zusammengestellt sind.

Tabelle 5. Steilheit der Konzentrationsgänge von Refraktion (über 2 norm.) und Dispersion¹⁾ in cm^3/C_g .

	$\frac{1}{2} \text{SrCl}_2$	NH_4NO_3	NaCl	KCl	$\frac{1}{2} \text{Na}_2\text{SO}_4$ ²⁾
$\Delta R/\Delta C_g \cdot 10^2$	-1.9	-1.2	-1.0	-0.7	+1.8
$\Delta \mathfrak{D}/\Delta C_g \cdot 10^3$	-3.0	-2.4	-2.0	-1.6	+1.9

In Analogie zum Verhalten der Refraktion für die D_3 -Linie ist zu erwarten, daß sich die Dispersion beim Übergang von der Lösung zum Kristall in derselben Richtung ändert wie beim Konzentrieren der Lösung. Daß dies der Fall ist, sei an Hand der Tabelle 6 gezeigt. Die für kristallisiertes NaCl , KCl und RbCl angegebenen Werte für $\mathfrak{D} = R_{H\epsilon_0} - R_{D_3}$ wurden nach den von P. WULFF in XXXVIII aufgestellten Dispersionsformeln berechnet, während der Wert für $\mathfrak{D} = R_{CaW} - R_{D_3}$ für Na_2SO_4 einer direkten Messung von P. WULFF und D. SCHALLER (XXVII) ent-

Fig. 7. Die Stärke der im Sichtbaren festgestellten Dispersions-Konzentrationsgänge in Abhängigkeit von ν^2 .

stammt. Die entsprechenden, durch geradlinige Extrapolation der \mathfrak{D} - C -Kurven gewonnenen Äquivalentdispersionen bei unendlicher Verdünnung \mathfrak{D}_0 sind der Tab. 6, S. 66 entnommen. Das für CsCl nach Messungen von C. LÜBBEN im U.V.³⁾ extrapolierte \mathfrak{D}_0 , sowie das aus der Additivität der Ionendispersion bei unendlicher Verdünnung (S. 66) abgeschätzte \mathfrak{D}_0 von RbCl ist noch ziemlich unsicher. Zum Vergleich mit den Dispersionsdifferenzen sind in Tabelle 6 auch die Unterschiede zwischen der Refraktion des Kristalles und der Lösung für $C=0$ angegeben. Ganz analog der Refraktionsänderung der Alkalihalogenide beim Übergang von der Lösung zum Kristall scheint sich bei CsCl auch in der Größe der Dispersionsabnahme ein Einfluß des Gittertyps bemerkbar zu machen⁴⁾. In Ermangelung

¹⁾ $\mathfrak{D} = R_{447.1} - R_{667.8 \text{ m}\mu}$. — Die für NH_4NO_3 angegebenen Zahlen gelten nur für das Konzentrationsgebiet unterhalb 3 norm. Oberhalb dieser Konzentration wird sowohl der Refraktions- als auch der Dispersionsgang schwächer. ²⁾ Zwischen 1 und 2 norm. ³⁾ Vgl. die nachfolgende Mitt. L von KRUIS, A. und GEFFCKEN, W. ⁴⁾ FAJANS, K., IV und WULFF, P., XXXVIII.

genauer Dispersionsangaben im sichtbaren Bereich für $RbCl$ und $CsCl$ sei eine nähere Diskussion der gefundenen Effekte für später vorbehalten. Bei Na_2SO_4 ist die Dispersion des Kristalles größer als die der Lösung.

Tabelle 6. Änderung der Äquivalentdispersion beim Übergang von der unendlich verdünnten Lösung ($C_v=0$) zum Kristall.

	<i>NaCl</i>	<i>KCl</i>	<i>RbCl</i>	<i>CsCl</i>	$\frac{1}{2} Na_2SO_4$
Kristall $\left\{ \begin{array}{l} \phi [cm^3] \dots\dots\dots \\ C_v \text{ „} \dots\dots\dots \\ \varnothing \text{ „} \dots\dots\dots \end{array} \right.$	26·97 37·10 ₆ 0·18 ₄	37·49 26·68 0·240	43·14 23·18 0·27 ₂	42·19 23·70 0·31 ₂	53·31 18·75 ₈ 0·1 ₃
Lösung $\varnothing_0 [cm^3] \dots\dots\dots$	0·265 ₁	0·287 ₅	(0·3 ₇)	(0·60)	0·064 ₇
$\mathcal{L}\varnothing = \varnothing_{\text{Krist.}} - \varnothing_0 \dots\dots\dots$	- 0·07 ₉	- 0·04 ₇	(- 0·10)	(- 0·29)	+ 0·06 ₅
$\mathcal{L}\varnothing \cdot 10^3 \left\{ \begin{array}{l} \text{Lsg.} \rightarrow \text{Krist.} \dots \\ \text{Lösung} \dots\dots\dots \end{array} \right.$	- 2·1 - 1·4	- 1·8 - 1·5	(- 6· ₅) —	(- 12·0) - 1·8	+ 3·5 + 1·8
$R_{\text{Krist.}} [cm^3] \dots\dots\dots$	8·52	10·83	12·55	15·20	7·48
$R_0 [cm^3] \dots\dots\dots$	9·23 ₂	11·29 ₇	12·85	15·60	7·54 ₇
$\mathcal{L}R = R_{\text{Krist.}} - R_0 \dots\dots\dots$	- 0·71	- 0·37	- 0·30	- 0·40	- 0·07
$\mathcal{L}\varnothing/\mathcal{L}R \dots\dots\dots$	+ 0·11	+ 0·13	(+ 0·3 ₃)	(+ 0·7 ₂)	- 0·9

Eine Deutung der festgestellten Dispersions-Konzentrationsgänge vom Standpunkt der Dispersionstheorie erfolgt in der anschließenden Mitteilung II.

Herrn Prof. Dr. K. FAJANS bin ich für die Anregung zu dieser Arbeit, sein gütiges Interesse und seine fördernde Kritik zu Dank verpflichtet. Herrn Dr. phil. hab. W. GEFFCKEN danke ich für seine freundliche Mithilfe bei der Durchführung dieser Arbeit. Der Justus v. Liebig-Gesellschaft sei hier für die Gewährung eines Stipendiums, das mir die Ergänzung dieser Arbeit ermöglichte, ergebenst gedankt, desgleichen der Notgemeinschaft der Deutschen Wissenschaft, deren Eigentum das hier verwendete Interferometer ist.

Physikalisch-chemisches Institut an der Universität München.

Die Äquivalentdispersion von starken Elektrolyten in Lösung.

II. Die physikalische Deutung der beobachteten Effekte¹⁾.

Von

A. Kruis und W. Geffcken.

(Mit 1 Figur im Text.)

(Eingegangen am 29. 6. 36.)

1. Die in Mitt. XLVIII festgestellte Abnahme der Dispersion von $NaCl$ mit steigender Konzentration läßt sich ausreichend durch eine Verschiebung der dem Chlorion zugeordneten Eigenfrequenz nach U.V. erklären, während für den Konzentrationsgang der Molrefraktion hauptsächlich die Veränderung einer im fernen U.V. liegenden Bande verantwortlich gemacht werden muß. Ein qualitativer Vergleich der Stärke der im Sichtbaren und U.V. (nachfolgende Mitteilung) beobachteten negativen Dispersionsgänge der Alkalihalogenide deutet auf eine Kationenabhängigkeit der Konzentrationsgänge der Bandenparameter hin. Da die Lage der langwelligen, ultravioletten Absorptionsmaxima der Halogenionen praktisch unabhängig von der Konzentration und vom Kation ist, ergibt sich eine mit steigender Konzentration wachsende Rotverschiebung des Absorptionsmaximums gegen die Eigenfrequenz. Sie ist auf die mit der Erhöhung der Konzentration verbundene Zunahme der LORENTZ-LORENZschen Kraft zurückzuführen.

2. Mit Hilfe der im Sichtbaren und im U.V. gefundenen $\Delta\mathfrak{D}/\Delta C$ -Werte werden aus den für die D_3 -Linie beobachteten Konzentrationsgängen der Refraktion diejenigen für λ_∞ berechnet. Die Gänge für λ_∞ erweisen sich um etwa 30% schwächer als die für die D_3 -Linie gefundenen. Die von K. FAJANS und Mitarbeitern an starken Elektrolyten festgestellten Gesetzmäßigkeiten behalten auch für λ_∞ ihre Gültigkeit.

3. Die auf unendliche Verdünnung extrapolierte, scheinbare Dispersion des gelösten $NaCl$ wird in dem bis jetzt untersuchten Spektralbereich gut durch eine dreigliedrige Formel dargestellt, deren positives ultrarotes Glied der Verminderung des ultraroten Anteiles der Wasserrefraktion durch die Ionen zuzuschreiben ist. An Hand der Absorptionsmessungen von R. SUHRMANN und F. BREYER im U.R. läßt sich zeigen, daß der refraktometrische Lösungseffekt nicht allein durch die von der Einwirkung der Ionen herrührende Veränderung der ultraroten Banden des Wassers bedingt sein kann. Das bei Na_2SO_4 gefundene negative, ultrarote Glied dürfte auf den Einfluß der bei 9 und 16 μ liegenden, aktiven Eigenschwingungen der SO_4^{2-} -Gruppe zurückzuführen sein.

4. Auf Grund der vorläufigen Annahme, daß Na_i^+ dispersionsfrei sei, werden die auf unendliche Verdünnung extrapolierten Äquivalentdispersionen der gelösten Salze in die ihrer Ionen zerlegt. $\mathfrak{D}_{K_i^+}$ ist merklich größer als $\mathfrak{D}_{Na_i^+}$. Der

¹⁾ Zugleich II. Mitteilung der „Refraktometrischen Untersuchungen“. Wegen der abgekürzten Bezeichnung der hier zitierten früheren Arbeiten vgl. XLVIII, KRUIS, A., Z. physik. Chem. (B) 34 (1936) 13.

von K. FAJANS und G. JOOS hervorgehobene Parallelismus zwischen der Abstufung der Ionendispersion und Refraktion bei analogen Ionen wird bestätigt. Die Refraktion von K^+ läßt sich durch eine eingliedrige Formel gut darstellen.

I. Die Dispersions-Konzentrationsgänge im Lichte der Dispersionstheorie.

Auf Grund der Dispersionstheorie¹⁾ muß die beobachtete Änderung der Refraktion und Dispersion in Abhängigkeit von der Konzentration durch eine entsprechende Veränderung der Eigenfrequenzen und Übergangswahrscheinlichkeiten der Oszillatoren verursacht sein. An Hand des in Mitt. XLVIII dargestellten experimentellen Materials sei hier nun versucht, diese Veränderungen quantitativ zu erfassen und damit auch den Zusammenhang mit den Absorptionsbefunden herzustellen. Im Gebiete unmerklicher Absorption gilt bekanntlich

$$R = \sum_i \frac{F_i}{\nu_i^2 - \nu^2}. \quad (1)^2$$

Da die Äquivalentdispersion definiert ist durch $\mathcal{D} = R_\lambda - R_1$, ergibt sich für deren Konzentrationsabhängigkeit³⁾:

$$\frac{\Delta \mathcal{D}}{\Delta C} = \sum_i \left\{ \left(\frac{1}{\nu_i^2 - \nu^2} - \frac{1}{\nu_i^2 - \nu_1^2} \right) \frac{\Delta F_i}{\Delta C} - \left(\frac{1}{(\nu_i^2 - \nu^2)^2} - \frac{1}{(\nu_i^2 - \nu_1^2)^2} \right) 2 \nu_i F_i \frac{\Delta \nu_i}{\Delta C} \right\}. \quad (2)$$

Die Äquivalentdispersion der untersuchten Salze für $C=0$ läßt sich gut darstellen durch Dispersionsformeln mit drei Gliedern, die einem ultraroten Anteil und zwei ultravioletten Bandenschwerpunkten entsprechen (vgl. S. 60). In den ultraroten Gliedern kann für den bis jetzt untersuchten Frequenzbereich ν_i^2 gegenüber ν^2 vernachlässigt werden. Sie lassen sich also zusammenfassen und liefern demnach zum Dispersionsgang einen Beitrag von

$$\frac{\Delta \mathcal{D}_{UR}}{\Delta C} = \left(\frac{1}{\nu_1^2} - \frac{1}{\nu^2} \right) \frac{\Delta F_{UR}}{\Delta C}, \quad (3)$$

dessen Abhängigkeit von ν^2 durch eine Hyperbel beschrieben wird, die für Werte von $\nu^2 > \nu_1^2$ ihre konkave Seite der ν^2 -Achse zuwendet. Der Anteil der ultravioletten Banden wird dagegen nach (2) durch

1) Vgl. den zusammenfassenden Abschnitt von K. F. HERZFELD und K. L. WOLF, in GEIGER-SCHEELS Handb. d. Physik, Bd. 20 (1928). 2) $F_i = e^2 \cdot p_i / 3 m \nu_i$, Zähler des i ten Summanden der „vereinfachten“ Dispersionsformel, wobei unter p_i die Oszillatorenstärke der i ten Sorte klassischer Ersatzoszillatoren verstanden wird. ν_i = „Eigenfrequenz“. 3) Bei den meisten bis jetzt untersuchten Fällen ist $\Delta \mathcal{D} / \Delta C$ im ganzen Konzentrationsbereich innerhalb der Meßfehler konstant. Nur bei hohen Konzentrationen scheinen die Dispersionsgänge etwas schwächer zu werden, z. B. bei NH_4NO_3 .

Kurven wiedergegeben, die gegen die ν^2 -Achse hin konvex gekrümmt sind. Aus dem Charakter der jeweils gefundenen $\Delta\mathfrak{D}/\Delta C - \nu^2$ -Kurve läßt sich somit entscheiden, in welchem Maße sich die ultraroten und ultravioletten Banden am Dispersionsgang beteiligen. Nimmt man z. B. an, daß der negative Dispersionsgang bei *NaCl* für $\lambda = 435.8 \text{ m}\mu$ durch die ultraroten Banden allein bewirkt wird, so ergibt sich die in Fig. 1 gestrichelt eingezeichnete Hyperbel. Ein Vergleich derselben mit der beobachteten Kurve zeigt aber, daß das Verhalten der Dispersion von *NaCl* unmöglich lediglich auf einem Ultraroteffekt¹⁾ beruhen kann, sondern praktisch vollständig durch die ultravioletten Banden bedingt ist. Auch bei den übrigen Salzen mit negativen Dispersionsgängen weist das gefundene, starke Ansteigen der $\Delta\mathfrak{D}/\Delta C$ -Werte mit zunehmendem ν^2 (Fig. 1 und Fig. 7 in XLVIII)²⁾ darauf hin, daß diese Gänge durch Ultravioletteffekte zustande kommen.

Da das von uns untersuchte Spektralgebiet weit entfernt von der Lage der ultravioletten Absorptionsmaxima ist, können wir den Einfluß der Dämpfung auf die Dispersionsgänge vernachlässigen. Da die Dämpfung selbst wie auch deren Konzentrationsabhängigkeit sehr klein ist (siehe S. 55), sind nähere Einzelheiten erst bei genauen Messungen in unmittelbarer Nähe der Absorptionsbande zu erwarten.

Infolge der relativ großen Unsicherheit von etwa $\pm 0.03 \text{ cm}^3/\text{C}$ an den im sichtbaren Gebiet gefundenen, verhältnismäßig kleinen $\Delta\mathfrak{D}/\Delta C$ -Werten lassen sich nach (2) die Werte für $\Delta F_i/\Delta C$ und $\Delta \nu_i/\Delta C$ der langwelligen ultravioletten Bande nur mit geringer Genauigkeit ermitteln³⁾. Die Änderung der Einzelparameter der zweiten ultravioletten Bande liegt bei weitem innerhalb der Meßfehler⁴⁾. Im Falle des *NaCl* findet man nach (2) und (4) für $\Delta F_i/\Delta C \sim 0.024 \cdot 10^{30}$ und für $\Delta \nu_i/\Delta C \sim 0.010 \cdot 10^{15}$, entsprechend einer Ultraviolettverlagerung der Eigenfrequenz um etwa $11 \text{ \AA}/\text{C}$ ⁵⁾.

¹⁾ Wegen der im Ultrarot vielfach beobachteten Veränderungen der Wasserbanden (siehe S. 63f.) unter dem Einfluß von Elektrolyten ist ein gewisser Beitrag der ultraroten Glieder zum Dispersionsgang zu erwarten. Um aber die Anteile der ultraroten und ultravioletten Banden am Dispersionsgang trennen zu können, sind genaue Dispersionsmessungen über einen großen Frequenzbereich erforderlich.

²⁾ Vgl. dazu besonders die Figuren der folgenden Arbeit. ³⁾ Die im Gange befindlichen Messungen im U.V. werden eine genauere Erfassung der Werte zulassen. ⁴⁾ Die Ableitung der Parameterwerte aus den Meßpunkten wird ausführlich in einer späteren Mitteilung erläutert werden. ⁵⁾ Nach Formel (5)

S. 61, der eine geringere Wahrscheinlichkeit beigemessen werden muß, würden sich folgende Werte ergeben: $\Delta F_i/\Delta C \approx 0.020 \cdot 10^{30}$ und $\Delta \nu_i/\Delta C \sim 0.0048 \cdot 10^{15}$, also

Wie Fig. 1, in der auch die im U.V. beobachteten Dispersionsgänge (L) eingetragen sind, zeigt, stimmen die mit diesen Werten berechneten Gangstärken gut mit den experimentellen Tatsachen überein.

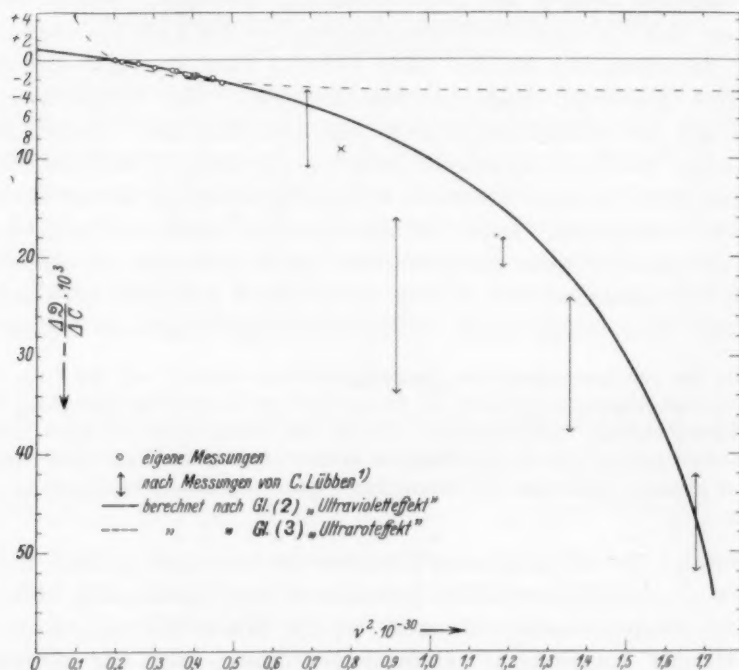


Fig. 1. Die Stärke der Dispersions-Konzentrationsgänge von NaCl in Abhängigkeit von der Frequenz.

Für die negativen Dispersionsgänge²⁾ der übrigen Salze (vgl. auch L) darf ebenfalls angenommen werden, daß sie auf der Ver-

praktisch die gleichen Beträge wie die obigen. Die im U.V. mit den beiden Wertepaaren und Dispersionsgleichungen berechneten $\Delta D/\Delta C$ -Werte stimmen ebenfalls gut überein.

¹⁾ Siehe die nachfolgende Arbeit von A. KRUIS und W. GEFFCKEN. ²⁾ Ähnliche Dispersionsgänge lassen sich auch für den FARADAY-Effekt und die optische Drehung erwarten. Die Meßgenauigkeit des ersteren reicht jedoch nicht aus, um die refraktometrischen Befunde in dieser Richtung zu ergänzen (siehe auch S. 68). Dagegen kann z. B. den Messungen der optischen Drehung des Methyl-propyl-phenylbenzyl-ammoniumions in verschiedenen konzentrierten Elektrolytlösungen von G. KORTÜM (Z. physik. Chem. (B) **31** (1935) 137) entnommen werden, daß mit einer Abnahme der Drehung eine Verringerung der Dispersion verknüpft ist.

änderung der betreffenden ersten ultravioletten Bande beruhen, daß also mit zunehmender Konzentration sowohl deren Eigenfrequenz als auch deren Übergangswahrscheinlichkeit größer wird. Die in Fig. 7 (XLVIII) und in Fig. 1 und 2 in L aufgezeigte Abstufung der Stärke der Dispersionsgänge läßt erwarten, daß in den Beträgen der Veränderung der Bandenparameter ein individueller Einfluß des Kations zutage tritt, so daß vermutlich die Verschiebung der Eigenfrequenz mit zunehmender Feldstärke der Kationen also vom Cs^+ zum Li^+ anwächst¹⁾.

Vergleicht man nun die von FROMHERZ und Mitarbeitern²⁾ an verschiedenen konzentrierten wässrigen Lösungen von Alkali- und Erdalkalihalogenuiden untersuchte Lichtabsorption mit den Ergebnissen der Dispersionsmessungen, so fällt die geringe Abhängigkeit der Absorptionsbanden der Halogenionen von der Konzentration und vom Kation auf. Die Absorptionsbanden des Br^- - und I^- -Ions sind praktisch vollständig unabhängig vom Kation, werden aber durch steigende Mengen an F^- , Cl^- und SO_4^{2-} -Ionen etwas nach U. V. verschoben. Bei Vergrößerung der eigenen Anionenkonzentration macht sich nur eine der Konzentration proportionale Verbreiterung bemerkbar³⁾. Dagegen wird bei den Chloriden, für die eine verschwindend kleine Verbreiterung anzunehmen ist, die Absorptionsbande durch zugesetzte Chlorionen selbst nach U. V. verschoben. Während aber diese linear von der Konzentration abhängige Verschiebung bei den Alkaliionen von der Natur des Kations unabhängig ist, nimmt sie

¹⁾ Die Abstufung der Verschiebungen bei den Anionen soll Gegenstand einer späteren Mitteilung sein. Infolge der geringen Genauigkeit der bis jetzt nur im U. V. vorliegenden Dispersionswerte für Bromide und Jodide (vgl. KRUIS, A. und GEFFCKEN, W., L) lohnt es die Mühe noch nicht, Dispersionsformeln aufzustellen.

²⁾ FROMHERZ, H. und MENSCHICK, W., Z. physik. Chem. (B) 7 (1930) 439. DIAMOND, H. und FROMHERZ, H., Z. physik. Chem. (B) 9 (1930) 289. Vgl. auch SCHEIBE, G., Ber. dtsch. chem. Ges. 59 (1926) 1321. v. HALBAN, H. und EBERT, L., Z. physik. Chem. 112 (1924) 321 und EISENBRAND, J., Z. physik. Chem. (A) 132 (1928) 401 und 433; 146 (1930) 294 stellten eine Abhängigkeit der spektralen Lage und der Höhe der Absorptionsbande der Nitrate von der Konzentration der Lösung und der Natur des Kations fest: Das Absorptionsmaximum wird durch Li^+ , Na^+ , NH_4^+ und K^+ nach U. V., durch Cs^+ , Rb^+ und Tetraalkylammonium-Ion nach Rot verschoben (vgl. die Diskussion bei FAJANS, K., VIII). Vgl. dazu auch KORTÜM, G., Z. physik. Chem. (B) 30 (1935) 317.

³⁾ Nimmt man die Bandenverbreiterung als symmetrisch an, so ergibt sich für die Zunahme der Halbwertsbreite etwa $0.3 \cdot 10^{13} \text{ sec}^{-1}/C$, ein um etwa 2 Zehnerpotenzen kleinerer Wert als für Halbwertsbreite selbst.

bei den Erdalkalitionen in Richtung vom Mg^{2+} zum Ba^{2+} zu (siehe Tabelle 1).

Tabelle 1.
Mittlere Ultraviolettverschiebung der Chlorionenbande in $m\mu$.

Kation	Mg^{2+}	Ca^{2+}	Alkali- ionen	Sr^{2+}	Ba^{2+}
$-\Delta\lambda/\Delta C$	$0.1 \pm 0.0_8$	$0.3 \pm 0.0_8$	0.4 ± 0.1	0.6 ± 0.1	$1.0 \pm 0.1_8$

Die auf Grund des Dispersionsganges bei $NaCl$ berechnete Verschiebung der Eigenfrequenz ist zweifellos größer als die beobachtete Verschiebung des Extinktionsmaximums. Die aus den Refraktionsmessungen gefolgerte Erhöhung der Bandenstärke dürfte indes noch innerhalb der Fehlergrenze der Absorptionsmessungen liegen¹⁾. Eine Erklärung für das verschiedene Verhalten von Lichtabsorption und Refraktion konnte von P. WULFF (XXXVIII) gegeben werden. Aus der früher von Z. SHIBATA und P. HÖLEMANN gerade noch beobachteten Abnahme der Dispersion von KJ mit steigender Konzentration (vgl. Mitt. XLVIII S. 23), schloß WULFF auf eine mit dem Konzentrieren der Lösung zunehmende Verlagerung der Eigenfrequenz nach U.V. Eine von der Konzentration praktisch unabhängige Lage des Absorptionsmaximums kann sich also nur dann ergeben, wenn das Wandern der Eigenfrequenz nach U.V. durch einen Rotverschiebungseffekt kompensiert wird. Nach der Dispersionstheorie fällt der Wert der in die Refraktionsformel eingehenden Eigenfrequenz ν_i mit dem der Frequenz maximaler Absorption ν_{max} nur dann zusammen, wenn der betreffende Stoff als verdünntes Gas vorliegt. Ist dagegen der Stoff im gelösten oder kristallisierten Zustand, so hängt sowohl die relative Lage von ν_{max} zu ν_i als auch ν_i vom Lösungsmittel²⁾ und von der Konzentration ab. So nimmt einerseits mit steigender Konzentration, also beim Übergang entweder von der unendlich verdünnten zur konzentrierten Lösung oder vom Ionengas zum Ionengitter die LORENTZ-LORENZsche Kraft und damit die Rotverschiebung des Extinktionsmaximums gegen die Eigenfrequenz zu. Die Vergrößerung der Differenz $\nu_i - \nu_{max}$ ist proportional der molaren Konzentration. Andererseits bedingen die sich gleichzeitig verändernden Feldenergien, gegen die bei der Ablösung des Elektrons Arbeit geleistet werden

¹⁾ Die erreichte Meßgenauigkeit der Bandenstärke beträgt höchstens 5%.

²⁾ Vgl. Handb. d. Physik von GEIGER und SCHEEL, Bd. 20 und besonders die Arbeiten von WULFF, P. XXIV und XXXVIII.

muß, eine Abhängigkeit der Eigenfrequenz von der Konzentration. Im Falle der bis jetzt untersuchten negativen Dispersionsgänge wandert die Eigenfrequenz mit zunehmender Konzentration nach U.V. Da aber die Abspaltungsarbeit die Resultante mehrerer Faktoren ist¹⁾, läßt sich bei dem bis jetzt vorliegenden geringen experimentellen Material noch schwer entscheiden, in welchem Maße die einzelnen Beträge von der Konzentration beeinflußt werden.

Vergleicht man die Konzentrationsabhängigkeit von ν_{\max} und ν_i bei den Alkali- und Erdalkalihalogenuiden, so ergibt sich folgendes. Das Rotwandern von ν_{\max} infolge der durch die zunehmende LORENTZ-LORENZsche Kraft bedingten Vergrößerung der Differenz von $\nu_i - \nu_{\max}$ kompensiert bei den Jodiden und Bromiden ganz, bei den Chloriden zum Teil die Ultraviolettverschiebung von ν_i , so daß die Lage von ν_{\max} nahezu konzentrationsunabhängig erscheint. Es läßt sich ferner vermuten, daß $\Delta(\nu_i - \nu_{\max})/\Delta C$ symbar mit der Feldwirkung des Kations ansteigt, da auf Grund der Dispersionsgänge eine analoge Zunahme von $\Delta\nu_i/\Delta C$ des betreffenden Anions anzunehmen ist. Bei den Erdalkalichloriden (vgl. Tabelle 1) kommt diese der Feldwirkung der Kationen proportionale Rotverschiebung schon in den Absorptionsspektren deutlich zum Ausdruck.

Berechnet man den Beitrag der Veränderung der Parameter der ersten Bande zum Konzentrationsgang der Refraktion für $C > 1$, so findet man, daß letzterer nur zu etwa einem Drittel durch die erste Bande allein bedingt sein kann. Man hat also anzunehmen, daß für den Konzentrationsgang der Äquivalentrefraktion zumindest eine

¹⁾ Nach J. FRANCK und G. SCHEIBE [Z. physik. Chem. **139** (1928) 22; SCHEIBE, G., Z. physik. Chem. (B) **5** (1929) 355; vgl. auch PAULING, L., Physic. Rev. **34** (1929) 154; ferner KATO, S., Sci. Pap. Inst. phys. chem. Res. **6** (1927); **12** (1930) 230; **15** (1931) 161] sind die Absorptionsspektren der Halogenionen in wässriger Lösung als modifizierte „Elektronenaffinitätsspektren“ aufzufassen. Der Elementarakt beruht also auf der Abtrennung eines Elektrons, wobei die verschiedene Hydratationsenergie von Ion und entstandenem Atom berücksichtigt werden muß. Über das Schicksal des abgetrennten Elektrons liegen wohl noch keine detaillierten Vorstellungen vor. Wir möchten annehmen, daß für dies solvatisierte Elektron gewisse verwaschene Energiebänder existieren, die von der Struktur der Lösung abhängen und eine weitere (neben der durch Deformation bedingten) Veränderlichkeit der Dispersionsparameter ergeben könnten. Vgl. die Untersuchung von A. v. HIPPEL (Z. Physik **93** (1934) 86) über das Absorptionsspektrum der Alkalihalogenide im extremen Ultraviolett, sowie R. DE L. KRONIG, Vortrag auf der Physikertagung Stuttgart. (Ref. Z. angew. Ch. **48** (1935) 752.)

im fernerem U.V. liegende Bande maßgebend ist¹⁾. Zu diesem Resultat kommt man schon auf rein qualitativem Wege, wenn man sich an das im Refraktionsgang bei NaCl , KCl , NaBr und SrCl_2 gefundene Maximum erinnert. Der Refraktionsgang muß deshalb hauptsächlich von dem zweiten Glied der Dispersionsformel, das auch den größten Beitrag zum Absolutwert der Refraktion liefert, bestimmt werden. Allerdings wird man nicht entscheiden können, ob sich nur der F_i - oder ν_i -Wert oder beide zugleich ändern. Jedenfalls wird die Veränderung dieser Parameter sich auf die beobachtete Dispersion bedeutend schwächer auswirken als eine entsprechende Änderung der längerwelligen Bande. Die in Mitt. XLVIII aufgezeigte Parallelität von Dispersions- und Refraktionsgang oberhalb 1 norm. legt den Schluß nahe, daß bei großen Konzentrationen an dem Beitrag des zweiten ultravioletten Gliedes der Schwerpunkt einer ebenfalls dem Halogenion zuzuordnenden Bandengruppe ausschlaggebend beteiligt ist (vgl. dazu L). Für die Veränderung der Parameter dieser Bande darf ebenfalls eine monotone Abhängigkeit von der Feldwirkung der Ionen erwartet werden.

Die an Alkalihalogeniden bis jetzt erzielten Ergebnisse lassen sich demnach in folgenden Sätzen zusammenfassen: Der Konzentrationsgang der Dispersion ist eine Folge der Konzentrationsabhängigkeit von Eigenfrequenz und Übergangswahrscheinlichkeit der langwelligen ultravioletten Halogenbanden. Die Abhängigkeit der Refraktion von der Konzentration dagegen ist hauptsächlich auf eine Veränderung der Parameter der im fernerem U.V. liegenden Banden zurückzuführen²⁾.

II. Die Refraktionsgänge für unendlich lange Wellen.

Mit Hilfe der in der vorhergehenden (XLVIII) und in der nachfolgenden Arbeit (L) festgestellten Abhängigkeit der Dispersionsgänge von der Wellenlänge lassen sich durch graphische Extrapolation die Stärken der Dispersionsgänge für λ_∞ und damit aus den für die D_s -Linie gemessenen Refraktionsgängen diejenigen für λ_∞ abschätzen. Aus

¹⁾ Diese Vermutung wurde schon in mehreren Arbeiten aus dem hiesigen Institut ausgesprochen. So kam z. B. P. WULFF (XXXVIII, S. 202) hinsichtlich der Änderung der Ionenrefraktion beim Übergang vom Kristall zur Lösung zum gleichen Schluß. ²⁾ Wegen der daraus gezogenen Folgerungen sei auf die folgende Arbeit von A. KRUIS verwiesen.

Tabelle 2, in welcher die für verschiedene Salze graphisch ermittelten Stärken der angenähert linearen Dispersions- bzw. Refraktionsgänge für λ_∞ bzw. die D_3 -Linie zusammengestellt sind, ist zu ersehen, daß die mit dem Übergang von der D_3 -Linie ($C_g > 1$) zu unendlich langen Wellen anscheinend regelmäßig¹⁾ verbundene Abschwächung der Refraktionsgänge höchstens 30 % beträgt²⁾. Die Gänge der scheinbaren Molrefraktion sind demnach auch für λ_∞ individuell. Die Ergebnisse der Dispersionsmessungen stehen somit nicht in Widerspruch zu der von K. FAJANS und Mitarbeitern über den Zustand starker Elektrolyte über 2 norm. vertretenen Ansicht³⁾.

Tabelle 2. Die Stärke der Refraktionsgänge für λ_∞ ($C_g > 1$).

Salz	$\left\{ \left(\frac{JQ}{JC} \right)_{D_3}^{D_3} + \left(\frac{JR}{JC} \right)_{D_3}^{4)} = \left(\frac{JR}{JC} \right)_{\lambda_\infty} \right\} \cdot 10^3$			Literatur betr. Refraktionsgänge
$\frac{1}{2}$ <i>SrCl</i> ₂	+ 3'₀	− 19'₀	− 16'₀	XXII u. v. A. ⁵⁾
<i>LiCl</i>	+ 3'₀	− 18'₀	− 15'₀	IX
<i>NaCl</i>	+ 1'₅ ⁶⁾	− 10'₂	− 9'₂	XI, XIX u. v. A.
<i>KCl</i>	+ 1'₀	− 6'₅	− 5'₅	XI, XX u. v. A.
<i>CaCl</i>	+ 1'₀	− 3'₀	− 2'₀	XI
<i>LiBr</i>	+ 3'₀	—	—	
<i>RbBr</i>	+ 3'₀	—	—	
<i>NaJ</i>	+ 12'₀	− 44'₃	− 32'₃	XI
<i>NH₄NO₃</i>	+ 2'₀	− 12'₀	− 10'₀	XLII u. v. A.
$\frac{1}{2}$ <i>Li₂SO₄</i>	− 1'₅	− 2'₀?	− 3'₅	IX
<i>NH₄F</i>	− 2'₀	—	—	
$\frac{1}{2}$ <i>Na₂SO₄</i>	− 2'₅	+ 20'₀	+ 17'₅	XLII u. v. A.
<i>NaClO₄</i>	− 4'₀	+ 11'₀	+ 7'₀	IX

III. Die Äquivalentdispersion bei unendlicher Verdünnung.

Die Dispersionswerte für unendliche Verdünnung lassen sich durch lineare Extrapolation der \varnothing -C-Kurven (vgl. XLVIII S. 46) erhalten. Die Unsicherheit des Verfahrens beträgt durchweg nur einige Einheiten der 4. Dezimale, liegt also in der Größenordnung der Meßfehler an ziemlich konzentrierten Lösungen. Der für die Berechnung der Konstanten der Dispersionsformel notwendige Absolut-

¹⁾ Ob *Li₂SO₄* eine Ausnahme darstellt, soll durch neue Messungen nachgeprüft werden. ²⁾ Im verdünnten Gebiet dagegen werden die Refraktionsgänge der bis jetzt bei $C_g < 1$ untersuchten Salze *SrCl*₂, *NaCl* und *KCl* beim Übergang von D_3 zu λ_∞ steiler. ³⁾ Siehe Mitteilung LI. ⁴⁾ Meist Mittelwerte zwischen 1 und 4 norm. Wegen der Individualität der Refraktionsgänge sei auf FAJANS, K. und LÜHDEMANN, R., XLIII hingewiesen. ⁵⁾ v. A. bedeutet vorliegende Arbeit. ⁶⁾ Für *NaCl* ergibt sich nach (2) ebenfalls $0.0_{21} \text{ cm}^3/\text{C}$.

wert der Refraktion wird durch Addition der Teildispersionen für verschiedene λ -Werte zur Refraktion der Bezugswellenlänge D_3 gewonnen. Diese erhält man durch graphische Extrapolation der R - C_g -Kurven.

Zur formelmäßigen Darstellung der Dispersion des gelösten NaCl kann die von P. WULFF für die HEYDWEILLERSchen Dispersionswerte¹⁾ bereits aufgestellte und begründete zweigliedrige Dispersionsformel²⁾ verwendet werden. Die beiden ersten Glieder der folgenden Dispersionsgleichung (4) entsprechen den Summanden der WULFFSchen Formel³⁾. Der erste Term gibt den Beitrag der langwelligen ultravioletten Bande des hydratisierten Chlorions zur Refraktion an. In dem zweiten Glied sind die Anteile des Cl^- -⁴⁾ und Na^+ -Ions sowie des Wassers summarisch zusammengefaßt⁵⁾. Die Unsicherheit in der Bestimmung des ν_i^2 -Wertes des ersten Gliedes aus den Absorptionsmessungen von G. SCHEIBE⁶⁾ beträgt nach WULFF etwa 0·2%. Die Genauigkeit des zugehörigen F_i -Wertes ist dagegen beträchtlich geringer. Sie hängt von der Zuverlässigkeit der verfügbaren Dispersionswerte ab⁷⁾. Die mit den beiden ultravioletten Gliedern berechneten Refraktionswerte sind in Spalte 4 der Tabelle 3 angegeben. Sie weichen von den beobachteten Werten in systematischer Weise ab. Trägt man die sich ergebenden, in Reihe 5 der Tabelle 3 zusammengestellten Differenzen reziprok gegen ν^2 auf, so erhält man eine durch den Nullpunkt gehende Gerade. Die Neigung derselben stellt offenbar den reziproken F_i -Wert eines der WULFFSchen Formel noch anzufügenden ultraroten Gliedes dar, da ν_{UR}^2 gegen ν^2 vernachlässigt werden kann. Für die Refraktion des gelösten NaCl für $C=0$ ergibt sich demnach folgende Dispersionsgleichung:

$$R = \frac{2 \cdot 46948 \cdot 10^{30}}{2 \cdot 75097 \cdot 10^{30} - \nu^2} + \frac{69 \cdot 5445 \cdot 10^{30}}{8 \cdot 71252 \cdot 10^{30} - \nu^2} - \frac{0 \cdot 00324 \cdot 10^{30}}{-\nu^2}. \quad (4)$$

¹⁾ HEYDWEILLER, A., Physik. Z. **26** (1925) 526. Vgl. KRUIS, A. und GEFFCKEN, W., Mitt. L. ²⁾ WULFF, P., XXXVIII. ³⁾ Die von WULFF ermittelten Parameter erlitten durch ihre Präzisierung mit Hilfe der eigenen Messungen nur geringfügige Änderungen. ⁴⁾ Vgl. S. 58. ⁵⁾ Man könnte den Refraktionswert des gelösten Na^+ -Ions unter Berücksichtigung einer dem Refraktionswert für $D_3=0 \cdot 200 \text{ cm}^3$ entsprechenden Dispersion abtrennen. Da sich aber für die Dispersion des Na^+ -Ions (vgl. S. 67) noch keine Angaben machen lassen, wurde vorläufig davon abgesehen. ⁶⁾ SCHEIBE, G., Z. physik. Chem. (B) **5** (1929) 355. ⁷⁾ Nimmt man an, daß die HEYDWEILLERSchen Dispersionswerte frei von systematischen Fehlern sind, so kann die Unsicherheit in dem Wert von F_i noch etwa 5% betragen (vgl. WULFF, P., loc. cit.).

Nach Ausweis der Spalte 6 in Tabelle 3 stimmen die berechneten Werte mit den beobachteten vorzüglich überein.

Man könnte aber nun versuchen, unter Beibehaltung des ν_i^2 -Wertes der langwelligen ultravioletten Bande, der als richtig angesehen werden muß, eine Dispersionsformel ohne ultrarotes Glied abzuleiten. Man würde dann zu folgender Beziehung gelangen, die, wie die letzte Spalte der Tabelle 9 zeigt, die Refraktionswerte im Sichtbaren ebenfalls sehr gut wiederzugeben vermag.

$$R = \frac{5'63891 \cdot 10^{30}}{2'75097 \cdot 10^{30} - \nu^2} + \frac{118'440 \cdot 10^{30}}{17'2578 \cdot 10^{30} - \nu^2} \quad (5)$$

Im U.V. dagegen liefert (5) zu hohe Werte¹⁾. Damit darf aber die Gültigkeit der Formel (4) und somit auch die Existenz des Ultrarotgliedes²⁾ als bewiesen angesehen werden. Hier sei noch hervor-

Tabelle 3.

Die Äquivalentdispersion des gelösten NaCl bei 25'00° für $C=0$.

λ	$\nu^2 \cdot 10^{-30}$	R (HEYD- WEILLER)	$R_{\text{beob.}}$	$R_{\text{UVber.}}$ nach (4)	$R_{\text{UR}} =$ $R_{\text{beob.}} - R_{\text{UVber.}}$	$\Delta R \cdot 10^4$ beob. — ber.	R ber. nach (5)	$\Delta R \cdot 10^4$ beob. — ber.
∞	0	8'88	—	8'879 ₆			8'912 ₁	
He_r	0'2016 ₉	—	9'156 ₁	9'139 ₉	0'016 ₂	+ 1	9'156 ₁	—
H_{α}	0'2088 ₅	9'16	9'165 ₀	9'149 ₅	0'015 ₅	—	9'165 ₀	+ 2
Cd_r	0'2169 ₉	—	9'175 ₅	9'160 ₅	0'015 ₀	+ 1	9'175 ₅	+ 2
D_3	0'2605 ₅	9'22	9'232 ₀	9'219 ₅	0'012 ₅	— 2	9'232 ₀	+ 4
Hg_{gr}	0'3016 ₅	—	9'287 ₄	9'276 ₆	0'010 ₈	— 1	9'287 ₄	+ 1
Cd_{gr}	0'3477 ₆	9'36	9'350 ₆	9'341 ₅	0'009 ₁	— 2	9'350 ₆	— 1
He_{gr}	0'3575 ₅	—	9'364 ₃	9'355 ₅	0'008 ₈	— 3	9'364 ₃	— 1
H_{β}	0'3806 ₂	—	9'396 ₀	9'388 ₅	0'008 ₅	— 2	9'396 ₀	— 2
$Cd_{bl I}$	0'3904 ₂	—	9'410 ₉	9'402 ₇	0'008 ₂	— 1	9'410 ₉	— 3
He_{bl}	0'4049 ₃	—	9'431 ₅	9'423 ₈	0'007 ₇	— 3	9'431 ₅	—
$Cd_{bl II}$	0'4110 ₁	—	9'440 ₆	9'432 ₇	0'007 ₉	—	9'440 ₆	— 4
He_v	0'4498 ₈	—	9'497 ₁	9'489 ₉	0'007 ₂	—	9'497 ₁	+ 1
Hg_v	0'4735 ₁	—	9'532 ₆	9'525 ₂	0'007 ₄	+ 6	9'532 ₆	—

¹⁾ Für $\nu^2 = 1'6824$ bzw. 0'9168 findet man für R 12'88 bzw. 10'32, während die beobachteten Werte 12'25 bzw. 10'20 sind (vgl. nachfolgende Arbeit).

²⁾ Infolge der geringen Ausdehnung des eigenen Meßbereiches und der relativ großen Unsicherheit der HEYDWEILLERschen Zahlenwerte im U.V. dürfen die Zahlenwerte in Formel (4) noch nicht als endgültig angesehen werden. Die angegebene Stellenzahl hat nur rechnerische Bedeutung. Der Ultrarotanteil an R ist demnach nur größenordnungsmäßig richtig. Zur Präzisierung der Parameter werden im hiesigen Institut interferometrische Messungen im U.V. ausgeführt.

gehoben, daß beide Formeln hinsichtlich der Beurteilung der Dispersions-Konzentrationsgänge zu praktisch gleichen Ergebnissen führen¹⁾.

Besonders interessant ist das negative Vorzeichen des ultraroten F_i -Wertes. Es läßt sich auf Grund der zur Berechnung der Refraktion angewandten Mischungsregel verstehen. Für den ultraroten Anteil an der Refraktion gilt nämlich:

$$R_{\text{scheinbar}} = \frac{100}{p} Ar_l - \frac{100-p}{p} Ar_0. \quad (6)^2$$

Erfährt nun r_0 unter der Einwirkung der Ionen eine Änderung $\Delta r_0 = r_{\text{wahr}} - r_0$, so ist

$$R_s - R_{\text{wahr}} = \frac{100-p}{p} A \Delta r_0. \quad (7)$$

Da R_{wahr} von gelöstem NaCl nur ≤ 0 sein kann³⁾ und weil ferner $R_s - R_w \sim \Delta r_0 = r_w - r_0 > 0$ ist, so folgt wegen des negativen Vorzeichens von r_0 für die Absolutbeträge $|r_0| > |r_w|$.

In dieser Änderung des ultraroten Anteils der Refraktion des Wassers kommt ein Teil des „Refraktometrischen Lösungseffektes“ zum Ausdruck. Die Existenz dieses Effektes ergab sich mit Sicherheit, wie K. FAJANS in mehreren Arbeiten (z. B. I, XXI und XXX) zeigen konnte, sowohl aus der Aufteilung der Refraktion für gasförmige und gelöste Ionen als auch aus dem Temperaturkoeffizienten der Refraktion. Die mittlere Refraktion des Wassers wird durch kleine Kationen erniedrigt, durch die kleinen Anionen F^- und OH^- dagegen sehr wahrscheinlich erhöht. Die Größe des Effektes ist eine monotone Funktion der Feldwirkung der Ionen. Nach der Dispersionstheorie ist zu erwarten, daß die starke Beeinflussung des Wassers durch die gelösten Elektrolyte in seinem Absorptionsspektrum der Beobachtung unmittelbar zugänglich sein sollte. Allein im U.V. konnten derartige Effekte noch nicht beobachtet werden. Dagegen wurden in einer Reihe von Arbeiten⁴⁾ charakteristische Strukturänderungen der ultraroten Banden des Wassers festgestellt. Ähnliche Veränderungen wurden aber auch von I. R. COLLINS u. a. an reinem Wasser mit steigender Temperatur gefunden.

¹⁾ Vgl. S. 53. ²⁾ Der Index l bezieht sich auf die Lösung. ³⁾ Bei gelöstem NaCl können höchstens Schwingungen innerhalb der Hydrathülle ein ultrarotes Glied bedingen. Für Ionen konnten derartige Absorptionsbanden mit Ausnahme von H^- und OH^- (SUHRMANN und BREYER) noch nicht mit Sicherheit nachgewiesen werden. Vgl. BAUER, E., J. Physique Radium (7) 6 (1935) 63. Dagegen ordnen E. K. PLYLER und Mitarbeiter (J. chem. Physics 2, 306, 470 und 565) die bei Säuren gefundene Bande bei 5.5μ der Schwingung eines Säuremoleküls gegen Wassermoleküle zu. ⁴⁾ Wegen der Literaturangaben sei auf die nachfolgende Arbeit LI verwiesen.

Eine grobe Abschätzung des refraktometrischen Lösungseffektes scheint nun auf folgendem Wege möglich zu sein. Durch einen Vergleich der Veränderung des ultraroten Absorptionsspektrums des Wassers in Abhängigkeit von der Natur und Konzentration des gelösten Elektrolyten mit der von der Temperatur dürfte sich jeder Konzentration eine bestimmte Temperatur und damit dem Wasser ein entsprechender Refraktionswert zuordnen lassen¹⁾. Leider fehlen aber noch genügend genaue Messungen, um diesen Vergleich mit einiger Aussicht auf Erfolg durchführen zu können.

Vorläufig kann mit Hilfe der Messungen von SUHRMANN und BREYER²⁾ nur der Beitrag der ultraroten Banden selbst zum Lösungseffekt abgeschätzt werden. Dies erscheint mit folgenden plausiblen Annahmen möglich.

1. In den ultraroten Gliedern der vereinfachten Dispersionsformel wird ν_i^2 gegen ν^2 vernachlässigt. Eine eventuelle Verschiebung der Bandenmaxima in Abhängigkeit von der Elektrolytkonzentration ist also ohne Einfluß.

2. Der Wert für ΔF_i ist der durch Planimetrierung erhältlichen Bandenstärke proportional.

3. Die durch Elektrolyte bewirkten Änderungen der Bandenstärken der über 2μ liegenden Absorptionsgebiete ist von gleicher Größenordnung wie die von SUHRMANN und BREYER an den Banden im Gebiet von 0.9 bis 2.3μ beobachteten Veränderungen.

Die Änderung der ultraroten Wasserrefraktion ist gegeben durch:

$$\Delta R_0 = \frac{1}{\nu^2} (\Sigma F_{i_0} - \Sigma F_{i_i}) = \frac{1}{\nu^2} \Delta (\Sigma F_i). \quad (8)$$

Durch Einsetzen in (6) erhält man für den ultraroten Lösungseffekt

$$\Delta R_i = \frac{100 - p}{p} \frac{A}{M} \Delta R_0 = \frac{100 - p}{p} \frac{A}{M} \frac{\Delta (\Sigma F_i)}{\nu^2}, \quad (9)$$

wobei M das Molekulargewicht des Wassers bedeutet. Da der Proportionalitätsfaktor zwischen Bandenstärke und ΣF_i nicht genügend genau bekannt ist, schreibt man unter Einführung von C_v an Stelle von p Formel (9) zweckmäßig

$$\Delta R_i = - \left(\frac{1000 d}{A C_v} - 1 \right) \frac{A}{M} \frac{\Delta (\Sigma F_i)}{\Sigma F_i} R_0. \quad (10)$$

In nachstehender Tabelle 4 sind einige Werte für ΔR_i für verschiedene Elektrolyte zusammengestellt³⁾. Für die D_3 -Linie ist $R_0 = 0.016 \text{ cm}^3$, denn nach Dispersions-

¹⁾ Vgl. z. B. KRUIS, A., LI. ²⁾ SUHRMANN, R. und BREYER, F., Z. physik. Chem. (B) **20** (1933) 17; **23** (1933) 193. ³⁾ Daß die in Tabelle 4 wiedergegebenen

Zahlen nur ganz rohe Werte sein können, folgt aus der geringen Ausdehnung des analysierten Spektralbereiches, dem verschiedenen Verhalten der einzelnen Banden und der noch wenig bekannten Eigenabsorption einiger Ionen z. B. von OH^- und SO_4^{2-} . Bei den sich über das Gebiet von 2 bis 6.6μ erstreckenden Absorptionsmessungen an Elektrolyten von PLYLER und Mitarbeitern (loc. cit.) wurde die Konzentrationsabhängigkeit nicht genauer untersucht, so daß diese Arbeiten zur Ergänzung der SUHRMANNschen nicht herangezogen werden können. Dasselbe gilt auch für die Reflexionsuntersuchungen von F. MATOSI und H. FESSER (vgl. KRUIS, A., LI).

Zur genaueren rechnerischen Erfassung der ultraroten Banden sind im hiesigen Institut auch Brechungsindexmessungen im nahen Ultrarot geplant.

Tabelle 4. Der aus den Absorptionsmessungen von R. SUHRMANN und F. BREYER für einige Elektrolyte abgeschätzte ultrarote Lösungseffekt.

Elektrolyt	C_v	$d_{20^\circ C}$	$-\frac{\Delta \Sigma F_i}{\Sigma F_i}$ in % $\lambda = 0.9 - 1.3 \mu; 1.3 - 1.9 \mu; 1.9 - 2.3 \mu$			$-\frac{\Delta \Sigma F_i}{\Sigma F_i}$ in %	ΔR_L cm ²
HCl	0'00						0'07 ₁
	2'75	1'045 ₈	4	25	25	25	0'08 ₁
	5'50	1'089 ₈	6	54	58	56	0'08 ₃
H ₂ SO ₄	0'00						0'06 ₇
	2'80	1'084 ₄	4	22	21	21	0'07 ₃
	5'60	1'166 ₄	6	46	54	50	0'07 ₃
KOH	0'00						0'05 ₃
	2'74	1'126 ₂	1	15		15	0'05 ₀
	5'47	1'237 ₀	2	30		30	0'04 ₈
	10'94	1'433 ₇	3	67	50	55	0'03 ₃
K ₂ HPO ₄	11'29 ₈	1'473 ₈	-7	26	36	30	0'02 ₀
KJ	5'90 ₀	1'689 ₄	-8	-28	12	-10	-0'01 ₁

messungen im Ultrarot von J. R. INGERSOLL, H. RUBENS und B. SEEGER²⁾ findet man als Mittelwert für $\Sigma F_i = 0.0044 \cdot 10^{30}$, wofür hauptsächlich die zwischen 2 und 10 μ liegenden, starken Absorptionsgebiete³⁾ verantwortlich gemacht werden müssen. H^+ und OH^- haben demnach, wie aus Tabelle 4 ersichtlich, eine gleichsinnige Wirkung auf das Wasser, was eine Betrachtung der Figuren bei SUHRMANN und BREYER leicht zeigt. Beide Ionen erniedrigen zwar teilweise die Bandenmaxima, erhöhen aber die Absorption zwischen den Maxima beträchtlich. Insgesamt wird also das ultrarote Glied des Wassers erhöht und damit seine Refraktion erniedrigt. Die Konzentrationsabhängigkeit, pro Äquivalent Elektrolyt gerechnet, ist klein. FAJANS gelangte für die Veränderung der Wasserrefraktion durch H^+ und OH^- zu den plausiblen Werten von -0.45 bis 0.60 bzw. +0.30 bis 0.34 cm³. Sowohl das im Gegensatz zu den Werten in Tabelle 4 verschiedene Vorzeichen des Effektes für H^+ und OH^- als auch der geringe Betrag von ΔR_L selbst, machen es wahrscheinlich, daß der refraktometrische Lösungseffekt in den ultraroten Gliedern allein nicht zum Ausdruck kommen kann. Sein Hauptanteil dürfte vielmehr in den ultravioletten Termen zu suchen sein⁴⁾.

¹⁾ Linear extrapoliert. ²⁾ INGERSOLL, J. R., RUBENS, H. und SEEGER, B., J. opt. Soc. Amer. **6** (1922) 663. Wied. Ann. **45** (1892) 238. Diss., Berlin 1908. Gegenüber den Befunden dieser Autoren zeigen die von RUBENS, H. und LADENBURG, E., Verh. dtsh. physik. Ges. **11** (1909) 25, aus dem Reflexionsvermögen und dem Extinktionskoeffizienten berechneten Werte einen steileren Anstieg nach längeren Wellen. ³⁾ Vgl. GANZ, E., Ann. Physik [5] **26** (1936) 331. ⁴⁾ Dasselbe darf auch für die Temperaturabhängigkeit der Refraktion des Wassers angenommen werden. Vgl. KRUIS, A., II.

Nach den Angaben der Tabelle 5 läßt sich die Dispersion des gelösten Na_2SO_4 durch folgende Interpolationsformel gut darstellen:

$$R = \frac{4'468_7 \cdot 10^{30}}{4'960_6 \cdot 10^{30} - \nu^2} + \frac{165'73_5 \cdot 10^{30}}{25'35_1 \cdot 10^{30} - \nu^2} - \frac{0'002_3 \cdot 10^{30}}{\nu^2} \quad (11)$$

Da für Sulfate leider noch keine Absorptionsdaten für U.V. vorliegen¹⁾, kann diese Formel noch nicht ausreichend begründet werden. Die Konstanten für Na_2SO_4 müssen wegen der kleinen Dispersion des hydratisierten SO_4 -Ions bei einem relativ hohen Absolutwert der Refraktion größer sein als die z. B. für $NaCl$ in (4) auftretenden Beträge. Das negative ultrarote Glied muß hauptsächlich auf den Einfluß der bei 9 und 16 μ liegenden, starken Reflexionsstellen der Sulfate²⁾ zurückgeführt werden, die man nach C. J. BRESTER den beiden aktiven Schwingungen der SO_4 -Gruppe zuschreibt. In welchem Maße sich in diesem Summanden noch ein Einfluß des Wassers geltend macht, kann jetzt noch nicht entschieden werden, weil über die F_i -Werte des freien Sulfations noch sehr wenig bekannt ist.

Tabelle 5. Die Äquivalentrefraktion des gelösten Na_2SO_4 und NH_4NO_3 bei unendlicher Verdünnung und 25'00°.

λ	$1/2 Na_2SO_4$			NH_4NO_3 ³⁾ $R_{beob.}$
	$R_{beob.}$	$R_{ber.}$ nach (11)	$(R_{beob.} - R_{ber.})$ $\cdot 10^4$	
He_r	7'517 ₃	7'517 ₃	—	15'189 ₄
H_a	7'521 ₁	7'521 ₀	+ 1	15'204 ₉
Cd_r	7'525 ₅	7'525 ₃	+ 2	15'223 ₂
D_3	7'547 ₀	7'547 ₂	+ 2	15'316 ₇
Hg_{gr}	7'567 ₅	7'567 ₅	—	15'407 ₃
Cd_{gr}	7'590 ₅	7'590 ₃	+ 2	15'410 ₄
He_{gr}	7'595 ₃	7'595 ₃	—	15'532 ₂
H_β	7'607 ₀	7'606 ₇	+ 3	—
Cd_{blI}	7'611 ₇	7'611 ₅	+ 2	15'608 ₀
He_{bl}	7'618 ₈	7'618 ₇	+ 1	15'641 ₇
Cd_{blII}	7'621 ₈	7'621 ₇	+ 1	15'656 ₂
He_r	7'641 ₁	7'641 ₁	—	15'748 ₃
Hg_r	7'652 ₉	7'652 ₈	+ 1	15'806 ₂

IV. Die Äquivalentdispersion der Ionen bei unendlicher Verdünnung.

Unter Anwendung des Additivitätsprinzips soll nun versucht werden, die Äquivalentdispersion des gelösten Stoffes in die Dispersion seiner Ionen zu zerlegen. Die in Tabelle 6 zusammengestellten

¹⁾ Das Absorptionsgebiet der Sulfate liegt vermutlich bei Wellenlängen unterhalb der beginnenden Absorption des Wassers (siehe z. B. LEY, H. und ARENDS, B., Z. physik. Chem. (B) 15 (1932) 311). ²⁾ Vgl. SCHAEFER, CL. und MATOSSI, F., Das ultrarote Spektrum 1930. ³⁾ Die formelmäßige Darstellung der Refraktion von NH_4NO_3 sei einer späteren Arbeit vorbehalten.

Tabelle 6. Äquivalentdispersion der Ionen bei unendlicher Verdünnung unter der Annahme $\mathfrak{D}_{Na_i^+} = 0.000$.

1. Nach eigenen interferometrischen Messungen bei 25.00° C (XLVIII).

$$\mathfrak{D} = R_\lambda - R_{He_r^+} \text{ [cm}^3\text{]}.$$

λ	Cl^-	$\frac{1}{2}SO_4^{2-}$	K^+	$\frac{1}{2}Sr^{2+}$
$R_{He_r^+}$	8.956 ₁	7.317 ₃	2.258 ₅	0.958 ₀
H_α	+ 0.008 ₉	+ 0.003 ₈	+ 0.000 ₅	+ 0.000 ₂
Cd_γ	0.019 ₁	0.008 ₂	—	—
D_β	0.075 ₉	0.029 ₇	0.006 ₂	$\pm 0.000_0$
Hg_{gr}	0.131 ₁	0.050 ₂	0.010 ₁ ³⁾	—
Cd_{gr}	0.194 ₃	0.073 ₂	—	—
He_{gr}	0.208 ₂	0.078 ₀	0.017 ₇	— 0.000 ₉
H_γ	0.240 ₈	0.089 ₇	—	—
Cd_{bl1}	0.254 ₈	0.094 ₁	—	—
He_{bl}	0.275 ₁	0.101 ₅	0.024 ₀ ³⁾	—
Cd_{bl11}	0.284 ₅	0.104 ₅	—	—
He_c	0.341 ₀	0.123 ₈	0.028 ₉	— 0.002 ₆
Hg_c	0.376 ₅	0.135 ₆	0.032 ₄ ³⁾	—

2. Nach Untersuchungen von C. LÜBBEN und O. GRUBE bei 18.0° C.

$$\mathfrak{D} = R_\lambda - R_{Cd_{gr}^{+4}} \text{ [cm}^3\text{]}.$$

λ	Li^+	$Rb^{+5)}$	Cs^+	I^-	ClO_4^-	$Br^{-5)}$
231.2 ₉	— 0.0 ₃	—	—	—	+ 1.2 ₃	—
257.3	+ 0.0 ₁	+ 0.3 ₂	+ 0.6 ₃	—	+ 0.8 ₇	3.7 ₈
274.9	+ 0.0 ₃	+ 0.2 ₂	+ 0.5 ₄	+ 8.4 ₄	+ 0.7 ₀	2.8 ₃
313.3	—	+ 0.1 ₈	+ 0.4 ₀	+ 4.4 ₁	+ 0.4 ₆	1.6 ₁
340.4	—	+ 0.1 ₅	—	+ 3.0 ₀	+ 0.3 ₄	1.1 ₀
361.3	—	+ 0.1 ₂	+ 0.26 ₅	+ 2.2 ₆	+ 0.2 ₇	0.8 ₁
RD_3	0.2 ₉	3.7 ₉	6.5 ₄	19.2 ₂	13.2 ₄	12.6 ₁

¹⁾ Von einer möglichen Umrechnung auf λ_∞ wurde vorläufig noch abgesehen.

²⁾ Für $R_{Na_i^+} = 0.2000$. Wegen der Genauigkeit dieses Wertes vergleiche man z. B. FAJANS, K., XXX.

³⁾ Nach neuen noch nicht veröffentlichten Messungen (siehe Fig. 3). ⁴⁾ KRUIS, A. und GEFFCKEN, W., L. Die hier ermittelten Ionen-dispersionen unterscheiden sich etwas von den nach Tabelle 9 in dem zusammenfassenden Bericht von A. HEYDWEILLER (Physik. Z. **26** (1925) 541) berechnbaren, infolge des dort angewandten, weniger korrekten Extrapolationsverfahrens.

⁵⁾ Für $\mathfrak{D}_{Li^+} = 0.00$.

Tabelle 6 (Fortsetzung).

3. Nach früheren Messungen mit dem PULFRICHSchen Refraktometer
(IX, XI und XX) bei 25'00° C. $\varnothing = R_{H\beta} - R_{H\alpha}$

Kationen	$\frac{1}{2}Al^{3+}$	Li^+	Na^+	$\frac{1}{2}Zn^{2+}$	$\frac{1}{2}Ba^{2+}$	$\frac{1}{2}Hg^{2+}$	NH_4^+
\varnothing	— 0'0 ₂	0'0 ₀	0'00	0'0 ₁	0'01 ₅	0'1 ₂	0'0 ₈
R_{D_3}	— 0'8 ₄	— 0'3 ₀	0'20	0'3 ₀	2'1 ₈	2'8 ₀	4'3 ₀

Anionen	F^-	$\frac{1}{2}SO_4^{2-}$	ClO_4^-	Cl^-	Br^-	I^-	H_2O
\varnothing	0'0 ₃	0'09 ₅	0'14 ₅	0'23	0'4 ₃	0'9 ₂	0'060 ₇
R_{D_3}	2'6 ₂	7'34 ₇	13'24 ₀	9'03 ₂	12'6 ₇	19'2 ₃	3'715 ₆

Ionendispersionen wurden unter der vorläufigen Annahme berechnet, daß Na_4^+ dispersionsfrei¹⁾ sei. Die Unsicherheit in den unter Ziffer 1 angegebenen Ionendispersionen erreicht höchstens einen Betrag von 0'0₃ cm³, während sie in den nach Messungen von LÜBBEN und GRUBE ermittelten Dispersionswerten etwa $\pm 0'03$ cm³ beträgt. Die Ungenauigkeit der aus älteren Messungen aus dem hiesigen Institut gewonnenen Ionendispersionen ist auf mindestens 0'01 cm³ zu veranschlagen. Die Dispersion des hydratisierten Sr^{2+} -Ions ist merklich kleiner als die des Na_4^+ . Nach den bisherigen Messungen im sichtbaren Gebiet (IX) und U.V. sind die Dispersionen des Na^+ und Li^+ innerhalb der Meßfehler gleich. Für das Hydroxoniumion läßt sich zur Zeit noch kein eindeutiger Wert ableiten, da für die von R. LÜHDEMANN (loc. cit.) mit einem PULFRICHSchen Refraktometer untersuchten Säuren HJ , HJO_3 und $HCOOH$ die Additivität der

1) Eine Präzisierung dieser Annahme ist erst mit Hilfe eines umfangreicheren Materials möglich. Jedenfalls dürfte die Dispersion des Na_{aq}^+ schon ziemlich klein, wenn nicht negativ sein. Durch diese willkürliche Annahme $\varnothing_{Na^+} = 0$ wird indes, wenigstens bis ins nahe U.V., keine sinnstörende Fälschung in der Abstufung der damit abgeleiteten Ionendispersionen möglich sein.

$\varnothing = 0$ bei einem endlichen Refraktionswert bedeutet nach einer der Gleichung (16) analog gebauten Dispersionsformel, daß ν_i^2 und F_i sehr groß sein muß. Nur beim freien gasförmigen Proton ist $R = \varnothing = 0$. Eine Dispersion mit einem Betrag $= 0$ mit einer eingliedrigen Formel darzustellen, hat wenig Sinn. Im Falle einer negativen Äquivalentdispersion eines hydratisierten Ions hat man in Analogie zu dem ähnlichen Verhalten der Refraktion (vgl. z. B. FAJANS, K., XXX) eine Erniedrigung der Dispersion der umgebenden Wassermoleküle anzunehmen. Es ist durchaus plausibel, daß diese Erniedrigung mit steigender Feldwirkung des Kations zunimmt. In dieser Hinsicht wird die Ableitung von Einzelwerten der Dispersion freier, gasförmiger Ionen interessante Aufschlüsse bieten.

Ionendispersionen wohl infolge von Meßfehlern sehr schlecht erfüllt wird¹⁾. Um den unverkennbaren Parallelismus²⁾ zwischen Ionen-dispersion und Ionenrefraktion hervorzuheben, wurden in Tabelle 12 auch die Äquivalentrefraktionen der gelösten Ionen aufgenommen. Wie ersichtlich, wächst die Dispersion mit zunehmender Größe des Elektronengerüsts der Ionen. Die Dispersion der edelgasförmigen Kationen ist kleiner als die der isosteren Edelgase³⁾ und Anionen. Die Ionenrefraktionen zeigen das gleiche Verhalten⁴⁾. Die Abstufung⁵⁾ dieser optischen Effekte⁶⁾ ist auf Grund der von K. FAJANS wiederholt begründeten Vorstellung verständlich, daß die Kationen nicht nur selbst eine festere Elektronenschale besitzen als die Anionen mit gleicher Zahl und Konfiguration der Elektronen, sondern auch die Elektronenschalen der sie umgebenden Wassermoleküle verfestigen.

Trägt man die Refraktion des K_l^+ reziprok gegen ν^2 auf, so ergibt sich im sichtbaren Spektralbereich eine Gerade, aus deren Lage sich die Konstanten seiner Refraktionsformel bestimmen lassen. Demnach ist

$$R_{K_l^+} = \frac{44.3 \cdot 10^{30}}{19.84 \cdot 10^{30} - \nu^2} \quad (12)$$

¹⁾ Die Zerlegung liefert für die in Klammern beigegefügt Säuren folgende Werte $\mathfrak{D}_{H^+} = 0.1_0$ (HJO_3); 0.0_0 (HNO_3); -0.0_3 (HJ) und -0.1_0 ($HCOOH$).

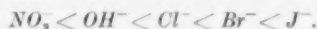
²⁾ Auf diesen Parallelismus haben schon K. FAJANS und G. JOOS hingewiesen (1), nur in einigen Fällen scheint er durchbrochen zu werden (Hg^{2+} und ClO_4^-).

³⁾ Nach Messungen von C. und M. CUTHBERTSON (Proc. Roy. Soc. London (A) 135 (1932) 40) und G. DAMKÖHLER (Z. physik. Chem. (B) 27 (1934) 130) ergeben sich für $\mathfrak{D} = R_{H^+} - R_{H^-}$ folgende Werte: He 0.003, Ne 0.005, Ar 0.044, Kr 0.089, X 0.201 cm^3 .

⁴⁾ Vgl. auch HEYDWEILLER, A., loc. cit. ⁵⁾ Eine analoge Abstufung zeigen auch die aus den Untersuchungen des FARADAY-Effektes an Elektrolyten gewonnenen Werte der Dispersion der ionalen Drehung. E. B. ANDERSEN und R. W. ASMUSSEN (J. physic. Chem. 36 (1932) 2819, A. OKAZAKI (Mem. Ryojun Coll. Engng. 5 (1934) 209, (1933) 181) zerlegten unter der Annahme $H_l^+ = 0$ (DE MALLEMANN, R., PAULUS, J. und ANTOINE, P., J. Physique 1 (1930) 144) und fanden für Kationen die Reihenfolge:



und für Anionen:



Die Ähnlichkeit mit den refraktometrischen Effekten folgt aus der von K. SCHARF (Ann. Physik 13 (1932) 377) aus der klassischen Lichttheorie abgeleiteten Beziehung zwischen FARADAY-Effekt und Refraktion (vgl. auch Anm. 2, S. 54). ⁶⁾ Vgl. auch BREDIG, M. A. und v. HIRSCH, Th., XXXII.

Man muß sich jedoch bewußt sein, daß bei einer Entwicklung von Dispersionsformeln nach:

$$R = \sum_i \frac{F_i}{\nu_i^2 - \nu^2} = \sum_i \frac{F_i}{\nu_i^2} \left(1 - \frac{\nu^2}{\nu_i^2}\right)^{-1} = \underbrace{\sum_i \frac{F_i}{\nu_i^2}}_{R_{\lambda \infty}} + \underbrace{\nu^2 \cdot \sum_i \frac{F_i}{\nu_i^4} \left(1 + \frac{\nu^2}{\nu_i^2} \dots\right)}_{\mathfrak{D}_{\lambda - \lambda \infty}} \quad (13)$$

die frequenzabhängigen Glieder der Klammer des 2. Terms nur dann einen merklichen Beitrag liefern, wenn ν^2 nicht klein gegen ν_i^2 ist. Bei Messungen im Sichtbaren bewegt sich ν^2 zwischen 20 und $47 \cdot 10^{28}$, seine Änderung beträgt also maximal $27 \cdot 10^{28}$, während ν_i^2 für die Alkaliionen sehr hoch ist. Daß letzteres der Fall ist, sieht man bei Auftragung von \mathfrak{D} gegen ν^2 , wobei für $\mathfrak{D}_{K^+ - Na^+}$ sich innerhalb der Meßfehler von etwa $\pm 2\%$ eine Gerade ergibt, d. h. ν^2/ν_i^2 im Klammerausdruck ist kleiner als 0.02. Es müssen also die für die Dispersion maßgebenden Frequenzen größer als $27 \cdot 10^{28} \cdot \frac{100}{2} = 13.5 \cdot 10^{30}$ sein. Weitere Aussagen jedoch, etwa über die Einzelparameter sind ohne zusätzliche theoretische Begründung wesenlos. Insbesondere muß vor einem Vergleich mit der Dispersionsdifferenz an kristallisierten Stoffen gewarnt werden, da hier eine starke Beeinflussung von Anion und Kation vorliegt. Es ist zu bemerken, daß in $\sum \frac{F_i}{\nu_i^2}$ nicht nur die Frequenzen des Ions, sondern auch Beiträge der Wasserhülle enthalten sind.

Herrn Prof. Dr. K. FAJANS danken wir für die rege Teilnahme an dieser Arbeit.

Physikalisch-chemisches Institut an der Universität München.

Die Äquivalentdispersion von starken Elektrolyten in Lösung.

III. Die Konzentrationsabhängigkeit der Äquivalentdispersion starker Elektrolyte im Ultraviolett¹⁾.

(Nach Messungen von A. HEYDWEILLER und Mitarbeitern.)

Von

A. Kruis und W. Geffcken.

(Mit 2 Figuren im Text.)

(Eingegangen am 29. 6. 36.)

Nachdem eigene interferometrische Messungen eine Abhängigkeit der scheinbaren Äquivalentdispersion von der Konzentration erkennen ließen, erschien eine diesbezügliche Auswertung der von A. HEYDWEILLER und Mitarbeitern im U.V. gewonnenen refraktometrischen Ergebnisse wünschenswert. Es konnte hierbei festgestellt werden, daß die Äquivalentdispersion in Analogie zur Refraktion mit steigender Konzentration bei Li_2SO_4 , NaClO_4 und NH_4F zunimmt, dagegen bei LiCl , NaCl , CsCl , MnCl_2 , NiCl_2 , CH_3COOLi , LiBr , RbBr , NaJ und LiCNS abnimmt. Bei LiClO_3 und NaClO_3 ist die Dispersion praktisch unabhängig von der Konzentration. Die Stärke der negativen Gänge stuft sich für verschiedene Anionen in der Reihenfolge CNS^- , $\text{J}^- > \text{Br}^- > \text{Cl}^-$, CH_3COO^- ab. Ein Einfluß des Kations liegt meist innerhalb der relativ großen Fehlergrenze der bis heute vorliegenden Dispersionsmessungen im U.V.

Auf Grund eigener, in vorstehender Mitteilung²⁾ wiedergegebener interferometrischer Präzisionsmessungen wurde eine Abhängigkeit der scheinbaren Äquivalentdispersion von der Konzentration festgestellt. Bei den Salzen NaCl , KCl , SrCl_2 und NH_4NO_3 nimmt die Dispersion in Analogie zum Verhalten der Refraktion über 1 norm. mit steigender Konzentration ab (negativer Dispersionsgang), während sie bei Na_2SO_4 zunimmt (positiver Dispersionsgang).

In Ergänzung des eigenen experimentellen Materials ist es von Interesse, zu untersuchen, ob nicht schon aus Messungen anderer Autoren derartige Dispersionsgänge abgeleitet werden können. Auf Grund der Dispersionstheorie³⁾ ist zu erwarten, daß diese Gänge mit fortschreitender Annäherung der Meßfrequenz an ein Absorptions-

¹⁾ L. Mitteilung der „Refraktometrischen Untersuchungen“. Von früheren Mitteilungen werden hier abgekürzt zitiert werden: XIV. FAJANS, K. und KOHNER, H., Z. physik. Chem. (A) **147** (1930) 241. XIX. HÖLEMANN, P. und KOHNER, H., Z. physik. Chem. (B) **13** (1931) 338. XLVIII. KRUIS, A., Z. physik. Chem. (B) **34** (1936) 13 und IL. KRUIS, A. und GEFFCKEN, W., Z. physik. Chem. (B) **34** (1936) 51. ²⁾ KRUIS, A. XLVIII. ³⁾ Vgl. die vorstehende Mitteilung IL.

gebiet, also z. B. bei gefärbten Lösungen im sichtbaren Bereich bzw. bei farblosen Elektrolyten im U.V., stärker ausgeprägt und deshalb selbst bei einer geringeren als der in vorstehender Arbeit erreichten Meßgenauigkeit feststellbar sein sollten. Doch lassen sich aus G. LIMANNS Messungen¹⁾ im sichtbaren Gebiet an Lösungen farbiger Salze keine eindeutigen Schlüsse hinsichtlich der Veränderung der Dispersion mit der Konzentration ziehen²⁾).

Als sehr brauchbar erwiesen sich indessen die auf A. HEYDWEILLERS Veranlassung von K. LÜBBEN und O. GRUBE³⁾ mit Hilfe einer differentiellen Ablenkungsmethode an Elektrolytlösungen zwischen 1 und 4 norm. bei 18° gemessenen Brechungsindices. Sie besitzen zwar, wie die meisten mit dem PULFRICHschen Refraktometer ermittelten Δn -Werte, einen Meßfehler von einigen Einheiten der 5. Dezimale⁴⁾, erlauben aber, im Gegensatz zu diesen, infolge der Verstärkung der Konzentrationsgänge der Dispersion mit fortschreitender Annäherung an die Lage der Absorptionsbande, doch eine Feststellung dieser Gänge. Das zur Berechnung der Äquivalentdispersion benötigte scheinbare Molvolumen wurde, soweit möglich, durch Interpolation der von W. GEFFCKEN⁵⁾ zusammengestellten Daten gewonnen. In den übrigen Fällen wurden die Dichtemessungen der HEYDWEILLERSchen Schule benutzt, die für diesen Zweck genügend genau sind⁶⁾. Die optischen Messungen bei Konzentrationen unterhalb 1 norm. wurden wegen ihrer geringeren Zuverlässigkeit nicht ausgewertet⁷⁾.

Die Diskussion der Genauigkeit der aus den Messungen im U.V. abgeleiteten Werte der Äquivalentdispersionen \mathfrak{D} ergibt, daß Konzentrationsgänge mit einer Neigung $> 0.01 \text{ cm}^3/C_e$ reell sein dürften, denn für $V\mathfrak{D}$ schätzt man nach XLVIII (3) und (4) maximal je 0.02 cm^3

¹⁾ LIMANN, G., Z. Physik 8 (1921) 13. Seine Messungen erreichen nicht die im hiesigen Institut mit dem PULFRICHschen Refraktometer erzielte Genauigkeit. Vgl. z. B. auch die Ergebnisse an LiCl von FONTELL, N., Soc. Fenn. Comm. (4) 8 (1927) 1. ²⁾ Wegen der Brauchbarkeit der übrigen, von früheren Autoren im Sichtbaren gemessenen Dispersionen sei auf XLVIII verwiesen. ³⁾ LÜBBEN, K., Rostocker Ber. u. Abhandlungen 5 (1913) 27. Wied. Ann. 44 (1914) 977. HEYDWEILLER, A. und GRUBE, O., Wied. Ann. 49 (1916) 653. ⁴⁾ Vgl. z. B. LÜBBEN, K., Verh. dtsh. physik. Ges. 16 (1914) 180. ⁵⁾ GEFFCKEN, W., Z. physik. Chem. (A) 155 (1931) 1. Die aufgestellten Interpolationsformeln werden in Tabelle 1 mit (G) bezeichnet. ⁶⁾ Vgl. XLVIII, S. 20. Die entsprechenden Formeln für das Molvolumen werden in Tabelle 1 mit (H) bezeichnet. ⁷⁾ Die Zahlenwerte für TIF werden deshalb weggelassen.

bei 1 norm. und 0.05 cm^3 bei 4 norm., während für den Einfluß von Fehlern an der Konzentration und am Molvolumen auf \mathfrak{D} nach (6) und (7) weniger als 0.01 cm^3 anzunehmen ist¹⁾. Die Streuung der Meßpunkte in den hier nicht wiedergegebenen \mathfrak{D} - C_c -Kurven entspricht durchaus diesen Erwartungen. Der Fehler an den Absolutwerten dürfte von der gleichen Größenordnung wie der relative Fehler sein. Die Autoren haben nämlich ihren Messungen die von FLATOW für Wasser bestimmten Brechungsindices zugrunde gelegt, die gegenüber neueren Werten systematische Abweichungen bis zu 0.03 aufweisen²⁾.

Hier sei noch hervorgehoben, daß man auf Grund der HEYDWEILLERSchen Messungen wohl hauptsächlich wegen Fehlern an der Konzentration und der Dichte zu falschen Konzentrationsgängen der Refraktion kommen würde. Seine Resultate waren deshalb, wie K. FAJANS und H. KOHNER (XIV) gezeigt haben, für die Beurteilung von Konzentrationsgängen der Refraktion ungeeignet. Dagegen ermöglichen die von HEYDWEILLERS Mitarb. im U.V. gemessenen Brechungsindices wegen der weitgehenden Unabhängigkeit der Äquivalentdispersion von den erwähnten Fehlern wohl eine Feststellung von Dispersionsgängen³⁾.

Da die abgeleiteten Dispersionswerte die zur Zeit genauesten⁴⁾ sind, sei in Tabelle 1 das gesamte⁵⁾ Zahlenmaterial wiedergegeben. In der ersten Vertikalreihe sind die Wellenlängen verzeichnet, für welche die in der zweiten Spalte zusammengestellten Differenzen $R_\lambda - R_{\text{Bezugswellenlänge}}$ für verschiedene Konzentrationen gebildet wurden. In Anlehnung an die im Sichtbaren gefundenen Dispersionsgänge wird eine lineare Abhängigkeit der Dispersion von der Konzentration angenommen⁶⁾. Die Neigungen der die Meßpunkte bei 1 und 4 norm.

¹⁾ Die Relativfehler an den nach Messungen von HEYDWEILLER und Mitarbeitern berechneten Molvolumina dürften in dem maßgebenden Konzentrationsbereich höchstens 0.3 cm^3 betragen. ²⁾ FLATOW, E., Ann. Physik (4) 12 (1903) 85. Eine Umrechnung auf die neueren Werte für n_0 (siehe Tabellen von LANDOLT-BÖRNSTEIN) sowie auf Vakuum erschien nicht lohnend. ³⁾ HEYDWEILLER hat Schlüsse dieser Art nicht gezogen. ⁴⁾ FORBES, G. S. und ELKINS, H. B. (J. Amer. chem. Soc. 56 (1934) 156) untersuchten eine Reihe von Elektrolyten im U.V., konnten aber wegen der von ihnen erzielten geringen Meßgenauigkeit — die Autoren geben R_λ nur auf 0.1 cm^3 an — weder eine Abhängigkeit der Dispersion von der Konzentration noch einen Unterschied in den Dispersionen z. B. von NaNO_3 und KNO_3 feststellen. ⁵⁾ Die Messungen an LiJ und KJ wurden nicht ausgewertet, da sie C. LÜBBEN (loc. cit.) für nicht zuverlässig hielt.

⁶⁾ Zur Beobachtung von Feinheiten der Dispersionsgänge reicht die geringe Zahl und Genauigkeit der Meßpunkte nicht aus.

bzw. 2 und 4 norm. verbindenden Geraden können der letzten Rubrik entnommen werden. Zur Veranschaulichung der Stärke der Dispersionsgänge sind diese Werte in den Fig. 1 und 2 gegen ν^2 aufgetragen. Die in Tabelle 1 für $C=0$ angegebenen Dispersionswerte wurden durch Extrapolation der mit den nach Fig. 1 und 2 wahrscheinlichsten Neigungen durch die Meßpunkte bei 4 norm. gehenden Geraden gewonnen¹⁾. Die Abweichungen der beiden übrigen Meßpunkte von den Geraden überschreiten nur selten 0.02 cm^3 . Mit wachsendem ν^2 nehmen die Neigungen $\Delta D/\Delta C$ zu. Die Krümmung der Kurven ist bei den negativen Gängen im allgemeinen stärker als bei den positiven. Die Elektrolyte, die negative Gänge aufweisen, absorbieren im U.V. bei längeren Wellen als die Salze mit positiven Gängen, deren ultraviolette Absorptionsbanden im fernerem U.V. im Gebiet der Wasserbanden unterhalb 1800 \AA liegen.

In Übereinstimmung mit den eigenen Beobachtungen im sichtbaren Spektralbereich ändern sich auch hier mit der Konzentration die Dispersionen im analogen Sinne wie die Refraktionen²⁾. Die Chloride, Bromide und Jodide der Alkalien besitzen negative Dispersions- und Refraktionsgänge, während die entsprechenden Gänge bei NaClO_4 ³⁾ positiv sind⁴⁾. Auf Grund der Dispersionsgänge im U.V. sind z. B. für NH_4F und NaClO_3 positive Refraktionsgänge zu erwarten, was sich schon aus den weniger genauen Relativwerten von R im U.V. ersehen läßt. In Analogie zum Verhalten der Refraktion sind die negativen Dispersionsgänge bei den Alkalihalogeniden um so steiler, je größer die Refraktion bzw. Dispersion des betreffenden Anions ist. Für gleiches Kation findet man nämlich für die Stärke der Dispersionsgänge die Reihenfolge:



Bei gleichem Anion sollte, ebenso wie bei der Refraktion, auch eine Abhängigkeit der Stärke der Dispersionsgänge von der Feldwirkung des Kations zu beobachten sein. Allerdings reicht die Genauigkeit der Dispersionsgänge im U.V. nicht aus, um derartige Ab-

¹⁾ Die hier mitgeteilten Zahlenwerte weisen geringfügige Unterschiede gegenüber den von A. HEYDWEILLER in Physik. Z. **26** (1925) 526 zusammengestellten auf, da die dort angegebenen Zahlenwerte Mittelwerte sind. ²⁾ Ob Li_2SO_4 eine Ausnahme macht (vgl. XLVIII, Tabelle 8), soll durch neue Messungen entschieden werden. ³⁾ KOHNER, H., IX. KOHNER, H. und HÖLEMANN, P., XIX.

⁴⁾ TlF scheint einen positiven Dispersionsgang zu besitzen, doch wurden die wegen zu großer Verdünnung ungenauen Werte in Tabelle 1 nicht aufgenommen.

im sichtbaren Gebiet (XLVIII) eine deutliche Verminderung der Steilheit der Dispersionsgänge bei $\frac{1}{2}\text{SrCl}_2$, NaCl und KCl im Sinne der abnehmenden Feldwirkung der Kationen. Insgesamt darf also

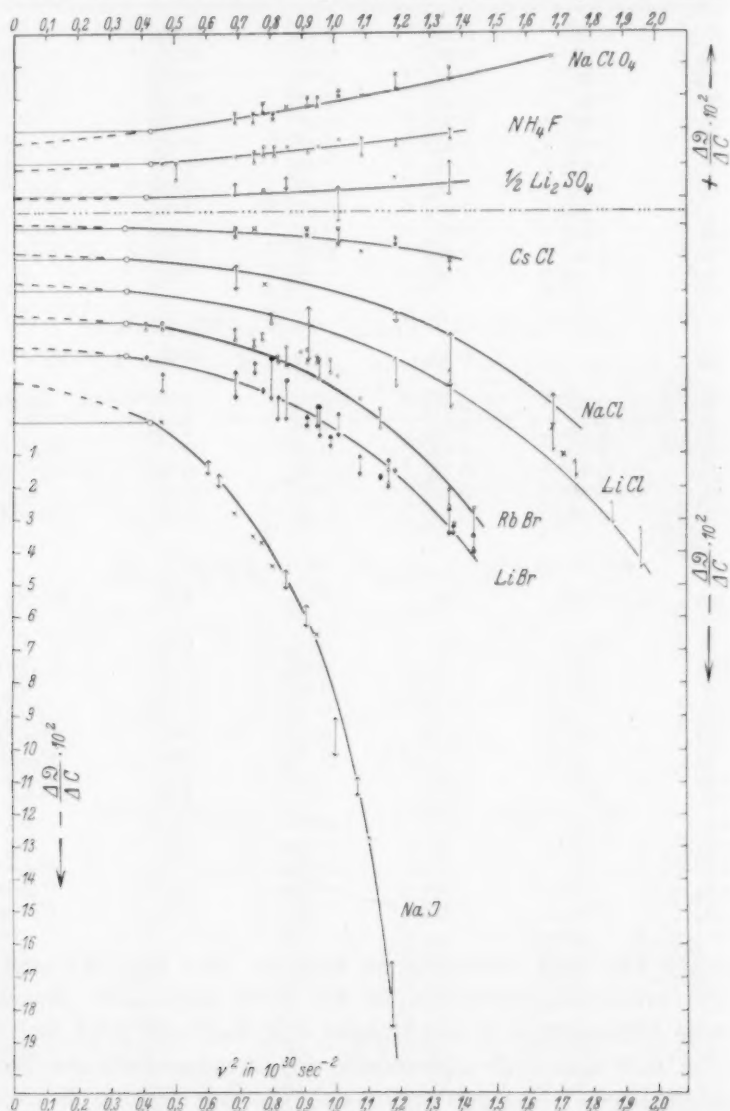


Fig. 1. Die Neigungen der Dispersions-Konzentrationsgänge im U.V. in Abhängigkeit von ν^2 .

g der
Sinne
also

für die Abstufung der Stärke der Gänge der Äquivalentrefraktion und -dispersion bei gleichem Anion die Reihe aufgestellt werden:

$$^{1/2}\text{Sr}^{2+} > \text{Na}^+ > \text{K}^+ > \text{Cs}^+.$$

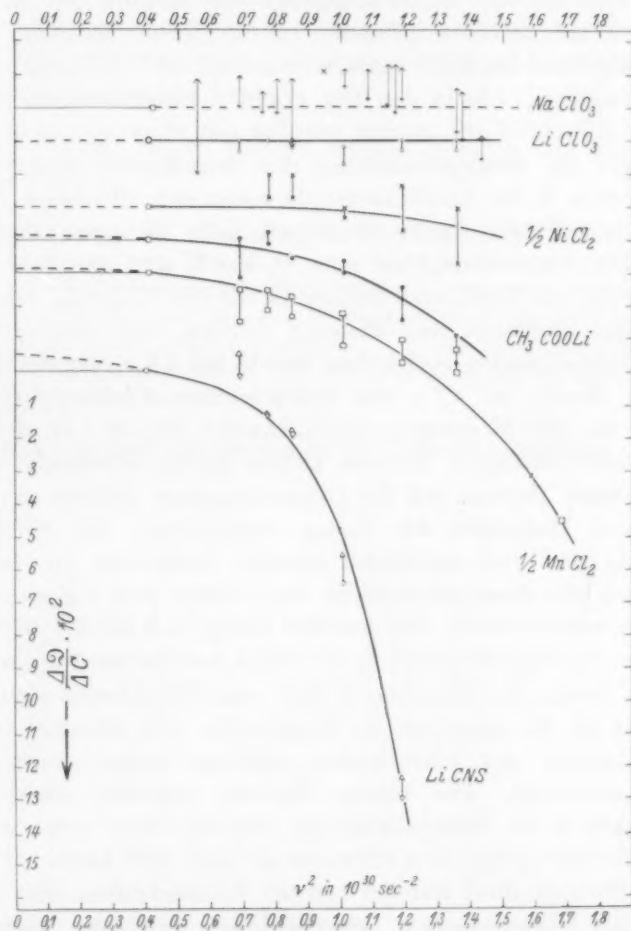


Fig. 2. Die Neigungen der Dispersions-Konzentrationsgänge im U.V. in Abhängigkeit von ν^2 .

ngig-

In der vorhergehenden Mitteilung II konnte für den Fall des NaCl gezeigt werden, daß die Dispersionsgänge auf eine symbate Veränderung von Eigenfrequenz und Übergangswahrscheinlichkeit der langwelligen ultravioletten Absorptionsbande des Cl^- -Ions zurück-

zuführen sind. Im Refraktionsgang dagegen wirken sich hauptsächlich entsprechende Veränderungen von im fernerem U.V. liegenden Banden aus, die auch den größten Beitrag zum Refraktionswert liefern. Daß für die Dispersionsgänge der Einfluß der den Meßfrequenzen am nächsten gelegenen ultravioletten Banden der Anionen maßgebend ist, dafür sprechen auch die im U.V. aufgefundenen Dispersionsgänge. Die in den Fig. 1 und 2 zusammengestellten Beiträge der $\Delta D/\Delta C$ -Werte steigen nämlich mit ν^2 um so rascher an, je langwelliger die Absorptionsstellen der betreffenden Anionen sind. Die Kurven z. B. der Alkalihalogenide lassen sich offenbar in einzelne für das betreffende Anion charakteristische Gruppen zusammenfassen. Die Dispersionsgänge von $\frac{1}{2} MnCl_2$ sind ungefähr ebenso stark wie die von $NaCl$, aber stärker als die von $\frac{1}{2} NiCl_2$. Die schwachen Dispersionsgänge des letzteren dürften eine Folge der Auswirkung der schmalen und hohen Bande bei 0.4μ und der breiten, niedrigen Bande bei 0.7μ des hydratisierten Ni -Ions¹⁾ sein. Da sich aber aus den Messungen von G. LIMANN (loc. cit.) im sichtbaren Gebiet keine bündigen Schlüsse ziehen lassen, inwieweit sich ein Einfluß dieser Banden auf die Dispersionsgänge geltend macht, sei eine nähere Diskussion für später vorbehalten. Die Effekte bei CH_3COOLi sind von annähernd gleicher Größe wie die bei $LiCl$, liegen doch die Absorptionsstellen des Acetat- und Chlorions ziemlich nahe beisammen²⁾. Die starken Gänge bei $LiCNS$ weisen auf eine Lage der Eigenfrequenz in der Nähe der Jodbanden hin³⁾. Die positiven Gänge der Fluoride, Sulfate und Perchlorate sind relativ schwächer als die negativen der Halogenide. Die ultravioletten Absorptionsbanden der betreffenden Anionen liegen innerhalb des Wasserkontinuums. Die beiden Chlorate besitzen innerhalb der Fehlergrenze keine Dispersionsgänge, was bei ihrer recht beträchtlichen Äquivalentdispersion entweder auf eine sehr kleine Abhängigkeit der Beiträge ihrer Banden von der Konzentration oder auf eine gegenseitige Kompensation verschiedener Einflüsse hinzuweisen scheint.

¹⁾ Vgl. z. B. HOUSTOUN, R. A., Proc. Roy. Soc. Edinburgh **31** (1911) 538.

²⁾ Bei in Wasser gelöster Essigsäure bzw. CH_3COONa beginnt ein starker Anstieg der Absorption bei 1900 bzw. 1850 Å. LEY, H. und ARENDS, B., Z. physik. Chem. (B) **4** (1929) 234. GROSSMANN, P., Z. physik. Chem. (B) **109** (1924) 305.

³⁾ An Rhodaniden und Cyaniden sowie Chloraten liegen noch keine Absorptionsmessungen vor.

Wegen der relativ geringen Genauigkeit der hier mitgeteilten Dispersionswerte sei vorläufig von einer quantitativen Diskussion der Dispersionsgänge abgesehen, bis eigene Messungen im U.V. vorliegen¹⁾. Auf den Zusammenhang zwischen Dispersion und Absorption wurde schon in der vorhergehenden Mitteilung eingegangen. Dort findet sich auch eine Aufteilung der Dispersionswerte der gelösten Salze in die der Ionen²⁾.

Herrn Prof. Dr. K. FAJANS danken wir für das Interesse an dieser Arbeit.

¹⁾ Zur Prüfung und Erweiterung der Ergebnisse dieser Arbeit ist zur Zeit im hiesigen Institut mit Hilfe eines neuen Spektralinterferometers, das mittels einer Aufnahme Brechungsindexmessungen von 1μ bis etwa 1800 \AA gestattet, die Untersuchung der Dispersion von Elektrolyten bis in die Nähe der Absorptionsgebiete in Angriff genommen worden. ²⁾ Die in Tabelle 1 unter $C=0$ angegebenen Dispersionswerte der Na- und Li-Salze stellen die Dispersionswerte der betreffenden Anionen dar.

Physikalisch-chemisches Institut an der Universität München.

Zur Deutung der Konzentrationsgänge der Äquivalentrefraktion starker Elektrolyte¹⁾.

Von

A. Kruis.

(Mit 2 Figuren im Text.)

(Eingegangen am 10. 7. 36.)

Die bei den Elektrolyten $NaBr$, $NaCl$, KCl , $SrCl_2$ und Na_2SO_4 bei 25° gefundene Abweichung des Verlaufes der Äquivalentrefraktion unterhalb 1 norm. von den auf Grund des annähernd linearen Ganges im konzentrierten Gebiet extrapolierten Werten wird auf eine Erniedrigung der Refraktion der von den Ionen weiter entfernten Wassermoleküle zurückgeführt. Diese im verdünnten Gebiet zum Vorschein kommende refraktometrische Beeinflussung des Wassers dürfte auf einer Änderung, sei es der quasikristallinen Struktur oder des Polymerisationsgrades des Verdünnungswassers durch die Ionen des gelösten Elektrolyten beruhen.

1. Die annähernd linearen Konzentrationsgänge der scheinbaren Äquivalentrefraktion oberhalb 2 norm. ließen sich in vielen Fällen qualitativ auf Grund der Annahme deuten²⁾, daß mit steigender Konzentration eine zunehmende Anzahl von Ionen in unmittelbare Berührung mit entgegengesetzt geladenen Ionen kommt unter Wegschieben der sie trennenden Wassermoleküle (Ionenassoziation³⁾). Bei der Diskussion der Gangstärken auf

¹⁾ LI. Mitteilung der „Refraktometrischen Untersuchungen“ von K. FAJANS und Mitarbeitern. Von früheren Mitteilungen der „Refraktometrischen Untersuchungen“ werden hier außer den in der XXX. (FAJANS, K., Z. physik. Chem. (B) **24** (1934) 103) zusammengestellten Arbeiten noch abgekürzt zitiert werden: XXXIX. GEFFCKEN, W. und PRICE, D., Z. physik. Chem. (B) **26** (1934) 81; XLII. LÜHDEMANN, R., Z. physik. Chem. (B) **29** (1935) 133; XLIII. FAJANS, K. und LÜHDEMANN, R., Z. physik. Chem. (B) **29** (1935) 150; XLIV. WULFF, P. und MAJUMDAR, S. K., Z. physik. Chem. (B) **31** (1936) 319; XLV. GOLDSCHMIDT, H. und HÖLEMANN, P., Z. physik. Chem. (B) **32** (1936) 341; XLVI. HÖLEMANN, P., Z. physik. Chem. (B) **32** (1936) 353; XLVIII. KRUIS, A., Z. physik. Chem. (B) **34** (1936) 13; IL. und L. KRUIS, A. und GEFFCKEN, W., Z. physik. Chem. (B) **34** (1936) 51 und 70. ²⁾ Vgl. die Literaturangaben in der XXX. Mitteilung von FAJANS, S. 106.

³⁾ Zwischen dem Grenzfall der Entstehung stöchiometrisch aufgebauter Komplex-Ionen oder Moleküle und dem der zeitlich veränderlichen Schwarmbildung sind nach FAJANS [XXX und Z. Elektrochem. **34** (1928) 1, 502] kontinuierliche Übergänge möglich. Der von R. LÜHDEMANN (XLII) beobachtete Gang der Refraktion bei $CdCl_2$, das sicher definierte Komplexe bildet (vgl. DOEHLEMANN, E. und FROMHERZ, H., Z. physik. Chem. (A) **171** (1934) 353), ist von derselben Größenordnung wie der von typisch starken Elektrolyten.

Grund dieser Annahme mußten die refraktometrischen Effekte der Kraftwirkungen sowohl von Ionen aufeinander als auch zwischen Ionen und Lösungsmittelmolekülen in Betracht gezogen werden. In einigen Fällen, wie z. B. bei den Salzen NaJ und KJ bzw. $SrCl_2$ und $BaCl_2$ ¹⁾ wurde zur Erklärung der Abstufung der Stärke der Gänge auch das Verhalten der osmotischen Koeffizienten herangezogen²⁾. Die kürzlich von TH. NEUGEBAUER³⁾ aus seiner quantenmechanischen Behandlung der gegenseitigen Beeinflussung der Refraktion von Ionen gezogenen Folgerungen über die Struktur starker Elektrolyte entsprechen im großen Ganzen durchaus den Anschauungen, zu welchen FAJANS und Mitarbeiter auf Grund ihres experimentellen Materials gelangt sind.

Das Auftreten eines Maximums bei etwa 1 norm. in den $R-C$ -Kurven⁴⁾ von $NaBr$, $NaCl$, KCl und $SrCl_2$ ⁵⁾ weist aber darauf hin, daß die Assoziationshypothese allein für die Erklärung der gesamten Refraktionskurve nicht ausreichen kann. Der Vorschlag von BRODSKY und SCHERSCHEWER⁶⁾, die Effekte im ganzen Kon-

¹⁾ HCl , $CaCl_2$ und $SrCl_2$ besitzen gleich starke negative Gänge ($\Delta R/\Delta C < 0$).

²⁾ Vgl. FAJANS, K. (XXX), ferner FAJANS, K., HÖLEMANN, P. und SHIBATA, Z. (XXI) und PESCE, G. (XXII). ³⁾ Die Rechnungen von NEUGEBAUER, TH. [Z. Physik 99 (1936) 677] liefern nicht nur die Abhängigkeit der Refraktions-

änderung von der 4. Potenz des Ionenabstandes, wie sie FAJANS (IV) früher empirisch ableiten konnte, sondern ergeben auch für die Verminderung der Refraktion beim Aufbau des $NaCl$ -Kristalles aus gasförmigen Ionen angenähert den gleichen Wert (0.86 cm^3) wie er von FAJANS und JOOS (I) gefunden worden ist (0.98 cm^3). Auch die Deutung der Konzentrationsgänge der Refraktion stimmt qualitativ mit der obigen überein. In quantitativer Hinsicht handelt es sich aber sowohl bei den Überschlagsrechnungen von FAJANS (III und V) als auch bei denen von NEUGEBAUER nur um ganz rohe Schätzungen, da sich verschiedene Faktoren noch nicht genügend sicher beurteilen lassen. ⁴⁾ Ein ähnliches Verhalten wie die Refraktion zeigt die Abhängigkeit der optischen Drehung der Alkalitartrate von der Konzentration (vgl. PEYCHÈS, J., J. Physique Radium (7) 4 (1933) 594).

So weist z. B. der bei großen Konzentrationen negative Gang der Drehung von Natriumtartrat bei etwa 0.2 norm. ein deutliches Maximum auf. Bei Lithiumtartrat liegt ein eventuell mögliches Maximum sicher nicht oberhalb 0.1 norm. Die bei Kalium- und Rubidiumtartrat beobachteten positiven Gänge werden unterhalb 0.7 norm. beträchtlich steiler, ähnlich wie im Falle der Refraktion von Na_2SO_4 . ⁵⁾ GEFFCKEN, W. und KRUIS, A., XXIX; GEFFCKEN, W. und PRICE, D., XXXIX; KRUIS, A. und GEFFCKEN, W., XLVIII. Möglicherweise liegt der im verdünnten Gebiet beobachteten Zunahme der Steilheit des positiven Ganges ($\Delta R/\Delta C > 0$) von Na_2SO_4 dieselbe Ursache zugrunde. ⁶⁾ BRODSKY, A. E. und FILIPPOVA, N. S., Z. physik. Chem. (B) 26 (1933) 399; (B) 31 (1936) 227. BRODSKY, A. E. und SCHERSCHEWER, I. M., Z. physik. Chem. (B) 26 (1933) 412 und

zentrationsbereich nur auf die Wirkung der Ionenwolken (DEBYE-Effekte) zurückzuführen, kann selbst bei Konzentrationen unterhalb 1 norm. den Tatsachen jedoch nicht gerecht werden. Es läßt sich nämlich einerseits auf Grund der $1/r^4$ -Abhängigkeit der refraktometrischen Effekte vom Ionenabstand abschätzen, daß weder die Richtung noch die Größe des im verdünnten Gebiet bei steigender Konzentration beobachteten Anstieges der Refraktion auf einem DEBYE-Effekt beruhen kann¹⁾. Andererseits konnte G. KORTÜM²⁾ zeigen, daß der Einfluß der interionischen Kräfte auf die Lichtabsorption und optische Drehung besonders empfindlicher Ionen zumindest sehr klein ist³⁾.

In den letzten Jahren gewinnt die Überzeugung immer mehr Raum, daß DEBYE-Effekte⁴⁾ selbst unter der erweiterten Annahme überlagerter Gleichgewichte im Sinne assoziierter Ionen nicht ausreichend sind, um die optischen und die übrigen individuellen Eigenschaften der starken Elektrolyte bei mittleren Konzentrationen (bis etwa 2 norm.) zu erklären⁵⁾. Für das Verhalten der Elektrolyte in diesem

Acta Physico Chimica U.R.S.S. **3** (1935) 685. Vgl. dazu die Diskussion von BRODSKY, A. E., FAJANS, K., GEFFCKEN, W., KRUIS, A. und SCHERSCHOWER, I. M., Z. Sow. Physik **5** (1934) 153f. und insbesondere FAJANS, K. und LÜHDEMANN, R. (XLIII).

¹⁾ Eine derartige Abschätzung wurde schon von K. FAJANS (III, S. 366) für konzentrierte Lösungen durchgeführt. Nimmt man wie dort an, daß die Ionen in der Lösung gittermäßig verteilt sind, so ergibt sich für NaCl zwischen 0 und 1 norm. bezogen auf die Abnahme der Refraktion beim Zusammentritt der freien gasförmigen Ionen zum Gitter (0.98 cm^3) eine Verminderung der Refraktion um etwa 0.001 cm^3 . Der Wert entspricht, abgesehen vom Vorzeichen, höchstens nur einem Zehntel der bei den Alkalichloriden beobachteten Effekte. Man vergleiche dazu die schon erwähnte Arbeit von TH. NEUGEBAUER. ²⁾ KORTÜM, G., Z. physik. Chem. (B) **30** (1935) 317; **31** (1935) 137. Siehe auch KORTÜM, G., Das optische Verhalten gelöster Elektrolyte. Sammlung chemisch-technischer Vorträge 1936, Heft 26. ³⁾ Dieses Resultat darf allerdings nur mit gewisser Wahrscheinlichkeit, nicht mit Sicherheit auf die Refraktion übertragen werden, denn die Lage des Absorptionsmaximums ist die Resultante zweier Faktoren (vgl. z. B. KRUIS, A. und GEFFCKEN, W., IL, S. 56). So ist nur die Refraktion, nicht aber die Absorption der Alkalihalogenide konzentrationsabhängig (vgl. FROMHERZ, H. und Mitarbeiter, Z. physik. Chem. (B) **7** (1930) 439; **9** (1930) 289). ⁴⁾ Die DEBYE'schen Grenzgesetze verlieren oberhalb etwa 0.01 norm. ihre Gültigkeit. Für den daran nach oben anschließenden Konzentrationsbereich können die bisherigen, auf der Erweiterung der DEBYE'schen Ansätze beruhenden Theorien nicht als befriedigend angesehen werden. ⁵⁾ KORTÜM, G., loc. cit. LANGE, E., Z. Elektrochem. **36** (1930) 772. LANGE, J., Z. physik. Chem. (A) **168** (1934) 147.

Konzentrationsbereich scheinen vielmehr die für bestimmte Ionenkombinationen charakteristischen Solvatationseffekte ausschlaggebend zu sein. Dies konnte unlängst G. KORTÜM (loc. cit.) sowohl an Hand des von ihm untersuchten Einflusses von Elektrolyten und Nicht-elektrolyten auf die optischen Eigenschaften einiger besonders empfindlicher Ionen als auch an den Erfahrungen an anderen Eigenschaften starker Elektrolyte darlegen. Die Abstufung der Solvatationseffekte läuft weder parallel mit der Ionenladung, noch sind die Effekte auf Ionen und Dipolmoleküle allein beschränkt. Diese Tatsachen lassen vermuten, wie G. KORTÜM¹⁾ vor kurzem hervorgehoben hat, daß an den „Salzeffekten“ neben den in den älteren Elektrolyttheorien allein berücksichtigten COULOMB-Kräften auch VAN DER WAALSSche Kräfte maßgebend beteiligt sind. Es setzt sich ferner die Einwirkung eines Elektrolyten auf das Lösungsmittel nicht additiv aus den Beiträgen der einzelnen Ionen zusammen, sondern hängt von der betreffenden Ionenkombination, und zwar in erster Linie vom Verhältnis der Ionenradien ab (Konkurrenz der Ionen um das Lösungsmittel). K. FAJANS konnte dies an Hand der Regelmäßigkeiten der Löslichkeit²⁾ und der individuellen Abstufung der osmotischen Koeffizienten starker Elektrolyte³⁾ zeigen. Die bei einigen Elektrolyten im Bereiche von 0,01 norm. bis zur annähernden Sättigung ermittelten Konzentrationsgänge der Refraktion dürften einen Beitrag zur Kenntnis der Abhängigkeit der Solvatationseffekte von der Konzentration liefern.

2. Bei der qualitativen Deutung der Konzentrationsabhängigkeit der scheinbaren Refraktion im konzentrierten Gebiet wurde, wie eingangs erwähnt, ein Teil der Wechselwirkung der Ionen mit den Molekülen des Lösungsmittels schon berücksichtigt. Es sei hier daran erinnert, daß negative Refraktionsgänge ($\Delta R/\Delta C < 0$) hauptsächlich dann zustandekommen, wenn die Beeinflussung der Wassermoleküle durch die Kationen schwächer ist als die der leicht polarisierbaren Anionen, z. B. der Halogenionen (mit Ausnahme von F^-). Positive Gänge treten dagegen z. B. bei Fluoriden und Perchloraten auf, deren Anionen weniger leicht deformierbar sind als Wassermoleküle⁴⁾. Doch

¹⁾ KORTÜM, G., Z. Elektrochem. **42** (1936) 287. ²⁾ FAJANS, K., Naturwiss. **9** (1921) 729; Chemistry at the Centenary (1931) — Meeting of the British Association, pag. 49—53. ³⁾ FAJANS, K. und KARAGUNIS, G., Z. angew. Ch. **43** (1930) 1046. ⁴⁾ Nach einer Mitteilung der Herren K. FAJANS und R. LÜHDEMANN liegen die Verhältnisse nicht immer so einfach, denn bei HJO_3 fand letzterer

wurden in den bisherigen Betrachtungen im wesentlichen nur die Effekte auf die den Ionen unmittelbar benachbarten und deshalb den stärksten Kraftwirkungen ausgesetzten Wassermoleküle berücksichtigt. Man kann nun versuchen¹⁾, den für die verschiedenen Salze im verdünnten Gebiet beobachteten anomalen Verlauf der Refraktion²⁾ auf die Einwirkung der Ionen auf entferntere Wassermoleküle zurückzuführen.

Daß ein derartiger zusätzlicher Effekt unterhalb 1 norm. zum Vorschein kommen kann, erscheint durchaus möglich. Da die Zahl der auf 1 Mol des Gelösten treffenden Mole Wassers in einem Konzentrationsintervall zwischen 1 und 0 norm. von 55 auf unendlich anwächst, während die entsprechende Zunahme zwischen den konzentriertesten Lösungen und 1 norm. höchstens 50 beträgt, können selbst geringfügige Änderungen der Refraktion weiter entfernter Wassermoleküle doch einen merklichen, refraktometrischen Effekt bedingen. Macht man nun die wahrscheinliche Annahme, daß die Effekte, die den Refraktionsgang bei Konzentrationen oberhalb 2 norm. bedingen, auch im verdünnten Gebiet in entsprechendem Maße erhalten bleiben, so stellt die Abweichung ($\Delta R = R_{\text{verd.}} - R_{\text{extrap.}}$) zwischen dem unterhalb 2 norm. tatsächlich beobachteten und dem auf Grund des annähernd linearen Ganges im konzentrierten Gebiet extrapolierten Verlauf, ein Maß für die im verdünnten Gebiet stattfindende, zusätzliche Veränderung der Refraktion weiter entfernter Moleküle des Wassers dar. In Fig. 1 sind die für die bisher untersuchten Elektrolyte (XLVIII. Mitteilung) gefundenen Werte von ΔR gegen $\sqrt{C_g}$ aufgetragen³⁾. Sie

(XLII. Mitteilung) bis zu $C_g = 6$ einen starken positiven Gang, obwohl das JO_3 -Ion nicht als weniger deformierbar als H_2O angesehen werden darf.

¹⁾ Auf diese Möglichkeit wurde von uns schon früher hingewiesen. (Vgl. GEFFCKEN, W. und KRUIS, A., XXIX. Mitteilung.) ²⁾ Es wird hier angenommen, daß die LORENTZ-LORENZsche Formel im ganzen Konzentrationsbereich gilt, daß also die Refraktions- und Dispersionsgänge auf entsprechenden Änderungen der Eigenfrequenzen und Übergangswahrscheinlichkeiten der Lösungspartner beruhen (vgl. II). Selbst wenn die LORENTZ-LORENZsche Beziehung, die streng nur für isotrope Medien gilt, für Ionenlösungen mit mehr oder minder ausgerichteten Wasserdipolen nicht mehr gelten sollte, könnte doch eine formal einzuführende Abhängigkeit des inneren Feldes von der Konzentration auf Grund einer qualitativ ähnlichen Überlegung wie die folgende gedeutet werden. Vgl. z. B. die Betrachtungen von HÖLEMANN, P. (XLVI) über die Gültigkeit der LORENTZ-LORENZschen Formel bei der Änderung des Aggregatzustandes. ³⁾ Die bei der Aufstellung der Kurven benutzten Neigungen der oberhalb 2 norm. annähernd linearen Refraktionsgänge sind folgende:

wachsen bei den einzelnen Salzen in etwas verschiedener Weise mit der Menge des Verdünnungswassers an²⁾, streben aber Grenzwerten zu, da natürlich nur die nahen Schichten des die Ionen umgebenden Wassers beeinflusst werden. Wie aus der zur Berechnung der scheinbaren Äquivalentrefraktion angewandten Mischungsregel folgt, äußert sich diese Beeinflussung des Wassers im verdünnten Gebiet in einer Erniedrigung seiner Refraktion.

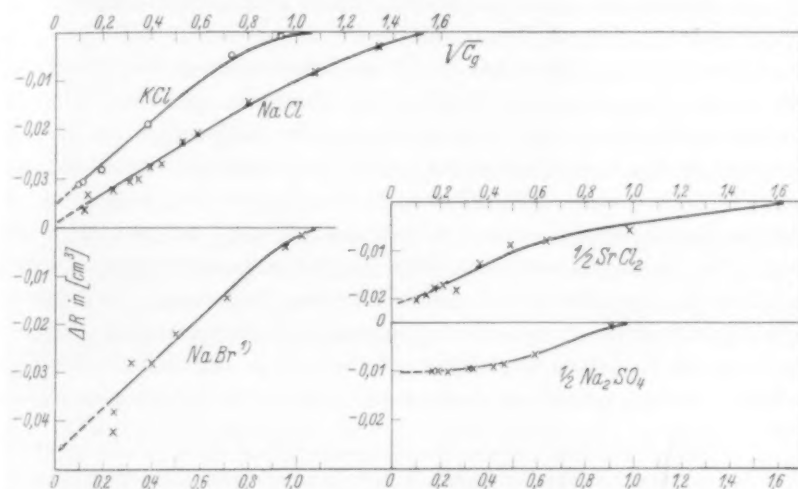


Fig. 1. Die Abweichung der experimentellen Refraktionswerte von der aus dem Verlauf über 2 norm. extrapolierten Geraden in Abhängigkeit von der Wurzel aus der Konzentration.

3. Für die Auffassung, daß es sich bei der im verdünnten Gebiet beobachteten Richtungsänderung des Refraktionsganges um einen derartigen sekundären Effekt handelt, spricht auch das aufgefundene unterschiedliche Verhalten von Refraktion und Dispersion. Der Verlauf der Konzentrationsgänge der Dispersion ist zwischen 3 und

Salz	KCl	NaCl	$\frac{1}{2}$ SrCl ₂	NaBr	$\frac{1}{2}$ Na ₂ SO ₄
$\Delta R/\Delta C_g \cdot 10^3$	-6'5	-10'0	-19'0	-22'0	+20'0

Infolge der merklichen Durchkrümmung der $R-C_g$ -Kurve von $\frac{1}{2}$ Na₂SO₄ ist die gewählte Neigung ziemlich willkürlich. Die $\Delta R-\sqrt{C_g}$ -Kurve gibt deshalb nur ein rohes Bild von dem zusätzlichen refraktometrischen Effekt im verdünnten Gebiet.

¹⁾ GEFFCKEN, W. und PRICE, D. (XXXIX), vgl. dazu Fußnote 1, S. 44 in XLVIII. ²⁾ Bei NH₄NO₃ scheint sich ein derartiger zusätzlicher Effekt innerhalb des der Messung zugänglichen Konzentrationsgebietes nicht bemerkbar zu machen.

etwa 0.01 norm. annähernd linear¹⁾ (vgl. XLVIII. Mitteilung). Die Dispersionsgänge weisen also im Gegensatz zu den meisten Refraktionsgängen keine Neigungsänderung bei etwa 1 norm. auf²⁾. Oberhalb dieser Konzentration dagegen zeigen die Refraktions- und Dispersionsgänge sowohl ihrem Vorzeichen, als auch ihrer Abstufung nach ein weitgehend analoges Verhalten³⁾.

Nun ergibt die für *NaCl* quantitativ durchgeführte Diskussion der im Sichtbaren und U.V. beobachteten Konzentrationsgänge der Dispersion (vgl. II.) an Hand der für $C=0$ aufgestellten Dispersionsformel mit einem ultraroten und zwei ultravioletten Gliedern, daß die Dispersionsgänge sich praktisch vollständig auf eine Konzentrationsabhängigkeit der Parameter des der langwelligeren Absorptionsbande des hydratisierten *Cl*-Ions zugeordneten ersten Gliedes zurückführen lassen. Die Abstufung der Stärke der übrigen festgestellten Dispersionsgänge mit negativem $\Delta\vartheta/\Delta C$ stützt dieses Ergebnis in qualitativer Weise⁴⁾. Für den Konzentrationsgang der Refraktion hingegen liefert den größten Beitrag das zweite ultraviolette Glied⁵⁾, in dem die Anteile des Halogenions, Kations und des Wassers summarisch enthalten sind. Eine Zerlegung in die Anteile der einzelnen Lösungspartner ist noch nicht möglich⁶⁾. Der eben erwähnte

¹⁾ Oberhalb 3 norm. werden die Dispersionsgänge meist etwas schwächer (vgl. dazu Anm. 3, S. 93). ²⁾ Bei NH_4NO_3 tritt ein etwaiges Maximum im Refraktionsgang bei 25° sicherlich nicht oberhalb 0.1 norm. auf. ³⁾ Die Frage, ob sich für die Dispersionsgänge von *NaJ* und *KJ*, *HCl*, *CaCl_2* und *SrCl_2* eine

Parallele zu dem aus der Abstufung der osmotischen Koeffizienten verständlichen Verhalten der Refraktionsgänge (vgl. FAJANS, K., XXX. Mitteilung) ergibt, kann aus Mangel an experimentellem Material noch nicht entschieden werden.

⁴⁾ KRUIS, A. und GEFFCKEN, W., II. und L. ⁵⁾ Für *NaCl* wurden folgende

Zahlenwerte gefunden: Die aus der Konzentrationsabhängigkeit der Äquivalentdispersion berechnete Änderung der Eigenfrequenz und des Zählers des ersten ultravioletten Gliedes bedingt zwischen 0 und 1 norm. eine Abnahme der Äquivalentrefraktion für die D_3 -Linie um etwa 0.004 cm³. Beobachtet wurde aber ein Anstieg um etwa 0.015 cm³. Der Einfluß des ersten ultravioletten Gliedes auf den Refraktionsgang wird demnach in dem betrachteten Konzentrationsbereich durch den des zweiten überkompensiert. Bei Konzentrationen oberhalb 2 norm., wo beide Glieder in derselben Richtung, und zwar refraktionsvermindernd wirken (die Konzentrationsgänge der Refraktion und Dispersion haben gleiches Vorzeichen), beträgt der Anteil des zweiten Gliedes am Refraktionsgang noch etwa zwei Drittel des Gesamteffektes. Der Beitrag des in der Dispersionsformel für $C=0$ noch vorhandenen ultraroten Gliedes ist vermutlich klein gegenüber dem der beiden ultravioletten Glieder. ⁶⁾ Vgl. die Aufteilung der Äquivalentdispersion der Salze in die der Ionen in der II. Mitteilung.

Parallelismus zwischen den Konzentrationsgängen der Refraktion und der Dispersion oberhalb 1 norm. läßt vermuten, daß für den Konzentrationsgang im konzentrierten Gebiet die Beeinflussung des Anteils des Halogenions an dem zweiten ultravioletten Glied maßgebend ist. Das Maximum in den Konzentrationsgängen der Refraktion zeigt an, daß für die Gesamtkurve, neben dem eben erwähnten Anteil des Halogenions, noch ein zweiter Faktor von Bedeutung sein muß, der im verdünnten Gebiet ausschlaggebend wird. Nun ist die Beeinflussung des Wassers im verdünnten Gebiet sehr viel wahrscheinlicher als die des Kations. Man gelangt somit auch auf Grund dieser Überlegung zu dem Ergebnis, daß im verdünnten Gebiet der refraktometrische Effekt der natürlich auch hier vorhandenen Ionenassoziation durch die refraktometrische Beeinflussung des Verdünnungswassers durch die Ionen überdeckt wird.

4. Die im obigen wahrscheinlich gemachte Erniedrigung der Refraktion des vom Ion weiter entfernten Wassers kann auf keinen Fall auf eine durch die Ionen des Elektrolyten bedingte Veränderung der Konzentration der H^+ - und OH^- -Ionen zurückgeführt werden¹⁾. Sie ist vielmehr in einer Änderung der Struktur des Verdünnungswassers zu suchen, wie im folgenden näher auseinandergesetzt werden soll. Die Gegenüberstellung der in einer Reihe von Arbeiten²⁾ stu-

¹⁾ Die Konzentration der Ionen des Wassers nimmt beim Übergang von einer 0.01 norm. zu einer 1 norm. Lösung infolge der durch die Ionen des gelösten Elektrolyten bedingten Erniedrigung der Aktivitätskoeffizienten der H^+ - und OH^- -Ionen und der praktischen Konstanz des Ionenproduktes des Wassers nur um etwa $0.4 \cdot 10^{-7}$ Mol/Liter zu (HARNED, H. S. und SCHUPF jr., O. E., J. Amer. chem. Soc. **52** (1930) 3892). Da die Vereinigung von 1 Mol H_{aq}^+ ($R = -0.6 \text{ cm}^3$) und OH_{aq}^- ($+5.10 \text{ cm}^3$) zu H_2O (3.6 cm^3) mit einer Refraktionsverminderung von 0.92 cm^3 verbunden ist, beträgt die durch die Veränderung der Ionenkonzentration des Verdünnungswassers in dem erwähnten Konzentrationsbereich bedingte Änderung der scheinbaren Äquivalentrefraktion nur 0.051 cm^3 .

²⁾ Von den zahlreichen Arbeiten seien hier nur einige neuere angeführt: 1. Ultrarotmessungen: SUHRMANN, R. und BREYER, F., Z. physik. Chem. (B) **20** (1933) 17; **23** (1933) 193. PLYLER, E. K. und BARR, E. S., J. chem. Physics **2** (1934) 306. MATOSSI, F. und FESSER, H., Z. Physik **96** (1935) 12. CARELLI, A., Nuovo Cimento **12** (1935) 65. GANZ, E. und GERLACH, W., Physik. Z. **37** (1936) 358. GANZ, E., Z. physik. Chem. (B) **33** (1936) 163. 2. Untersuchungen des RAMAN-Spektrums: GANESAN und VENKATEWARAN, Indian J. Physics **4** (1929) 195. GERLACH, W., Physik. Z. **31** (1930) 695. CABANNES, J. und DE RIELS, J., C. R. Acad. Sci. Paris **198** (1934) 30. RAO, C. S., Current Sci. **3** (1934) 154. Proc. phys. Soc. **46** (1934) 747. Indian J. Physics **9** (1934) 195. RAO, I. R. und RAO, C. S., Current Sci. **3** (1935) 350. 3. Magnetische Messungen: CABRERA, B. und FAHLENBRACH, H.,

dierten Beeinflussung charakteristischer Eigenschaften des Wassers einerseits durch in ihm gelöste Salze, andererseits infolge Temperaturänderung beim reinen Lösungsmittel¹⁾ bietet ein in großen Zügen ziemlich einheitliches Bild: Das Wasser in einer Elektrolytlösung verhält sich ähnlich²⁾ wie reines Wasser bei einer anderen, meist höheren Temperatur³⁾, so daß nach BERNAL und FOWLER (loc. cit.) jeder Elektrolytkonzentration eine bestimmte „Strukturtemperatur“ zugeordnet werden kann. Nach den erwähnten Autoren beruht die durch den Einfluß von Temperatur- und Elektrolytzusatz verursachte Änderung der Eigenschaften des Wassers auf einer Veränderung der quasikristallinen Anordnung der monomeren Wassermoleküle⁴⁾. Im

Z. Physik **89** (1934) 166. Vgl. dazu auch TAMMANN, G., Z. Physik **91** (1934) 410. FAHLENBRACH, H., Ann. Physik (5) **24** (1935) 485. 4. DEBYE-SCHERRER-Aufnahmen: MEYER, E. H. L., Ann. Physik (5) **5** (1930) 701. STEWART, G. W., Physic. Rev. **37** (1931) 9. BERNAL, J. D. und FOWLER, R. H., J. chem. Physics **1** (1933) 515. DANILOW, V., Acta Physicochim., UdSSR. **3** (1935) 725.

¹⁾ Außer den in Anm. 2, S. 89 angegebenen Arbeiten sind hier zu nennen: COLLINS, I. R., Physic. Rev. **20** (1922) 486; **26** (1925) 771. RAO, R., Nature **132** (1933) 132. Proc. Roy. Soc. London (A) **145** (1934) 489. SIBALJA, L., Current Sci. **3** (1935) 421. GANZ, E., Ann. Physik [5] **26** (1936) 331. MAGAT, M., S.-A. Thèses, Paris 1936. S. 1 bis 82. Wegen älterer Literatur vgl. man die geschichtliche Studie von CHADWELL, H. M., Chem. Rev. **4** (1927) 375; ferner REDLICH, O., Mh. Chem. **53/54** (1929) 874.

²⁾ In der Beeinflussung der Eigenschaften des Wassers, z. B. der Lage des Absorptionsmaximums bei 0.755μ durch einige Elektrolyte lassen sich Sättigungserscheinungen beobachten in dem Sinne, daß z. B. bei NaClO_4 bzw. NaNO_3 eine Erhöhung der Konzentration über $C=2$ bzw. 3 keine Verschiebung des Absorptionsmaximums mehr zur Folge hat. Der Absorptionskoeffizient nimmt dagegen auch bei höheren Konzentrationen als den angegebenen noch zu (GANZ, E., loc. cit.).

³⁾ Ein ähnlicher Parallelismus wurde von G. TAMMANN (Über die Beziehungen zwischen den inneren Kräften und Eigenschaften der Lösungen, Hamburg und Leipzig 1907) für die Änderung der Eigenschaften des Lösungsmittels unter dem Einfluß eines gelösten Elektrolyten bzw. eines äußeren Druckes aufgezeigt. Die Ionen des Elektrolyten bedingen eine Erhöhung des inneren Druckes (ΔK). $\Delta K/C_g$ hängt von der Natur des Elektrolyten ab und steigt meist, wie z. B. bei LiCl und KCl mit abnehmender Konzentration an.

⁴⁾ Die älteren Strukturtheorien des Wassers nehmen eine Verschiebung des Gleichgewichtes definierter, aus wenigen Molekülen (2 bis 9) aufgebauter Komplexe an (vgl. die erwähnte Arbeit von H. M. CHADWELL). Mit steigender Temperatur zerfallen die größeren Komplexe in zunehmendem Maße in niedermolekulare bzw. in Einzelmoleküle. Diese Hypothese tritt in den neueren Anschauungen über die Struktur des Wassers immer mehr zugunsten der Annahme von Komplexen, die eines quasikristallinen Gefüges zurück (BERNAL und FOWLER, loc. cit. CARTWRIGHT, C. H., Physic. Rev. (2) **49** (1936) 421).

reinen flüssigen Wasser befinden sich nämlich die Wassermoleküle nicht im Zustand idealer Unordnung, sondern ordnen sich in einer von der Temperatur abhängigen Weise gitterähnlich an. So hat Wasser unterhalb 4° vorwiegend eine tridymitähnliche, im Bereich von 4° bis 200° eine quarzähnliche Struktur. Erst in der Nähe der kritischen Temperatur darf es als ideale Flüssigkeit mit dichter hexagonaler Molekülpackung aufgefaßt werden. Diese drei Formen der möglichen Molekülanordnung gehen bei Änderung der Temperatur kontinuierlich ineinander über. Durch Elektrolyte wird die gitterähnliche Struktur in charakteristischer Weise verändert, und zwar begünstigen kleine und stark geladene Ionen vorwiegend ähnlich wie eine Erniedrigung der Temperatur die Ausrichtung der Wasserdipole (Verfestigung des Quasigitters), während große Ionen entsprechend einer Erhöhung der Temperatur die gegenseitige Ordnung der Wassermoleküle stören (Lockerung der Quasigitterstruktur¹⁾). Diese Vorstellung erwies sich als nützlich bei der Erklärung des Einflusses von Elektrolyten z. B. auf die Viskosität, das Dichtemaximum (BERNAL und FOWLER, loc. cit.) und das Ultrarotspektrum des Wassers (GANZ und GERLACH, loc. cit.).

Die Molrefraktion und auch die Dispersion des Wassers nimmt, wie Fig. 2 zeigt, mit steigender Temperatur ab. Der zwischen 0° und 60° etwa 0.007 cm^3 betragende Abfall²⁾ der Molrefraktion ist im Sinne der Strukturtheorie des Wassers als Folge einer allmählichen Umwandlung seiner quasikristallinen Struktur oder als die einer zunehmenden Depolymerisation der Wasserkomplexe aufzufassen. Die Refraktion von nichtpolymeren reinen Flüssigkeiten nimmt nämlich mit steigender Temperatur deutlich zu³⁾. Hingegen ist die Molrefraktion

¹⁾ SUHRMANN und BREYER (loc. cit.) benutzten die Hypothese, daß bei großen Ionen der depolymerisierende Einfluß auf die Wasserkomplexe überwiegt, während die kleinen Ionen beim Aufbau ihrer Hydrathüllen hauptsächlich polymerisierend wirken.

²⁾ Nach den Absorptionsmessungen von I. R. COLLINS (loc. cit.) im Gebiet von 0.7 bis 2.1μ hat man bei 90° gegenüber 0° eine Erhöhung der Bandenstärken von höchstens einigen Prozenten und demnach (vgl. KRUIS, A. und GEFFCKEN, W., II, S. 64) eine Verminderung des Anteils der Ultrarotbanden an der Molrefraktion des Wassers von weniger als 0.001 cm^3 anzunehmen. Daraus folgt, daß die mit der Steigerung der Temperatur verbundene Strukturänderung des Wassers sich hauptsächlich in dem Anteil der ultravioletten Banden auswirkt.

³⁾ Vgl. FAJANS, K., HÖLEMANN, P. und SHIBATA, Z., XXI, S. 360 und FAJANS, K., XXX, S. 108.

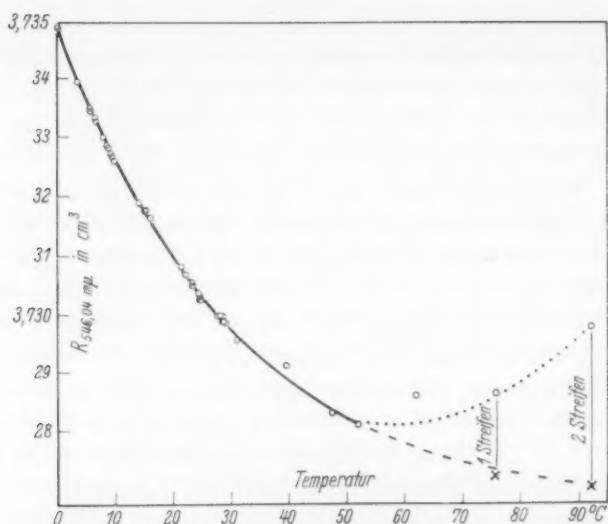


Fig. 2a. Die Temperaturabhängigkeit der Molrefraktion des Wassers, umgerechnet auf Vakuum, nach interferometrischen Messungen von O. JASSE¹⁾.
 Verlauf nach JASSE. ----- Verlauf, wenn die von JASSE für 75.95° bzw. 92.25° C angegebene Zahl der Interferenzen um 1 bzw. 2 erniedrigt wird.

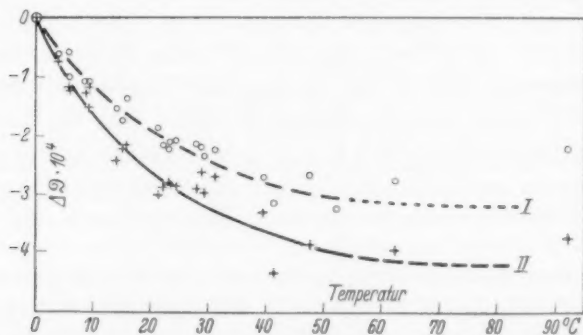


Fig. 2b. Die Änderung der Moldispersion ($\Delta D = D_t - D_{0.03}$) von Wasser mit der Temperatur.

Kurve I gilt für $D = R_{430} - R_{540}$. Kurve II gilt für $D = R_{430} - R_{\frac{577}{579}}$.

¹⁾ JASSE, O., C. R. Acad. Sci. Paris **198** (1934) 163. Bei der Auswertung der interferometrischen Messungen bei Temperaturen oberhalb 29.25° war der Autorin ein Versehen in der Bestimmung der ganzen Zahlen der Interferenzstreifen unterlaufen, so daß die nach den ursprünglichen Angaben (siehe z. B. auch Tabellen von LANDOLT-BÖRNSTEIN, Erg.-Bd. III, S. 1673) berechnete Kurve Sprünge aufgewiesen hat. Die durch meinen diesbezüglichen Hinweis veranlaßte Nachprüfung der Auf-

noch nicht mit Sicherheit möglich. Wohl nimmt bei einigen Salzen die Verschärfung der ultraroten Wasserbanden bei $0.755 \mu^1$, 1.20 und $1.96 \mu^2$) und die Verschiebung des Absorptionsmaximums bei $0.755 \mu^1$, auf die Konzentrationseinheit bezogen, mit steigender Verdünnung zu, doch fehlen wohl wegen der noch ziemlich geringen Genauigkeit der ultraroten Meßtechnik, gerade Messungen bei Konzentrationen unterhalb 1 norm. Ferner ist die quantitative Erfassung der refraktometrischen Auswirkung der beobachteten Änderung des Ultrarotspektrums des Wassers dadurch erschwert, daß sich in der Beeinflussung der Struktur des Wassers durch die Ionen, wie schon erwähnt, mehrere Effekte überlagern³). Ein Anstieg mit fallender Konzentration ist auch für die von TAMMANN (loc. cit.) aus Messungen der Volumenausdehnung von KREMERS⁴) berechneten Werte für $\Delta K/C$, z. B. bei KCl festzustellen (vgl. Anm. 3, S. 90), doch gilt für sie ebenfalls das für die Ultrarotmessungen Gesagte⁵).

Wenn sich zwar heute noch keine zuverlässigen Angaben über die Konzentrationsabhängigkeit der Beeinflussung des Ultrarotspektrums des Wassers durch die Ionen gewinnen lassen, so scheint man doch hinsichtlich der Abstufung der Effekte eine deutliche Abhängigkeit von der Natur der Ionen feststellen zu können. Die Störung des Absorptionsspektrums des Wassers durch gleichgeladene Anionen ist um so stärker, je größer das Ion ist. Sie nimmt also in der Reihenfolge $Cl^- < Br^- < J^-$ zu⁶). In bezug auf die Kationen besteht indes noch keine Über-

¹) Nach den Untersuchungen von E. GANZ (loc. cit.). ²) Nach den Beobachtungen von R. SUHRMANN und F. BREYER (loc. cit.). ³) Der überwiegend

lockernde Einfluß der großen Ionen auf das Wasser äußert sich in einer von einer Verschiebung nach kurzen Wellen begleiteten Verschärfung der ultraroten Wasserbanden. Kleine Ionen dagegen verflachen die Banden unter teilweiser Verlagerung nach langen Wellen.

⁴) KREMERS, P., Pogg. Ann. **100** (1857) 394.
⁵) Die Untersuchungen über die Erniedrigung der Lösungswärme von KCl in Elektrolytlösungen gegenüber der in reinem Wasser von DRUCKER, C., Ark. Kem. Mineral. Geol. **11** (1934) 1, ermöglichen ebenfalls eine Entscheidung dieser Frage nicht. DRUCKER deutet die gefundene Verkleinerung der Lösungswärme (ΔL) im Sinne der Depolymerisationshypothese. ΔL nimmt bei 2 norm. Lösungen wie folgt zu, bei den Chloriden $H^+ < Li^+ < NH_4^+$, Mg^{2+} , $K^+ < Na^+ < Ca^{2+} < Cd^{2+}$, Ba^{2+} ; bei den Nitraten $H^+ < NH_4^+$, Li^+ , K^+ , $Na^+ < Be^{2+} < Mg^{2+} < Ca^{2+}$, Cd^{2+} , La^{3+} ; bei den Sulfaten $H^+ < Mg^{2+}$, NH_4^+ , K^+ , Na^+ . Für Kaliumsalze gilt



Diese Reihenfolge stimmt weitgehend mit der aus den Ultrarotmessungen abgeleiteten überein. Die Abstufung von ΔL weist ferner eine Parallelität mit der von DRUCKER als Maß der depolymerisierenden Wirkung der Ionen herangezogenen Verschiebung des Dichtemaximums auf. Die auf 1 Mol des Fremdelektrolyten bezogenen Werte von ΔL steigen zwar mit zunehmender Verdünnung an, doch lassen sie insofern keine sicheren Schlüsse, sei es auf die Größe oder auf die Konzentrationsabhängigkeit des molaren Effektes zu als sich für das von DRUCKER gewählte Konzentrationsgebiet (> 1 mol.) der Anteil der interionischen Kräfte an den von ihm festgestellten Effekten nicht mehr streng berücksichtigen läßt.

⁶) Die Ergebnisse der von E. GANZ und W. GERLACH (loc. cit.) kürzlich veröffentlichten Untersuchung der Wasserbande bei 0.755μ in Abhängigkeit von

einstimmung der Befunde verschiedener Autoren. An Hand des untersuchten Reflexionsvermögens wässriger Alkalihalogenidlösungen im Bereich der Grundfrequenzen des Wassers (3 und 6 μ) konnten F. MATOSSÍ und H. FESSER²⁾ zeigen, daß die Wirkung der Kationen auf die Wasserkomplexe mit fallendem Ionenradius zunimmt, also mit folgender Abstufung $Li^+ > Na^+ > K^+$. SUHRMANN und BREYER sowie E. GANZ (loc. cit.) finden eine umgekehrte Reihenfolge³⁾.

Aus den bisherigen Refraktionsmessungen läßt sich noch kein eindeutiger Schluß auf eine etwaige Abhängigkeit des Einflusses der Ionen auf die Refraktion des Wassers von der Ionengröße ziehen. Es sei aber darauf hingewiesen, daß der molare Effekt bei Sr^{2+} innerhalb der Fehlergrenze dieselbe Größe besitzt wie bei Na^+ . Daß bei NH_4NO_3 kein derartiger Effekt im verdünnten Gebiet auftritt, obwohl das Salz eine deutliche Verschiebung des Dichtemaximums bewirkt, ist möglicherweise auf eine zufällige Kompensation der Wirkung beider Ionen zurückzuführen. Über den Anteil der hier diskutierten Effekte am refraktometrischen Lösungseffekt⁴⁾ läßt sich vorläufig nicht viel aussagen. Jedenfalls müßten demnach auch große Anionen einen geringen Lösungseffekt besitzen.

Zur Klärung der Einwirkung der Ionen auf das Wasser sind im hiesigen Institut weitere Messungen sowohl an anderen Salztypen und Nichtelektrolyten als auch bei anderen Temperaturen im Gange.

Herrn Prof. Dr. K. FAJANS und Herrn Dr. habil. W. GEFFCKEN bin ich für wertvolle Diskussion zu Dank verpflichtet.

der Temperatur bei verschiedenen Elektrolytlösungen fügen sich in das Schema gut ein. „Das in der Lösung enthaltene Wasser absorbiert wie reines Wasser einer um so höheren Temperatur, je größer die Ionen des gelösten Stoffes sind.“ Die Autoren finden die Reihenfolge $H^+ < Cl^- < ClO_3^- < ClO_4^-$. ²⁾ Die Untersuchung des ultraroten Reflexionsvermögens von F. MATOSSÍ und H. FESSER (loc. cit.) hat gegenüber der des Absorptionsvermögens von SUHRMANN, BREYER und GANZ (loc. cit.) den Vorteil, daß sie die Veränderung der Grundbanden des Wassers erfaßt. Leider verfolgen die erstgenannten Autoren den Einfluß der Konzentration auf das Reflexionsvermögen nicht näher. ³⁾ Die bei den Alkaliionen bestehende Diskrepanz ist noch nicht geklärt. ⁴⁾ Vgl. KRUIS, A. und GEFFCKEN, W., II, S. 62.

Physikalisch-chemisches Institut an der Universität München.

Molekulare Orientierung und Katalyse.

Dehydrierungskatalyse von Cyclohexan bei Gegenwart von Chromoxyd.

Von

A. A. Balandin und J. J. Brussow.

(Aus der Abteilung für org. Katalyse des N. D. ZELINSKY-Laboratoriums für org. Chemie des Chemischen Forschungsinstituts an der Staatsuniversität Moskau.)

(Mit 10 Figuren im Text.)

(Eingegangen am 16. 4. 36.)

Heterogenkatalytische Reaktionen sind einer Oberflächenstereochemie unterworfen, welche durch den Multiplettcharakter der aktiven Zentren des Katalysators und folglich durch die spezifische molekulare Orientierung bedingt ist. Diese Konfigurationsfaktoren sind bei der Dehydrierungskatalyse von großer Bedeutung.

Es gibt zwei Arten katalytischer Dehydrierung, je nach der Orientierung der Moleküle zur Katalysatoroberfläche. Sie unterscheiden sich wie folgt:

Erster Typus: flache Sextettorientierung, Reaktionstemperatur etwa 300°. Als Katalysatoren dienen Metalle, Platin, Palladium, Nickel und andere, deren Kristallgitter zum hexagonalen oder kubischen (kubisch-flächenzentrierten) System gehören. Der Dehydrierung unterliegen nur sechsgliedrige Ringe; die Dehydrierung führt direkt zum aromatischen Kern.

Zweiter Dehydrierungstypus: Kanten-Dublettorientierung; höhere Reaktionstemperatur, etwa 450°. Als Katalysatoren dienen die Metalloxyde von Chrom, Molybdän, Zink, Titan und anderes. Die oben angegebene Kristallstruktur ist nicht obligatorisch; es können auch andere Ringe, außer den sechsgliedrigen, dehydriert werden. Die sechsgliedrigen Ringe können als Zwischenprodukte Cyclohexen und Cyclohexadien liefern.

In der vorliegenden Arbeit ist diese Folgerung aus der Multipletttheorie der Katalyse bestätigt worden. Es wurde die Kinetik der Dehydrierungskatalyse von Cyclohexan auf Chromoxyd (drei Darstellungsmethoden der Katalysatoren) und Molybdänoxyd untersucht. Der Prozeß verläuft nach der Gleichung von LANGMUIR für die Kinetik katalytischer Reaktionen in heterogenen Systemen; die Verweilzeit von Cyclohexanmolekülen auf der Oberfläche wurde zweieinhalbmal so groß gefunden als die Verweilzeit der Moleküle des Endproduktes Benzol (bei 400°). Unter Berücksichtigung dieser Adsorptionerscheinungen konnte man in verschiedenen Fällen für die wahren Aktivierungsenergien der Dehydrierung Werte von 20000 bis 40700 cal/Mol ermitteln. Am Beispiel von Benzin mit entferntem hydroaromatischen Bestandteil ließ sich zeigen, daß über Chromoxyd nicht nur sechsgliedrige Ringe dehydriert werden können. Die Bildung von Dehydrierungszwischenstufen wird experimentell wahrscheinlich gemacht. Endlich werden einige andere Befunde vom Standpunkt der Dublettdehydrierung besprochen.

Theoretische Betrachtungen.

1. LAZIER und VAUGHEN¹⁾ stellten fest, daß amorphes Chromoxyd die Dehydrierung von Cyclohexan katalysieren kann. Ihrer Meinung nach soll diese Tatsache ein „ernstes Hindernis“ für die von dem einen von uns²⁾ aufgestellte Multipletttheorie sein, denn letztere „verlangt ein Oberflächen-Kristallgitter von bestimmter Konfiguration“. Wir widmeten uns eingehender der theoretischen Betrachtung dieser Frage, sowie ihrer experimentellen Untersuchung, um hauptsächlich letztere zu vertiefen. Denn in der umfangreichen Arbeit der genannten Autoren über die katalytischen Eigenschaften des Chromoxyds werden nur drei Versuche mit Cyclohexan angeführt, von denen einer zu negativen Resultaten führte (siehe Tabelle 3 der zitierten Mitteilung) und die anderen zwei eine Maximalausbeute an Dehydrierungsprodukten von 3·12% lieferten.

2. In guter Übereinstimmung mit den experimentellen Befunden³⁾ zeigt die Strukturtheorie der Reaktionen⁴⁾, daß bei der Pyrolyse Cyclohexan bei 650° in Äthylen und 1,3-Butadien zerfallen muß. Ganz analog gibt der fünfgliedrige Ring Cyclopentan, Äthylen und Propylen. Gleichzeitig mit diesen Reaktionen findet eine teilweise Dehydrierung statt. Cyclohexan geht in Benzol und Cyclopentan in Cyclopentadien über. Unter diesen Bedingungen existiert also kein prinzipieller Unterschied zwischen der Zersetzung beider cyclischer Moleküle.

3. Auf der Oberfläche des Katalysators verlaufen die Reaktionen bei niedrigeren Temperaturen. Die Strukturtheorie der Reaktionen geht hier in die Multipletttheorie über, nach welcher nur die den Katalysator berührenden Atome des Moleküls in Reaktion treten; für die Katalyse sind mehrere Atome (aktive Zentren) der Oberfläche notwendig. Chemische Bindungen, die von verschiedenen Zentren ausgehen, müssen zerreißen, während die von einem Zentrum angezogenen Atome durch eine neue Bindung vereinigt werden. Für Cyclohexan ergibt die Multipletttheorie die Möglichkeit mehrerer Orientierungen und also mehrerer Reaktionsrichtungen.

4. Als erste sei die folgende genannt. Auf Metallen — Platin, Palladium, Nickel und anderen — nimmt Cyclohexan eine flache Stellung ein (Fig. 1) und wird bei 300° katalytisch dehy-

¹⁾ LAZIER, W. A. und VAUGHEN, J. V., J. Amer. chem. Soc. **54** (1932) 3080.

²⁾ BALANDIN, A. A., Z. physik. Chem. (B) **2** (1929) 289.

³⁾ KASANSKY, B. A.

und PLATE, A. F., Ber. dtsch. chem. Ges. **67** (1934) 1023.

⁴⁾ BALANDIN, A. A.,

Acta Phys. Chim. UdSSR. **2** (1935) 177, 345, 363.

driert¹⁾. Aus solch einer Sextettorientierung des Moleküls auf der Oberfläche lassen sich experimentelle Folgerungen voraussagen, von denen wir einige hier anführen wollen:

a) Die Dehydrierung von Cyclohexan kann nur in Gegenwart von kristallinen (mikrokristallinen) Katalysatoren stattfinden.

b) Als Katalysatoren können nur Metalle fungieren, und nur solche, die kubisch-flächenzentriertes oder hexagonales Kristallgitter besitzen und die ganz bestimmte Atomradien im Gitter aufweisen.

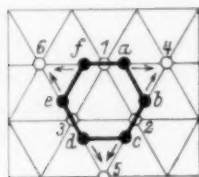


Fig. 1. Modell der Sextett-Dehydrierungskatalyse des Cyclohexans. Leere Kreise sind Zentren der Katalysatoratome, gefüllte Kreise sind Zentren der Kohlenstoffatome. Die Katalysatoratome 1, 2 und 3 ziehen Kohlenstoffatome an, die Katalysatoratome 4, 5 und 6 ziehen Wasserstoffatome an.

c) Es können dieser Art von Dehydrierungskatalyse nur sechsgliedrige cyclische Kohlenwasserstoffe unterliegen, die außerdem die Fähigkeit besitzen, sich an das Gitter, wie in Fig. 1 gezeigt, anzulagern. Folglich kann der Cyclopentanring unter diesen Bedingungen nicht dehydriert werden, im Gegensatz zu den Bedingungen der Pyrolyse.

d) Die Dehydrierung führt direkt zum Benzol ohne intermediäre Bildung von Cyclohexen und Cyclohexadien.

Die Bestätigung dieser Tatsachen wurde in der oben zitierten Arbeit¹⁾ auf Grund des großen, hauptsächlich von Prof. N. D. ZELINSKY, Mitglied der Akademie, und seiner

Schule erhaltenen Materials gegeben. Eine Reihe von späteren Untersuchungen, die zur Prüfung der Multipletttheorie unternommen wurden, bestätigte deren Folgerungen auf Grund von neuem Material²⁾.

5. Die zweite mögliche Orientierung besteht darin, daß das Cyclohexanmolekül sich um seine Achse 6. Ordnung um 30° im Vergleich zu Fig. 1 dreht und auf dem Katalysator derselben Struktur in der gleichen flachen Stellung liegen bleibt. Dabei tritt unter Deformation und Ringsprengung eine Zersetzung zu Methan (im

¹⁾ BALANDIN, A. A., Z. physik. Chem. (B) **2** (1929) 289. ²⁾ Davon seien folgende genannt: ZELINSKY, N. D. und FREIMAN, G. M., Ber. dtsch. chem. Ges. **63** (1930) 1485. ZELINSKY, N. D., KAZANSKY, B. A. und PLATÉ, A. F., Ber. dtsch. chem. Ges. **66** (1933) 1422. EHRENSTEIN, M. und BUNGE, W., Ber. dtsch. chem. Ges. **67** (1934) 1715. LONG, J. H., FRAZER, J. C. W. und OTT, E., J. Amer. chem. Soc. **56** (1934) 1101. BALANDIN, A. A., Z. physik. Chem. (B) **9** (1935) 49, 319. Vgl. FRAZER, J. C. W., 8th Report of the Committee on Contact Catalysis. J. phys. Chem. **36** (1930) 2129.

Wasserstoffstrom) ein: als Zwischenstadium der Zersetzung müssen hier Methylenradikale auftreten. Wir wollen die experimentellen Folgerungen aus diesem Schema anführen:

a) Die Zersetzung muß durch Metalle mit kleinen Atomradien stärker gefördert werden, denn im entgegengesetzten Falle wären die Abstände 6—A, 2—B und 4—C (Fig. 2) zu groß, um eine Anziehung der entsprechenden Kohlenstoffatome zu ermöglichen.

b) Die im Zwischenstadium auftretenden Methylenradikale können sich nicht nur durch Methanbildung, sondern auch auf andere Arten kundgeben.

Auf die gute Bestätigung der ersten Folgerung durch das Experiment wurde schon früher hingewiesen¹⁾. Zu solchen Katalysatoren gehören Eisen, Rhodium und Nickel, deren Atomradien wirklich die kleinsten unter den ihnen analogen Metallen sind. Was die zweite Folgerung anbetrifft, so kann man hier eine interessante Beobachtung von N. D. ZELINSKY und N. J. SCHUJIN²⁾ anführen. Sie fanden nämlich, daß bei der Dehydrierung von Cyclohexan auf Nickel auch Toluol und Xylole entstehen, deren Bildung diese Autoren durch das intermediäre Auftreten von Methylenradikalen erklären.

6. Vom Standpunkt der Multiplletttheorie muß es noch einen Fall geben, nämlich den einer seitlichen Orientierung des Cyclohexans, bei der eine Dehydrierungskatalyse ebenfalls möglich ist (Fig. 3). Wir haben in diesem Fall eine Dublettorientierung, die in unserem vollständigen System der Dublettreaktionen enthalten ist unter dem Indexsymbol:

$$\Pi K_1^2 2 = \begin{array}{c} C - C \\ | \quad | \\ H \quad H \end{array}$$

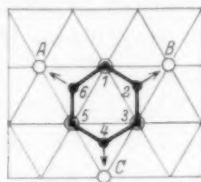


Fig. 2. Modell der Methylen-Spaltungskatalyse des Cyclohexans auf Metallen. Die Katalysatoratome A, B und C ziehen die Kohlenstoffatome 6, 2 und 4 mit den an sie gebundenen Wasserstoffatomen (Methylen) an.

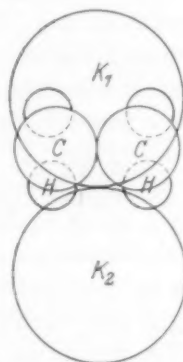


Fig. 3. Modell der Dublett-Dehydrierungskatalyse. Das Katalysatoratom K_1 zieht die Kohlenstoffatome C an, das Katalysatoratom K_2 die Wasserstoffatome H.

¹⁾ BALANDIN, A. A., Z. physik. Chem. (B) **2** (1929) 289. ²⁾ ZELINSKY, N. D. und SCHUJIN, N. J., C. R. Acad. UdSSR. **1934**, 255.

Dieses Modell führt — und dieser Umstand muß besonders betont werden — zu ganz anderen Konsequenzen, als das erste Sextettmodell der Dehydrierungskatalyse. Wir haben deshalb die Möglichkeit, diese beiden Orientierungsarten experimentell zu unterscheiden. Für dieses Modell gilt:

a) Die Dehydrierung bei einer Dublettorientierung der Moleküle muß sich durch ihre kinetischen Merkmale von der Sextettdehydrierung unterscheiden. Wir haben außerdem:

b) Der Katalysator braucht nicht unbedingt Kristallstruktur zu besitzen, denn es sind in diesem Fall nur zwei Atome des Katalysators notwendig, um die Reaktion durchzuführen. Zwei benachbarte Atome, die die Katalyse unter geeigneten energetischen Verhältnissen zustande bringen, kann es aber auch auf einer nichtkristallinen Oberfläche geben.

c) Die kristallinen Katalysatoren können Gitter anderer Symmetrieklassen besitzen, als es für die Sextettorientierung notwendig ist, also brauchen ihre Gitter nicht hexagonal oder kubisch flächenzentriert zu sein. Diese Folgerung gründet sich auf die gleiche Argumentation wie die zweite.

d) Die Bedingung, nach der nur sechsgliedrige Ringe dehydriert werden können, fällt in diesem Falle fort. Die zwei benachbarten für den Index II K_1^2 2 notwendigen Kohlenstoffatome sind nicht nur in sechsgliedrigen, sondern auch in fünfgliedrigen und anderen Ringen sowie in Molekülen mit offener Kette enthalten.

e) Es müssen sich ungesättigte Dehydrierungsprodukte bilden, denn in dem Index II K_1^2 2 müssen die zwei vertikalen Valenzbindungen des Schemas (1) zerrissen und zwei neue horizontale gebildet werden, wie es aus den Grundlagen der Multipletttheorie folgt. Also muß aus Cyclohexan zuerst Cyclohexen, darauf Cyclohexadien und endlich Benzol entstehen.

Bis jetzt gibt es keine experimentelle Bestätigungen für dieses Modell, und die Art dieser Dehydrierung mußte als unbekannt gelten. Es ist das Ziel unserer Mitteilung, die Existenz dieser Dehydrierungsform zu zeigen. Als Katalysatoren dienen bei der Dublettdehydrierung hauptsächlich Oxyde. In dieser Arbeit haben wir Molybdänoxyd und besonders Chromoxyd untersucht.

f) LAZIER und VAUGHEN haben auf Grund der Multipletttheorie nur eine Sextettorientierung für möglich gehalten und nicht mit der Möglichkeit einer Dublettstellung gerechnet. Durch den Beweis ihrer Existenz wird der Einwand dieser Autoren automatisch aus-

geschlossen, und die Dehydrierung von Cyclohexan über Chromoxyd verwandelt sich bei eingehender Untersuchung aus einer Tatsache, die der Multipletttheorie widersprach, in eine Tatsache, die diese Theorie von einer neuen Seite her bekräftigt. Dasselbe läßt sich auch über die Dehydrierung über kristallinem Zinkoxyd sagen, das nach LAZIER und VAUGHEN auch Cyclohexan, obwohl in geringerem Maß, katalytisch zu dehydrieren vermag. Man kann noch mehr sagen: Da der Dublettindex



von uns als eine selbständige Reaktionsart charakterisiert worden war¹⁾, bevor LAZIER und VAUGHEN als erste diese Reaktion in ihrer einfachen Form beobachtet haben (die normale Dehydrierung war früher auf sechsgliedrige Ringe beschränkt), so kann man sagen, daß diese Autoren einen Reaktionsindex entdeckt haben, der von der Multipletttheorie vorausgesagt war.

Experimenteller Teil.

7. Apparatur. Die Versuche wurden nach der Durchströmungsmethode durchgeführt. Die Apparatur²⁾ war so abgeändert, daß 1. die Temperatur durch ein Thermopaar gemessen wurde, 2. die Vorlage und ein Zusatzschlangenkühler mit Eis-Salz-Gemisch gekühlt wurde, wodurch der Eintritt von Cyclohexan oder Benzoldämpfen in den Gasmeßzylinder (von 500 cm³ Volumen) verhindert wurde. 3. Endlich war noch ein Röhrensystem mit Hähnen angebracht, welches dazu diente, Gasproben zur Analyse aus dem Zylinder in den Apparat von ORSAT-LUNGE überzuführen. Der Durchmesser des Katalysenrohres aus Hartglas betrug 2 cm, die Länge des elektrischen Ofens 50 cm. Um den Katalysator vor Vergiftung zu schützen, wurden die Hähne nicht eingefettet, sondern mit einer Lösung von Glucose in Glycerin bestrichen. Besondere Aufmerksamkeit wurde der Dichtung der ganzen Apparatur gewidmet.

8. Ausgangsstoffe. Ein geringer Teil von Cyclohexan stammte von den Deutschen Hydrierwerken (n_D^{20} 1.4271), der größte wurde katalytisch aus Benzol (chem. rein, thiophenfrei) durch Hydrierung über Platin auf Kohle dargestellt. Das Katalysat wurde mit rauchender Schwefelsäure (7% SO_3) behandelt, mit verdünnter Kalilauge und Wasser gewaschen, über Calciumchlorid getrocknet und über Natrium destilliert. Sdp. 80.5° bis 81°, n_D^{20} 1.4272³⁾.

9. Darstellung der Katalysatoren. Zur Darstellung von Chromoxyd wurde Ammoniumbichromat (zur Analyse) gebraucht. Es wurde qualitativ auf Ionen von Metallen, die eine Dehydrierungskatalyse hervorrufen könnten, geprüft. Auf Eisen mit Ammoniumrhodanid, Kaliumferro- und -ferricyanid, auf Nickel mit

¹⁾ BALANDIN, A. A., J. Gen. Chem. **2** (1932) 171 (russ.). ²⁾ BALANDIN, A. A., Z. physik. Chem. (B) **19** (1932) 451. ³⁾ Das entspricht noch einem Gehalt von 1.22% Benzol.

Dimethylglyoxim, auf Kobalt mit Ammoniumrhodanid und auf Kupfer mittels Ferrocyanid. Keines dieser Elemente wurde nachgewiesen. Darauf wurden aus diesem Präparat die folgenden drei Katalysatoren (*A*, *B* und *C*) dargestellt.

Katalysator *A*. Durch Glühen erhaltenes Chromoxyd. Ammoniumbichromat wurde über schwacher Flamme in einer Porzellanschale geglüht; sobald die entweichenden Gase sich entzündeten, wurde der Brenner beiseite gestellt. Das Präparat war grünlich, locker. Es wurden 6.5 g davon entnommen und in einer Schicht von 23 cm Länge im Rohr ausgebreitet.

Katalysator *B*. Durch Fällung dargestelltes Chromoxyd. Es wurde nach einem etwas abgeänderten Verfahren von LAZIER und VAUGHEN bereitet. Eine Lösung von 70 cm³ chemisch reiner Schwefelsäure und 50 cm³ Methylalkohol in 170 cm³ Wasser wurde langsam in eine Lösung von 50 g Ammoniumbichromat in 170 cm³ Wasser unter Erwärmung gegeben. Darauf wurde die Lösung auf das fünffache Volumen verdünnt, abgekühlt und bei etwa 20° mittels 200 cm³ 30% igen Ammoniaks gefällt. Nach zwölfmaligem Dekantieren wurde der Niederschlag filtriert und bei 110° bis 120° getrocknet. Der Katalysator war nach dem Trocknen blaugrün gefärbt, es wurden 15 g in einer 27 cm langen Schicht davon genommen.

Katalysator *C*. Auf Asbest niedergeschlagenes Chromoxyd. Der Asbest wurde durch dreimaliges Kochen mit konzentrierter chemisch reiner Salpetersäure gereinigt, mit destilliertem Wasser, verdünnter Alkalilösung und dann wieder mit Wasser gewaschen, bei 120° getrocknet und gewogen. Darauf wurde er in eine Ammoniumbichromatlösung gegeben und wie für den Katalysator *B* beschrieben, behandelt. Das Präparat enthielt 20% Chromoxyd und war blaugrün gefärbt. Zur Katalyse wurden 8 g in einer Schicht von 26 cm gebraucht.

Ein anderer Katalysator — Molybdänoxyd — wurde durch starkes Glühen von Ammoniummolybdat (Werk Seltene Elemente, rein, f. An.) in einem Porzellantiegel bereitet. Es war schwach bläulich gefärbt; für die Versuche wurden 38 g in einer Schicht von 30 cm gebraucht.

10. Ausführung der Versuche. Während durchschnittlich 20 Stunden wurde durch das Rohr mit dem Katalysator Wasserstoff bei 450° geleitet, bis kein Wasser sich mehr ausschied. Augenscheinlich fand dabei eine Reduktion statt, denn bei starkem Glühen verlor eine Probe des Katalysators *A* nur 1.4%; folglich war das bei der Behandlung mit Wasserstoff ausgeschiedene Wasser nicht hygroskopischer Herkunft und kein Hydratwasser. Der auf diese Weise vorbereitete Katalysator wurde im Rohr gelassen und zwischen den Versuchen in einer Wasserstoffatmosphäre aufbewahrt. Vor jedem Versuch wurde Wasserstoff 2 Stunden lang bei der Versuchstemperatur durch das Rohr geleitet (außer in den Fällen, die besonders erwähnt werden). Am Anfang jedes Versuches wurden folgende Vorbereitungen getroffen: Die Wasserstoffzufuhr wurde unterbrochen und alle Hähne, außer dem zum Gasmeßzylinder führenden, geschlossen. Man notierte die Zeit des Versuchsanfanges, das Flüssigkeitsniveau in der Bürette und die Temperatur des Ofens. Darauf wurde der Lufthahn, der den Zufluß der Flüssigkeit reguliert, so weit aufgedreht, daß die notwendige Durchströmungsgeschwindigkeit sich einstellen konnte. Die Ablesungen an der Bürette, an dem Gasmeßapparat und am Millivoltmeter des Thermopaars wurden alle 3 Minuten gemacht. Die ersten 150 bis 200 cm³ Gas ließen wir wieder ausströmen, um den Wasserstoff aus dem ganzen System zu verdrängen, und erst dann wurde der Gasmeßapparat eingeschaltet und mit den Ab-

lesungen begonnen. Nach Beendigung des Versuches wurde der Gasmeßapparat ausgeschaltet, Wasserstoff durchgeleitet und mit dem nächsten Versuch begonnen. Das Katalysat ließen wir aus der Vorlage mittels eines Hahnes in Kolben von 25 cm³ Inhalt fließen. Der Brechungsindex wurde auch nach einer Destillation über Natrium bestimmt; gewöhnlich nahm er dabei nur um ein paar Einheiten in der vierten Dezimale ab. Das Gas wurde aus dem Gasmeßapparat in einen Apparat von ORSAT-LUNGE übergeführt, nachdem dieser mit demselben Gas drei- bis viermal ausgewaschen war. Es wurden Kohlensäure, Olefine, Kohlenoxyd, Wasserstoff und Grenzkohlenwasserstoffe bestimmt; letztere wurden als Methan berechnet. Die Verbrennung von Wasserstoff und Olefinen führte man mit Hilfe von palladi-niertem Asbest durch. Der Wasserstoff wurde bei 120° bis 125° und Methan bei 200° und höher verbrannt. Die Nummern der Versuche entsprechen der Numerierung des Arbeitsjournals. Die Versuche wurden kreuzweise ausgeführt. Eine Reihe von Versuchen wurde wiederholt, wobei gut reproduzierte Resultate erhalten wurden.

11. Bearbeitung der Versuchsergebnisse. Die abgelesenen Volumina wurden auf Normalbedingungen umgerechnet. Die Reaktionsgeschwindigkeit wurde durch die Differenz der Ablesungen während einer Zeit von 6 Minuten ausgedrückt. Die Ablesungen der ersten 6 Minuten wurden verworfen; nach dieser Zeitfrist konnte man sicher sein, daß ein stationärer Zustand erreicht war. Aus diesen Angaben wurde der Mittelwert für jeden Versuch berechnet. Die Zuflußgeschwindigkeit der Flüssigkeit und die Temperatur wurden auf gleiche Weise bestimmt. Der aus dem entwickelten Wasserstoff abgeleitete Dehydrierungsgrad wurde unter der Annahme berechnet, daß aus einem Mol Cyclohexan theoretisch bei vollständiger Reaktion drei Moleküle Wasserstoff oder aus 1 cm³ flüssigem Cyclohexan 622 cm³ (NTP) Wasserstoff entstehen müssen¹⁾. Bei der Bestimmung des Dehydrierungs-grades aus den Refraktionsindices benutzten wir die Angaben von G. S. PAWLOW²⁾, aus weiter unten angeführten Gründen können die dabei erhaltenen Werte nur als angenäherte gelten.

Vorversuche.

12. Zuerst wurden Versuche bei 410° bis 490° mit dem durch Glühen hergestellten Chromoxyd (Katalysator A) ausgeführt. Nach den Versuchen färbte sich der Katalysator grellgrün. Die Reaktionsprodukten waren hellgelb gefärbt und fluoreszierten. Nach der Destillation über Natrium verschwand die Farbe. Die ersten Versuche (Nr. 1 bis 19 bei 450°) gaben keine reproduzierbaren Resultate. Die Gasausbeute in Prozenten der theoretisch-möglichen schwankte zwischen 3·35 bis 13·57 %. Die Analyse der Gase aus dem Reaktionsprodukt lieferte folgende Werte: CO₂ 0·2 bis 0·9 %; C_nH_{2n} 1·4 bis 19·4 (!) %; CO 3·1 bis 5·6 %; H₂ und Grenzkohlenstoffe 74·0 bis 89·0 %. Nach diesem ersten unbeständigen Stadium wurde die Aktivität des Katalysators stabil, was man aus dem Umstand sehen kann,

¹⁾ Vgl. BALANDIN, A. A. und JURJEW, J. K., Acta Phys. Chim. UdSSR. 1 (1934) 189. ²⁾ PAWLOW, G. S., J. Russ. Ges. [chem.] 58 (1926) 1311.

daß zwei bei gleichen Temperaturen durchgeführte Versuche nahe gleiche Geschwindigkeiten für die Gasentwicklung lieferten (Tabelle 1, Nr. 21 bis 22, 23 bis 24 und 25 bis 26). Folglich findet hier keine bleibende (irreversible) Vergiftung statt. Auch wird der Katalysator während jedes einzelnen Versuches nicht vergiftet, denn man erhält gerade Linien, wenn man das abgelesene Gasvolumen gegen die Zeit aufträgt (Fig. 4). Die Neigung der Geraden ergab die mittleren Reaktionsgeschwindigkeiten, welche in den entsprechenden Spalten

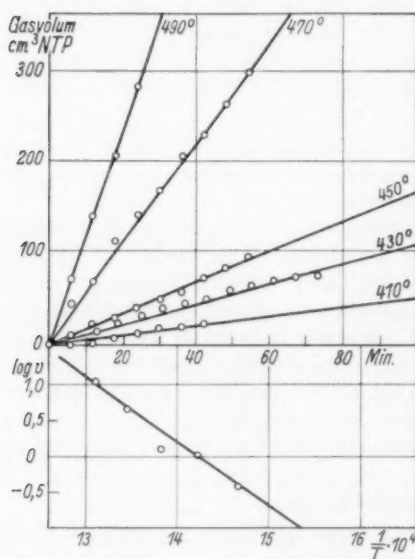


Fig. 4. Dehydrierung des Cyclohexans an geglühtem Chromoxyd.

Versuchen, ohne einen merkbaren Gang zu zeigen. Methan wurde in den Versuchen bei 430° bis 470° bestimmt und nicht nachgewiesen.

Auf Grund der erhaltenen Resultate (Tabelle 1) konnte man die Aktivierungsenergie Q berechnen. Bestimmt man sie aus dem Gesamtvolumen der entwickelten Gase (siehe die Gerade 1 in Fig. 6), so erhält man den Wert $Q = 40700$ cal/Mol; praktisch bekommt man denselben Wert auf Grund des gebildeten Wasserstoffes mit Berücksichtigung der Analysenresultate, denn der Wasserstoffgehalt des Gases verändert sich nur wenig mit der Temperatur. Nur streuen die Punkte mehr.

der Tabellen angeführt sind. Auf dem unteren Teil der Fig. 4 ist die Abhängigkeit der Gasentwicklungsgeschwindigkeit von der Temperatur angegeben. Auf den Figuren sind nicht alle Daten angeführt, da wiederholte Versuche solche Gerade ergaben, die auf der Zeichnung mit den ursprünglichen zusammenfallen würden. Es ließ sich durch diese Versuche (Nr. 20 bis 27) feststellen, daß bei Erhöhung der Temperatur der Gehalt an Olefinen in den Reaktionsgasen von 5.7 bei 430° auf 27.6% bei 490° steigt. Es werden wenig Kohlendioxyd und nur einige Prozent Kohlenoxyd gebildet; der Gehalt an Kohlenoxyd schwankt bei den verschiedenen

Tab
(Ka

Nr.
des
Vers

20
21
22
27
23
24
25
26

des

wur
(Ka
wur
zier
rohr
Anf
0.47
zier
Die
folg

Tabelle 1. Dehydrierung des Cyclohexans an geglühtem Chromoxyd (Katalysator A). $Q = 40\,700 \text{ cal/Mol}$; $k_0 = 4\,70 \cdot 10^{12}$; $Q/\log k_0 = 3\,22 \cdot 10^3$.

Nr. des Vers.	Temperatur °C	Mittlere Durch- leitungs- geschwin- digkeit cm ³ /6'	Reaktions- geschwin- digkeit (Gasent- wickl.) NTP cm ³ /6'	Gas- aus- beute beob. %	Gas- aus- beute ber. %	n_D^{20} des Kataly- sats ¹⁾	Dehy- drierungs- grad aus n_D^{20}	Dehy- drierungs- prozent nach der Gasanalyse
20	410	1'36	3'1	0'37	0'42	1'4274	0'6	—
21	430	0'97	6'2	1'03	1'00	1'4274	0'6	0'85
22	430	1'08	6'8	1'02	1'00	1'4275	0'8	—
27	450	1'36	10'6	1'25	(2'26)	—	—	1'0
23	470	1'08	30'2	4'50	4'82	1'4294	4'5	3'6
24	470	1'22	33'2	4'37	4'82	1'4297	5'1	3'4
25	490	1'12	71'0	10'2	10'0	1'4316	8'8	7'1
26	490	1'20	76'9	10'3	10'0	1'4316	8'8	7'8

Gasanalyse (in Prozenten). Katalysator A.

Nr. des Versuchs	Temperatur °C	CO ₂	C _n H _{2n}	CO	H ₂	CH ₄
21	430	4'1	5'7	7'6	83'4	0
27	450	0'2	16'7	4'5	78'6	0
23	470	0'4	16'8	2'6	80'6	0
24	470	2'0	17'4	3'4	77'2	0
25	490	1'6	27'6	1'6	69'2	—
26	490	0'2	22'1	1'8	75'9	—

13. Die nächsten Versuchsserien (Nr. 28 bis 36 und 69 bis 71) wurden mit dem durch Fällung dargestellten Chromoxyd ausgeführt (Katalysator B). Temperaturintervall 300° bis 450°. Der Katalysator wurde zuvor bei 410° während 16 Stunden durch Wasserstoff reduziert. Nach den Versuchen färbte er sich dunkelgrün. Das Reaktionsrohr war gegen Ende der Versuche von einem merklichen harzigen Anflug bedeckt. Durchflußgeschwindigkeit von Cyclohexan im Mittel 0'473 cm³ in 6 Minuten. Die Katalysate waren gelblich und fluoreszierten, wurden aber nach der Destillation über Natrium farblos. Die Analyse der Reaktionsgase gab bei verschiedenen Temperaturen folgende Werte:

CO ₂	0'4 bis	0'73 %
C _n H _{2n}	0'2 bis	1'2 %
CO	0'7 bis	2'0 %
H ₂	87'7 bis	97'2 %
CH ₄	0'6 bis	1'8 %.

¹⁾ Ausgangscyclohexan n_D^{20} 1'4271.

Die Gasanalyse zeigt, daß mit diesem Katalysator viel weniger Olefine gebildet werden als im ersten Fall, daß keine merkliche Methan-zersetzung stattfindet und daß der ganze Prozeß sich folglich viel mehr einem reinen Dehydrierungsprozeß nähert. Der Katalysator war aktiver als der erste, aber die Reproduzierbarkeit der Versuche war nur gering. Wir führen hier einige Werte an, die einer einigermaßen stabilisierten Aktivität des Katalysators entsprechen. Bei verschiedenen Temperaturen wurden folgende Gasmengen entwickelt:

350°:	29.4 %
351°:	30.7 %
388°:	63.3 %
409°:	74.6 %

Bei noch höheren Temperaturen wurde der Katalysator vergiftet. Schon bei 430° entwickelten sich nur noch 43.1 % Gas. In den Versuchen bei 350° und 351° wurden die Brechungsindices des Katalysats bestimmt: n_D^{20} 1.4424; das ursprüngliche Cyclohexan besaß n_D^{20} 1.4272; das Dehydrierungsprozent betrug folglich 27.5 %.

Hauptversuche. Kinetische Messungen.

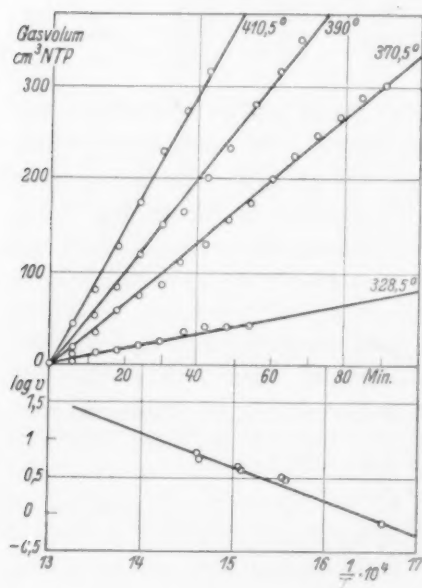


Fig. 5. Dehydrierung des Cyclohexans an gefälltem Chromoxyd auf Asbest.

14. Die zwei ersten Katalysatoren entsprachen unseren Zwecken nicht, da der erste eine zu starke Spaltung zu Olefinen (bis 27.6 % Olefine) hervorrief und der andere zwar aktiv war, aber sich schnell inaktivieren ließ. Wir verwendeten deshalb schließlich das dritte Präparat. Das Metalloxyd wurde auf Asbest niedergeschlagen, um die Vorteile des zweiten Katalysators vor dem ersten, nämlich seine selektive dehydrierende Wirkung, zu erhalten und gleichzeitig dem neuen Präparat eine größere Beständigkeit zu verleihen, unter Umständen auf Kosten seiner Aktivität, die bei der Fällung von Katalysatoren auf Trägern oft

herabgesetzt wird. Die folgenden Versuche bestätigen unsere Erwartungen.

15. Dehydrierung von reinem Cyclohexan. Die Versuchsserien 37 bis 46 und 57 bis 60 wurden mit dem auf Asbest niedergeschlagenen Chromoxyd (Katalysator C) in einem Temperaturintervall 330° bis 450° ausgeführt. Der Katalysator wurde etwa 12 Stunden im Wasserstoffstrom bei 410° reduziert. Die Fig. 5 zeigt den Grad der Gleichmäßigkeit der Gasentwicklung. Die Resultate der verschiedenen Versuche dieser Serie sind in Tabelle 2 zusammengestellt. Für jeden Versuch wurden 10 bis 18 cm³ Cyclohexan durchgeleitet. Die Verteilung des Materials in der Tabelle ist ohne weitere Erklärungen klar. Wie man aus den Doppelversuchen bei gleicher Temperatur ersieht, waren die Versuche gleich von Anfang an gut reproduzierbar (Spalte 4). Es trat also keine irreversible Vergiftung ein.

Tabelle 2. Dehydrierung des Cyclohexans an gefällttem Chromoxyd auf Asbest (Katalysator C).

$$Q = 20400 \text{ cal/Mol; } k_0 = 4.72 \cdot 10^7; Q/\log k_0 = 2.79 \cdot 10^3.$$

Nr. des Vers.	Temperatur ° C	Mittlere Durchleitu- geschwin- digkeit cm ³ /6'	Reaktions- geschwin- digkeit (Gasent- wickl.) NTP cm ³ /6'	Gas- aus- beute beob. %	Gas- aus- beute ber. %	n_D^{20} des Kataly- sats ¹⁾	Dehy- drierungs- grad aus n_D^{20}	Dehy- drierungs- prozent nach der Gasanalyse
43	328.5	1.04	5.0	0.77	0.76	1.4282	2.0	—
44	330	1.00	3.4	0.55	0.80	1.4282	2.0	—
40	369	1.04	18.9	2.93	2.35	1.4290	3.6	2.8
39	370.5	1.02	20.0	3.15	2.45	1.4291	3.7	3.1
41	390	1.05	27.3	4.18	4.02	1.4299	5.5	3.6
42	391	1.11	30.8	4.45	4.11	1.4296	4.8	3.9
46	409.5	1.11	38.5	5.58	6.40	1.4308	7.0	5.1
45	410.5	1.07	44.4	6.67	6.53	1.4308	7.0	6.2

Gasanalyse (in Prozenten). Katalysator C.

Nr. des Versuchs	Temperatur ° C	CO ₂	C _n H _{2n}	CO	H ₂	CH ₄
40	369	0.5	0	1.6	94.3	3.6
39	370.5	0	0	1.7	98.5	0
41	390	0.2	0.1	4.6	88.8	4.7
42	391	0.4	0	5.7	87.7	3.7
46	409.5	0	0	2.6	93.0	4.4
45	410.5	0.2	0	3.4	91.9	4.5

¹⁾ Ausgangscyclohexan n_D^{20} 1.4272.

Im Vergleich zur vollständigen Dehydrierung erfolgte die Wasserstoffentwicklung nur bis zu 6%. Zweifellos hätte man durch Erhöhung der Temperatur über 450° eine stärkere Dehydrierung erzielen

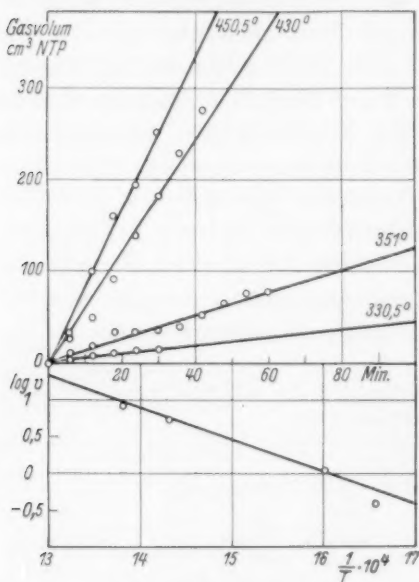


Fig. 6. Dehydrierung des Cyclohexans an Chromoxyd auf Asbest nach Dauerbetrieb.

99% der ganzen Gasmenge aus. Auf dem unteren Teil der Fig. 5 ist die ARRHENIUSsche lineare Abhängigkeit zwischen dem Logarithmus der Reaktionsgeschwindigkeit und dem reziproken Wert der absoluten

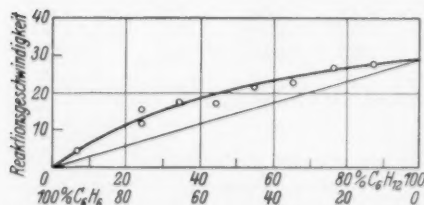


Fig. 7.

für Q berechnen lassen, denn der Wasserstoffgehalt im Gas war ziemlich konstant (vgl. Abschn. 12). Allein führten wir eine solche Berechnung nicht durch, denn bei

niedrigen Temperaturen (328° können. Wir haben es absichtlich nicht getan [siehe Gleichung (7)]. Nach der Analyse waren in den gasförmigen Reaktionsprodukten (Tabelle 2) keine Olefine, sehr wenig Kohlendioxyd und eine verhältnismäßig geringe Menge Methan, dessen Gehalt sogar bei hohen Temperaturen nicht über 5% stieg, enthalten. Dies weist auf eine nur geringfügige Zersetzung von Cyclohexan hin. Die Menge an Kohlenoxyd war fast dieselbe wie in den vorigen Versuchsserien; Kohlenoxyd entsteht augenscheinlich auf Kosten einer teilweisen Reduktion des Chromoxyds. Der Wasserstoffgehalt ist recht stabil und macht je nach der Temperatur 88 bis

Um die Zeichnung klarer zu machen, ist sie in der Richtung der Ordinaten auseinandergezogen. Die daraus berechnete Aktivierungsenergie Q ergibt sich zu 21400 cal/Mol. Auf Grund der Wasserstoffmenge würde sich wahrscheinlich ein ähnlicher Wert

Wasserstoffgehalt im Gas war niedrigen Temperaturen (328°

und 330°), erhielten wir so wenig Gas, daß keine Analyse gemacht werden konnte.

Die Angaben der Tabelle 3 beziehen sich auf den gleichen Katalysator nach langer Arbeitsdauer. Wie aus Fig. 7 und der Kurve III auf Fig. 6 ersichtlich, war die Aktivität des Katalysators im Vergleich mit seiner anfänglichen Wirksamkeit etwas gesunken; die Aktivierungsenergie war jedoch praktisch unverändert geblieben, nämlich $Q = 20000$ cal/Mol.

Tabelle 3. Dehydrierung des Cyclohexans an gefällttem Chromoxyd auf Asbest (Katalysator C) nach Dauerbetrieb.

$$Q = 20000 \text{ cal/Mol}; k_0 = 1.02 \cdot 10^7; Q/\log k_0 = 2.85 \cdot 10^3.$$

Nr. des Vers.	Temperatur ° C	Mittlere Durchleuchtungs- geschwindigkeit cm ³ /6'	Reaktions- geschwin- digkeit (Gasent- wickl.) NTP cm ³ /6'	Gas- aus- beute beob. %	Gas- aus- beute ber. %	n_D^{20} des Kataly- sats ¹⁾	Dehy- drierungs- grad aus n_D^{20}	Dehy- drierungs- prozent nach der Gasanalyse
57	330.5	1.15	2.75	0.39	0.61	1.4285	1.2	—
58	351	1.09	7.5	1.10	1.01	1.4281	(0.4)	1.0
60	430	1.10	36.6	5.35	4.06	1.4300	4.1	5.1
59	450.5	0.97	49.8	8.25	9.36	1.4308	5.7	8.1

Gasanalyse (in Prozenten). Katalysator C nach Dauerbetrieb.

Nr. des Versuchs	Temperatur ° C	CO ₂	C ₆ H ₆	CO	H ₂	CH ₄
58	351	0.1	0	1.1	94.2	2.7
60	430	0.2	0	2.0	96.1	5.0
59	450.5	0.3	0	2.3	98.3	2.4

16. Dehydrierung von Gemischen Cyclohexan—Benzol. Die oben gefundene Aktivierungsenergie muß einstweilen als sogenannte scheinbare Aktivierungsenergie aufgefaßt werden, denn im allgemeinen Fall kann sie Adsorptionsfaktoren enthalten, die den Wert der wahren Aktivierungsenergie eines heterogenen Prozesses im Vergleich zu der experimentell gefundenen Größe bedeutend (um den Wert der Adsorptionswärmen) verändern können²⁾. Um den Adsorptionsfaktoren Rechnung zu tragen, muß man den kinetischen Einfluß eines Zusatzes der Reaktionsprodukte vom Standpunkt der

¹⁾ Ausgangscyclohexan n_D^{20} 1.4279. ²⁾ HINSHELWOOD, C. N., The Kinetics of Chemical Change. Oxford 1926. S. 178. Vgl. SCHWAB, G. M., Die Katalyse. Berlin 1931.

Verweilzeit der Moleküle auf der festen Katalysatoroberfläche untersuchen. Zu diesem Zweck wurden Dehydrierungsversuche von Gemischen aus Cyclohexan und dem endgültigen Dehydrierungsprodukt, Benzol, angestellt. Die Gemische wurden aus chemisch reinem Benzol und Cyclohexan bereitet, die genaue Zusammensetzung in Molprozenten wurde aus der Refraktion des Gemisches bestimmt. Diese Mischungen wurden bei einer konstanten Temperatur von 410° über den Katalysator C geleitet. Für jeden Versuch brauchte man 10 bis 15 cm^3 Flüssigkeit, was bei einer Einlaßgeschwindigkeit von 1 cm^3 in 6 Minuten, wie auch in den vorangehenden Versuchen, eine genügend lange Versuchsdauer ergab. Es wurde derselbe Katalysator wie zuvor gebraucht; deshalb geben wir hier keine Figur zur Charakterisierung der Gleichmäßigkeit der Reaktionsgeschwindigkeit, ent-

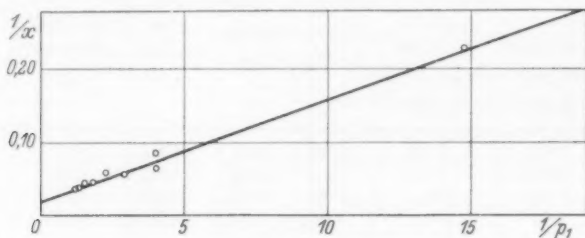


Fig. 8.

sprechend der Fig. 5; sie wurde in dieser Versuchsserie in gleichem Maße beobachtet. Die Versuchsergebnisse sind in Tabelle 4 zusammengestellt. Wie aus Tabelle 4 und Fig. 8 ersichtlich, nimmt die Gasentwicklung bei Zugabe von Benzol ab, diese Abnahme vollzieht sich aber langsamer als proportional. Das Gas besteht, wie aus den letzten Spalten der Tabelle folgt, aus recht reinem Wasserstoff; seine Zusammensetzung entspricht im ganzen derjenigen der vorigen Versuchsserie. Der Brechungsindex des Katalysats ist etwas höher als bei den ursprünglichen Mischungen, wie es bei einer Dehydrierung sein muß. Es ist hieraus ersichtlich, daß der Prozeß eine ziemlich reine Dehydrierung darstellt. Ferner ist aus der Tabelle 4 zu ersehen, daß die Dehydrierung in diesen Versuchen nicht mehr als 4% ausmacht. Deshalb eignen sich diese Angaben zur Berechnung der relativen Verweilzeiten nach folgender Methode.

Die Geschwindigkeit der monomolekularen Zersetzungsreaktion von Cyclohexan ist der Zahl der auf der Oberfläche des Katalysators

Tabelle 4. Dehydrierung der Gemische Cyclohexan—Benzol. Temperatur $410^{\circ} \pm 0.5$.

Nr. des Versuchs	Zusammensetzung des Ausgangsgemisches Mol % C_6H_{12}	Mittlere Durchleitungs- geschwindigkeit $cm^3/6'$	Reaktions- geschwindigkeit (Gasent- wickl.) NTP $cm^3/6'$	Gas aus dem Ge- misch in % der theor. Menge H_2 aus gleicher Molzahl C_6H_{12}	n_D^{20} des Aus- gangs- gemisches	n_D^{20} des Kata- lysts	Zusammen- setzung des Ge- misches nach der Katalyse Mol % C_6H_{12}	Um- gesetztes C_6H_{12} aus n_D^{20} %	Um- gesetztes C_6H_{12} aus H_2 %
55	6.9	1.10	4.4	0.65	1.4938	1.4927	—	—	—
48	24.2	1.01	15.5	2.46	1.4774	1.4788	22.6	1.6	1.6
56	24.2	1.07	11.7	1.77	1.4774	1.4783	23.1	1.1	1.1
49	34.5	1.02	17.8	2.80	1.4686	1.4713	31.2	3.3	2.6
50	44.5	1.08	17.2	2.56	1.4606	1.4630	41.4	3.1	2.4
51	55.1	1.06	21.8	3.29	1.4529	1.4549	52.2	2.9	3.1
52	65.8	1.05	22.2	3.42	1.4458	1.4471	63.8	(2.0)	3.2
53	76.6	1.06	26.8	4.07	1.4391	1.4415	72.6	4.0	3.7
54	87.2	1.01	27.8	4.42	1.4332	1.4349	84.0	3.2	4.2

Gasanalyse (in Prozenten). Dehydrierung der Gemische Cyclohexan—Benzol. Temperatur $410^{\circ} \pm 0.5$.

Nr. des Versuchs	Zusammensetzung des Ausgangsgemisches Mol % C_6H_{12}	CO_2	C_nH_{2n}	CO	H_2	CH_4
56	24.2	0	0.2	2.9	92.7	2.2
49	34.5	1.2	0	5.4	91.6	1.3
50	44.5	0.3	0	2.6	94.5	3.4
51	55.1	0.1	0.1	3.2	93.7	2.8
52	65.8	0	0	3.2	94.4	2.2
53	76.6	0.4	0.8	2.9	91.5	3.1
54	87.2	0.3	0.4	1.9	93.9	3.0

in monomolekularer Schicht adsorbierten Cyclohexanmoleküle proportional. Man erhält daher mit Hilfe der Adsorptionsisotherme von LANGMUIR bei genügend hohem Druck von 1 Atm.:

$$\frac{dx}{dt} = k \frac{\alpha_1 (p_1 - x)}{\alpha_1 (p_1 - x) + \alpha_2 (p_2 + x) + 3\alpha_3 x}, \quad (1)$$

wo k ein konstanter Koeffizient (das Produkt der Konstante der Reaktionsgeschwindigkeit mit der Oberflächengröße), p_1 den anfänglichen Partialdruck von Cyclohexan, p_2 dieselbe Größe für Benzol, x die Konzentration der in Reaktion getretenen Substanz zur Zeit t , α die den Verweilzeiten proportionalen Adsorptionskoeffizienten von Cyclohexan (1), von Benzol (2) und von Wasserstoff (3) bedeuten. Wir vernachlässigen x im rechten Teil der Gleichung:

$$x \approx 0, \quad (2)$$

was berechtigt erscheint, wenn x im Vergleich zu p_1 und p_2 klein und α_3 kleiner oder wenigstens von gleicher Größenordnung wie α_1 und α_2 ist. Aus den Reaktionsbedingungen folgt ferner, da wir es mit einem Gemisch von Cyclohexan und Benzol zu tun haben, daß

$$p_1 + p_2 = 1. \quad (3)$$

Denn der Gesamtdruck ist fast genau 1 Atm. Nach Integration unter Berücksichtigung der Anfangsbedingungen $t=0$, $x=0$, erhalten wir

$$x = K \frac{\alpha_1 p_1}{\alpha_1 p_1 + \alpha_2 (1 - p_1)}, \quad (4)$$

wo $K=kt$ eine neue Konstante darstellt, soweit die Durchströmungsgeschwindigkeit konstant war. Die reziproken Werte beider Seiten der Gleichung (4) sind

$$\frac{1}{x} = \frac{1}{K} \left(1 - \frac{\alpha_2}{\alpha_1} \right) + \frac{1}{K} \frac{\alpha_2}{\alpha_1} \frac{1}{p_1}, \quad (5)$$

was graphisch durch eine Gerade wiedergegeben wird, wenn man auf den Achsen $1/x$ und $1/p_1$, d. h. die reziproken Werte der Geschwindigkeit der Wasserstoffentwicklung und die reziproken Partialdrucke des ursprünglichen Cyclohexans aufträgt. Aus den Koeffizienten der Geraden

$$a = \frac{1}{K} \left(1 - \frac{\alpha_2}{\alpha_1} \right); \quad b = \frac{1}{K} \frac{\alpha_2}{\alpha_1}, \quad (6)$$

kann man das Verhältnis α_2/α_1 berechnen, das in diesem Fall nach der Theorie das Verhältnis der Verweilzeiten von Benzol an Cyclohexan auf der Katalysatoroberfläche mit einer Genauigkeit von 4% wiedergibt. Diese Ungenauigkeit rührt vom Faktor $\sqrt{M_1/M_2}$ her, wo M_1 und M_2 die Molekulargewichte von Cyclohexan und Benzol darstellen.

In der Fig. 9 sind die auf diese Weise bearbeiteten experimentellen Resultate der Tabelle 4 gegeben. Es entsteht wirklich eine Gerade mit nur geringer Streuung der Punkte um sie. Die Koeffizienten sind: $a = 0.0207$, $b = 0.0138$, was $k = 29 \text{ cm}^3$ und $a_2/a_1 = 0.4$ entspricht. Auf Grund der gefundenen Konstanten und der Gleichung (5) könnte die Dehydrierung zurückberechnet und die erhaltenen Werte mit den beobachteten Größen verglichen werden, was in Tabelle 5 getan ist.

Tabelle 5. Berechnung der Dehydrierung der Gemische Cyclohexan—Benzol nach Formel (4) bei $k = 29 \text{ cm}^3$, $a_2/a_1 = 0.4$.

Nr. des Versuchs	Mol% C_6H_{12} 100 p_1	$1/p_1$	Reaktionsgeschwind. x ber.	Reaktionsgeschwind. x gef.	$1/x$ gef.
—	100	1.000	29.0	29.0 ¹⁾	0.0345
54	87.1	1.148	27.4	27.8	0.0360
53	76.6	1.305	25.8	26.8	0.0373
52	65.8	1.520	24.0	22.2	0.0417
51	55.1	1.815	21.8	21.8	0.0459
50	44.5	2.247	19.3	17.2	0.0581
49	34.5	2.899	16.4	17.8	0.0562
48	24.2	4.132	12.9	15.5	0.0645
56	24.2			11.7	0.0855
55	6.9	14.49	4.5	4.4	0.2273

Wir sehen, daß die Werte der 4. und 5. Spalte ganz gut übereinstimmen. Auch die ausgezogene Linie auf Fig. 8 wurde nach derselben Gleichung (4) gezeichnet. Die Verweilzeit des Benzolmoleküls auf der aktiven Oberfläche von Chromoxyd ist also ungefähr 2.5mal geringer als die des Cyclohexans. Wenn die entstandene Benzolmenge nur einige Prozent ausmacht, so besetzen die Benzolmoleküle gleichfalls nur einige Prozent der Katalysatoroberfläche, und hindern die Reaktion nicht, auf der ganzen übrigen Fläche fortzuschreiten. Als

1) Aus der Fig. 8 extrapoliert.

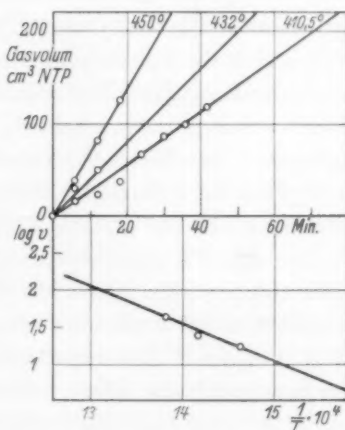


Fig. 9. Dehydrierung des von sechsgliedrigen cyclischen Kohlenwasserstoffen befreiten Benzins an gefälltem Chromoxyd.

Endprodukt wird bei der Reaktion Benzol erhalten; wir können aber aus Analogiegründen auch für die Zwischenprodukte der Dehydrierung die gleiche Annahme machen. Dann folgt daraus, daß die Adsorptionsfaktoren den gefundenen Wert für die Aktivierungsenergie nicht beeinflussen, so daß diese letztere als wahre Aktivierungsenergie aufgefaßt werden kann. Unter den gegebenen Bedingungen, wenn also die Zersetzung nur gering ist und die Verweilzeit der Reaktionsprodukte kleiner oder von derselben Größenordnung ist wie die der Moleküle des Ausgangsproduktes, gibt die Menge der zersetzten Substanz bei Versuchen mit nur einem Ausgangsprodukt bei Atmosphärendruck unmittelbar die Konstante der Reaktionsgeschwindigkeit an, ohne von irgendwelchen Adsorptionsfaktoren beeinflußt zu werden. Wirklich erhält man aus Gleichung (5), wenn $p_1=1$ eingeführt wird,

$$x = K. \quad (7)$$

Vergleich der Theorie mit dem Experiment.

17. Die Aktivierungsenergie bei der Dehydrierung von Cyclohexan wurde von uns gleich $Q=21400$ cal/Mol für gefälltes und 40700 cal/Mol für geglühtes Chromoxyd gefunden, also höher, als die bis jetzt in anderen untersuchten Fällen der Dehydrierung auf Metallen festgestellten Werte (zwischen 9700 und 19930 cal/Mol, nur für Cyclohexanon wurde ein Ausnahmewert von 23710 cal/Mol gefunden). Die Dehydrierung von Cyclohexan über Chromoxyd vollzieht sich in einem anderen, höheren Temperaturintervall als die Dehydrierung über Palladium und den anderen Metallkatalysatoren. Noch stärker unterscheiden sich in beiden Fällen die Werte von $Q/\log k_0$. In dieser Untersuchung wird $Q/\log k_0$ gleich $3'22$, $2'79$ und $2'85 \cdot 10^3$ gefunden, während sich für Dehydrierungsreaktionen an Metallen im Mittel $2'0 \cdot 10^3$ ergab¹⁾. Folglich wird die erste in Abschn. 6 aufgestellte Bedingung, nach der die Reaktionen vom Dubletttypus sich durch ihren kinetischen Charakter von den Sextettreaktionen unterscheiden müssen, experimentell erfüllt. Diese Differenz der Reaktionstemperaturen zeigt uns, daß die Sextettanordnung im energetischen Sinn vorteilhafter ist als die Dublettanordnung, denn die erstere braucht für ihr Zustandekommen einen geringeren Energieaufwand. Auch die Aktivierungsenergien sind bei der Sextettanordnung niedriger als bei der Dublettstellung.

¹⁾ BALANDIN, A. A., Z. physik. Chem. (A) **19** (1932) 451.

aufg
den
lärer
Chro
zent
Sext
lich
Syste
unbe
fande
aber
Dime
unter
DEBY
Kata
denn
Schw
zu tu
äußer
Grenz
Aufna
L. N.
cyclis
des M
schen
Entfe
Schw
word
besta
Diese
und I
Dank
füngl
1)
Nr. 8, 2)
2) ZEL

Gehen wir jetzt zu den anderen Punkten der im sechsten Abschnitt aufgestellten Bedingungen über. Der zweite Punkt fordert, daß auf dem Kristallgitter des Chromoxydes keine Katalysatoratome in regulärer Dreieckanordnung anwesend sind, bzw. daß das Gitter des Chromoxydes nicht zum hexagonalen oder zum kubisch flächenzentrierten Typus gehört; denn in diesen Fällen müßte sich eine Sextettorientierung einstellen. Diese Forderung entspricht der Wirklichkeit insofern, als Chromoxyd folgende Kristallstruktur aufweist: System *F*, Typus 3 *Di*-6 (*c*, *e*), Raumgruppe 3 *Di*-6¹⁾.

Der dritte Punkt weist darauf hin, daß der Katalysator nicht unbedingt Kristallstruktur besitzen muß. LAZIER und VAUGHEN fanden wirklich, daß ihr Chromoxydpräparat amorph war. Man darf aber nicht aus dem Auge lassen, daß es Mikrokristalle von solchen Dimensionen geben kann, die noch groß genug für ein der Katalyse unterworfenen Molekül sind, aber zu klein, um nach der Methode von DEBYE-SCHERRER nachgewiesen zu werden. Die Aufnahmen unserer Katalysatoren nach DEBYE zeigten keine Beugungslinien oder -banden; dennoch konnte man auf den Aufnahmen sehr schwache verwaschene Schwärzungen bemerken. Augenscheinlich hatten wir es mit Objekten zu tun, die sehr nahe dem amorphen Zustand waren, aber noch aus äußerst kleinen Mikrokristallen bestanden, deren Größe sich an der Grenze des Leistungsvermögens der angewandten Methode befand. Die Aufnahmen unserer Katalysatoren wurden von B. W. JEROFFEEV und L. N. KOSSOUROW erhalten, denen wir an dieser Stelle dafür danken.

18. Nach Punkt 4 des Abschn. 6 müssen auch nicht sechsgliedrige cyclische Paraffine dehydriert werden können. Um diese Forderung des Modells zu prüfen, verwendeten wir ein Präparat von SURACHAN-schem Benzin (Sdp. 90° bis 92°), das zuvor durch Dehydrierung und Entfernen des entstandenen aromatischen Teiles mittels rauchender Schwefelsäure (7% SO_3) von allen sechsgliedrigen Ringen befreit worden war; es enthielt etwa 30% Pentamethylenringe, der Rest bestand augenscheinlich aus Paraffinen der aliphatischen Reihe. Dieses Präparat wurde uns liebenswürdigerweise von N. D. ZELINSKY und L. S. LEDER-PACKENDORFF überlassen, wofür wir ihnen unseren Dank aussprechen. Das Präparat war von einer Untersuchung der fünfgliedrigen Ringe des Kaukasischen Erdöls nachgeblieben²⁾. Wir

¹⁾ GOLDSCHMIDT, BARDT und LUNDE, Skrifter Norske Videnskaf. Akad. Nr. 8, 25. Zitiert nach dem Handb. f. phys., chem. u. techn. Daten 2 (1929) 73 (russ.).

²⁾ ZELINSKY, N. D. und LEDER-PACKENDORFF, L., Liebigs Ann. Chem. 518 (1935) 260.

destillierten es über Natrium und führten es — jetzt bei einer Temperatur von 300° — über den Platinkatalysator (*Pt* auf Kohle), der uns während der ganzen Zeit zur Darstellung von Cyclohexan aus Benzol gedient hatte. Es ließ sich, wie zu erwarten, keine Gasentwicklung feststellen, der Brechungsexponent blieb praktisch unverändert: anfänglich $n_D^{20} = 1.4040$, nach der Behandlung $n_D^{20} = 1.4037$. Darauf leiteten wir das auf diese Weise behandelte Präparat über Chromoxyd auf Asbest (Katalysator *C*) bei 410.5° , 432° und 450°C (Versuch 61 bis 63). Es trat eine merkliche Gasentwicklung ein; das Gas bestand, der Analyse nach, aus ziemlich reinem Wasserstoff. Der Brechungsindex nahm nach der Katalyse zu. Die Gesamtmenge Wasserstoff, die in jedem Versuch entwickelt wurde, betrug 400 bis

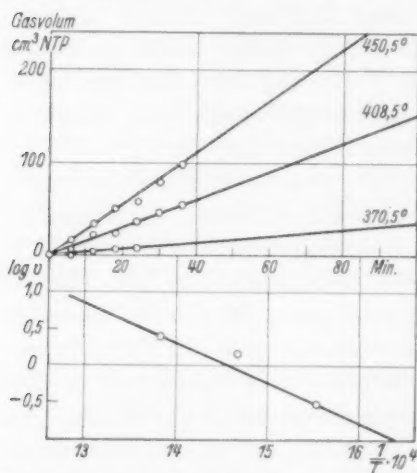


Fig. 10. Dehydrierung des Cyclohexans an Molybdänoxyd.

600 cm^3 ; der größte Teil davon wurde zum Waschen der Apparatur vor der Gasanalyse gebraucht. Somit ist die Dehydrierung in diesem Fall bewiesen. Das Katalysat war gelblich gefärbt und fluoreszierte, verlor aber seine Farbe nach einer Destillation über Natrium. In Tabelle 6 und Fig. 10 sind die Zahlenergebnisse der Versuche angeführt.

Tabelle 6. Dehydrierung eines Kohlenwasserstoff-Gemisches, welches keine sechsgliedrigen Ringe enthält, an gefällttem Chromoxyd auf Asbest (Katalysator *C*). $Q = 23000 \text{ cal/Mol}$.

Nr. des Versuchs	Temperatur $^\circ \text{C}$	Mittlere Durchleitungsgeschwindigkeit $\text{cm}^3/6'$	Reaktionsgeschwindigkeit <i>NTP</i> gef. $\text{cm}^3/6'$	Reaktionsgeschwindigkeit <i>NTP</i> ber. $\text{cm}^3/6'$	n_D^{20} des Katalysats ²⁾	n_D^{20} des Katalysats nach der Destillation
61	410.5	0.93	16.7	16.7	1.4057	1.4039
62	432.0	1.14	23.0	27.6	1.4055	1.4041
63	450	1.06	41.0	41.0	1.4051	1.4039

¹⁾ Ausgangsbenzin $n_D^{20} 1.4037$.

Gasanalyse in Prozent. Dehydrierung eines Kohlenwasserstoff-Gemisches, welches keine sechsgliedrigen Ringe enthält, an gefällttem Chromoxyd auf Asbest.

Nr. des Versuchs	Temperatur ° C	CO ₂	C _n H _{2n}	CO	H ₂	CH ₄
61	410·5	0·2	0·4	0·2	98·5	1·6
62	432	0·7	0	0	97·7	0·6
63	450	0·2	0·6	0·5	96·9	0·2

Die Gerade von ARRHENIUS ist auf Fig. 6 gegeben (Linie IV). Daraus berechnet sich die Aktivierungsenergie $Q = 23000$ cal/Mol; sie liegt also derjenigen der sechsgliedrigen Ringe sehr nahe. Diese Tatsache spricht für einen gleichen Dehydrierungsmechanismus. Das entspricht auch unserem Schema. Wir sind also zu dem zunächst unerwarteten theoretisch aber vorauszusehenden Resultat gelangt, (Punkt 4, Abschn. 6), daß bei höheren Temperaturen nicht nur sechsgliedrige Ringe, sondern auch andere Kohlenwasserstoffe über Chromoxyd dehydriert werden können. Das wird auch im Falle von Äthan experimentell bestätigt¹⁾.

19. Es bleibt uns noch zu betrachten, inwieweit die fünfte Forderung des Abschn. 6 erfüllt wird. Nach dieser soll die Dehydrierung von Cyclohexan nicht unmittelbar zu Benzol führen; es müssen sich als Zwischenstadien ungesättigte Kohlenwasserstoffe Cyclohexen und Cyclohexadien bilden. In dieser Richtung verfügen wir einstweilen über folgende Angaben: Die von allen Dehydrierungsversuchen von Cyclohexan über Chromoxyd stammenden vereinigten Katalysate entfärben Brom und Permanganatlösungen, was auf die Anwesenheit von ungesättigten Verbindungen weist. Bei der Einwirkung von konzentrierter Schwefelsäure und Alkohol (gleiche Teile) erschien eine braune und endlich nach Stehenlassen eine dunkle kirschrote Färbung; Cyclohexadien müßte bei dieser Reaktion einen mehr violetten Ton geben, Benzol und Cyclohexan geben die Reaktion nicht. Es ist möglich, daß die Färbung unseres Katalysats durch Verunreinigungen etwas gefälscht wurde. Benzol wurde im Katalysat durch die Komplexbildung mit Nickelcyanid nach HOFMAN und ARNOLDI²⁾ nachgewiesen. Nachdem das vermischte Katalysat zum Reagens gegeben und geschüttelt worden war, bildete sich sofort ein weißer Niederschlag mit einem Stich ins Violette. Aus dem

¹⁾ FREY, F. E. und HUPPKE, W. T., Ind. Engng. Chem. **25** (1933) 54.

²⁾ HOFMANN, K. A. und ARNOLDI, Ber. dtsch. chem. Ges. **39** (1906) 341.

Vergleich der Menge dieses Niederschlages mit den aus bekannten Benzolmengen bei gleichen Bedingungen entstandenen Niederschlägen kann man den Benzolgehalt im Katalysat auf etwa 1% schätzen, ohne auf besondere Genauigkeit zu rechnen. Es läßt sich auf Grund dieser Befunde einsehen, daß die Bestimmung des Dehydrierungsgrades nach den Kurven der Brechungsindices in zuvor bereiteten Cyclohexan-Benzol-Gemischen nur einen Näherungswert geben. Die Abweichungen des aus der Refraktion bestimmten Dehydrierungsgrades von den auf Grund der entwickelten Wasserstoffmenge erhaltenen Werte lassen sich dadurch leicht erklären¹⁾. Es muß bemerkt werden, daß ein solches Auseinandergehen der Resultate bei LAZIER und VAUGHEN sehr oft vorkommt, aber von diesen Autoren außer acht gelassen wurde; in den Dehydrierungsprodukten nehmen sie die Anwesenheit nur von reinem Benzol an.

Sicherlich müssen Cyclohexen und Cyclohexadien bei 410° bis 450° schnell umgesetzt werden, so daß man ihre Ansammlung in den Reaktionsprodukten nicht erwarten kann. Eine Reaktionsrichtung, die Dehydrierung zu Benzol, haben wir bereits besprochen. Eine andere mögliche Richtung ist die Polymerisation; wirklich waren alle unsere Katalysate gelblich gefärbt (was über den gewöhnlichen Metallkatalysatoren nicht beobachtet wird). Bei der Destillation blieben diese Beimengungen im Kolben zurück, was auf Verbindungen mit großem Molekulargewicht hindeutet; sie konnten sich durch Polymerisation von ungesättigten Verbindungen, unter denen Cyclohexen und Cyclohexadien sich befinden konnten, gebildet haben. Die Polymerisation mußte sich nicht auf dem Katalysator, sondern schon in der Vorlage vollzogen haben, denn über den Katalysator wurden nur Dämpfe geleitet, diese Produkte sind aber nicht flüchtig. Das Katalysat aus nicht sechsgliedrigen Kohlenwasserstoffen entfärbte Brom und Permanganatlösungen noch stärker als das Katalysat aus Cyclohexan.

Demnach werden die in den fünf Punkten von Abschn. 6 aufgezählten Forderungen der Theorie durch das Experiment bestätigt.

20. Wir fanden, daß außer Chromoxyd (und Zinkoxyd) auch Molybdänoxyd eine analoge positive dehydrierende Wirkung ausüben kann. Dieser Katalysator ist weniger aktiv und braucht deshalb für die Reaktion eine höhere Temperatur. Der Katalysator wurde vor

¹⁾ Die Refraktionsindices n_D^{20} haben folgende Werte: Cyclohexan 1'4266, Cyclohexen 1'4451, Cyclohexadien 1'4741, Benzol 1'5010.

dem Gebrauch mit Wasserstoff bei 450° während 4·5 Stunden behandelt. Die Resultate der Dehydrierungsversuche sind in Tabelle 7 (die Anordnung des Materials ist aus den vorigen Tabellen bekannt) und Fig. 2 gegeben.

Tabelle 7. Dehydrierung des Cyclohexans an Molybdänoxid.

$$Q = 24000 \text{ cal/Mol. } k_0 = 4 \cdot 35 \cdot 10^7; \quad Q/\log k_0 = 3 \cdot 12 \cdot 10^3.$$

Nr. des Versuchs	Temperatur °C	Mittlere Durchleitungsgeschwind. cm ³ /6'	Reaktionsgeschwind. (Gasentw.) NTP cm ³ /6'	Gasausbeute gef. %	Gasausbeute ber. %	n_D^{20} des Katalysats ¹⁾	Dehydrierungsgrad aus n_D^{20} %
66	370·5	1·08	2·0	0·3	0·3	1·4280	0·2
65	408·5	1·09	9·1	1·4	0·9	1·4283	0·8
64	450·5	1·12	16·7	2·4	2·4	1·4299	4·1

Nach den Versuchen, bei denen jedesmal 6 bis 7 cm³ durchgeleitet wurden, bildete sich an den Wänden der Reaktionsröhre ein geringer Anflug. Der Katalysator wurde dunkelviolet. Die Aktivierungsenergie für Molybdänoxid erwies sich etwas höher als für gefälltes Chromoxyd, nämlich $Q = 24000$ cal/Mol. Die Gerade der Aktivierungsenergie ist auf Fig. 6 gegeben (siehe Kurve V). Da nur wenig Gas entwickelt wurde, unterblieb seine Analyse.

21. Die Tatsache einer seitlichen Cyclohexananordnung, die wir auf Grund der oben besprochenen Beispiele für erwiesen ansehen, erlaubt es, auch andere Erscheinungen mit Hilfe dieser molekularen Anordnung zu erklären. Hierher gehören: die Dehydrierung von Cyclohexan über Titanoxyd (N. D. ZELINSKY 1912²⁾), die Bildung von Cyclopentadien aus Benzin über Pyrit (J. J. MICHAILENKO³⁾) und endlich die Dehydrierung von fünfgliedrigen Heterocyclen: von stickstoffhaltigen Verbindungen, wie Pyrrolidin, *N*-Methylpyrrolidin und anderem (WIBAUT⁴⁾), ZELINSKY und JURIEW⁴⁾) und von schwefelhaltigem Thiophen (JURJEW und BORISSOW⁵⁾). Hieraus folgt, daß der Ersatz eines Kohlenstoffatoms im Ring durch Stickstoff oder Schwefel die Stabilität des Moleküls gegen die Dehydrierungskatalyse

¹⁾ Ausgangscyclohexan n_D^{20} 1·4279. ²⁾ ZELINSKY, N. D., J. Russ. Ges. [chem.] 48 (1915) 610. ³⁾ MICHAILENKO, J. I., Ber. d. III. Mendeleejew-Tagung 1920. Ber. wiss.-techn. Arb. in der Republ. 10 (russ.). ⁴⁾ WIBAUT, Rec. Trav. chim. Pays-Bas 49 (1930) 1127. WIBAUT und OVERHOF, Rec. Trav. chim. Pays-Bas 47 (1928) 735. ZELINSKY, N. D. und JURIEW, J. K., Ber. dtsch. chem. Ges. 62 (1929) 2589. ⁵⁾ Im Druck.

herabsetzt. Die letztgenannten Reaktionen vollziehen sich auf Platin und Palladium. Auf der Oberfläche dieser und vielleicht auch einiger anderer Metalle, die gewöhnlich eine Sextettstellung fordern, kann sich unter besonderen Bedingungen eine seitliche Orientierung der Moleküle einstellen. So muß bei hoher Temperatur, wenn die Amplitude der Molekülschwankungen groß ist und die Zahl der möglichen Stellungen stark zunimmt, eine weniger symmetrische Dublett-orientierung (Fig. 3) des Moleküls wahrscheinlicher sein, bei der es im Vergleich zu der mehr symmetrischen Stellung (Fig. 8 c der früheren Mitteilung¹⁾) bei niedrigerer Temperatur verschoben ist. Aber gerade die erste Stellung muß zur Dublettdehydrierung führen, während die zweite wegen der großen Abstände zwischen den Wasserstoff- und Katalysatoratomen wirkungslos bleibt, wie wir früher gezeigt haben¹⁾. Eine solche Reaktion vollzieht sich augenscheinlich bei höheren Temperaturen auch auf Metallen; sie wird dabei von anderen Reaktionen, hauptsächlich von Zersetzungen (III K_1 5, IV K_1 17), Disproportionierungen (III K_1 1) und Isomerisationen (IV K_1 6, IV K_1 18) begleitet. Höchstwahrscheinlich muß der von WWEDENSKY und WINNIKOWA²⁾ mitgeteilte Fall einer Dehydrierung des Äthans über Palladium den gleichen Reaktionsmechanismus besitzen. Welche Atome des Chromoxyds die Anziehung bewirken und welche energetischen Bedingungen für das Zustandekommen einer Dublett- oder Sextettorientierung notwendig sind, muß durch weitere Untersuchungen entschieden werden. Bezüglich der ersten Frage können wir einstweilen bemerken, daß die anziehenden Zentren im Chromoxyd am ehesten durch die Chromionen repräsentiert werden, während im Falle von Platin und den aliphatischen Kohlenwasserstoffen diese Rolle von den benachbarten, nicht in einer oktaedrischen Ebene liegenden Platinatomen übernommen wird. Was die zweite Frage betrifft, so muß daran erinnert werden, daß nach den experimentellen Ergebnissen dieser Untersuchung die seitliche Stellung einen größeren Energieaufwand erfordert als die Sextettorientierung. Deshalb wird die letztere leichter zustande kommen, wenn nur die Konfigurationsverhältnisse es erlauben.

¹⁾ BALANDIN, A. A., Z. physik. Chem. (B) **2** (1929) 289. ²⁾ WWEDENSKY, A. A. und WINNIKOWA, S. G., J. Gen. Chem. **4** (1934) 120 (russ.).

Über die Abschätzung des Gleichgewichtes von Austauschreaktionen mit Deuterium bei Beteiligung vielatomiger Moleküle.

Von

Karl Wirtz.

(Eingegangen am 25. 8. 36.)

In der vorliegenden Arbeit wird versucht, Gleichgewichte von Austauschreaktionen mit den beiden Wasserstoffisotopen, an denen vielatomige Moleküle (z. B. Kohlenwasserstoffe) beteiligt sind, mit Hilfe der Statistik zu gewinnen. Es wird die Annahme gemacht, daß die Massen und Trägheitsmomente der vielatomigen Moleküle durch die Substitution eines Isotops praktisch ungeändert bleiben. Die Schwingungen, an denen Wasserstoff beteiligt ist, sind bei den in Frage kommenden Temperaturen noch nicht oder nur so wenig angeregt, daß ihre Temperaturanregung die Gleichgewichtskonstanten nicht beeinflußt. Es werden einige Bemerkungen über die Symmetriefaktoren solcher vielatomiger Moleküle, sowie über den Zusammenhang zwischen der Gleichgewichtskonstanten, dem Verteilungsquotienten und dem Faktor der Symmetriezahlen einer Reaktion gemacht. Es zeigt sich, daß es bei genügender Kenntnis des Isotopeneffektes der Schwingungen der beteiligten Moleküle möglich ist, die Gleichgewichtskonstanten für Austauschreaktionen, wie z. B. zwischen Benzol und Salzsäure, Methylalkohol und Wasser usw. abzuschätzen (§ 8). Die Werte stimmen befriedigend mit den experimentell beobachteten überein.

§ 1. Bei allen Untersuchungen, bei denen das schwere Wasserstoffisotop als Indikator für das Verhalten des Wasserstoffes in einer Substanz dient, ist es von Interesse, über die Gleichgewichtsverteilung der beiden Isotope auf die in dem System vorhandenen wasserstoffhaltigen Moleküle orientiert zu sein. Aus diesem Grunde wurden in zahlreichen Arbeiten die Gleichgewichtskonstanten des Massenwirkungsgesetzes (M.W.G.) oder die „Verteilungsquotienten“⁽¹⁾ von Deuterium und Wasserstoff für Austauschreaktionen zwischen den verschiedensten Molekülen experimentell und theoretisch bestimmt. Bisher sind jedoch nur in wenigen Fällen diese Konstanten mit einiger Sicherheit bekannt, nämlich in solchen, wo die einfache Bauweise der beteiligten Moleküle die experimentelle und rechnerische Untersuchung eines bestimmten Austauschvorganges gestattete. Eine

¹⁾ Zu seiner Definition vgl. z. B.: WIRTZ, K., Z. physik. Chem. (B) **30** (1935) 289.

solche Reaktion ist z. B. der Austausch zwischen H_2 und D_2 selbst¹⁾, oder die Reaktion $H_2 + HDO \rightleftharpoons HD + H_2O$, deren Gleichgewicht experimentell und rechnerisch verschiedentlich bearbeitet wurde²⁾. Schon bei der Austauschreaktion zwischen Ammoniak und schwerem Wasserstoff³⁾ dagegen treten einige Schwierigkeiten auf bei der Bestimmung des Gleichgewichtszustandes, die auf der experimentellen Seite daher rühren, daß ein Ammoniakmolekül drei H -Atome enthält und man infolgedessen noch eine Austauschstufe mehr als bei H_2O zu unterscheiden hat; bei der statistischen Behandlung hängen sie damit zusammen, daß man die Energieterne mehratomiger Moleküle viel unvollständiger beherrscht, als bei zweiatomigen Molekülen. Jedoch läßt hier ebenso wie bei den einfachen Reaktionen die Übereinstimmung zwischen Experiment und Rechnung nichts zu wünschen übrig.

Diesen Reaktionen, die man auch dadurch charakterisieren kann, daß in der Konstitution der beteiligten Moleküle die Wasserstoffatome eine wesentliche Rolle bezüglich aller ihrer Eigenschaften, wie etwa des gesamten Schwingungsspektrums sowie ihrer Trägheitsmomente, Masse usw. (also Größen, die ihre chemischen Konstanten, und damit ihr Verhalten hinsichtlich Reaktionsgleichgewichten beeinflussen) spielen, stehen Austauschvorgänge mit vielatomigen Molekülen (z. B. organischen) gegenüber, die viele, unter Umständen verschieden gebundene Wasserstoffatome enthalten. Bei ihnen werden Masse und Trägheitsmomente zum Teil nur wenig oder fast gar nicht von den Wasserstoffatomen beeinflußt. Während sich dieses als sehr vereinfachend für die folgenden Überlegungen erweist, kennt man bei solchen Molekülen nur in wenigen Ausnahmefällen das Spektrum der Schwingungsenergieterme, dessen Kenntnis zur Bestimmung der Reaktionswärme notwendig ist. Hier wird eine gewisse Hilfe durch die Erfahrungstatsache⁴⁾ geboten, daß bei organischen Molekülen gerade die Schwingungen, an denen Wasserstoff beteiligt ist, häufig auf bestimmte Gruppen lokalisiert bleiben, so daß man hoffen kann, einen Anhalt für die Energieänderung durch die Substitution aus dem Isotopeneffekt eben der betreffenden Schwingungen zu gewinnen.

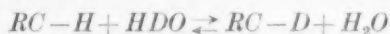
¹⁾ Theoretische Bearbeitung: UREY, H. C. und RITTENBERG, D., J. chem. Physics **1** (1933) 137; experimentelle Untersuchung: FARKAS, A. und L., Proc. Roy. Soc. London (A) **144** (1934) 467. ²⁾ BONHOEFFER, K. F. und RUMMEL, K. W.,

Naturwiss. **22** (1934) 45. FARKAS, A. und L., Trans. Faraday Soc. **30** (1934) 1071. FÖRSTER, TH., Z. physik. Chem. (B) **27** (1934) 1. ³⁾ Siehe Anm. 1, S. 121.

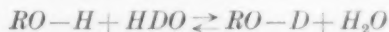
⁴⁾ Vgl. z. B.: KOHLRAUSCH, K. W. F., Der SMEKAL-RAMAN-Effekt. Springer 1929.

Um die Gedanken zu präzisieren, wollen wir einige konkrete Vorgänge betrachten. Von besonderer Wichtigkeit für zahlreiche Versuche mit schwerem Wasser ist die Kenntnis des Austauschgleichgewichtes zwischen schwerem Wasser einerseits und den an einen aliphatischen oder aromatischen Kohlenstoff gebundenen Wasserstoffatomen andererseits, z. B. zwischen Wasser und Aceton, Wasser und Benzol, — oder auch zwischen Wasser und den Wasserstoffatomen einer alkoholischen Hydroxylgruppe eines Zuckers oder Alkohols. Ein anderer Fall ist der unten zu besprechende Austausch zwischen Benzol und Salzsäure. Bei derartigen Austauschreaktionen bietet das vielatomige Molekül dem Austauschpartner in der Regel so viele „gleichberechtigte“ Plätze, z. B. aliphatische Kohlenstoffbindungen, für den Austauschvorgang dar, daß es experimentell meist nicht oder nur schwer möglich ist, den Austausch an einem bestimmten Ort vorzunehmen. Dieses wird bei unseren Überlegungen deswegen nur wenig stören, weil wir eben wegen der Gleichberechtigung der Plätze erwarten können, daß bei der Substitution sie hinsichtlich der Energieänderung sich gleich verhalten, da ihr Beitrag zum Schwingungsspektrum überall derselbe, die Änderung von Masse und Trägheitsmomenten aber überall gleich gering ist. Wir werden sehen, daß die noch zu besprechenden experimentellen Ergebnisse diese Überlegungen bestätigen. Wir können hieraus schon jetzt schließen, daß man für den Austausch „gleichberechtigter“ Wasserstoffatome verschiedener vielatomiger Moleküle untereinander den Verteilungsquotienten 1 zu erwarten hat. Die naheliegende Übertragung dieses Schlusses auf das Gleichgewicht zwischen alkoholischer Hydroxylgruppe und Wasser ist dagegen ungerechtfertigt, weil das Wassermolekül nicht als vielatomig im obigen Sinne angesehen werden kann.

Die Aufgabe, deren Lösung im folgenden versucht werden soll, ist die, die Gleichgewichtskonstanten bzw. Verteilungsquotienten für Austauschreaktionen wie



oder



(*R* bedeutet irgendeinen Molekülrest), oder ähnliche, sowie ihre Temperaturabhängigkeit mit Hilfe unserer Kenntnis der Schwingungsspektren organischer Moleküle, an denen Wasserstoff beteiligt ist, und aus den Vorstellungen über den Bau dieser Moleküle mittels der Statistik zu berechnen. Wir können uns dabei auf den Austausch eines viel-

atomigen Moleküls einerseits und eines mit wenigen Atomen wie Wasser andererseits beschränken, denn wenn alle Gleichgewichte in bezug auf Wasser bekannt sind, können die Beziehungen der Austauschpartner untereinander leicht hergestellt werden.

Es wird dabei im folgenden die Voraussetzung gemacht, daß die Formeln der Statistik auf die Reaktionen, die sich ja alle in Lösungen abspielen, wirklich noch mit einem guten Grade von Annäherung angewendet werden können. Dies hat die approximative Gültigkeit des HENRYschen Gesetzes für die Konzentrationsverteilung zwischen Gasraum und Flüssigkeit zur Voraussetzung. Aber auch bei beträchtlichen Abweichungen von diesem Gesetz werden annähernd richtige Resultate erhalten werden, wenn die Löslichkeitsunterschiede der schweren und leichten gasförmigen Verbindungen entweder klein sind oder sich kompensieren.

§ 2. Die Statistik liefert zur Berechnung der Gleichgewichtskonstanten einer Reaktion vom Typ



die Beziehung:

$$RT \ln \frac{[C][D]}{[A][B]} = RT \ln K = -\Delta F = RT \ln \frac{\Sigma_C \cdot \Sigma_D}{\Sigma_A \cdot \Sigma_B} \quad (1)$$

(ΔF = Differenz der freien Energien = $F_C + F_D - F_A - F_B$; Σ_i die Zustandssummen; K die Gleichgewichtskonstante des M.W.G.)

Ziehen wir aus den Zustandssummen die Glieder der bei allen Versuchen als vollerregt zu betrachtenden Translation heraus, sowie die Nullpunktsenergien der Schwingungen, so wird:

$$\ln K = -\frac{\Delta E^0}{RT} + \frac{3}{2} \ln \frac{M_C \cdot M_D}{M_A \cdot M_B} + \ln \frac{\Sigma'_C \cdot \Sigma'_D}{\Sigma'_A \cdot \Sigma'_B},$$

wo die M_i die Massen der beteiligten Moleküle sind. Bei den Austauschreaktionen mit zweiatomigen Molekülen wird nun weiter angenommen, daß bei normalen Temperaturen, etwa bei Zimmertemperatur, die Rotation der Moleküle als voll, die Schwingungen dagegen als unangeregt betrachtet werden können¹⁾. Ersteres ist immer richtig, letzteres dagegen nur bei leichten zweiatomigen Molekülen der Fall. Fast alle mehratomigen Moleküle zeigen bei Zimmertemperatur einen Anstieg der spezifischen Wärme über den klassischen Wert 5.96 hinaus, ein Zeichen dafür, daß außer Translation und

¹⁾ Vgl. z. B. die Überlegungen bei *HCl*: WIRTZ, K., Z. physik. Chem. (B) 31 (1936) 309.

Rotation noch innere Freiheitsgrade angeregt sind. Sofern es sich dabei um Schwingungen handelt, kann man annehmen, daß es im wesentlichen solche sind, bei denen Wasserstoffatome nicht oder nur wenig beteiligt sind, denn die Valenzfrequenzen der Wasserstoffatome in einem Molekül liegen erfahrungsgemäß so hoch ($>2000\text{ cm}^{-1}$), daß ihre Anregung zwischen 0° C und 100° C sicher vernachlässigt werden kann. Dasselbe gilt auch für die Deformationsfrequenzen der Wasserstoffatome, wie z. B. für das Wassermolekül schon abgeschätzt wurde¹⁾. Schwingungen aber, an denen Wasserstoff nur mittelbar beteiligt ist und die nur sehr niedrige Frequenzen haben, wie z. B. Valenz- oder Kopplungsschwingungen der ganzen Hydroxylgruppe in Methylalkohol²⁾, können erheblich angeregt sein. Sie werden jedoch bei unseren Betrachtungen nicht ins Gewicht fallen, weil hier die Isotopeneffekte durch Substitution eines *D*-Atomes so klein sind, daß ihr Beitrag zum Quotienten der Zustandssummen in erster Näherung vernachlässigt werden kann. Auf Fehler, die dadurch gemacht werden, werden wir gelegentlich noch zurückkommen³⁾. Zunächst sollen auch die vielatomigen Moleküle bezüglich des in ihnen vorhandenen Wasserstoffes so behandelt werden, als ob Translation und Rotation voll, die Schwingungen dagegen noch gar nicht angeregt seien. Eine besondere Stellung nehmen freie oder nahezu freie innere Drehbarkeiten ein, an denen Wasserstoff beteiligt ist. Solche Fälle werden wir unten kennenlernen. Unter diesen Annahmen erhalten wir:

$$\ln K = -\frac{\Delta E^0}{RT} + \frac{3}{2} \ln \frac{M_C \cdot M_D}{M_A \cdot M_B} + \ln \frac{I_C \cdot I_D}{I_A \cdot I_B} + \ln \frac{1/\sigma_C \cdot 1/\sigma_D}{1/\sigma_A \cdot 1/\sigma_B}. \quad (2)$$

Hierin bedeutet, wie gesagt, ΔE^0 die Differenz der Schwingungsnulldpunktsenergien der beteiligten Moleküle:

$$\Delta E^0 = E_C^0 + E_D^0 - E_A^0 - E_B^0. \quad (3)$$

Die Nullpunktsenergie hat den Wert $h\nu/2$, solange die Schwingung harmonisch ist. Die Anharmonizität beeinflusst diesen Wert gewöhnlich noch um einige Prozent (bei *HCl* etwa 2%)⁴⁾. Vollständige Bandenformeln, aus denen man die Anharmonizitäten entnehmen könnte, sind nur bei den zweiatomigen und bei einigen wenigen dreiatomigen Molekülen bekannt. Wir werden deswegen prinzipiell bei allen unseren Rechnungen die Anharmonizitäten nicht bei der Be-

1) FÖRSTER, TH., Z. physik. Chem. (B) **27** (1934) 1. 2) Vgl. z. B.: BARTHOLOMÉ, E. und SACHSE, H., Z. physik. Chem. (B) **30** (1935) 40. 3) Vgl. Ann. 2, S. 138. 4) WIRTZ, K., Z. physik. Chem. (B) **31** (1935) 309.

stimmung der Nullpunktsenergien berücksichtigen, auch bei solchen Molekülen (z. B. H_2O) nicht, bei denen sie bekannt sind, sondern mit $h\nu/2$ rechnen, wo ν die beobachtete Frequenz ist. Man kann hoffen, daß dadurch die Fehler, die bei der Bestimmung der einzelnen Werte $E_A^0 \dots$ gemacht werden, sich wenigstens teilweise bei der Differenzbildung eliminieren. Daß dieser Vorgang brauchbare Resultate liefert, zeigte sich schon bei der Bestimmung der Austauschgleichgewichte zwischen Deuterium und Ammoniak, wo die ohne Berücksichtigung der Anharmonizitäten berechneten Nullpunktsenergien Konstanten lieferten, die gut mit dem Experiment übereinstimmten¹⁾.

$I_A \dots I_D$ sind die Trägheitsmomente der beteiligten Moleküle. Sie sind für große Moleküle unbekannt. Wie schon in § 1 erwähnt wurde, dürften jedoch bei den meisten Molekülen, die aus vielen Atomen bestehen, die Trägheitsmomente durch die Substitution eines D -Atoms an Stelle von H praktisch ungeändert bleiben, d. h. ihr Quotient ist $=1$ und kann in der obigen Formel weggelassen werden. Eine entsprechende Überlegung gilt auch für das Verhältnis der Massen der schweren Moleküle. Bei einem Austauschversuch also zwischen einem vielatomigen Molekül und Wasser beispielsweise wird der Zahlenfaktor, der von den Massen und Trägheitsmomenten herrührt, praktisch nur durch die Verschiedenheiten des leichten und schweren Wassermoleküls bestimmt.

§ 3. Besondere Aufmerksamkeit erfordert das Glied mit den Symmetriezahlen der beteiligten Moleküle²⁾:

$$s = \frac{1/\sigma_C \cdot 1/\sigma_D}{1/\sigma_A \cdot 1/\sigma_B}, \quad (4)$$

das häufig einen bedeutenden Zahlenfaktor zu der Gleichgewichtskonstanten liefert. Er ist, wie im folgenden noch öfter hervorgehoben wird, gleich der Konstanten K_{st} ³⁾ des M.W.G., die man erhält, wenn man eine nur durch den Zufall geregelte, durch Energieunterschiede unbeeinflusste Verteilung der austauschenden Atome auf die Partner annimmt. σ bedeutet die Zahl der Drehorientierungen⁴⁾, — die Ord-

¹⁾ WIRTZ, K., Z. physik. Chem. (B) **30** (1935) 289. ²⁾ Vgl. hierzu: EHRENFEST, P. und TRKAL, V., Ann. Physik **65** (1921) 609 und SCHOTTKY, W., Thermodynamik, S. 260. ³⁾ Der Index „st“ rührt daher, daß diese Konstante gelegentlich „statistischer Faktor“ genannt wird. ⁴⁾ Alle Beiträge zu den Symmetriezahlen, die vom Kernspin usw. herrühren, heben sich bei der Berechnung von Gleichgewichtskonstanten heraus und können unberücksichtigt bleiben. Es läßt sich zeigen, daß nur die Rotationssymmetrie berücksichtigt werden muß (vgl. z. B.: LUDLOFF, H., Z. Physik **57** (1929) 227).

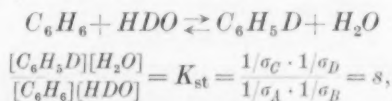
nung seiner Gruppe im Raum in der Sprache der Gruppentheorie — die ein Molekül, das mehrere gleichartige Atome enthält, in eine identische Lage überführen. Bei Molekülen wie Wasserstoff ist sie ohne weiteres angebbar. Bei vielatomigen Molekülen werden Aussagen über die Molekülsymmetrie infolge unserer mangelhaften Kenntnisse seiner Struktur oft unmöglich. Lediglich die Zahl der „gleichberechtigten“ Plätze in dem oben gebrauchten Sinn kann in solchen Fällen mit Sicherheit angegeben werden. Sie hat mit der Symmetriezahl des Moleküls nichts zu tun. So ist z. B. die Symmetriezahl des Methans gleich 12, die Zahl der H -Atome an gleichberechtigten Plätzen 4. Es läßt sich jedoch zeigen, daß der Quotient s aller Symmetriezahlen sich in allen Fällen angeben läßt, wenn man nur die Zahl der bezüglich der betrachteten Austauschreaktion gleichberechtigten Plätze der beteiligten Moleküle kennt, vorausgesetzt, daß man sich für Isomeriefälle nicht interessiert.

Denkt man sich den Gleichgewichtszustand nur durch die wahrscheinlichste, vom Zufall geregelte Verteilung der austauschenden Atome gegeben, so wird die Zahl der Realisierungsmöglichkeiten eines Moleküls um so größer sein, je größer die Zahl der gleichberechtigten Plätze ist, die es besitzt. Der Quotient dieser Wahrscheinlichkeiten w_i (das ist die Gleichgewichtskonstante K_{st} der Reaktion in der „Zufallsstatistik“)

$$\frac{w_C \cdot w_D}{w_A \cdot w_B} = K_{st} \quad (5)$$

hat denselben Wert wie der Quotient s der Symmetriezahlen. Wir können ihn angeben, auch wenn wir über die Symmetrie des Moleküls nichts wissen.

Als Beispiel betrachten wir den (bisher nicht bis zum Gleichgewicht verfolgten) Austausch zwischen Benzol und Wasser:



dessen $K_{st} = s$ wir bestimmen wollen. Wir nehmen an, daß das Benzolmolekül eben ist und sechs gleichberechtigte CH -Gruppen hat. Dann ist seine Symmetriezahl offenbar $\sigma_A = 12$, denn es besitzt eine sechszählige Symmetrieachse senkrecht zur Molekülebene und noch sechs zweizählige Symmetrieachsen in der Molekülebene. Durch Substitution eines D -Atoms wird diese Symmetrie fast völlig aufgehoben. Es ist nur noch eine zweizählige Symmetrieachse in der Ebene vor-

handen, nämlich die durch den substituierten Kohlenstoff. Es ist also $\sigma_C = 2$. Für H_2O ist offenbar ebenfalls $\sigma_D = 2$; für HDO $\sigma_B = 1$. Der Quotient (s) wird also

$$\frac{(1/2) \cdot (1/2)}{(1/12) \cdot 1} = 3 = K_{st}.$$

Die Wahrscheinlichkeitsbetrachtungen führen zum selben Wert. Stellt man sich die H - und D -Atome als schwarze und weiße Kugeln vor, die in gleicher Anzahl¹⁾ in einem Gefäß liegen, dann ist die Chance, bei einem Griff eine schwarze oder eine weiße Kugel herauszuziehen, jeweils gleich $1/2$, die Chance, sechs Kugeln derselben Farbe hintereinander zu ziehen, offenbar $(1/2)^6$. Es ist also w_A gleich $1/64$, — es gibt nur eine Realisierungsmöglichkeit. Fünf weiße und eine schwarze Kugel können jedoch in sechs verschiedenen Reihenfolgen — Realisierungsmöglichkeiten — gezogen werden. w_C ist also gleich $6/64$. Ebenso ergibt sich $w_D = 1/4$, $w_B = 2/4$. Der Quotient dieser vier Wahrscheinlichkeiten ist ebenfalls gleich 3.

$$\frac{(6/64) \cdot (1/4)}{(1/64) \cdot (2/4)} = 3.$$

Die Nenner der Wahrscheinlichkeiten heben sich weg, und die Realisierungsmöglichkeiten²⁾ liefern den Wert des Quotienten.

Ferner wollen wir den Austausch des zweiten D -Atoms im Benzol betrachten, wobei es gleichgültig sei, in welcher Stellung (Ortho-, Meta- oder Parastellung) die Substitution erfolgt.

$$\frac{[C_6H_4D_2][H_2O]}{[D_6H_6D][HDO]} = K_{st} = \frac{w_C \cdot w_D}{w_A \cdot w_B} = s.$$

Zuerst sei die Wahrscheinlichkeitsbetrachtung durchgeführt. Es ist offenbar unter denselben Voraussetzungen wie oben die Zahl der Realisierungsmöglichkeiten von $C_6H_4D_2$ gleich 15. Von den übrigen Molekülen dieser Reaktion kennen wir sie schon. Es ist danach:

$$\frac{w_C \cdot w_D}{w_A \cdot w_B} = \frac{(15/64) \cdot (1/4)}{(6/64) \cdot (2/4)} = 1\frac{1}{4}.$$

Für die Symmetriezahlen ist es nicht gleichgültig, wie das zweite D -Atom substituiert wird. Bringt man es in Ortho- oder Meta-stellung unter, so bleibt die Symmetrie gleich 2. Bringt man es in Parastellung unter, so erhöht sie sich auf 4, denn es sind drei zwei-

¹⁾ Nimmt man an, daß ungleiche Anzahlen von Kugeln vorhanden sind, so muß jeder Griff noch mit einem Gewichtungsfaktor versehen werden. Das obige Ergebnis wird dadurch nicht geändert, wie man sich leicht überlegt. ²⁾ Hier gleich den „Lokalisierungsmöglichkeiten“, was nicht immer der Fall ist, wie man am nächsten Beispiel sieht. Man findet diese Feststellung gelegentlich irrtümlich in der Literatur.

zählige Achsen vorhanden. Wenn wir uns nur für die Konzentration aller disubstituierten Produkte bzw. ihre Konstante K_{st} interessieren, müssen wir die Einzelwerte addieren. Diese lauten mit den schon bekannten übrigen Symmetriezahlen:

$$\frac{[C_6H_4D_2]_o[H_2O]}{[C_6H_5D][HDO]} = K_{ortho} = \frac{1/2 \cdot 1/2}{1/2 \cdot 1} = 1/2,$$

$$\frac{[C_6H_4D_2]_m[H_2O]}{[C_6H_5D][HDO]} = K_{meta} = \frac{1/2 \cdot 1/2}{1/2 \cdot 1} = 1/2,$$

$$\frac{[C_6H_4D_2]_p[H_2O]}{[C_6H_5D][HDO]} = K_{para} = \frac{1/4 \cdot 1/2}{1/2 \cdot 1} = 1/4.$$

Hieraus erhält man

$$[C_6H_4D_2]_o = 1/2 \cdot \frac{[C_6H_5D][HDO]}{[H_2O]},$$

$$[C_6H_4D_2]_m = 1/2 \cdot \frac{[C_6H_5D][HDO]}{[H_2O]},$$

$$[C_6H_4D_2]_p = 1/4 \cdot \frac{[C_6H_5D][HDO]}{[H_2O]}.$$

Dies gibt addiert:

$$[C_6H_4D_2] = 1 1/4 \cdot \frac{[C_6H_5D][HDO]}{[H_2O]}.$$

Man sieht, daß auf diese Weise noch Gleichgewichte behandelt werden können, bei denen die Symmetriezahl deswegen praktisch unbrauchbar wird, weil viele Isomere möglich sind, die geometrisch alle verschieden sind, und jeweils eine eigene Symmetriezahl erfordern (die also immer nur die Konstante für ein einzelnes Isomeres liefert), die sich aber sonst nicht voneinander unterscheiden und womöglich auch experimentell nicht unterscheidbar sind, sobald man zu komplizierteren Molekülen als Benzol übergeht¹⁾.

§ 4. Der Zusammenhang zwischen wirklicher Gleichgewichtskonstanten K einer Reaktion, dem Verteilungsquotienten V

$$V = \frac{D/H \text{ im Austauschpartner I}}{D/H \text{ im Austauschpartner II}}$$

und der Konstanten K_{st} , dem Quotienten der Symmetriezahlen bzw. Wahrscheinlichkeiten, wird, wie man nun leicht einsieht, durch folgende Beziehung geliefert:

$$V = \frac{1}{K_{st}} \cdot K. \quad (6)$$

¹⁾ Aus § 3 geht hervor, daß die Ausdrucksweise unrichtig ist (vgl. KLIT, A. und LANGSETH, A., Z. physik. Chem. (A) **176** (1936) 65), daß alle Austauschstufen des Benzols mit Salzsäure „dieselben Gleichgewichtskonstanten“ K besitzen. Die Konstanten K unterscheiden sich wegen der Symmetriezahlen alle voneinander. Diese Aussage gilt vielmehr für die Verteilungsquotienten (vgl. § 4).

Man sieht, daß für $K = K_{st}$ der Verteilungsquotient V gleich 1 wird. Die Abweichung des K von K_{st} ist das Maß für die Anreicherung der ausgetauschten Atomsorten in den verschiedenen Molekülen. Besitzen alle beteiligten Moleküle nur je einen Platz für den Austausch, so wird $K_{st} = 1$ und $V = K$.

Das Ergebnis unserer bisherigen Überlegungen sei kurz zusammengefaßt: Die Beziehung (1) kann so gebraucht werden, als ob auch bei vielatomigen Molekülen Translation und Rotation voll erregt seien, die Schwingung jedoch gar nicht. Unterschiede in den Trägheitsmomenten und den Massen der schweren Moleküle können vernachlässigt werden, wenn es sich um den Austausch von Isotopen handelt. Die Nullpunktsenergie der Schwingung soll gleich $h\nu/2$ gesetzt werden. Der Beitrag der Symmetriezahlen kann bei komplizierten Molekülen nach Überlegungen des § 3 gewonnen werden.

Diese Ergebnisse sollen nun auf einige experimentell untersuchte Fälle angewendet werden.

§ 5. Das Austauschgleichgewicht Benzol-Salzsäure. Der Austausch von D -Atomen zwischen Benzol und schwerer Salzsäure ist von KLIT und LANGSETH¹⁾ untersucht worden. Sie finden für den Verteilungsquotienten

$$V = \frac{D/H \text{ im Benzol}}{D/H \text{ in Salzsäure}}$$

den Wert $V = 1.6 \pm 0.1$ bei Zimmertemperatur, d. h. eine starke Anreicherung des Deuteriums beim Benzol. Wir wollen einen speziellen Austausch ins Auge fassen, z. B. den folgenden:



$$\frac{[C_6H_4D_2][HCl]}{[C_6H_5D][DCl]} = K.$$

Nach § 3 ist $K_{st} = 2.5$. Mit dem experimentellen $V = 1.6$ gibt dies für die Konstante K etwa den Wert 4. Es soll versucht werden, dieses K mit Hilfe der Formel (1) zu gewinnen. Nach § 2 setzen wir den Quotienten der Massen und der Trägheitsmomente von Mono- und Dideuteriobenzol = 1. Der Quotient der Symmetriezahlen ist wie gesagt gleich 2.5. Gleichung (1) wird also

$$K = \left(\frac{M_{HCl}}{M_{DCl}} \right)^{3/2} \cdot \frac{I_{HCl}}{I_{DCl}} \cdot 2.5 \cdot e^{-\Delta E^0/RT}.$$

Die beiden ersten Faktoren enthalten nur bekannte Größen. (Der

¹⁾ KLIT, A. und LANGSETH, A., loc. cit.

Quotient I_{HCl}/I_{DCl} ist einfach gleich dem Quotienten der reduzierten Massen von HCl und DCl .) Sie liefern zusammen den Faktor 0,495. Es fehlt noch die Kenntnis von:

$$\Delta E^0 = \underbrace{E_{C_6H_4D_2}^0 - E_{C_6H_5D}^0}_{\Delta E_{Benzol}^0} + \underbrace{E_{HCl}^0 - E_{DCl}^0}_{\Delta E_{Salzsäure}^0}$$

Das Schwingungsspektrum des Benzols ist durch die Arbeit von KOHLRAUSCH¹⁾ als geklärt zu betrachten. Er behandelt das C_6H_6 -Molekül im Anschluß an die WILSONsche²⁾ Theorie des ebenen hexagonalen Valenzkraftmodells. Es zeigt sich, daß die Spektren von C_6H_6 und C_6D_6 gleich gut durch das Modell wiedergegeben werden und daß die beiden Moleküle praktisch identische Kraftkonstanten besitzen. Wir werden nur mit den für C_6H_6 angegebenen Konstanten rechnen. Es sind die folgenden:

Valenzfederkraft der $C-C$ -Bindung: $F = 7,65 \cdot 10^{-5}$ Dyn/cm.

Valenzfederkraft der $C-H$ -, bzw. $C-D$ -Bindung: $f = 5,02 \cdot 10^{-5}$ Dyn/cm.

Valenzwinkelkraft bei Deformation der $C-C$ -Bindung in der Molekülebene: $D = 0,642 \cdot 10^{-5}$ Dyn/cm.

Valenzwinkelkraft bei Deformation der $C-H$ - bzw. $C-D$ -Bindung in der Molekülebene: $d = 0,773 \cdot 10^{-5}$ Dyn/cm.

Valenzwinkelkraft bei Deformation der $C-C$ -Bindung senkrecht zur Molekülebene: G bisher nicht bekannt.

Valenzwinkelkraft bei Deformation der $C-H$ - bzw. $C-D$ -Bindung senkrecht zur Molekülebene: $g = 0,336 \cdot 10^{-5}$ Dyn/cm.

Was die Frequenzen im einzelnen anlangt, so sieht man³⁾, daß die Schwingungen im wesentlichen auf den einzelnen Bindungen „lokalisiert“⁴⁾ sind, nur wenig untereinander gekoppelt sind. Die uns am meisten interessierende Frequenz ν_{CH} liegt bei 3050 cm^{-1} und hat einen Isotopeneffekt von etwa 750 bis 800 cm^{-1} . Die Deformationsschwingungen δ_{CH} und γ_{CH} liegen in der Gegend von 1100 cm^{-1} bzw. 800 cm^{-1} und haben Isotopeneffekte von etwa 200 cm^{-1} . Die übrigen Frequenzen zeigen nur kleine Isotopenverschiebungen. Wir nehmen danach an, daß bei Substitution eines D -Atoms an Stelle eines H ohne erheblichen Fehler so gerechnet werden kann, als ob

¹⁾ KOHLRAUSCH, K. W. F., Z. physik. Chem. (B) **30** (1935) 305. ²⁾ WILSON, E. B., Physic. Rev. **45** (1934) 706. ³⁾ KOHLRAUSCH, K. W. F., loc. cit., Tabelle 2, S. 311. ⁴⁾ Auf die Unkorrektheit einer solchen Formulierung sei hingewiesen. Vgl. hierzu: BARTHOLOMÉ, E. und TELLER, E., Z. physik. Chem. (B) **19** (1932) 366.

nur die Schwingungen, an denen das substituierte Wasserstoffatom unmittelbar beteiligt ist, Isotopieeffekte entsprechend den veränderten Massen erleiden. Diese Isotopieeffekte sollen mit Hilfe der Kraftkonstante berechnet werden nach der Formel

$$r = (1/2\pi) \sqrt{k/\mu}$$

worin k die jeweilige Kraftkonstante, μ die jeweilige reduzierte Masse bedeuten. Dies ergibt folgende Isotopeneffekte für die Schwingungen, an denen H direkt beteiligt ist:

$$\nu_{CH}: 800 \text{ cm}^{-1}$$

$$\delta_{CH}: 250 \text{ cm}^{-1}$$

$$\gamma_{CH}: 205 \text{ cm}^{-1}.$$

Diese Werte stimmen gut mit den experimentell beobachteten überein. Die Isotopeneffekte, die von der $C-C$ -Bindung herrühren, sind wesentlich kleiner. Man kann aus den für C_6D_6 beobachteten Frequenzen abschätzen, daß sie bei Substitution eines D -Atoms wahrscheinlich weniger als 8% der Summe der obigen Verschiebungen ausmachen, wobei angenommen ist, daß die bisher nicht beobachtete Frequenz γ_{CC} höchstens einen Isotopeneffekt von 25 cm^{-1} im C_6D_6 besitzt, entsprechend ihrer Kraftkonstanten. Wir wollen den Isotopeneffekt der Valenz- und Deformationsschwingungen auf der $C-C$ -Bindung mit insgesamt 70 cm^{-1} berücksichtigen. Auch ein erheblicher Fehler in dieser Zahl wird den Endwert der Gleichgewichtskonstanten nicht allzusehr beeinflussen.

Danach erhält man als Isotopeneffekt durch Substitution eines D -Atoms an Stelle von H im Benzol insgesamt 1325 cm^{-1} .

Dies ergibt mit $h\nu/2$ multipliziert und in cal umgerechnet mit dem richtigen Vorzeichen:

$$\Delta E_{\text{Benzol}}^0 = -1886 \text{ cal.}$$

Die Grundschnwingungen für HCl ¹⁾ und DCl ²⁾ sind aus dem Ultrarot bekannt. Sie liegen bei 2890 bzw. 2090 cm^{-1} . Die Isotopenverschiebung ist also 800 cm^{-1} . Dies entspricht der Nullpunktsenergie-differenz:

$$\Delta E_{HCl}^0 = 1136 \text{ cal}^3).$$

Damit wird die Reaktionswärme unserer Reaktion beim absoluten Nullpunkt:

$$\Delta E^0 = -750 \text{ cal.}$$

¹⁾ SCHAEFER, CL. und MATOSSI, F., Das ultrarote Spektrum. 1930. S. 188.

²⁾ HARDY, J. D., BARKER, E. F. und DENNISON, D. M., Physic. Rev. **42** (1932) 279.

³⁾ Der unter Berücksichtigung der Anharmonizitäten streng berechnete Wert beträgt 1185 cal . Der Fehler beträgt also nur etwa 4.5% (vgl. S. 126).

Und K wird damit:

$$K = 0.495 \cdot 2.5 \cdot e^{750/RT}$$

Dies ergibt für Zimmertemperatur $T = 298^\circ \text{K}$:

$$K = 4.32; \quad V = K/2.5 = 1.73.$$

Die experimentellen Werte waren:

$$K = 4; \quad V = 1.6.$$

Die Übereinstimmung ist besser, als man nach der Rohheit der Rechnung hätte erwarten dürfen. Experiment und Rechnung sagen übereinstimmend aus, daß das Deuterium beim Benzol erheblich angereichert ist. Wegen der großen Reaktionswärme beim absoluten Nullpunkt von -750 cal ist das Gleichgewicht stark temperaturabhängig. Mit steigender Temperatur nimmt die Anreicherung beim Benzol ab, V wird kleiner.

§ 6. Das Austauschgleichgewicht Aceton-Wasser. Das Gleichgewicht des Austausches von D -Atomen zwischen Aceton und Wasser ist von KLAR¹⁾ sowie von HALFORD, ANDERSON, BATES und SWISHER²⁾ untersucht worden. In beiden Arbeiten wird eine Anreicherung des Deuteriums beim Wasser gefunden. In der zweiten Arbeit wird die Konstante der Reaktion:



$$\frac{[\text{CH}_3\text{COCH}_2\text{D}][\text{H}_2\text{O}]}{[\text{CH}_3\text{COCH}_3][\text{HDO}]} = K$$

bei 80°C zu $K = 2.1$ angegeben, während KLAR als „Verteilungsquotient“ V bei Zimmertemperatur den Wert 0.87 angibt, was einer Konstanten für den Austausch des ersten D -Atoms von etwa 2.6 entspricht. Die Versuche von HALFORD, BATES und Mitarbeitern zeigen, daß für die nächsten Austauschstufen die Konstanten größer als 2.1 sind. Ferner kann man aus den Versuchen entnehmen, daß bei sinkender Temperatur die Gleichgewichtskonstante etwas größer wird, woraus auf eine kleine negative Reaktionswärme geschlossen werden kann.

Bei der Anwendung der Formel (1) auf die obige Reaktion kann zunächst wieder die Änderung der Masse und Hauptträgheitsmomente des Acetons durch die Substitution eines D -Atoms vernachlässigt werden. Der Quotient der Symmetriezahlen hat nach § 3 den Wert 3. Den Quotienten der Trägheitsmomente von H_2O und

¹⁾ KLAR, R., Z. physik. Chem. (B) **26** (1934) 335. ²⁾ HALFORD, J. O., ANDERSON, L. C., BATES, J. R. und SWISHER, R. D., J. Amer. chem. Soc. **57** (1935) 1663.

HDO entnehmen wir der Arbeit von FÖRSTER¹⁾; er hat den Wert $1/1.7$. Damit erhält man für K :

$$K = \left(\frac{18}{19}\right)^{3/2} \cdot \frac{1}{1.7} \cdot 3 e^{-\Delta E^0/RT} = 1.63 \cdot e^{-\Delta E^0/RT}.$$

Hierbei ist

$$\Delta E^0 = \underbrace{E_{CH_3COCH_2D}^0 - E_{CH_3COCH_3}^0}_{\Delta E_{\text{Aceton}}^0} + \underbrace{E_{H_2O}^0 - E_{HDO}^0}_{\Delta E_{\text{Wasser}}^0}$$

Wir müssen wieder die Spektren der einzelnen Substanzen betrachten, um die Isotopeneffekte der Schwingungen zu erhalten, die mit $h\nu/2$ multipliziert die Nullpunktenergieunterschiede liefern.

Die RAMAN-Spektren des „leichten“ und des vollständig „schweren“ Acetons sind kürzlich von ENGLER²⁾ untersucht worden. Das Spektrum des monosubstituierten Acetons (CH_3COCH_2D) ist nicht bekannt. Eine vollständige Analyse des Acetonspektrums liegt bisher nicht vor. Es ist daher nicht möglich, mehr als eine sehr rohe Abschätzung der Größenordnung der wahrscheinlichen Isotopeneffekte bei der Monosubstitution zu geben. Hierzu können noch die Beobachtungen am Monodeuteriomethan³⁾ und am Monodeuterioäthan⁴⁾ Fingerzeige geben.

Man kann zunächst überlegen, daß in einer an ein C gebundenen Methylgruppe durch Substitution eines D -Atoms im wesentlichen eine Valenzschwingung, nämlich die des substituierten D , und zwei Deformationsschwingungen starke Isotopeneffekte erleiden werden. Das Spektrum von CD_3COCD_3 zeigt, daß mit Ausnahme der der $C-O$ -Bindung zuzuschreibenden Valenzschwingung auch alle übrigen Frequenzen Verschiebungen erleiden. In der CH_2D -Gruppe selbst werden die übrigen Frequenzen Kopplungsverschiebungen erfahren, deren Betrag nicht bekannt ist, von denen man aber hoffen kann, daß sie sich wenigstens teilweise bei der Differenzbildung herausheben. Für die Verschiebung der $C-H$ -Valenzschwingung wollen wir mit dem Wert 810 cm^{-1} rechnen, der sowohl beim Methan als auch beim Aceton beobachtet wurde. Für die Verschiebung der Deformationsschwingungen erhält man einen Aufschluß aus dem Spektrum des Monodeuterioäthans in der genannten Arbeit von BARTHOLOMÉ und SACHSSE. Dort zeigt die Deformationsfrequenz bei 1495 cm^{-1} eine

¹⁾ FÖRSTER, TH., loc. cit. ²⁾ ENGLER, W., Z. physik. Chem. (B) **32** (1936) 471. ³⁾ GINSBERG, N. und BARKER, E. F., J. chem. Physics **3** (1935) 668. Vgl. auch die Angaben bei BARTHOLOMÉ, E., Z. Elektrochem. **42** (1936) 358. ⁴⁾ BARTHOLOMÉ, E. und SACHSSE, H., Z. physik. Chem. (B) **30** (1935) 40.

Verschiebung von 155 cm^{-1} ¹⁾). Die Verschiebung der zweiten Deformationsschwingung wurde von den Autoren nicht beobachtet; sie dürfte von etwa derselben Größe sein, vielleicht etwas größer. Aus dem Spektrum des Acetons und des CH_3D wird ebenfalls dieser Betrag nahegelegt²⁾). Wir wollen die Verschiebung mit rund 200 cm^{-1} annehmen. Die Isotopeneffekte, die wir für die Knickschwingungen der beiden Methylgruppen gegeneinander sowie für die $\text{C}-\text{CH}_3$ -Valenzschwingungen erwarten müssen, werden für das Monosubstitutionsprodukt klein sein, so daß wir sie unberücksichtigt lassen wollen. Insgesamt soll also ein Isotopeneffekt von 1165 cm^{-1} berücksichtigt werden, ein Wert, der wahrscheinlich in Wirklichkeit etwas größer ist und bei dem ein bedeutender Fehler durchaus möglich ist. Er entspricht einem Energieunterschied von 1656 cal bei 0° K .

Wir müssen noch berücksichtigen, daß die Methylgruppen wahrscheinlich freie, oder nahezu freie Drehbarkeit um die $\text{C}-\text{C}$ -Bindung besitzen, wie es von EUCKEN und PARTS³⁾ für die Methylgruppen des Äthans nachgewiesen wurde. TELLER und WEIGERT⁴⁾ haben die spezifische Wärme eines solchen „gehemmten eindimensionalen Rotators“ berechnet. Es zeigt sich, daß ihr Verlauf beim Äthan von dem eines völlig freien Rotators nur wenig verschieden ist. Wir wollen diese Rotation deswegen hier als völlig frei behandeln. Die Substitution eines D -Atoms beeinflußt dann die Gleichgewichtskonstante im Sinne der Formel (1) im Verhältnis der Trägheitsmomente von CH_3 und CH_2D ⁵⁾, d. h. im Verhältnis der reduzierten Massen. Dieses ist

$$\frac{\mu_{\text{schwer}}}{\mu_{\text{leicht}}} = \frac{6}{5}.$$

Zur Bestimmung von $\Delta E_{\text{Wasser}}^0$ müssen wir die Eigenfrequenzen von H_2O und HDO kennen. Sie sind nach H. SPONER⁶⁾

für H_2O :	3600 cm^{-1}	für HDO :	3720 cm^{-1}
	3756 cm^{-1}		2810 cm^{-1}
	1595 cm^{-1}		1380 cm^{-1} .

¹⁾ Wir halten die Zuordnung der Bande 1340 zu 1495 für wahrscheinlich richtiger als die Zuordnung zu 1465 (vgl. BARTHOLOMÉ und SACHSSE, loc. cit., S. 52). ²⁾ Vgl. auch die Ergebnisse an schwerer Essigsäure CD_3COOD von ENGLER, W., loc. cit. ³⁾ EUCKEN, A. und PARTS, A., Z. physik. Chem. (B) **20**

(1933) 184. ⁴⁾ TELLER, E. und WEIGERT, K., Nachr. Ges. Wiss. Göttingen (1933) 218. ⁵⁾ Hierbei müßte in einer strengen Rechnung noch berücksichtigt werden, daß der Valenzwinkel am Kohlenstoff nicht starr ist, was bei einer nicht gleichmäßig substituierten Methylgruppe wie CH_2D zu besonderen Störungen Anlaß

geben kann. Diesen Hinweis verdanke ich Herrn Dr. FÖRSTER. ⁶⁾ SPONER, H., Molekülspektren I. S. 78 und 144.

Die Differenz der Frequenzsummen ist 1041 cm^{-1} . Damit erhalten wir insgesamt $\Delta E^0 = -176 \text{ cal}$, tatsächlich eine kleine negative Reaktionswärme. Nach den obigen Überlegungen scheint es nicht wahrscheinlich, daß die Fehler in der Abschätzung von ΔE^0 so groß sind, daß das Vorzeichen von ΔE^0 und damit die Richtung der Temperaturabhängigkeit des Gleichgewichtes durch die Korrektur der Fehler geändert wird.

Es wird:

$$K = 1.63 \cdot 6/5 \cdot e^{176/RT}.$$

Damit wird für $T = 80^\circ \text{ C}$:

$$K = \sim 2.5_2, \quad V = \frac{D/H \text{ im Aceton}}{D/H \text{ im Wasser}} = \sim 0.84$$

und für Zimmertemperatur:

$$K = \sim 2.6_5, \quad V = \sim 0.88.$$

Dies entspricht den experimentellen Werten von HALFORD, BATES und Mitarbeitern sowie von KLAR¹⁾.

Es sei nochmals zum Schluß dieses Paragraphen die Unsicherheit dieses Resultates hervorgehoben. Es kann wohl lediglich gesagt werden, daß unsere Überlegungen nicht im Widerspruch sind mit der Erfahrung, daß im Austauschgleichgewicht zwischen Aceton und Wasser eine Anreicherung des *D* beim Wasser stattfindet, wie dies übrigens auch für Austausche mit an *C* gebundenen Wasserstoffatomen anderer aliphatischer Kohlenwasserstoffe gefunden wurde²⁾. Ferner, daß eine geringe Temperaturabhängigkeit vorhanden ist, derart, daß mit steigender Temperatur die Verteilung des Deuteriums noch mehr zugunsten des Wassers zunimmt.

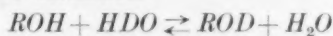
§ 7. Das Austauschgleichgewicht zwischen alkoholischen Hydroxylgruppen und Wasser. Die bisherigen experimentellen Untersuchungen über das Gleichgewicht zwischen alkoholischen Hydroxylwasserstoffen und schwerem Wasser zeigen übereinstimmend eine geringe Anreicherung des Deuteriums bei der Hydroxylgruppe. HAMILL und FREUDENBERG³⁾ finden beim Aus-

¹⁾ In der Literatur ist gelegentlich (UREY, H. C. und TEAL, G. K., *Rev. mod. Physics* **7** (1935) 59 und FARKAS, A., *Orthohydrogen, Parahydrogen und Heavy Hydrogen*, Cambridge 1935, S. 200) irrtümlich die Arbeit von HALFORD, BATES und Mitarbeitern so interpretiert worden, als ob das Deuterium beim Aceton angereichert sei.

²⁾ Vgl. REITZ, O., *Z. physik. Chem. (A)* **176** (1936) 363. Dort wurde für Nitromethan etwa $V = 0.8$ beobachtet.

³⁾ HAMILL, W. H. und FREUDENBERG, W., *J. amer. chem. Soc.* **57** (1935) 1427.

tausch mit verschiedenen Substanzen (Glucose usw.) für die Gleichgewichtskonstante der Reaktion:



$$\frac{[ROD][H_2O]}{[ROH][HDO]} = K$$

ein $K = 0.6$ bis 0.7 , entsprechend einem Verteilungsquotienten $V = 1.2$ bis 1.3 zugunsten der Hydroxylgruppen¹⁾.

BAWN²⁾ beobachtet eine Verschiebung des Gleichgewichts beim Amylalkohol ebenfalls nach der Seite des Alkohols.

Wir wollen das Gleichgewicht für Methylalkohol betrachten, die einzige Substanz, deren Spektrum hinreichend genau analysiert ist³⁾. Nicht alle Schlüsse, die bei diesem Molekül gezogen werden, können ohne weiteres auf einen höheren Kohlenwasserstoff übertragen werden. Dies gilt besonders für die Schwingungsspektren. Die bisherigen experimentellen Ergebnisse sprechen jedoch dafür, daß nicht alle Befürchtungen, die man hier hegen mußte, zutreffen.

Wir vernachlässigen wieder die Änderung von Masse und Trägheitsmomenten äußerer Rotationen durch Substitution von D an Stelle von H . Der Quotient der Symmetriezahlen ist nach § 3 gleich $1/2$. Mit den schon bekannten Daten für Wasser erhält man dann zunächst:

$$K = \left(\frac{18}{19}\right)^{3/2} \cdot \frac{1}{1.7} \cdot \frac{1}{2} \cdot e^{-\Delta E^0/RT}.$$

Hierbei ist noch nicht berücksichtigt, daß die Hydroxylgruppe sehr wahrscheinlich frei oder fast frei drehbar ist. Die Verhältnisse dürften hier ähnlich liegen, wie bei der Methylgruppe des Äthans⁴⁾. Der Verlauf der spezifischen Wärme dürfte der der völlig freien Rotation sehr ähnlich sein. Die Gleichgewichtskonstante K muß also noch mit einem Faktor versehen werden, der gleich dem Verhältnis der Trägheitsmomente der schweren zur leichten Hydroxylgruppe bezogen auf die $C-O$ -Achse ist, d. h. gleich $2^5)$, wenn man den Molekülrest als ruhend oder sehr schwer annimmt⁶⁾. Beim Methylalkohol rechnet man wohl richtiger mit dem Verhältnis der reduzierten Trägheits-

¹⁾ E. OGAWA bestätigt in ähnlichen Versuchen ebenfalls diesen Verteilungsquotienten (Bull. chem. Soc. Japan **11** (1936) 367). Siehe auch: HARADA, M. und TITANI, T., Bull. chem. Soc. Japan **11** (1936) 465.

²⁾ BAWN, siehe die Angaben über den Versuch bei TITANI, T. und HARADA, M., Bull. chem. Soc. Japan **10** (1935) 262.

³⁾ BARTHOLOMÉ, E. und SACHSSE, H., loc. cit. ⁴⁾ Vgl. die Bemerkungen darüber im vorhergehenden Paragraphen, sowie BARTHOLOMÉ und SACHSSE, loc. cit., S. 49.

⁵⁾ Auch hier gilt die Anmerkung 5, S. 135. ⁶⁾ Vgl. auch die Bemerkung bei TELLER und WEIGERT, loc. cit., S. 25.

momente der Methyl- und der Hydroxylgruppen gegeneinander, da die Methylgruppe einen Rückstoß erleidet: $I_{\text{red}} = \frac{I_1 \cdot I_2}{I_1 + I_2}$. Dies ergibt etwa den Faktor 1.65. Andererseits bleibt gerade beim Methylalkohol das eine Trägheitsmoment, das dem um die Figurenachse beim Äthan entspricht, nicht unbeeinflusst von der *D*-Substitution, sondern ändert sich um einen entsprechenden Faktor. Wir werden also *K* insgesamt mit dem Faktor 2 versehen, was für alle alkoholischen Hydroxylgruppen in gleicher Weise richtig sein dürfte.

Es fehlt nun noch ΔE^0

$$\Delta E^0 = \underbrace{E_{\text{ROD}}^0 - E_{\text{ROH}}^0}_{\Delta E_{\text{Alkohol}}^0} + \underbrace{E_{\text{H}_2\text{O}}^0 - E_{\text{HDO}}^0}_{\Delta E_{\text{Wasser}}^0}$$

$\Delta E_{\text{Wasser}}^0$ kennen wir schon. $\Delta E_{\text{Alkohol}}^0$ können wir aus der von BARTHOLOMÉ und SACHSSE¹⁾ ausgeführten Deutung der Schwingungsspektren von CH_3OH und CH_3OD entnehmen. In dieser Arbeit finden wir die Isotopenverschiebung für alle Frequenzen des Moleküls bei der Substitution des Hydroxylwasserstoffes. Die einzige nicht ganz sichere Zuordnung betrifft die Banden bei 690 und 725 cm^{-1} , sowie zwei von den Autoren nicht beobachtete Frequenzen. Diese vier Frequenzen gehören zu den symmetrischen und antisymmetrischen Deformationsschwingungen um die Winkel an der Kohlenstoff-Sauerstoffbindung. Den Isotopeneffekt für zwei von diesen haben wir schon berücksichtigt durch die Annahme der freien Rotation der Hydroxylgruppe. Für die anderen wollen wir den beobachteten Frequenzunterschied von je 15 cm^{-1} für die Isotopenverschiebung einsetzen. Den wesentlichen Beitrag liefert natürlich die *O*-*H*-Valenzschwingung mit 980 cm^{-1} . Für die Summe aller Isotopenverschiebungen findet man: 1035 cm^{-1} . Beim Wasser betrug die entsprechende Differenz 1041 cm^{-1} . Dem 6 cm^{-1} -Unterschied entsprechen 8.5 cal, d. h. $\Delta E^0 = +8.5$ cal, d. h. der *e*-Faktor ist praktisch gleich 1 für normale Temperaturen. Es wird:

$$K \approx \left(\frac{18}{19}\right)^{3/2} \cdot \frac{1}{1.7} \cdot \frac{1}{2} \cdot 2 \approx 0.54; \quad V \approx 1.08^2).$$

1) BARTHOLOMÉ, E. und SACHSSE, H. loc. cit., vgl. besonders Tabelle 1, S. 44.

2) Korrigiert man diesen Wert der Gleichgewichtskonstanten noch durch einen Faktor, der die Temperaturanregung der Schwingungen berücksichtigt, der hier wegen der Kenntnis aller Eigenfrequenzen der beteiligten Moleküle leicht berechnet werden kann, so ändert dieses den Wert von *K* nur um einige Zehntel Prozent. Dies zeigt, daß dieser Faktor mit Recht bei der Berechnung der Gleichgewichtskonstanten nicht berücksichtigt zu werden braucht.

Wir finden also speziell für den Methylalkohol keinen ganz so großen Verteilungsquotienten, wie er für die übrigen Substanzen beobachtet wurde. Aber auch unser Resultat bedeutet eine Anreicherung bei der Hydroxylgruppe. Bezüglich der Temperaturabhängigkeit des Gleichgewichts wollen wir nur feststellen, daß sie wahrscheinlich sehr klein ist. Ihr Vorzeichen ist unbestimmt, da der Wert von 8.5 cal zu sehr innerhalb der möglichen Fehler unserer Abschätzung liegt. Bei höheren Kohlenwasserstoffen können, da die Schwingungen der Hydroxylgruppe sich bekanntlich in der Kette fortsetzen¹⁾, stärkere Isotopeneffekte in der Kette sowohl die Temperaturabhängigkeit als auch die Gleichgewichtskonstante verändern, letzteres wahrscheinlich so, daß sie etwas größer wird, also den beobachteten Werten näher kommt.

§ 8. Wir wollen nun noch einmal die Ergebnisse der Arbeit zusammenfassen. Bei vielatomigen Molekülen, wobei besonders an organische Moleküle wie Benzol, Aceton usw. gedacht ist, bleiben die Massen und Trägheitsmomente bei der Substitution von isotopen Atomen praktisch ungeändert. Hieraus folgt, daß beim Deuteriumaustausch vielatomiger Moleküle untereinander die Deuteriumverteilung nur von den Isotopeneffekten der Schwingungen beeinflusst wird. Sind diese Isotopeneffekte bei beiden Austauschpartnern gleich, wie man es für den Austausch „gleichberechtigter“ Wasserstoffatome untereinander, also z. B. solchen, die bei beiden Austauschpartnern entweder alkoholischen Hydroxylgruppen oder aliphatischen oder aromatischen Kohlenstoffbindungen angehören, erwarten darf, so hat der Verteilungsquotient den Wert 1.

Ist ein Molekül mit „wenigen“ Atomen an dem Austausch beteiligt, so wird das Gleichgewicht außer von den Schwingungsisotopeneffekten auch noch durch den Isotopeneffekt der gesamten Masse und der Trägheitsmomente dieses Moleküls gemäß Formel (2) beeinflusst. Die Anwendung auf experimentell untersuchte Fälle lieferte folgende Resultate:

1. Für den Austausch zwischen Benzol und Salzsäure ist der experimentelle Wert des Verteilungsquotienten

$$V = \frac{D/H \text{ im Benzol}}{D/H \text{ in Salzsäure}} = 1.6$$

beobachtet worden. Auf Grund der Überlegungen dieser Arbeit wird gefunden

$$V = 1.7_3,$$

¹⁾ BARTHOLOMÉ, E. und TELLER, E., loc. cit.

d. h. der schwere Wasserstoff ist beim Benzol erheblich angereichert. Die Temperaturabhängigkeit des Gleichgewichtes ist so, daß mit steigender Temperatur die Anreicherung beim Benzol zugunsten der Gleichverteilung des Deuteriums abnimmt.

2. Für den Austausch Aceton-Wasser ist für die Substitution des ersten H -Atoms im Aceton der experimentelle Verteilungsquotient

$$V = \frac{D/H \text{ im Aceton}}{D/H \text{ im Wasser}} = 0.7 \text{ bei Zimmertemperatur, } 0.87 \text{ bei } 80^\circ \text{ C}$$

beobachtet worden.

Wir finden $V = 8.4$ bzw. 8.8 , d. h. übereinstimmend mit dem Experiment eine Anreicherung des Deuteriums beim Wasser. Die Temperaturabhängigkeit ist so, daß mit steigender Temperatur die Anreicherung im Wasser noch zunimmt. Es ist nicht unwahrscheinlich, daß für alle aliphatischen $C-H$ -Bindungen ähnliches gilt.

3. Für den Austausch Hydroxylgruppe-Wasser wird der experimentelle Verteilungsquotient

$$V = \frac{D/H \text{ in der Hydroxylgruppe}}{D/H \text{ im Wasser}} = 1.2 \text{ bis } 1.3$$

beobachtet.

Wir finden für Methylalkohol $V \sim 1.1$, d. h. übereinstimmend mit dem Experiment eine Anreicherung bei der Hydroxylgruppe. Die Temperaturabhängigkeit ist sehr klein und von bisher unsicherem Vorzeichen.

Aus den Verteilungsquotienten erhält man auf die in den §§ 3 und 4 angegebene Weise eine ungefähre Gleichgewichtskonstante für jede Teilreaktion.

Herrn Prof. BONHOEFFER danke ich für sein großes Interesse an dieser Arbeit und zahlreiche anregende Diskussionen und Ratschläge. Ebenso bin ich Herrn Dr. FÖRSTER für Unterhaltungen und Ratschläge zu Dank verpflichtet. Auch Herrn Dr. BARTHOLOMÉ (Göttingen), habe ich für eine Diskussion zu danken.

Leipzig, Physikalisch-chemisches Institut der Universität.
August 1936.

Röntgenographische Untersuchungen im System *Mn-Sb*.

Von

F. Halla und H. Nowotny.

(Eingegangen am 10. 8. 36.)

Zu der bereits bekannten Phase *MnSb* mit Nickelarsenidstruktur tritt noch eine tetragonale, *Mn₂Sb*, die mit den Phasen *Fe₂As* und *Cu₂Sb* isomorph ist.

1. Die auftretenden Phasen wurden identifiziert durch Pulveraufnahmen an Proben analytisch¹⁾ ermittelter Zusammensetzung, die in Kokillen ausgegossen worden waren. Die Existenzbereiche sind aus der Tabelle 1 zu entnehmen.

Tabelle 1. Zusammensetzung, Dichte und quadratische Form *Q* verschiedener *Mn-Sb*-Legierungen.

Vers. Nr.	% Sb		Phase	$Q = 10^3 \sin^2 \theta$ für <i>CuKα</i>	
Gew.	At.				
—	100	100	<i>Sb</i>		(6'69)
U 20	83'6	69'6	<i>Sb + MnSb</i>	<i>MnSb</i> : $46'5 (h^2 + hk + k^2) + 17'75 l^2$	$> 6'75$ ²⁾
U 21	63'6	44'1	<i>MnSb</i>	$46'5 (h^2 + hk + k^2) + 17'75 l^2$	—
U 24	58'0	38'4	<i>MnSb</i>	$45'5 (h^2 + hk + k^2) + 18'25 l^2$	—
U 22	56'4	36'8	<i>MnSb + wenig Mn₂Sb</i>	$44'3 (h^2 + hk + k^2) + 18'26 l^2$	6'58
				<i>Mn₂Sb</i> : $35'3 (h^2 + k^2) + 14'0 l^2$	
U 7	56'2	36'6	<i>MnSb + Mn₂Sb</i>	$35'75 (h^2 + k^2) + 14'0 l^2$	6'40
U 8	46'7	28'3	<i>Mn₂Sb + wenig MnSb</i>	$36'0 (h^2 + k^2) + 13'8 l^2$	6'61
U 5	35'8	20'1	<i>Mn₂Sb + β-Mn</i>	$35'4 (h^2 + k^2) + 13'4 l^2$	6'61
—	0	0	β -Mn		(7'3)

Auf die Dichtewerte ist weniger Gewicht zu legen, da sie sich im Laufe der Zeit beträchtlich ändern (Vergütungserscheinungen), ähnlich wie im System *Zn-Sb*³⁾.

Die Übereinstimmung mit dem Phasendiagramm nach WILLIAMS⁴⁾ ist vollkommen, wenn man die Phase *MnSb* mit der Kristallart VI und *Mn₂Sb* mit V identifiziert, höchstens daß nach unserem

¹⁾ Bromatverfahren nach GYÖRY. Durchführung nach OESTERHELD und HONEGGER, Helv. chim. Acta **2** (1919) 398. ²⁾ Aus den röntgenographischen Daten berechnet sich 6'88.

³⁾ HALLA, F., NOWOTNY, H. und TOMPA, H., Z. anorg. allg. Chem. **214** (1933) 196. ⁴⁾ WILLIAMS, Z. anorg. allg. Chem. **55** (1907) 3.

Befund der Inhomogenitätsbereich VI+V um einige Atomprozent nach der *Mn*-Seite hin erweitert werden muß.

Die Tatsache, daß langsam gekühlte Proben sich von abgeschreckten gleicher Zusammensetzung gittermäßig nicht unterscheiden, bestätigt den bereits aus magnetischen Messungen¹⁾ gezogenen Schluß, daß die Haltepunkte zwischen III und V bzw. zwischen IV und VI nichts anderes als CURIE-Punkte dieser bekanntlich ferromagnetischen Legierungen sind.

Zwei Legierungen, die entsprechend den Formeln *MnSb* bzw. *Mn₃Sb₂* zusammengeschmolzen waren, hat OFTEDAL²⁾ untersucht. Die von ihm in beiden Fällen gefundenen *Q*-Werte gehören offenbar dem Homogenitätsbereich ein und derselben Phase *MnSb* an und stimmen mit unseren Werten vorzüglich überein.

2. Die Phase *Mn₂Sb*.

Die aus dem Pulverdiagramm folgenden Werte für die Abmessungen der Elementarzelle sind in Tabelle 2 denen der analog gebauten Phasen *Fe₂As* (ϵ -Phase) und *Cu₂Sb* gegenübergestellt.

Tabelle 2.
Abmessungen der Elementarkörper isomorpher Phasen in Å.

Phase	Beob.	Krist. System	<i>a</i>	<i>b</i>	<i>c</i>	<i>c/a</i>
<i>FeAs</i>	3)	rhombisch, fast <i>NiAs</i>	3·366	6·016	5·428	1·61
<i>MnAs</i>	4)	<i>NiAs</i> -Str.	3·716		5·704	1·535
<i>MnSb</i>	2)	<i>NiAs</i> -Str.	4·12		5·784	1·404
<i>Cu₂Sb</i>	5)	tetragonal	3·992		6·091	1·52
<i>Fe₂As</i>	3)	tetragonal	3·627		5·973	1·647
<i>Mn₂Sb</i>	H. u. N.	tetragonal	4·09		6·64	1·62

Wie im analogen Falle HÄGG (loc. cit.), so war es auch uns möglich, an einem Kriställchen durch eine LAUE-Aufnahme nach (001) und durch Drehkristallaufnahmen mit *FeK α* -Strahlung um diese Richtung und um [530]⁶⁾ die LAUE-Symmetrie *D*_{4h} und die erforder-

1) HONDA, K. und ISHIVARA, Tohoku Rep. **6** (1917) 9 (vgl. Int. Crit. Tables VI. S. 408. 2) OFTEDAL, I., Z. physik. Chem. (A) **128** (1927) 142. 3) HÄGG, G., Nova Acta Reg. Soc. Sci. Upsaliensis (4) **7** (1934) Nr. 1. 4) ALSÉN, N. und OFTEDAL, I., Z. physik. Chem. (A) **132** (1928) 208. 5) ELANDER, M., HÄGG, G. und WESTGREN, A., Arkiv f. Kemi (B) **12** (1935) Nr. 1. 6) Diese ausgefallene Drehrichtung ergab sich beim Einstellen einer Kristallkante in der am besten ausgebildeten Ebene (001). Die Interferenzen (acht Schichtlinien) waren durch die qu. F. $\sin^2 \theta \cdot 10^3 = 56 \cdot 0 (h^2 + k^2) + 21 \cdot 7 l^2$ mit Abweichungen < 0·5 % darstellbar.

liche Flächenstatistik zu erhalten. Außer den in Tabelle 3 verzeichneten Interferenzen traten in den Drehkristallaufnahmen noch folgende auf: (003), (121), (113), (004), (114), (123), (214) und (005).

Tabelle 3. Pulveraufnahme von Mn_2Sb mit $CuK\alpha$ -Strahlung.
Vergleich der geschätzten und berechneten Intensitäten.

Index	Int. gef.	Int. ber.	$\sin^2 \theta$
101	ss	6	49·1
002	ss	1	55·0
110	s	8·4	72·0
111	s	8·6	86·0
112	st	20·8	128·4
200	m	10·6	144·6
103	ss	7·4	162·2
202	ss, d	0·3	197·7
203	s	4·6	270·7
220	s	3·5	290·3
213	ss	0·5	305·4
222	ss	0·8	340·5
204	ss	1·6	367·2
312	s	5·9	418·3

Nimmt man an, daß

a) systematische Auslöschungen überhaupt fehlen, dann sind \mathcal{C}_{4r}^1 , \mathfrak{B}_d^1 , \mathfrak{D}_4^1 , \mathfrak{D}_{4l}^1 als Raumgruppen möglich.

b) Sind nur die $(u00)$ ausgelöscht, so ergeben sich die Raumgruppen \mathfrak{B}_d^3 , \mathfrak{D}_4^2 .

c) Sind die $(hk0)$ für $h+k=u$ ausgelöscht, so bleibt nur \mathfrak{D}_{4h}^7 .

Innerhalb der ziemlich umfänglichen Flächenstatistik findet sich keine Interferenz, die der Bedingung c) widersprechen würde, obwohl in den genannten Drehkristallaufnahmen solche prinzipiell möglich wären. Damit ergibt sich \mathfrak{D}_{4h}^7 als Raumgruppe, in Übereinstimmung mit dem Befunde¹⁾ bei Cu_2Sb und Fe_2As . Wegen der Nähe der Ordnungszahlen von Cu und Mn ist dann auch eine gleichartige Reihung der Intensitäten zu erwarten, und diese ist tatsächlich vorhanden²⁾.

Wir haben demnach auch hier je 2 Mn in die beiden zweizähligen Punktlagen a) und c) unterzubringen und 2 Sb in eine weitere Punktlage c). Berechnen wir mit den für Cu_2Sb gültigen Parametern $u=0\cdot27$

¹⁾ Siehe Anm. 5, S. 142. ²⁾ Vor allem ist in beiden Fällen (112) die stärkste Linie.

und $v = -0.30$ die Intensitäten, so erhalten wir die in Tabelle 3 angegebenen Werte, die dieselbe Reihenfolge wie die geschätzten zeigen.

Aus der quadratischen Form¹⁾ ergeben sich nunmehr die genaueren Abmessungen des Elementarkörpers $a = 4.08$, $c = 6.56$ Å und als interatomare Abstände (analog Table 3, S. 4 in Anm. 5, S. 142) die in Tabelle 4 angegebenen Werte.

Tabelle 4. Interatomare Abstände in Mn_2Sb .

Hervorgehobenes Atom	Umgeben von	Im Abstand (Å)
<i>Cu</i> in a)	4 <i>Cu</i> in a)	2.88
	4 <i>Cu</i> in c)	2.70
	4 <i>Sb</i> in c)	2.83
<i>Cu</i> in c)	4 <i>Cu</i> in a)	2.88
	4 <i>Sb</i> in c)	2.82
	1 <i>Sb</i> in c)	2.79

¹⁾ Siehe Anm. 6, S. 142.

Wien, Institut für physikalische Chemie an der Technischen Hochschule.
August 1936.

Die Refraktion in Lösungen.

V. Die vollständige Refraktionskurve von Harnstoff¹⁾.

Von

J. M. Scherschewer und A. E. Brodsky.

(Mit 2 Figuren im Text.)

(Eingegangen am 10. 8. 36.)

Die vorliegende Arbeit stellt die Fortsetzung der früher erschienenen Arbeiten über die Refraktion in Lösungen dar. Es wurde die vollständige Refraktionskurve des Harnstoffes im Konzentrationsbereich zwischen 0'003 und 4'1 norm. aufgestellt. Die Refraktionskurve von Harnstoff ist sehr ähnlich der eines Elektrolyten. Die n_D - und n_F -Kurven zeigen im Gegensatz dazu einen wesentlichen Unterschied gegen die entsprechenden Kurven eines Elektrolyten.

Die scheinbare Molrefraktion der gelösten starken Elektrolyte ändert sich in konzentrierten Lösungen ungefähr linear mit der Konzentration. In verdünnten Lösungen geht aber in vielen Fällen die Refraktion durch ein Maximum, um darauf rasch bis auf den Grenzwert R_0 , welcher der unendlichen Verdünnung entspricht, zu fallen.

Wir haben früher die Vermutung ausgesprochen, daß ein solcher Gang der Refraktion mit der Konzentration der Wirkung der Ionenfelder zuzuschreiben sei. Die Richtigkeit dieser Annahme ist durch den Vergleich mit Nichtelektrolyten direkt prüfbar. Solche vergleichende Messungen können auch zur Prüfung der Richtigkeit mancher Schlüsse beitragen, welche oft über den Zustand gelöster Elektrolyte aus der Gestalt der Refraktionskurve gezogen wurden.

Als Beispiel eines Nichtelektrolyten wurde Harnstoff (von Kahlbaum) gewählt. Seine Reinheit wurde an dem Schmelzpunkt und dem Wassergehalt geprüft.

Die Brechungsindices der Harnstofflösungen wurden zwischen 0'0033 bis 4'08 norm. gemessen. Bis 0'24 norm. wurde das Interferometer nach dem in (I) und (II) beschriebenen Verfahren (Messungen

¹⁾ I.: BRODSKY, A. E. und SCHERSCHEWER, J. M., Z. physik. Chem. (A) **155** (1931) 417. II.: BRODSKY, A. E. und FILIPPOVA, N. S., Z. physik. Chem. (B) **26** (1933) 399. III.: BRODSKY, A. E. und SCHERSCHEWER, J. M., Z. physik. Chem. (B) **26** (1933) 412. IV.: BRODSKY, A. E. und FILIPPOVA, N. S., Z. physik. Chem. (B) **31** (1936) 227. Weiter unten mit (I), (II), (III) und (IV) bezeichnet.

haft, ob man aus der Gestalt der Refraktionskurven direkte Schlüsse über den Dissoziationsgrad der Elektrolyte in Lösungen ziehen kann. Auch die von uns früher als plausibel vorgeschlagene Möglichkeit, den Gang dieser Kurven einfach durch die Wechselwirkung von Ionenfeldern zu erklären, muß revidiert werden.

Da die Δd -Messungen für Harnstoff nur bis auf $1 \cdot 10^{-6}$ genau sind, ist die Genauigkeit von Φ nicht größer als $2 \cdot 10^{-4}/C^1$). Somit ist der Gang von Φ und von R unterhalb $C = 0.04$ nicht sicher, ganz

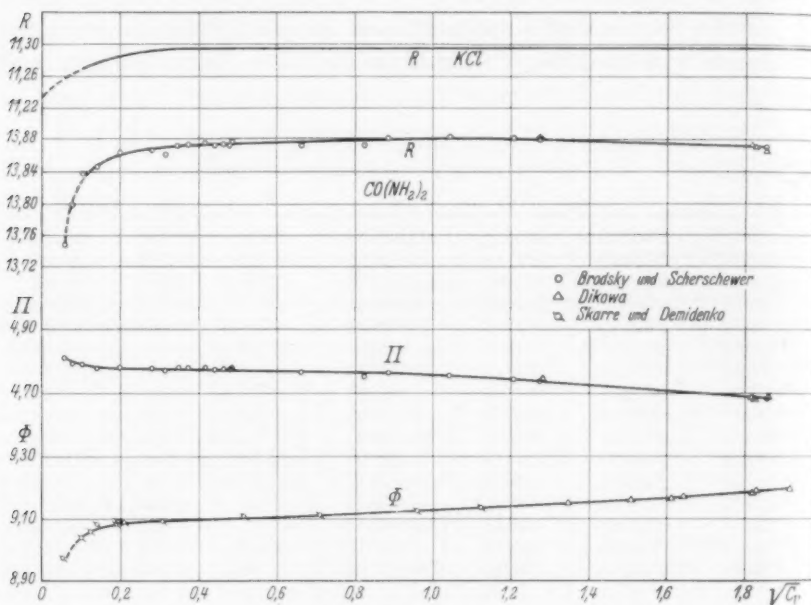


Fig. 1.

abgesehen von möglichen systematischen Fehlern, welche durch basische Beimischungen (z. B. von gelöstem Glas), die mit Harnstoff reagieren, hineingebracht werden können. Von dieser Unsicherheit sind alle drei Kurven für KCl frei.

Im Gegensatz zu den R -Kurven, zeigen die Φ - und II -Kurven von Harnstoff und Kaliumchlorid charakteristische Unterschiede.

In erster Näherung kann man $R = \Phi + II$ als Konzentrations-unabhängig annehmen. In dieser Näherung verlaufen also die Φ - und II -Kurven symmetrisch zueinander, und wir können uns mit der Dis-

¹⁾ Die II -Kurve ist mit einem Messungsfehler von nur $6 \cdot 10^{-5}/C_r$ behaftet.

kussion der Φ -Kurve begnügen, deren physikalischer Sinn einfacher ist (scheinbares Molvolumen, mit $r_0 = \text{const}$ multipliziert).

Die Φ -Kurve von KCl folgt der theoretischen Beziehung für starke Elektrolyte: $\Phi = A + B\sqrt{C_v}$ mit der richtigen Größe von B (0.49 statt 0.38 nach der Theorie von DEBYE und HÜCKEL). Die w -Kurve von Harnstoff, wo die Ionenfelder abwesend sind, zeigt nicht den für starken Elektrolyten charakteristischen linearen Gang

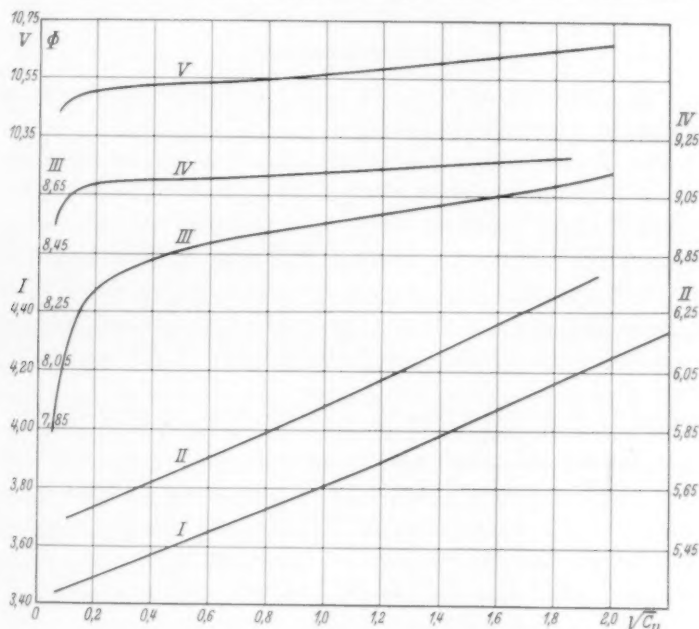


Fig. 2.

I $NaCl$. II KCl . III Weinsäure. IV Harnstoff. V Essigsäure.

mit $\sqrt{C_v}$. Sie steigt im Gebiete von $C = 0.04$ bis 4.0 nur um 0.11 cm^3 , statt 0.83 cm^3 für KCl . Bei kleinen Konzentrationen ist ein starker Abfall zu bemerken, dessen Unsicherheit aber oben erwähnt ist.

Schätzungsweise werden in Fig. 2 die Kurven für mehrere starke Elektrolyte, schwache Elektrolyte und Nichtelektrolyte verglichen. Für Essigsäure und Weinsäure sind die Messungen von KOHLRAUSCH und HALLWACHS¹⁾ benutzt, für $NaCl$ ²⁾ und KCl ³⁾ die von SHIBATA

¹⁾ KOHLRAUSCH, F. und HALLWACHS, W., Wied. Ann. **53** (1894) 14.

²⁾ HÖLLEMAN, P. und KOHLER, H., Z. physik. Chem. (B) **13** (1931) 338.

³⁾ SHIBATA, Z. und HÖLLEMAN, P., Z. physik. Chem. (B) **13** (1931) 347.

und HÖLEMANN und von GEFFCKEN und PRICE¹⁾. Die ersten sind nicht ganz sicher, obwohl die Messungen von KOHLRAUSCH und HALLWACHS genau durchgeführt zu sein scheinen. Der verschiedene Verlauf der Φ -Kurven für die starken Elektrolyte, schwachen Elektrolyte und Nichteurolyte ist sehr ausgeprägt.

Die Untersuchungen der R -Kurven von Nichteurolyten und Messungen in nichtwässerigen Lösungen sind in unserem Laboratorium im Gange.

Schlußfolgerungen.

1. Die Refraktionskurve von Harnstoff wird in einem großen Konzentrationsgebiet aufgenommen.

2. Der Verlauf der Refraktionskurven von starken Elektrolyten (KCl) und Nichteurolyten (Harnstoff) ist sehr ähnlich. Man kann also nicht direkte Schlüsse über den Zustand der Elektrolyte in Lösungen allein aus der Gestalt der Refraktionskurve ziehen.

3. Im Gegensatz dazu zeigen in beiden Fällen die Kurven des scheinbaren Molvolumens charakteristische Unterschiede, welche den theoretischen Erwartungen entsprechen.

¹⁾ GEFFCKEN, W. und PRICE, D., Z. physik. Chem. (B) **26** (1934) 81.

Ukrainisches Institut für physik. Chemie und Lab. für physik. Chemie des Chem.-Techn. Institutes in Dnepropetrowsk (U.S.S.R.).

3. Juli 1936.

Erkl
wese
Eise
Eis
wass

wur
was
fere
liche
nehr
Was
mole
Schi
die

„dal
DEB
mein
die
die

haft,
Inter
besti

MELJE
MELJE
J. C. I

Zur Frage der Struktur der Wasserhülle bei Micellen organischer Kolloide.

Von

K. Hess und J. Gundermann.

(Aus dem Kaiser Wilhelm-Institut für Chemie, Berlin-Dahlem.)

(Mit 1 Figur im Text.)

(Eingegangen am 2. 9. 36.)

Die von N. H. KOLKMEIJER, A. N. J. HEYN und J. C. L. FAVEJEE gegebene Erklärung der Röntgendiagramme von Cellulose und Stärke, nach der diese im wesentlichen durch eine die Micelle umgebende Wasserhülle von der Struktur des Eises bedingt seien, wird auf Grund eines Vergleiches der Faserdiagramme von Eis und Cellulose sowie des Vergleiches von Röntgendiagrammen wasserfreier und wasserhaltiger Cellulosefasern abgelehnt.

Von N. H. KOLKMEIJER, A. N. J. HEYN und J. C. L. FAVEJEE¹⁾ wurde darauf hingewiesen, daß das DEBYE-SCHERRER-Diagramm von wasserhaltiger Stärke, Cellulose, Agar und Gummiarabikum Interferenzen enthält, die der Lage nach mit den Interferenzen des gewöhnlichen Eises übereinstimmen. Zur Erklärung der Übereinstimmung nehmen die Autoren an, daß das an der Micelloberfläche adsorbierte Wasser infolge der elektrischen Ladung der Micelloberfläche eine polymolekulare Schicht orientierter Wassermolekeln — die „konkrete Schicht“ nach H. R. KRUYT²⁾ — um die Micelle herum ausbildet, die in ihrem Bau dem Gitter des gewöhnlichen Eises entspricht.

N. H. KOLKMEIJER und Mitarbeiter kommen zu der Folgerung, „daß mindestens der größere Teil — vielleicht beinahe alle — der DEBYE-SCHERRER-Linien von einigen der genannten Substanzen (gemeint sind Cellulose, Stärke und ähnliche Substanzen) nicht durch die Kristallstruktur der Substanz selbst veranlaßt ist, sondern durch die Kristallstruktur der die Micelle umgebenden Wasserhaut“.

Im besonderen erscheint es KOLKMEIJER und HEYN zweifelhaft, daß die für die Gitterbestimmungen der *Cellulose* herangezogenen Interferenzen tatsächlich der Cellulose entsprechen, da alle zur Gitterbestimmung herangezogenen Interferenzlinien mit Interferenzen des

¹⁾ KOLKMEIJER, N. H. und FAVEJEE, J. C. L., *Nature* **132** (1933) 602. KOLKMEIJER, N. H. und HEYN, A. N. J., *Proc. Acad. Amsterdam* **37** (1934) 92. KOLKMEIJER, N. H. und FAVEJEE, J. C. L., *Z. Kristallogr. (A)* **88** (1934) 226. FAVEJEE, J. C. L., Diss. Utrecht 1935. ²⁾ KRUYT, H. R., *Colloids*, New York 1930. S. 180.

Eises nahe zusammen fallen. Geringe Abweichungen der Interferenzlagen im Diagramm der Cellulose bzw. Stärke von denen des Eises werden einerseits durch Deformation des Eisgitters durch das starke elektrische Feld der Micelloberfläche, andererseits durch eine mit der Entfernung von der Micelloberfläche abnehmende Ordnung der Moleküllagen in der Wasserhaut erklärt.

Bei *Stärke* sehen die Autoren einen Beweis ihrer Auffassung in der Erscheinung, daß beim Trocknen von wasserhaltiger Stärke gerade die Interferenzlinien verschwinden, die sie als Eislinien ansprechen und daß bei Temperatursteigerung von feuchter Stärke diese Linien an Intensität abnehmen.

Da die Beweisführung, die zu dieser Vorstellung führt, nicht zwingend ist und zahlreiche Erfahrungen dieser Auffassung widersprechen, können die Ausführungen von KOLKMEIJER und Mitarbeitern nicht unwidersprochen bleiben, zumal die Richtigkeit der Vorstellung zu weitgehenden Folgerungen für das gesamte in Frage stehende Gebiet führen würde¹⁾.

Während Stärke²⁾ bei einem Wasserdampfdruck von 15.5 mm (18°) 20.8 bis 24.5% Wasser aufnimmt, findet man³⁾ bei natürlichen Cellulosefasern 6 bis 8%, bei Hydratcellulose 12 bis 14% Wasser. Die beiden Kohlenhydrate unterscheiden sich grundsätzlich darin, daß das Röntgendiagramm der Cellulose beim Trocknen der Fasern keine Änderung in Lage und Schärfe der Interferenzen gegenüber den wasserhaltigen Fasern zu erkennen gibt, während Stärke nach den Feststellungen von J. R. KATZ und J. C. DERKSEN⁴⁾ dabei in eine Substanz übergeht, deren Röntgeninterferenzen je nach der Intensität des Trocknens sich mehr oder weniger stark verändern. Ferner hat J. R. KATZ⁵⁾ festgestellt, daß besonders bei höherem Wassergehalt die bei gewöhnlicher Temperatur beständigen Stärkemodifikationen bei höherer Temperatur in eine Form übergehen, die ein von dem ursprünglichen Diagramm verschiedenes Röntgenbild zeigen („Verkleisterungsspektrum“, „I-Spektrum“).

¹⁾ Man vgl. bereits die Berücksichtigung der Angaben von KOLKMEIJER und HEYN bei MEYER, M. und FREY-WYSSLING, A., *Helv. chim. Acta* **18** (1935) 1434.

²⁾ Vgl. SAMEC, M., *Kolloidchemie der Stärke*. Dresden 1927. S. 116. ³⁾ Vgl. z. B.: SHEPPARD, S. E. und NEWSOME, P. T., *Ind. Eng. Chem.* **26** (1934) 285 (Fig. 1).

⁴⁾ KATZ, J. R. und DERKSEN, J. C., *Z. physik. Chem. (A)* **150** (1930) 103. ⁵⁾ KATZ, J. R., *Z. physik. Chem. (A)* **150** (1930) 37, sowie die nachfolgenden Abhandlungen.

Während sich demnach bei den Versuchen, die von KOLKMEIJER und FAVEJEE bei Stärke als Beweismaterial der in Frage stehenden Hypothese herangezogen werden (Trocknung der Stärke sowie Temperatursteigerung bei Gegenwart von Wasser) komplizierte Vorgänge abspielen, liegen die Verhältnisse in dieser Hinsicht bei Cellulose wesentlich übersichtlicher. Wir haben daher zunächst nach den Eisinterferenzen im Röntgendiagramm der Cellulose gesucht.

Bei Vollaufnahmen von Cellulosefasern müßten bei ungeordneter Einlagerung des „Eises“ die DEBYE-SCHERRER-Kreise des Eises auftreten. Da keinerlei Andeutung von DEBYE-SCHERRER-Interferenzen in den Faserdiagrammen der Cellulose erkennbar ist, käme nur eine gerichtete Einlagerung in Frage, die sich in der Ausbildung eines Faserdiagramms des Eises äußern sollte.

Nimmt man die von W. H. BARNES¹⁾ für Eis erneut festgestellten Gittermasse an (orthohexagonale Zelle: $a = 4.535 \text{ \AA}$, $b = a \sqrt{3} = 7.845 \text{ \AA}$, $c = 7.41 \text{ \AA}$), so ergibt sich, daß dieses Gitter eine Periode von 10.3 \AA wie sie für die Faserperiode der Cellulose gilt, überhaupt nicht besitzt.

Zieht man entsprechend der Betrachtung der holländischen Autoren für den Vergleich von Eis und Cellulose lediglich die ϑ -Werte der DEBYE-SCHERRER-Diagramme heran, so ergeben sich die in Tabelle 1 wiedergegebenen Verhältnisse, wobei die ϑ -Werte aus den oben angegebenen Gittermaßen von W. H. BARNES errechnet wurden. Danach besteht zwar für einige ϑ -Werte von Eis und natürlicher Cellulose bzw. Hydratcellulose eine mehr oder weniger weitgehende Übereinstimmung (in der Tabelle durch Fettdruck hervorgehoben), für die größte Zahl der Interferenzen kann aber von einer Übereinstimmung keine Rede sein. Außerdem handelt es sich in den Fällen, in denen Übereinstimmung der ϑ -Werte besteht, meist noch um Reflexe sehr verschiedener Intensität. Es dürfte kaum zweifelhaft sein, daß die bemerkte Übereinstimmung rein zufälliger Natur ist. Irgendwelche Folgerungen aus dem Vergleich von DEBYE-SCHERRER-Diagrammen, die nur in so wenigen ϑ -Werten Übereinstimmung zeigen, sind unbedingt abzulehnen, und besonders dann, wenn wie im vorliegenden Fall von den verglichenen Substanzen Faserdiagramme bekannt sind, die sicher grundsätzlich verschieden sind.

Zur weiteren Prüfung der Hypothese der holländischen Forscher wurden Cellulosefasern verschiedenen Wassergehaltes unter ver-

¹⁾ BARNES, W. H., Proc. Roy. Soc. London (A) **125** (1929) 670.

strömendem Wasserstoff praktisch völlig entwässert worden sind, Streifen 2 dem gleichen Präparat im lufttrockenen Zustand (d. h. dem Präparat vor der Trocknung, enthaltend 6% Wasser), Streifen 3 derselben Faser mit etwa 30% Wasser und Streifen 4 dem Äquator des Röntgendiagramms von Fasern, die mit Wasser bedeckt aufgenommen wurden.

Aus Fig. 1 geht zunächst hervor, daß die für Cellulose besonders charakteristischen Äquatorinterferenzen völlig unabhängig von dem Wassergehalt der Fasern sind, im besonderen, daß die bei 155° bis 160°

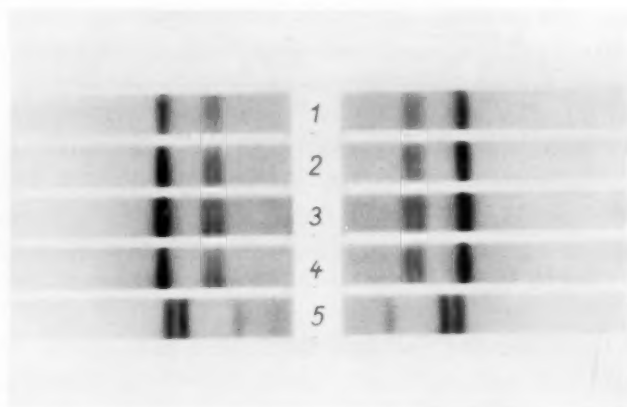


Fig. 1. Röntgenfaseraufnahmen (Äquator, Verschiebekamera, vergleichbare Aufnahmebedingungen) von Ramie-Fasern verschiedenen Wassergehaltes. Nr. 1: Wasserfrei, Fasern getrocknet im Wasserstoffstrom bei 155 bis 160°. Nr. 2: Lufttrockene Fasern (6 bis 7% H_2O). Nr. 3: Befeuchtete Ramie (etwa 30% H_2O). Nr. 4: Ramie unter Wasser aufgenommen. Nr. 5: Merzerisierte Ramie, lufttrocken.

getrockneten und dementsprechend gänzlich wasserfreien, also auch kein „Eis“ enthaltenden Fasern dieselben Äquatorinterferenzen wie die mit Wasser bedeckten Fasern zeigen. Dasselbe gilt auch für die übrigen Interferenzen der Diagramme, wie aus Vollaufnahmen hervorgeht, auf deren Wiedergabe aus Raumangel verzichtet wird.

Zusammenfassend ergibt sich aus dem Vergleich der Röntgeninterferenzen von Eis und von Cellulose sowie den Interferenzen wasserhaltiger Fasern und wasserfreier Fasern, daß die von KOLKMEIJER und Mitarbeitern gezogene Schlußfolgerung, nach der ein wesentlicher Teil der Interferenzen der Cellulose durch Interferenzen

der in Form des Gitters von Eis geordneten Wasserhaut um die Micelle herum vorgetäuscht ist, nicht aufrecht erhalten werden kann.

Es ist vielleicht lehrreich, in diesem Zusammenhang auch auf die an sich große Unwahrscheinlichkeit hinzuweisen, daß die die Micelle umgebende Wasserhülle bei lufttrockenen Fasern mehrere Moleküllagen dick ist. Bei der allgemein anerkannten Größe der Cellulosemicelle (30 bis 60 Å dick und etwa 1000 Å [Mindestlänge] lang¹⁾) ergibt sich je Kubikzentimeter kompakter Fasersubstanz eine innere Oberfläche (innere Oberfläche = Summe aller Micelloberflächen) von etwa 600 m². Eine monomolekulare Belegung der Fläche mit Wassermolekülen würde einem Wassergehalt von etwa 7 % (das ist ungefähr $\frac{1}{2} H_2O/1 C_6$) entsprechen²⁾. Da zur Ausbildung einer bereits Röntgeninterferenzen liefernden Schicht („konkrete Wasserhülle“) ein Vielfaches dieser Wassermenge gebunden sein muß (z. B. bei vier Molekülschichten etwa 30 % Wassergehalt der Faser), so geht die Unwahrscheinlichkeit der Eislinienhypothese bereits aus dieser Betrachtung hervor.

Es sei bemerkt, daß nach G. CHAMPETIER³⁾ natürliche Cellulose mit Wasser bedeckt je 1 Mol C_6 $\frac{1}{2}$ Mol Wasser bindet und Hydratcellulose je 1 Mol C_6 etwa 1 Mol Wasser.

Daß im Gitter der Cellulose tatsächlich eine eigene, zahlreiche und scharfe Röntgeninterferenzen erzeugende Molekülanordnung vorliegt, zeigen schließlich auch die zahlreichen gittermäßig gut geordneten Cellulosederivate wie Cellulose-Acetat, -Nitrat, -Propionat, -Methylat usw. sowie die verschiedenen Doppelverbindungen mit Metallbasen, Salzen und organischen Lösungsmitteln, bei denen die Anwesenheit von Wasser nicht in Frage kommt.

Die Widerlegung der Auffassung der holländischen Autoren über die Natur der Interferenzen von Cellulosefasern macht es wahrschein-

¹⁾ Vgl. dazu die erneut durchgeführte Schätzung der Micellgröße bei HESS, K., TROGUS, C., AKIM, L. und SAKURADA, L., Ber. dtsh. chem. Ges. **64** (1931) 417. Ältere Schätzungen: MARK, H. und MEYER, K. H., Z. physik. Chem. (B) **2** (1929) 128. HENGSTENBERG, J., Z. Kristallogr. **69** (1928) 271. ²⁾ Dieser Wassergehalt trifft etwa für lufttrockene Fasern zu. ³⁾ CHAMPETIER, G., Ann. Chim. (10) **20** (1933) 76; ebenso HESS, K., TROGUS, C. und SCHWARZKOPE, O., Z. physik. Chem. (A) **162** (1932) 199. Die von uns angegebene Äquivalenz $1 H_2O/1 C_6$ kommt dadurch zustande, daß bei der Berechnung nicht die Gesamtmenge Cellulose in Betracht gezogen worden ist, sondern richtiger nur die an der Micelloberfläche liegende Cellulose, die entsprechend den Micelldimensionen etwa $\frac{1}{3}$ bis $\frac{1}{2}$ der Gesamtmasse ausmacht.

lich, daß diese Auffassung auch für Stärke nicht zutrifft. Die zum Beweis für diese Auffassung herangezogene Erscheinung, daß die dem Eis möglicherweise zuzuordnenden Interferenzen beim Trocknen teilweise verschwinden, bzw. bei Aufnahmen bei höherer Temperatur in Gegenwart von Wasser schwächer werden, sind ohne weiteres dadurch verständlich, daß das Diagramm der natürlichen Stärke einem Hydrat der Stärke entspricht, das durch Trocknung mehr oder weniger weit zerfällt und unter den Versuchsbedingungen nicht zu rekristallisieren vermag bzw., daß durch Temperaturerhöhung eine Zunahme der Gitterstörungen und damit Abnahme und Verbreiterung der äußeren Interferenzen auftritt. Der Effekt könnte auch noch durch allmählichen Übergang der bei tieferen Temperaturen beständigen Stärkemonifikation in die von KATZ aufgefundene und als verkleisterte Stärke bezeichnete Stärkeform (*V*-Spektrum) erklärt werden. Bei derartigen Übergängen werden die schwächeren Interferenzen verhältnismäßig am stärksten in Mitleidenschaft gezogen, so daß das von KOLKMEIJER und FAVEJEE¹⁾ wiedergegebene Bild auch in diesem Sinne durchaus der Erwartung entsprechen würde.

¹⁾ KOLKMEIJER, N. H. und FAVEJEE, J. C. L., loc. cit., S. 230.

Die Löslichkeit von Deuterium und von Wasserstoff in festem Palladium. II.

Von

A. Sieverts und W. Danz.

(Mit 1 Figur im Text.)

(Eingegangen am 1. 9. 36.)

Die Löslichkeiten von H_2 und D_2 in Palladium wurden zwischen 20° und $350^\circ C$ bei verschiedenen Drucken gemessen. — Die durch kathodische Beladung mit D_2 bewirkte Widerstandserhöhung des Palladiums wurde untersucht.

Die Löslichkeiten von D_2 (und vergleichsweise H_2) in Palladium sind bisher nur zwischen 300° und 1100° gemessen worden¹⁾. Bestimmungen bei tieferen Temperaturen wurden nunmehr an passenden Mengen Palladiummohr durchgeführt. Die Ergebnisse sind für einen Gasdruck von 760 mm in der Tabelle zusammengestellt.

Tabelle 1. L_D und $L_H = \text{cm}^3 D_2(H_2) (NTP)$ gelöst von 100 g Pd bei 760 mm Hg.

$^\circ C$	180	200	220	240	260	280	300		320	340	350	400
L_D	170	156	144	134	128	122	114	(110)	107	104	100	(94)
L_H	—	261	228	208	191	178	168	(164)	159	147	142	(126)
$L_D : L_H$	—	0.60	0.63	0.64	0.67	0.68 ₅	0.68	(0.67)	0.67 ₅	0.71	0.71	(0.74)

Die älteren (eingeklammerten) Werte von ZAPF passen sehr gut in die Reihe.

Von den unterhalb 200° vorhandenen Unterschieden zwischen den Löslichkeiten von D_2 und H_2 geben die 740-mm-Isobaren der Fig. 1 ein deutliches Bild. Der vom System Pd—H hinlänglich bekannte Kurvenverlauf wiederholt sich bei D_2 , aber bei erheblich tieferen Temperaturen. In einem kleinen Temperaturbereich ist die Löslichkeit von H_2 so viel größer als die von D_2 (bei 120° : $60 \text{ cm}^3 H_2$ gegen $3 \text{ cm}^3 D_2/1.00 \text{ g Pd}$), daß eine praktische Ausnutzung dieses Unterschiedes wohl möglich scheint. — Die bisher gemessenen Isothermen bei 80° , 100° und 120° zeigen für D_2 und H_2 entsprechende Verschiedenheiten.

Bei kathodischer „Sättigung“ mit D_2 wächst der elektrische Widerstand des Palladiums um etwa 92% (bei H_2 um 69%); bei

¹⁾ SIEVERTS, A. und ZAPF, G., Z. physik. Chem. (A) **174** (1935) 359. Gemessen wurde mit Palladiumdraht.

„Übersättigung“ mit D_2 (wie mit H_2) sinkt der Widerstand unter den Höchstwert. Das quantitative Verhältnis zwischen der relativen Widerstandserhöhung des Metalls und der von ihm aufgenommenen D_2 -Menge soll noch untersucht werden. Kathodisch mit D_2 beladene

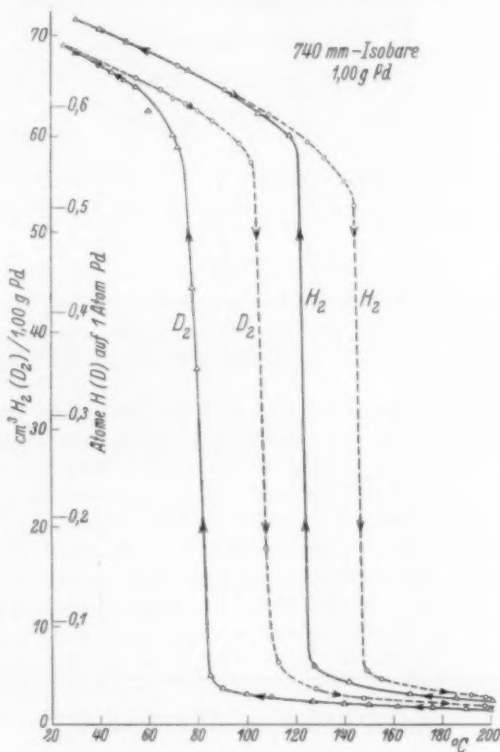


Fig. 1.

Palladiumdrähte gaben die gleichen DEBYE-SCHERRER-Aufnahmen wie die mit H_2 beladenen. Die Gitterkonstanten der einander entsprechenden D - und H -haltigen Phasen sind also gleich oder doch nur sehr wenig voneinander verschieden.

Wir hoffen bald Weiteres über unsere Versuche berichten zu können.

Jena, Chemisches Laboratorium der Universität.

30. August 1936.

An die Herren Mitarbeiter!

Die Herren Verfasser werden im Interesse der von ihnen selbst gewünschten raschen Veröffentlichung ihrer Aufsätze gebeten, die **Korrekturen so bald als irgend möglich zu erledigen** und an den Verlag zurückzuschicken sowie von der Zusendung eines Revisionsabzugs der Korrektur nach Möglichkeit abzusehen.

Die Herausgeber und der Verlag
der Zeitschrift für physikalische Chemie.

Für die Schriftleitung verantwortlich: Professor Dr. Max Bodenstein, Berlin NW 7, Bunsenstraße 1.
Für die Anzeigen verantwortlich: Willi Knof, Mühlhausen i. Th. — Anzeigenpreis laut Preislite Nr. 2.
Verlag: Akademische Verlagsgesellschaft m. b. H., Leipzig C 1, Sternwartenstraße 8.

Druck von Breitkopf & Härtel in Leipzig.

D.-A. III. Vj. 36, 1200.

Die Zähigkeiten von Gasgemischen und ihre Darstellung durch die gaskinetische Mischungsformel.

Von

Erich Schröer.

(Mit 1 Figur im Text.)

(Eingegangen am 1. 8. 36.)

Es wird die aus der kinetischen Gastheorie folgende Formel für die Mischungs-
zähigkeit zweier Gase:

$$\eta_{12} = \frac{\eta_1}{1 + \frac{n_2}{n_1} A_1} + \frac{\eta_2}{1 + \frac{n_1}{n_2} A_2}$$

einer Diskussion unterworfen in bezug auf die Möglichkeiten der Abweichungen von der linearen Mischungscharakteristik, und zwar die Formel als solche, wie auch die Ausdrücke A_1 und A_2 in bezug auf den Einfluß der sie zusammensetzenden Faktoren.

Das experimentelle Material wird einer Überprüfung unter den gewonnenen Gesichtspunkten unterzogen; es wird überall eine qualitative, in der Mehrzahl der Fälle sogar quantitative Übereinstimmung mit der Theorie erzielt. — Die in der theoretischen Diskussion ungewiß gebliebene Beantwortung der Frage, welcher Faktor f vor die Wurzel aus den SUTHERLAND-Konstanten zu setzen ist, konnte mit Zuhilfenahme der neueren LONDONSchen Theorie von der VAN DER WAALSSchen Anziehung, mit $f \approx 0.95$ beantwortet werden; der ältere, niedrigere Wert 0.733 (JUNG und SCHMICK) ist dagegen mit der Erfahrung unvereinbar.

Gründe für die Wirksamkeit von Dipolanziehung konnten im bisher vorliegenden Material nirgends entdeckt werden. Es konnte jedoch gezeigt werden, daß bei zwei Mischungspaaren, deren beide Komponenten Dipolgase sind, geringe Temperatur- und Druckeffekte auftreten, die hierdurch gedeutet werden könnten.

Einleitung.

Vor einiger Zeit teilte ich ein einfaches Verfahren zur Messung von Zähigkeiten mit¹⁾, das auf dem Kugelfall in genau zylindrischen (K-P-G)-Glasrohren beruht, und das unter anderem besonders zur Messung der Zähigkeit sehr aggressiver Gase geeignet sein mußte. Ich habe damit die Zähigkeit der $NO_2-N_2O_4$ -Gasgemischen gemessen, um aus den Mischungskurven die Zähigkeiten der reinen Komponenten durch Extrapolation zu gewinnen. Überraschenderweise ergab sich, daß die Mischungskurve eine Abweichung nach kleineren, als aus der Additivität sich ergebenden Werten, aller Wahrscheinlichkeit nach sogar ein Minimum besitzt. Diese Beobachtung erschien vom sonst bekannten Verhalten so abweichend, daß ich den Entschluß faßte, eine Kontrolle durch eine andere Methode erfolgen zu lassen, bei der zudem eine hier mögliche Komplikation, nämlich eine Kondensation im kapillaren Spalt, vermieden wird; ich werde hierüber demnächst berichten.

¹⁾ Chem. Fabrik 7 (1934) 113.

Beim Literaturstudium fand ich keine direkten Hinweise, daß Gasgemische Minima aufweisen; im Gegenteil findet man meist mehr oder weniger direkt die Ansicht vertreten, daß außer additivem Verlauf nur Abweichungen nach größeren Werten vorkommen können. Jedoch fand ich Zahlenmaterial, das bei der Auswertung Beispiele für Abweichungen nach kleineren Werten liefert, ohne daß die Beobachter diese an sich nicht unwesentliche Tatsache als solche betont hätten¹⁾.

Zur Darstellung der Zähigkeiten der Gasgemische ist von W. SUTHERLAND²⁾ eine aus der kinetischen Theorie der Gase folgende Mischungsformel aufgestellt und von J. P. KUENEN³⁾ weiter entwickelt worden. Da die Ansichten über Wert und Leistungsfähigkeit dieser Formel sehr unterschiedlich sind⁴⁾, erschien eine allgemeinere Diskussion der Gleichung, sowie ein Vergleich mit dem jetzt reichlicher gewordenen Zahlenmaterial angebracht und nützlich zu sein. — In den folgenden Abschnitten I und II wird diese durchgeführt.

I.

Die Vorstellungen der kinetischen Theorie der Gase für kugelförmig vorzustellende Moleküle führen zu einer Theorie der Gaszähigkeit, die bis auf den Faktor, der die Einflüsse der Molekularattraktion enthält (SUTHERLAND-Konstanten), ohne weiteres ungelöste Problematik zu sein scheint, und die zu einer in völliger Übereinstimmung mit der Erfahrung stehenden Formel führt, wenn man diesen Faktor aus der Temperaturabhängigkeit der Zähigkeit und als Temperaturfunktion bestimmt. Eine Ausdehnung der Theorie auf Gasmischungen muß daher — unter gewissen, weiter unten gemachten Vorbehalten — die Zähigkeit dieser Gasmischungen darstellen können.

Die Formel lautet für die Mischungszähigkeit η_{12} der Mischung des Gases 1 (mit der Zähigkeit η_1 und der Molzahl n_1) und des Gases 2 (mit der Zähigkeit η_2 und der Molzahl n_2):

$$\eta_{12} = \frac{\eta_1}{1 + \frac{n_2}{n_1} A_1} + \frac{\eta_2}{1 + \frac{n_1}{n_2} A_2}, \quad (1)^5$$

¹⁾ TRAUTZ und Mitarbeiter, Ann. Physik (5) **2** (1929) 743; **5** (1930) 561.

²⁾ SUTHERLAND, W., Philos. Mag. (5) **40** (1895) 421. ³⁾ KUENEN, I. P., Commun. phys. Lab. Univ. Leiden, Suppl. 34 a.

⁴⁾ TRAUTZ und WEIZEL, Ann. Physik **78** (1925) 357. TRAUTZ und NARATH, Ann. Physik **79** (1926) 664, besonders hegen Zweifel, weil sie nur mit negativen SUTHERLANDschen Konstanten C_{12} auskommen. ⁵⁾ Für η_1 und η_2 sind natürlich auch die theoretischen Formelausdrücke aus der kinetischen Gastheorie einführbar; doch bedeutet dies erstens eine wesentliche Komplizierung des Formelausdruckes, und bringt zweitens die von der Seite der Theorie herrührende noch geringe Unsicherheit der Zahlenfaktoren herein. — Übrigens ist diese Formel nicht die einzige Möglichkeit zu einer Darstellung der Mischungszähigkeiten zu gelangen: vgl. D. ENSROG (Kinetische Theorie

Im Gegensatz zu früheren Feststellungen (siehe S. 177) wird hier die mit steigender Temperatur sich rasch verflachende positive Abweichung nicht durch die Durchmesseränderungen gedeckt. Es ist also möglich, daß hier ein von Dipolen herrührender Effekt vorliegt, zumal auch bei den fraglichen Temperaturen eine ausgesprochene Druckabhängigkeit der Mischungszähigkeit vorhanden ist. — Bei den höheren Temperaturen besteht eine recht geschlossene Anpassung der Ergebnisse an die Werte der Rechnung.

Schluß.

Ich glaube, daß es berechtigt ist, die nachstehenden Schlußfolgerungen zu ziehen:

Es sind bei der Überprüfung des experimentellen Materials und der Vergleichung mit der Mischungsformel aus der kinetischen Theorie der Gase nirgends derartige Abweichungen aufgetreten, daß man von ihrer Unzulänglichkeit sprechen, und daß man andere theoretische Vorstellungen (Theorie der Polymeren und Assoziation von TRAUTZ, WEIZEL und NARATH, Theorie der Dipol-Quadrupolwirkung von JUNG und SCHMICK) heranziehen müßte. Vielmehr ist — soweit sich das übersehen läßt — bei den Mischungen der permanenten Gase eine Übereinstimmung von Theorie und Erfahrung vorhanden, während in den anderen Fällen die Abweichungen nicht sehr erheblich sind und auch die Möglichkeiten, ohne neue Annahmen zu einer besseren Übereinstimmung zu gelangen, noch nicht erschöpft sind. Hierzu bedarf es der Verbesserung des experimentellen Materials, insbesondere einer besseren Kenntnis der SUTHERLAND-Konstanten, bzw. ihrer genauen Temperaturabhängigkeit. Zur Zeit besteht jedenfalls kein Bedenken, in der Mischungsformel eine halbempirische Formel zu sehen, die den Ergebnissen recht befriedigend gerecht wird.

Berlin, Physikalisch-chemisches Institut der Universität.

der Halogene Moleküle der Art Cl_3 und Br_3 bzw. deren Reaktionsprodukte eine wesentliche Rolle spielen¹⁾. Man kann auch ohne größere Schwierigkeiten Reaktionsschemata finden, die, ohne mit derartigen Molekülen zu operieren, zu Gleichungen führen, die den obigen (I) und (II) sehr ähneln¹⁾.

Ferner ist es eine allgemein bekannte Tatsache, daß die Reaktionen der Halogene, zumal wenn sie über lange Ketten verlaufen und als Kettenträger, Atome und Radikale auftreten, bereits gegen Spuren von Verunreinigungen so empfindlich sind, daß hierdurch die Ergebnisse, also insbesondere die Reaktionsgleichungen, weitgehend beeinflußt werden können. Die zahlreichen Untersuchungen von BODENSTEIN und Mitarbeitern über die Chlorknallgasreaktion können hierfür als Schulbeispiel dienen. Die letzteren Untersuchungen haben gleichzeitig gelehrt, welchen Bedingungen eine Apparatur genügen muß, damit sie die Gewähr besitzt, bei Reaktionen dieser Art einwandfreie Resultate zu liefern.

Diese Bedingungen erfüllt nun die Apparatur von BOOHER und ROLLEFSON nicht. Es werden dort Fetthähne verwendet und zur Druckmessung ein Schwefelsäuremanometer benutzt. Beides kann dazu führen, die Ergebnisse zu fälschen, da durch die notwendigerweise ins Reaktionsgefäß eingeführten Fremdstoffen ein zusätzlicher Kettenabbruch bedingt werden kann. Die Versuche von BOOHER und ROLLEFSON sollten infolgedessen unter einwandfreien Bedingungen untersucht werden.

Es wurden dementsprechend an Stelle von Hähnen Glasventile gesetzt und an Stelle des Schwefelsäuremanometers wurde ein empfindlicher Quarzmanometer verwendet. Im übrigen ähnelte die Apparatur durchaus denen, die wir für ähnliche Untersuchungen früher benutzt hatten. Als Reaktionsgefäß diente ein solches aus Quarz mit planen Endflächen von 5 cm Länge und einem Durchmesser von 5 cm und später ein 9 cm langes aus Jenaer Duranglas mit einem Durchmesser von 4,5 cm. Es wurde bei Temperaturen zwischen 30° und 120° C gearbeitet. Belichtet wurde mit einem schwach konvergenten Lichtbündel der Quecksilberlinie 436 m μ . Zur Energiemessung diente eine geeichte MOLLsche Thermosäule mit Galvanometer. Brom und Acetylen wurden nach den von BOOHER und ROLLEFSON angegebenen Vorschriften behandelt und gereinigt.

¹⁾ SCHUMACHER, H.-J., Z. angew. Ch. 49 (1936) 613.

ausgepumpt. Wir wollten auf diese Weise das Polymerisationsprodukt entfernen. Der Erfolg des Bemühens war folgender: Die Geschwindigkeit der Lichtreaktion sank auf etwa $\frac{1}{10}$ ihres Wertes von Nr. 11 herab, die Dunkelreaktion nahm jedoch nunmehr Werte bis zu mehreren mm/Minute an. Die Versuche blieben nach wie vor unreproduzierbar, dies blieb auch so, nachdem wir das Reaktionsgefäß abgeschnitten und mit konz. HNO_3 gereinigt hatten. Das Gefäß war nach dem Ausheizen in einen Zustand gekommen, der die Dunkelreaktion anscheinend sehr stark katalysierte. Die Versuchstemperaturen wurden zwischen 30° und $120^\circ C$ variiert, es war jedoch unmöglich, brauchbare Resultate zu erhalten.

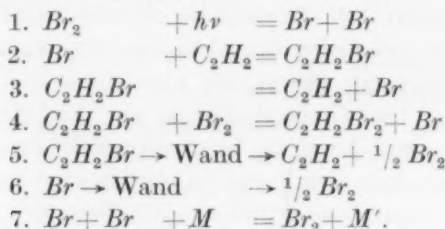
Um den Versuchsbedingungen von BOOHER und ROLLEFSON, die mit Pyrexglas gearbeitet hatten, näherzukommen, ersetzten wir das Quarzgefäß nunmehr durch ein Durangefäß. Es erübrigt sich jedoch, irgendwelche dieser Versuche hier anzugeben. Die aufeinanderfolgenden Versuche zeigten stets voneinander abweichende Resultate, unabhängig davon, ob bei tiefen oder höheren Temperaturen gearbeitet wurde und unabhängig davon, ob nur kurze Zeit oder tagelang gepumpt wurde. Die Geschwindigkeit der Lichtreaktion war im allgemeinen nur ein Zehntel der im Quarzgefäß, die Dunkelreaktion dagegen größer als dort. Die Versuche blieben auch unreproduzierbar, als nach jedem Versuch das Gefäß abgeschnitten und zur Entfernung der schwerflüchtigen Substanzen mit Alkohol oder Äther ausgespült wurde. Es war infolgedessen nicht möglich, ein genaues kinetisches Gesetz für den Reaktionsablauf zu finden.

Dadurch, daß während ein und desselben Versuches, währenddessen ja die Geschwindigkeit im allgemeinen einen stetigen Verlauf zeigte, verschiedene Blenden in den Strahlengang gebracht wurden, konnte gezeigt werden, daß die Geschwindigkeit annähernd proportional dem absorbierten Licht verläuft. Das gilt wenigstens für die hier gemessene, durch die vorhandenen Nebenprodukte stark beeinflusste Reaktion.

Zusammenfassend kann wohl das Folgende gesagt werden: Die photochemische Vereinigung von Acetylen und Brom zu Acetylen-dibromid ist eine Kettenreaktion von großer Kettenlänge. Es konnten Quantenausbeuten bis zu 10000 Mol/ $h\nu$ gemessen werden. Die Reaktion ist nur wenig temperaturabhängig, sie wird dagegen maßgebend durch Fremdsubstanzen, insbesondere durch die in einer Nebenreaktion gebildeten Polymerisationsprodukte beeinflusst. Störend wirkt ferner

eine heterogene Dunkelreaktion, deren Intensität jedoch außerordentlich stark von der Gefäßart und der Vorbehandlung der Gefäßwände abhängt.

Die Reaktionsgeschwindigkeit ist annähernd proportional dem absorbierten Licht, aus ihrem starken Abfall gegen Ende der Reaktion ist ferner zu entnehmen, daß die Brom- und möglicherweise auch die Acetylenkonzentration mit einer kleinen Potenz in die Geschwindigkeitsgleichung eingehen. Die aus den angegebenen Gründen bedingte schlechte Reproduzierbarkeit der Versuche macht es unmöglich, eine genaue Geschwindigkeitsgleichung und ein entsprechendes Reaktionsschema anzugeben. Wir glauben jedoch, daß sich die reine Bromierung im Licht, falls man sie isolieren kann, durchaus in das vom Verfasser¹⁾ auf Grund des Studiums anderer übersichtlicher Lichtreaktionen abgeleitete Reaktionsschema einpaßt. Prinzipiell müßte sie etwa folgendermaßen ablaufen:



¹⁾ SCHUMACHER, H.-J., Z. angew. Ch., loc. cit.

Frankfurt a. M., Institut für Physikalische Chemie der Universität.

Die kinetische Analyse dieses komplexen Vorganges hat zum Ziel, die drei Teilvorgänge so weit zu trennen, daß man sie als deutlich erkennbare chemische Reaktionen beschreiben, sowie ihr Zusammenspiel quantitativ erfassen kann. Von jedem Teilvorgang suchen wir seine Reaktionsordnung sowie seine Aktivierungsbedingungen (Aktivierungswärme, sterischer Faktor, Hemmung und Beschleunigung durch fremde Stoffe) zu erfahren. Eine solche Trennung ist möglich, wenn man nicht nur das Fortschreiten der Reaktion als solcher, sondern gleichzeitig die Größe der entstehenden Moleküle zeitlich verfolgt.

So konnten STAUDINGER und FROST¹⁾ zeigen, daß das Molekulargewicht während der ganzen Reaktion (bei einem Umsatz von 10 bis 100 %) konstant bleibt. Hieraus war sofort zu erkennen, daß der Wachstumsvorgang sehr rasch erfolgt, und daß die Geschwindigkeit der Gesamtreaktion durch den sehr viel langsameren Primärvorgang bestimmt wird.

Durch eine eingehende Untersuchung des Reaktionsproduktes kommt man auch der Abbruchreaktion näher. Bei der Polymerisation entsteht bekanntlich kein einheitlicher Körper, sondern ein Gemisch von Polymerhomologen²⁾. Wie der eine von uns³⁾ nachwies, kann man durch Bestimmung der Verteilungsfunktion der im Reaktionsgemisch vorhandenen Molekulargewichte genaueres über das Geschwindigkeitsverhältnis α der Wachstums- und der Abbruchreaktion erfahren. Die in einem Grundmol (104 g) des Reaktionsgemisches vorhandene Anzahl Mole vom Polymerisationsgrad P ist, wie dort gezeigt wurde

$$n_P = \alpha^P \ln^2 \alpha, \quad (1)$$

wobei

$$\alpha = 1 - \alpha = 1 - v_C/v_B \quad (2)$$

ist. Hierin sind v_B und v_C die Geschwindigkeiten der Wachstums- bzw. Abbruchreaktion. Eine solche Verteilung tritt, wie in dieser Arbeit nachgewiesen wurde, dann ein, wenn die Länge der entstehenden Moleküle allein durch das Zusammenwirken der Wachstums- und Abbruchreaktion (ohne Mitwirkung der Primärreaktion) bestimmt wird. Durch Fraktionierung eines hochmolekularen Polymerisates von Polyisobutylen wurde die in Gleichung (1) formulierte Verteilung als zutreffend nachgewiesen, wodurch gleichzeitig bewiesen wurde, daß

¹⁾ STAUDINGER, H. und FROST, W., Ber. dtsch. chem. Ges. **68** (1935) 2351.

²⁾ STAUDINGER, H., Buch, S. 7. ³⁾ SCHULZ, G. V., Z. physik. Chem. (B) **30** (1935) 379 (im folgenden als loc. cit. I bezeichnet).

ein echter Kettenabbruch bei der Bildung dieses hochmolekularen Stoffes eine maßgebende Rolle spielt.

Von anderen Autoren sind inzwischen Reaktionsarten durchgerechnet worden, bei denen die Begrenzung der Kettenlänge der entstehenden Moleküle ohne Mitwirkung einer Abbruchreaktion zustande kommt. So nahmen DOSTAL und MARK¹⁾ an, daß die Größe der Moleküle vom Geschwindigkeitsverhältnis der Primär- und der Wachstumsreaktion abhängt. Die auf Grund dieser Annahme berechnete Verteilungsfunktion sieht indessen völlig anders aus als die für das Polyisobutylen und in dieser Arbeit auch für das Polystyrol experimentell bestimmte. Ferner folgt aus dieser Annahme, daß das mittlere Molekulargewicht während der Reaktion ansteigt, sowie daß diese im Anfangsstadium eine Induktionsperiode durchläuft. Beide Effekte treten, wie aus der Arbeit von STAUDINGER und FROST (loc. cit.) und den nachfolgend beschriebenen Versuchen hervorgeht, bei der Polymerisation des Styrols nicht auf.

In einer Reihe von Arbeiten nehmen GEE und RIDEAL an²⁾, daß die Länge der Moleküle dadurch begrenzt wird, daß die Wachstumsreaktion mit zunehmender Kettengliederzahl langsamer wird und schließlich gewissermaßen einschläft. Das soll dadurch zustande kommen, daß mit wachsender Zahl der Atome (bzw. Freiheitsgrade) im Molekül der sterische Faktor der Wachstumsreaktion abnimmt, worauf in diesem Zusammenhang besonders BAWN³⁾ hingewiesen hat. In den von diesen Autoren auf Grund dieser Annahme durchgerechneten Beispielen nimmt jedoch das mittlere Molekulargewicht im Verlauf der Reaktion zu, was, wie gesagt, für das Polystyrol nicht zutrifft. Wie uns scheint, ist bei diesem Reaktionsmechanismus auch eine andere Verteilungsfunktion als die experimentell bestimmte zu erwarten.

In neueren Arbeiten berücksichtigen auch DOSTAL und MARK⁴⁾ sowie DOSTAL⁵⁾ die Abbruchreaktion („Isomerisation“). Sie führen hierfür in ihre auf anderer Basis abgeleiteten Gleichungen Korrekturgößen ein, die aber deren Charakter sowie die oben besprochenen, aus

¹⁾ DOSTAL, H. und MARK, H., Z. physik. Chem. (B) **29** (1935) 299. ²⁾ GEE, G. und RIDEAL, E. K., Trans. Faraday Soc. **31** (1935) 969; **32** (1936) 656, 666.
³⁾ BAWN, C. E. H., Trans. Faraday Soc. **32** (1936) 178. ⁴⁾ DOSTAL und MARK, Trans. Faraday Soc. **32** (1936) 54. ⁵⁾ DOSTAL, Mh. Chem. **67** (1935) 1, 63. — Auf die experimentellen Arbeiten von DOSTAL, MARK und RAFF wird erst im Abschn. III dieser Arbeit eingegangen.

ihnen abgeleiteten Folgerungen (besonders die Induktionsperiode) nicht wesentlich verändern. Auch GEE und RIDEAL berücksichtigen in ihren späteren Arbeiten (loc. cit.) die Abbruchreaktion. Sie kommen hierbei zu Beziehungen, die in mancher Hinsicht von denen abweichen, die wir auf Grund unserer Versuchsergebnisse aufstellten.

In der vorliegenden Arbeit wird versucht, durch genaue zeitliche Messung der Menge und des Molekulargewichtes der entstehenden Produkte in der oben charakterisierten Weise zu einem tieferen Verständnis der Teilvorgänge zu kommen. Sie kann daher als eine Fortsetzung der erwähnten Arbeit von STAUDINGER und FROST angesehen werden, wobei die inzwischen wesentlich ausgebauten Methoden der Molekulargewichtsbestimmung, wie gezeigt wird, eine schärfere quantitative Erfassung der drei Teilvorgänge erlauben. Im nächsten (II.) Teil dieser Arbeit wird zunächst näher auf die entstehenden Reaktionsprodukte, besonders die Abhängigkeit ihrer charakteristischen Eigenschaften von der Polymerisationstemperatur und die Verteilung der Molekulargewichte in dem entstehenden Gemisch eingegangen. Der III. Teil behandelt dann die eigentlichen kinetischen Probleme.

II. Untersuchung der Reaktionsprodukte.

a) Die Bestimmung der Molekulargewichte.

Die Molekulargewichtsbestimmung der entstehenden Polystyrole wurde viscosimetrisch vorgenommen. Nach H. STAUDINGER¹⁾ ist das Molekulargewicht

$$M = \frac{1}{K_m} \cdot \frac{\eta_{sp}}{c_{gm}}, \quad (3)$$

worin η_{sp} die spezifische Viskosität und c_{gm} die Konzentration in Grundmolen pro Liter ist. Die Konstante K_m hat jeweils einen bestimmten Wert für eine polymerhomologe Reihe. Für die Polystyrole wurde jedoch durch vergleichende viscosimetrische und osmotische Messungen von H. STAUDINGER und G. V. SCHULZ²⁾ (an Molekulargewichten von 80000 bis 800000) gezeigt, daß hier etwas kompliziertere Verhältnisse vorliegen. Zerlegt man ein bei einer bestimmten Temperatur polymerisiertes Polystyrol in Fraktionen, so gilt für diese die Gleichung (3) mit konstantem K_m . Polymerisate, die bei verschiedenen Temperaturen hergestellt sind, haben jedoch voneinander ab-

¹⁾ STAUDINGER, H. und OCHIAI, E., Z. physik. Chem. (A) 158 (1932) 35. Buch, S. 52, 185. ²⁾ STAUDINGER, H. und SCHULZ, G. V., Ber. dtsch. chem. Ges. 68 (1935) 2331.

Tabelle 2. Fraktionierung eines bei 170° polymerisierten Polystyrols (mittlerer Polymerisationsgrad 800).

Fraktion	P_{mittel}	%	Summe
I	etwa 45	1.1	0.011
II	144	4.9	0.06
III	490	18.5	0.245
IV	1050	28.5	0.53
V	1980	33.6	0.866
VI	2790	11.0	0.976
VII	4300	2.4	1.00

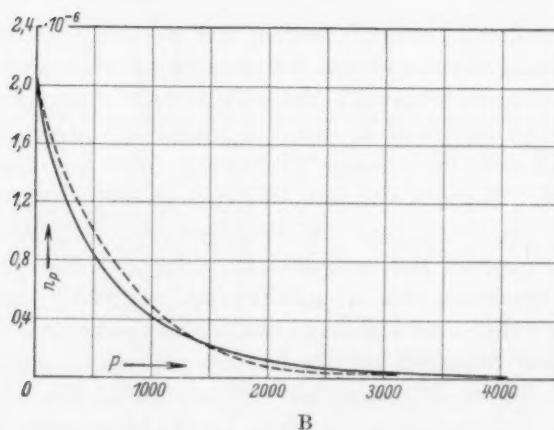
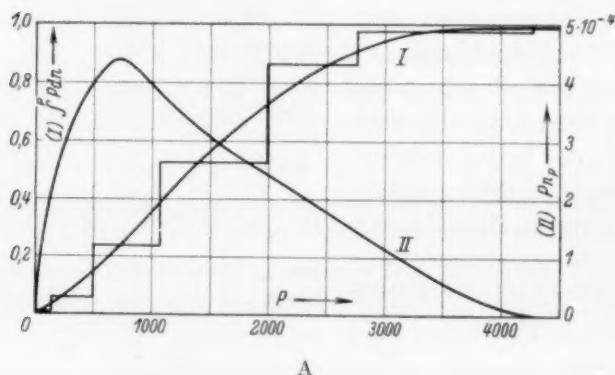


Fig. 3. Verteilung der Polymerisationsgrade in einem bei 170° polymerisierten Polystyrol.

Fig. 3A, Kurve I: Fraktionierungskurve und integrale Verteilungsfunktion, Kurve II: Massenverteilungsfunktion. Fig. 3B: Häufigkeits-Verteilungsfunktion.
 — empirisch, - - - nach Gleichung (1) berechnet.

Ketten, die gleichzeitig angeregt worden sind, ein Ausdruck angegeben, der mit dem entsprechenden Mittelwert der ersterwähnten Arbeit identisch ist). Dieser Mittelwert gilt aber nach DOSTAL nur für das während einer „beschränkten Entstehungszeit“ entstandene Produkt, während der eine von uns diesen Mittelwert und die zugehörige Verteilungsfunktion für das gesamte Polymerisat theoretisch abgeleitet und experimentell als zutreffend nachgewiesen hat.

III. Der Polymerisationsverlauf.

a) Der Gesamtverlauf.

Der Verlauf der Polymerisation wurde in folgender Weise untersucht. Es wurden abgemessene Mengen monomeres Styrol (3 cm^3) in gereinigte Glasröhren eingeschmolzen und in einen Thermostaten gebracht, der die Temperatur innerhalb 0.5° hielt. Zu bestimmten Zeiten nach Beginn der Erwärmung wurden je zwei Röhren aus dem Thermostaten genommen, die Inhalte mit Benzol verdünnt, und dann das Reaktionsprodukt durch Eingießen der Lösungen in ein größeres Volumen Methanol ausgefällt. Die ausgefällte Menge wurde abfiltriert, getrocknet und gewogen. Die spezifische Viscosität des entstandenen Polystyrols wurde in verdünnter Lösung in Toluol bestimmt. Die Reproduzierbarkeit bei dieser Methode betrug wenige Prozente bei einem Umsatz von 1 bis 90%. Genauere Angaben finden sich im Abschn. IV dieser Arbeit.

Der Gesamtverlauf der Reaktion bei vier verschiedenen Temperaturen (79.5° , 100.5° , 113.5° und 131.5°) geht aus der Tabelle 3 und der Fig. 4 hervor. Bei allen Temperaturen ist der Verlauf im Anfangsteil fast geradlinig und biegt bei einem Umsatz von etwa 50% stark ein. Dieser Befund steht in Widerspruch zu kürzlich veröffentlichten Messungen von MARK und RAFF¹⁾, die im Anfangsteil der Reaktion eine „Induktionsperiode“ feststellten. Wir haben uns daher besonders bemüht, die Reproduzierbarkeit im Anfangsteil, sowie etwaige systematische Fehler der von uns angewandten gravimetrischen Methode nachzuprüfen, und können auf Grund dieser Versuche (vgl. Teil IV dieser Arbeit) mit Sicherheit sagen, daß systematische Fehler, die den Verlauf wesentlich fälschen könnten, bei unserer Arbeitsmethode nicht vorhanden sind. Es ist deshalb zu vermuten, daß die von MARK und RAFF angewandte Methode Fehler enthält,

experimentell gefundene Verteilungskurve sowie der Zeitverlauf der Reaktion nach den Versuchen von STAUDINGER und FROST dem von DOSTAL und MARK vorgeschlagenen Reaktionsmechanismus nicht entsprechen, sondern daß die Abbruchreaktion eine zentrale Rolle spielt. Als diese Arbeit (SCHULZ, loc. cit. I) in Druck gegeben wurde, waren die späteren Arbeiten von DOSTAL und MARK, sowie DOSTAL, in denen eine Abbruchreaktion, allerdings in beschränkter Weise, berücksichtigt wird, noch nicht erschienen.

¹⁾ MARK, H. und RAFF, R., Z. physik. Chem. (B) **31** (1936) 275.

verlauf. Der annähernd lineare Verlauf in den mit Bichromat-Schwefelsäure gereinigten Gefäßen ist wohl darauf zurückzuführen, daß Spuren von Oxydationsmittel im Glas zurückbleiben und dann

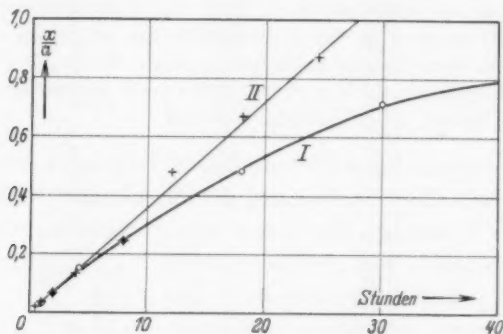


Fig. 6. Polymerisationsverlauf in verschiedenen gereinigten Gefäßen; I mit schwefeliger Säure nachbehandelt. II ohne Nachbehandlung.

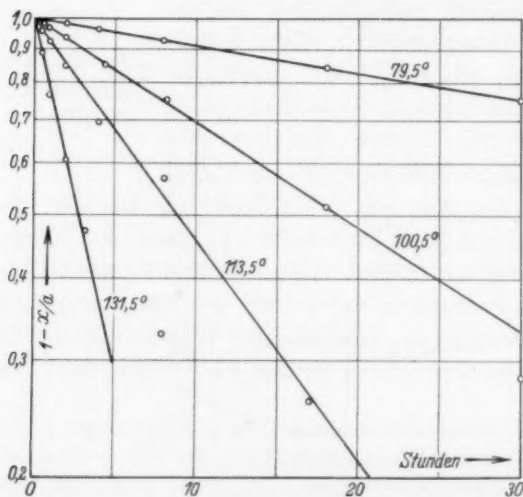


Fig. 7. Gesamtverlauf der Polymerisation (logarithmisch).

während der Reaktion langsam herausdiffundieren und die Reaktion gerade in den späteren Stadien beschleunigen. Dafür, daß eine derartige Störung vorliegt, spricht auch der Umstand, daß die Reproduzierbarkeit durch unsere Reinigungsmethode wesentlich verbessert wird.

Schon TAMMANN und PAPE¹⁾ haben gefunden, daß man den Verlauf der Gesamtreaktion durch die Geschwindigkeitsgleichung unimolekularer Reaktionen darstellen kann, und faßten dieses als Bestätigung des STAUDINGERSchen Kettenmechanismus auf. Einen gleichartigen Verlauf fanden STARKWEATHER und TAYLOR bei der Polymerisation des Vinylacetates²⁾. Aus der Fig. 7 geht hervor, daß auch bei unseren Versuchen bis zu einem Umsatz von etwa 60 % die Reaktion nach der ersten Ordnung verläuft. In ihr ist der Logarithmus des noch nicht verbrauchten Bruchteils monomerer Substanz als Zeitfunktion dargestellt, was bei Reaktionen erster Ordnung eine Gerade ergeben muß. Man kann allerdings aus dem Gesamtverlauf nur dann sichere Schlüsse über den Verlauf einer Teilreaktion (z. B. den Primärvorgang) ziehen, wenn man über das mittlere Molekulargewicht in jedem Stadium der Reaktion unterrichtet ist. Dies wird in den nächsten Abschnitten näher ausgeführt.

b) Der Primärvorgang.

Die Primärreaktion ist der Teilvorgang, der reaktionskinetisch am leichtesten zugänglich ist. Seine Reaktionsordnung und Aktivierungswärme lassen sich berechnen, wenn man das Fortschreiten der Gesamtreaktion und den jeweils vorhandenen mittleren Polymerisationsgrad messend verfolgt.

Wir haben zu berücksichtigen, daß die Primärreaktion nur den Pten Bruchteil der insgesamt umgesetzten Moleküle verbraucht. Wir bezeichnen die anfangs vorhandene Menge Styrol mit a , die zur Zeit t umgesetzte Menge mit x . Dann ist die Zeitgleichung der Reaktionen erster Ordnung

$$dx/dt = k_1(a - x)$$

für unseren Fall umzuändern in

$$\frac{1}{P} \frac{dx}{dt} = k_1(a - x)$$

Durch Integration erhalten wir in der üblichen Weise³⁾

$$k_1 = - \frac{\ln(1 - x/a)}{Pt} \quad (8)$$

In der fünften Spalte der Tabelle 3 ist die Konstante k_1 nach Gleichung (8) ausgerechnet. Man sieht, daß bis zu einem Umsatz

¹⁾ TAMMANN, G. und PAPE, A., Z. anorg. allg. Chem. **200** (1931) 113. ²⁾ STARKWEATHER, H. W. und TAYLOR, G. B., J. Amer. chem. Soc. **52** (1930) 4708. ³⁾ Die Integration ist in dieser Weise nur dann exakt auszuführen, wenn P im Verlauf der Reaktion konstant bleibt. Das ist hier in erster Näherung der Fall.

länge nicht dem Molekulargewicht proportional ist. Auf ein Molekül kommen mehrere Reaktionsketten. Man wird dem wirklichen Wert von α dadurch näher kommen, daß man in Gleichung (10) den mittleren Polymerisationsgrad durch den Verzweigungsgrad (vgl. Tabelle 1, Spalte 8) dividiert. Da der Maßstab für diesen vorläufig noch eine gewisse Willkür enthält, kann es sich hier nur um eine Annäherung handeln. In der Tabelle 5 ist α nach beiden Methoden ausgerechnet. Die Werte der dritten Spalte dürften den wirklichen Werten sehr nahe stehen.

Tabelle 5. Geschwindigkeitsverhältnis α der Abbruch und Wachstumsreaktion in Abhängigkeit von der Temperatur.

Polymerisations- temperatur °C	$\alpha \cdot 10^3$ nach Gleichung (10)	$\alpha \cdot 10^3$ unter Be- rücksichtigung des Ver- zweigungsgrades	$\alpha \cdot 10^3$ nach Gleichung (15)
20	0.19	0.23	0.19
60	0.235	0.54	0.59
80	0.335	0.98	0.94
100	0.45	1.42	1.48
120	0.625	2.1	2.2
150	0.97	3.4	3.65
200	1.73	6.8	7.6
240	4.35	18.8	12.5

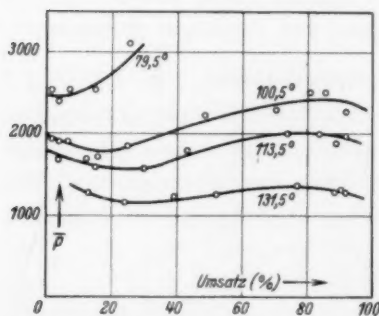


Fig. 9. Mittlerer Polymerisationsgrad \bar{P} in Abhängigkeit von der umgesetzten Menge.

der umgesetzten Menge dargestellt. Man sieht, ebenso wie aus der Tabelle 3, daß man ihn in erster Näherung als zeitlich konstant ansehen kann. Die Veränderungen, die im ganzen nur ungefähr 15 bis 25 % betragen, kommen jedenfalls nicht durch das Wachstum der

Die Abhängigkeit von der Polymerisationstemperatur ist, wie man sieht, sehr ausgeprägt. Sie kommt, wie schon früher gezeigt wurde und im folgenden noch näher ausgeführt werden soll, dadurch zustande, daß die Aktivierungswärmen der Teilreaktionen verschieden groß sind und daher das Verhältnis ihrer Geschwindigkeiten sich mit der Temperatur verschiebt.

In Fig. 9 ist der mittlere Polymerisationsgrad in Abhängigkeit von

Moleküle zustande, da gerade am Anfang der Reaktion, wo dieses sich am stärksten äußern müßte, ein geringer Abfall des mittleren Polymerisationsgrades eintritt. Die Veränderungen sind deshalb auf Schwankungen des Geschwindigkeitsverhältnisses κ zurückzuführen. Diese Schwankungen zeigen eine gewisse Gesetzmäßigkeit, sollen aber im folgenden nicht berücksichtigt werden, da sie in erster Näherung vernachlässigt werden können und für ihre endgültige Aufklärung noch mehr Material herbeigeschafft werden muß.

Da wir die Abbruch- und die Wachstumsreaktion als zwei völlig verschiedene Vorgänge anzusehen haben, erscheint die Konstanz ihres Geschwindigkeitsverhältnisses zunächst als sehr überraschend. Man könnte annehmen, daß sie an ganz spezielle Bedingungen gebunden ist, die zufällig bei unseren Versuchen vorlagen. Daß dieses aber nicht der Fall ist, sondern daß diese Erscheinung eine charakteristische Eigenschaft der hier untersuchten Polymerisationsvorgänge ist, geht daraus hervor, daß auch bei der Polymerisation in Lösung das Geschwindigkeitsverhältnis innerhalb der gleichen Grenzen konstant bleibt¹⁾.

In einer früheren Arbeit²⁾ ist eine Erklärung hierfür gegeben worden. Sie besteht darin, daß nicht nur das Wachstum, sondern auch der Kettenabbruch eine Reaktion der wachsenden Moleküle mit den monomeren ist. Die Verarmung des Reaktionsgemisches an Ausgangssubstanz wirkt sich dann auf beide Vorgänge gleichartig aus, so daß ihr Geschwindigkeitsverhältnis konstant bleiben muß. Es besteht nun noch die weitere Erklärungsmöglichkeit, daß der Kettenabbruch eine Reaktion mit einer Substanz ist, die einen konstanten Bruchteil des jeweils noch vorhandenen Monomeren ausmacht. Als solche kommen in erster Linie die aktivierten Moleküle selbst in Frage.

Gerade die letzterwähnte Form des Kettenabbruches wäre auch vom chemischen Standpunkt aus sehr einleuchtend. Man könnte mit STAUDINGER und STEINHOFER³⁾ annehmen, daß die Absättigung der freien Valenz am Ende der Kette durch Wanderung eines Wasserstoffatoms von einem wachsenden Molekül auf ein anderes zustande kommt, wobei am Ende des einen Moleküls eine Doppelbindung

¹⁾ Unveröffentlichte Versuche. ²⁾ SCHULZ, G. V., loc. cit. I. DOSTAL und RAFF (loc. cit.) übersehen dieses in ihren Bemerkungen zu dieser Arbeit.

³⁾ STAUDINGER, H. und STEINHOFER, A., loc. cit.

ist. Logarithmiert ergibt Gleichung (15a)

$$\log \kappa = -\frac{Q}{4.57 T} + \log A. \quad (15b)$$

Aus der Fig. 10 ergibt sich, daß Gleichung (15) erfüllt ist, da der Logarithmus von κ eine lineare Abhängigkeit von der reziproken absoluten Temperatur zeigt. Aus der Neigung der Geraden ergibt sich $Q = 5700$ cal und $\log A = 0.525$. Die mit diesen Zahlen ausgerechneten Werte für κ sind in der vierten Spalte der Tabelle 5 den gefundenen Werten gegenübergestellt. Die Übereinstimmung ist, wie man sieht, recht befriedigend. Die Differenz der Aktivierungswärmen der Wachstumsreaktion und der Abbruchreaktion ergibt sich

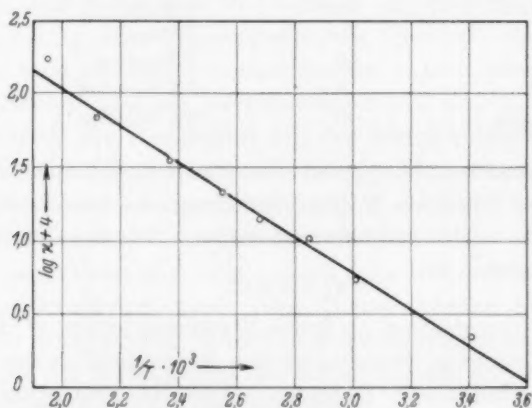


Fig. 10. Geschwindigkeitsverhältnis der Abbruch- und Wachstumsreaktion in Abhängigkeit von der Temperatur.

aus Gleichung (17) und den gefundenen Werten für Q und q_A zu $q_B - q_C = 17500$ cal.

Der vorangehend beschriebene Abbruchmechanismus steht, wie sich so ergibt, mit den Tatsachen in guter Übereinstimmung. Trotzdem sei betont, daß die eben gemachte Rechnung nur als annähernd gelten kann, da in ihr noch zwei Größen enthalten sind, die bisher nicht genau faßbar sind, nämlich der Verzweigungsgrad und der Faktor β . Letzterer wurde zwar als konstant behandelt, ist jedoch möglicherweise nicht unabhängig von der Temperatur. Daher ist der für die Differenz $q_B - q_C$ gefundene Wert nicht sehr sicher. Wir hoffen, durch die im Gange befindlichen Polymerisationsversuche in Lösung zu einer wesentlichen Präzisierung der bisher gemachten Aussagen

zu kommen, da wir bei diesen Versuchen außer der Temperatur auch die Konzentration variieren können, und weil außerdem im verdünnten Zustand die Verhältnisse übersichtlicher sind.

Es wäre nun wichtig, herauszubekommen, wie schnell absolut genommen die Wachstumsreaktion vor sich geht. Eine untere Grenze für ihre Geschwindigkeit geht aus folgendem Versuch hervor. Wir füllten ein verschließbares OSTWALD-Viscosimeter mit reinem Styrol. Dieses hatte darin eine Durchflußzeit von 57.2 Sekunden. Wir erhitzen dann das Viscosimeter mit Inhalt 8 Minuten lang auf 100°. Nach dieser Zeit ist die Reaktion bereits gut in Gang. Darauf brachten wir es in einen Thermostaten mit 20° und maßen sofort nach Einstellung der Temperatur, was nach 2 Minuten geschehen war, mehrere Male hintereinander die Viskosität. Bei 20° ist der Primärvorgang praktisch zum Stillstand gebracht. Wäre nun bei dieser Temperatur die Wachstumsgeschwindigkeit von der Größenordnung einiger Minuten, so müßte nach der Abkühlung in dem Viscosimeter die Viskosität noch merklich ansteigen, da dann ein Teil der Moleküle zu Beginn der Messung seinen Wachstumsprozeß noch nicht abgeschlossen hätte. Wir fanden jedoch im Viscosimeter bereits nach 2 Minuten die gleiche Durchflußzeit wie nach 20 Minuten (75.4 sec). Der Wachstumsprozeß ist also nach weniger als 2 Minuten beendet. Er ist demnach um mindestens zehn Größenordnungen schneller als der Primärvorgang¹⁾.

IV. Versuchsmethoden.

a) Die Polymerisation.

Sie wurde in dem in Fig. 11 abgebildeten Dampfthermostaten vorgenommen. Der Dampf einer kräftig siedenden Flüssigkeit mit geeignetem Siedepunkt strömte durch das weitere Rohr A (10 cm Durchmesser), in dem ein engeres, an beiden Seiten offenes Rohr B (7 cm Durchmesser) auf einem Kupferdrahtnetz stand, und wurde in dem seitlich befindlichen Kühler C wieder kondensiert. Im inneren Rohr blieb die Temperatur wochenlang innerhalb 0.3 bis 0.5° konstant. Die Einschmelzröhren nahmen innerhalb 2 Minuten die Temperatur des Thermostaten an. Nach bestimmten Zeiten wurden die

¹⁾ In 1 Minute ist der 10⁷te Teil der vorhandenen Styrolmoleküle aktiviert (vgl. Abschn. III b). In dieser Zeit sind die aktivierten Moleküle fast alle abreagiert, d. h. sie haben \bar{P} mal reagiert. \bar{P} ist von der Größenordnung 10³. Hieraus ergibt sich das obige Verhältnis 10¹⁰. — Die Abbruchreaktion ist dann mindestens sieben Größenordnungen schneller als der Primärvorgang.

DREW¹⁾ handelt es sich hier um das Auftreten metastabiler Zwischenstufen der Umwandlung $\beta \rightarrow \alpha + \delta$; G. WASSERMANN²⁾ hat dies durch Röntgenuntersuchungen bestätigt.

Für die Abmessungen des hexagonalen Elementarkörpers der μ -Phase ergeben sich aus Tabelle 1 die Werte $a = 2'593 \text{ \AA}$, $c = 4'228 \text{ \AA}$, $c/a = 1'63$. Das Achsenverhältnis entspricht dem einer hexagonal dichtesten Kugelpackung. Eine solche Struktur würde zwei Atome im Elementarkörper aufweisen. Wir bestimmten die Dichte der 21'0 Atomproz. Gallium enthaltenden Legierung und fanden $D = 8'65$. Hieraus berechnet sich mit dem durchschnittlichen Atomgewicht 64'8 die Atomzahl der Basisgruppe zu 1'99, also 2. Die Inhomogenität der Probe fälschte das Ergebnis deshalb nicht merklich, weil nur wenig δ vorhanden war und andererseits α und μ als kubische und hexagonale Kugelpackung gleiche Raumerfüllung haben.

Achsenverhältnis und Zelleninhalt der μ -Phase deuten also übereinstimmend auf hexagonal dichteste Kugelpackung. Die beiden Atome des Elementarkörpers müßten dann in den Lagen 000 und $\frac{1}{3} \frac{2}{3} \frac{1}{2}$ sein. Eine solche Anordnung verlangt Auslöschungen für $h-k=3n$ und l ungerade. Aus Tabelle 1 geht hervor, daß diese Auswahlregel tatsächlich zuzutreffen scheint, denn es fehlen im untersuchten Winkelbereich nur jene Linien der μ -Phase, die der eben genannten Bedingung gehorchen.

Der weitere Beweis für das Vorliegen einer hexagonalen Kugelpackung durch Vergleich beobachteter und berechneter Intensitäten wird durch die Koinzidenzen von α -, μ - und δ -Linien im Pulverdiagramm erschwert. Man kann aber den Intensitätsbeitrag der zu μ benachbarten Phasen rechnerisch berücksichtigen und kommt dann zu einer durchaus befriedigenden Übereinstimmung mit der Beobachtung. Am einfachsten gestaltet sich die Rechnung für eine nur aus α und μ bestehende Probe, weil die Reflexionsintensitäten der im γ -Messingtyp kristallisierenden δ -Phase von zahlreichen Parametern abhängen. Wir berechneten daher die Intensitäten des in Tabelle 1 ausgewerteten Pulverdiagramms einer Legierung mit 21'0 Atomproz. Gallium, weil diese Probe neben μ und α nur so wenig δ enthielt, daß der Intensitätsbeitrag von δ -Linien im Falle einer Koinzidenz mit μ -Linien vernachlässigt werden konnte. Bei Koinzidenz von μ - und α -Linien wurde die berechnete Intensität der

¹⁾ ANDREW, J. H., J. Inst. Metals **13** (1915) 249. ²⁾ WASSERMANN, G., Metallwirtsch. **13** (1934) 133.

μ -Linie um einen Betrag proportional der berechneten Intensität der darauffallenden α -Linie vermehrt:

$$J = J_{\mu} + CJ_{\alpha}.$$

Der für das ganze Diagramm konstante Proportionalitätsfaktor C hängt vom Mengenverhältnis $\mu : \alpha$ ab; er wurde durch Probieren ermittelt. Aus Tabelle 2 und Fig. 1 geht hervor, daß man auf diese

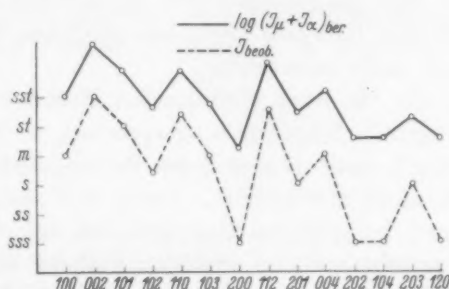


Fig. 1. Vergleich berechneter und beobachteter Intensitäten im Pulverdiagramm einer Galliumbronze mit 21.0 Atomproz. Gallium.

Weise eine befriedigende Übereinstimmung mit der Beobachtung erzielen kann; der Vergleich wurde nur bis zur beginnenden Aufspaltung des α -Dubletts durchgeführt, weil von da an die Schätzung der Linienschwärzungen unsicher wird.

Tabelle 2. Intensitäten im Pulverdiagramm der Cu-Ga-Bronze mit 21.0 Atomproz. Ga (Kupferstrahlung).

$\overbrace{hkl}^{\mu \quad \alpha}$		J_{μ}	J_{α}	$J = J_{\mu} + 2J_{\alpha}$	Linien- schwärzung
100		46		46	m
002	111	13	402	817	sst
101		187		187	st
102		25		25	s—m
110	220	25	96	217	st—sst
103		28		28	m—s
200		4		4	sss
112	311	28	107	242	sst—st
201		20		20	s
004	222	1	32	65	m
202		5		5	sss
104		5		5	sss
203		15		15	s
210		5		5	sss

Zur Intensitätsberechnung diene die Beziehung

$$J = H \cdot |S|^2 \cdot \frac{1 + \cos^2 2\vartheta}{\sin^2 \vartheta \cdot \cos \vartheta},$$

worin H = Flächenhäufigkeit, S = Strukturfaktor. Da Kupfer und Gallium nahe gleiches Streuvermögen haben, so wurden die Atomformfaktoren für beide Atomsorten einer nach den Angaben von L. PAULING und J. SHERMAN¹⁾ gezeichneten F -Kurve des Kupfers entnommen. Ob Cu und Ga geordnet oder regellos auf die Punkte des μ -Gitters verteilt sind, läßt sich wegen des ähnlichen Streuvermögens röntgenographisch nicht entscheiden.

Wenn auch die bis jetzt vorliegenden Beobachtungen bei der μ -Phase für hexagonale Kugelpackung sprechen, so halten wir doch die Frage nach der Konstitution und den Bildungsbedingungen dieser Kristallart noch nicht für geklärt. Dazu sind insbesondere auch Röntgenaufnahmen bei höheren Temperaturen erforderlich, wie sie vor allem G. WASSERMANN²⁾ im analogen Fall der eutektoiden Umwandlung von β -Aluminiumbronze erfolgreich durchführte.

Struktur der Kristallart φ .

Pulverdiagramme der Kristallart φ sind linienreich und reichen zur Strukturbestimmung nicht aus. Es gelang jedoch, einen Einzelkristall auf folgende Art zu erhalten: Eine Legierung mit 75 Atomproz. Gallium, die nach Ausweis ihres Pulverdiagramms außer φ -Kristallen schon freies (mit Kupfer gesättigtes) Gallium enthielt, wurde nach dem Verschmelzen im Quarzröhrchen und langsamer Abkühlung nochmals über den Schmelzpunkt des Galliums auf etwa 40° erwärmt. Beim Abschleudern des verflüssigten Metalls blieb ein Aggregat sehr dünner, rechteckiger Blättchen der Kristallart φ zurück. Mit Hilfe eines stereoskopischen Präpariermikroskops wurde ein solches Blättchen von etwa 0,5 mm Kantenlänge isoliert und mit einer Spur Paraffin an der Innenwand eines mit Argon gefüllten und dann abgeschmolzenen Markröhrchens befestigt. Dabei ließ sich eine geringe Verbiegung des Blättchens nicht vermeiden; es gab daher verwaschene Röntgenreflexe, jedoch beeinträchtigte dies nicht die rein geometrische Auswertung der Diagramme.

¹⁾ PAULING, L. und SHERMAN, J., Z. Kristallogr. **81** (1931) 26. ²⁾ WASSERMANN, G., Metallwirtsch. **13** (1934) 133. Vgl. dazu auch DEHLINGER, U., Metallwirtsch. **13** (1934) 205. KURDJUMOW, G. und STELETZKY, T., Metallwirtsch. **13** (1934) 304. KAMINSKY, E., KURDJUMOW, G. und NEUMARX, W., Metallwirtsch. **13** (1934) 373.

